



BOLETÍN

INSTITUTO DEL MAR DEL PERÚ

ISSN 0458 – 7766

Volumen 28, Números 1-2



Enero - Diciembre 2013

Callao, Perú

CLAVE PARA IDENTIFICACIÓN DE CRUSTÁCEOS DECAPODOS Y ESTOMATÓPODOS DEL PERÚ

KEY FOR IDENTIFICATION DECAPOD AND STOMATOPOD CRUSTACEANS OF PERU

Victor Mascoso

Resumen

Moscoso, V. 2013. *Clave para identificación de crustáceos decápodos y estomatópodos del Perú*. Bol Inst Mar Perú. 28(1-2): 8-135.- En el Perú se han registrado 15 especies de estomatópodos “camarones brujo”, en esta clave sólo se han incluido 12 especies. En cuanto a los decápodos (langostinos, camarones, maruchas, muy-muyes, langostas, ermitaños, centollas y cangrejos) se incluyen 267 especies de las 403 registradas para Perú, correspondiéndole 15 especies a langostas, 73 especies a los anomuros y 179 especies a los braquiuros.

PALABRAS CLAVE: Crustacea, Decapoda, Stomatopoda, langostas, cangrejos, cangrejos ermitaños, hoya amazónica.

Abstract

Moscoso V. 2013. *Key for identification decapod and stomatopod crustaceans of Perú*. Bol Inst Mar Perú. 28(1-2): 8-135.- 15 species of stomatopods “mantis shrimps” are recorder from Peru, 12 of these are included on the keys for identification. About the decapods (shrimps, prawns, mud-shrimps, mole crabs, lobsters, hermit crabs, king crabs and crabs) there 403 species recorded, fom these 267 are included in the key. Among the decapods from the 15 species of lobsters, 73 species of anomurans, and 179 species of brachyurans.

KEYWORDS: Crustacea, Decapoda, Stomatopoda, lobsters, crabs, hermit crabs, mantis shrimps, Amazon basin.

Introducción

El esfuerzo más completo para la elaboración de claves de crustáceos para el Pacífico Sur Oriental comienza con Mary Jane Rathbun en sus sucesivas monografías sobre diferentes grupos de crustáceos decápodos: grápsidos (1918); cangrejos araña (1925); cancroides (1930); Oxystomata (1937). Luego, destacan las claves de John Garth en su monografía de 1958 (braquiuros Oxyrhyncha de la costa del Pacífico de América) y junto a Stephenson (1966) las claves de los Portúnidos. Janet Haig desarrolla elaboradas claves en su monografía sobre los Porcelánidos (1960). Lipke Holthuis elabora estas herramientas en su catálogo de langostas del mundo (1991). Jocelyn Crane elaboró estas claves dicotómicas en su monografía sobre los cangrejos violinistas del mundo (1975). Raymond Manning (1980) hizo lo propio en su publicación sobre superfamilias, familias y géneros de estomatópodos. Célio Magalhães junto a Michael Türkay elaboraron claves para la familia de cangrejos de agua dulce Trichodactylidae (1996 a-c). Michel Hendrickx elabora muy gráficas claves en sus trabajos sobre langostas, anomuros, cangrejos y estomatópodos en la guía FAO para el Pacífico centro-oriental (1995), en sus monografías sobre braquiuros dromiideos hasta leucosiideos (1997) y Galatéidos (2000).

En el Perú Matilde Méndez elaboró importantes claves en el trabajo sobre crustáceos comerciales y comunes (1982 a) y con Pedro Aguilar, sendas claves en los artículos sobre cangrejos Pisidae-Majoidea (1978) y sobre los Porcelánidos (1979).

El objetivo del presente trabajo es divulgar las claves de identificación de camarones brujos (estomatópo-

dos) y crustáceos decápodos tanto langostas como anomuros y braquiuros. Esta información permitirá la identificación taxonómica de éstos organismos marinos y dulceacuícolas.

Material y métodos

Las claves se establecen en base a la revisión de literatura. Estas se ocupan de los órdenes Stomatopoda y Decapoda; dentro de éste último, se incluyen a las infraórdenes Astacidea, Axiidea, Achelata, Polychelida, Anomura y Brachyura. No se incluyen en estas claves a los decápodos del sub-orden Dendrobranchiata; a los infra-órdenes Caridea y Gebiidea; y a las superfamilias Lithodoidea y Pseudothelphusoidea de anomuros y braquiuros respectivamente.

Se traducen, modifican y reproducen total ó parcialmente las claves de: Superfamilia Chirostyloidea (BABA, 1977); Superfamilias Chirostyloidea y Galatheaidea, familias Munididae y Munidopsidae (BABA, 2005); Orden Stomatopoda (BAHAMONDE, 1968); Superfamilia Hippoidea, familias Albuneidae y Blepharipodidae (BOYKO, 2002); Superfamilia Ocypodoidea (CRANE, 1975); Infraórdenes Astacidea, Achelata, Polychelida y Axiidea (GALIL, 2000); Superfamilias Goneplacoidea y Xanthoidea sensu lato Xanthoidea, Eriphioidea, Mennipidae, Platyxanthidae, Pseudozioidea, Pilumnoidea, Trapezoidea (GARTH, 1940); Superfamilia Parthenopoidea y Majoidea (GARTH, 1958); Superfamilia Portunoidea (GARTH y STEPHENSON, 1966); Superfamilia Paguroidea, familias Paguridae y Diogenidae (GUZMÁN, 2004); Superfamilia Galatheaidea, familias Munididae y Munidopsidae (HAIG,

1956); Superfamilia Galattheoidea, familia Porcellanidae (HAIG, 1960); Superfamilia Paguroidea, familia Paguridae (HAIG, 1974); Superfamilia Paguroidea, familia Diogenidae (HAIG, HOPKINS y SCANLAND, 1970); Orden Stomatopoda, infraordenes Axiidea, Gebiidea y Anomura, Superfamilia Galattheoidea, familias Munididae y Munidopsidae, Superfamilia Hippoidea, familias Albuneidae y Blepharipodidae, Infraorden Brachyura, Superfamilias Portunoidea, Grapsoidea y Ocypodoidea (HENDRICKX, 1995); Superfamilia Paguroidea, familia Parapaguridae, Superfamilia Dorippoidea, familia Ethusidae, Superfamilia Leucosioidea, familia Leucosiidae, Superfamilia Dromioidea, familia Dromiidae y Superfamilia Raninoidea, familia Raninidae (HENDRICKX, 1997); Superfamilia Galattheoidea, familias Munididae y Munidopsidae (Hendrickx, 2000); Infra-órdenes Astacidea, Achelata, Polychelida y Axiide (HOLTHUIS, 1991a); Superfamilia Trichodactyloidea Superfamilia Trichodactyloidea (MAGALHÃES y TÜRKAY, 1996); Orden Stomatopoda (MANNING, 1980); Superfamilia Galattheoidea, familia Porcellanidae (MÉNDEZ y AGUILAR, 1977); Superfamilia Chiro-

tyloidea (POORE, 2004); Superfamilia Pinnotheroidea (RATHBUN, 1918); Superfamilias Bellioidea, Cancroidea, Grapsoidea, Goneplacoidea y Xanthoidea sensu lato -Xanthoidea, Eriphioidea, Mennipidae, Platyxanthidae, Pseudozioidea, Pilumnoidea, Trapezoidea (RATHBUN, 1930); Superfamilia Dromioidea, familia Dromiidae, Superfamilias Raninoidea, Dorippoidea, Aethroidea, Calappoidea y Leucosioidea (RATHBUN, 1937); Infraordenes Axiidea y Gebiidea (SAKAI, 1999); Superfamilia Grapsoidea (SCHMITT, 1939); Superfamilia Galattheoidea, familias Munididae y Munidopsidae (SCHMITT, 1921); Infraordenes Astacidea, Achelata, Polychelida y Axiidea (WILLIAMS, 1986).

El ámbito de esta clave comprende el mar territorial peruano: sus aguas, la plataforma y el talud continental, orillas y estuarios. Abarca además, los ríos, lagos y lagunas de la cuenca hidrográfica del Pacífico y de la cuenca amazónica peruana.

Claves de identificación

ORDEN STOMATOPODA

(Según HENDRICKX 1995, MANNING 1980, BAHAMONDE 1968)

- 1a. Propodio del tercer y cuarto par de maxilípedos más ancho que largo y generalmente ornamentado o acanalado ventralmente. Telson sin una afilada carina media (Fig. 1a) (Superfamilia **Lysiosquilloidea**) 2
- 1b. Propodio del tercer y cuarto par de maxilípedos alargado no ornamentado ni acanalado ventralmente. Telson con una carina media cortante y dientes marginales submedianos con ápices móviles (Fig. 1b) 3

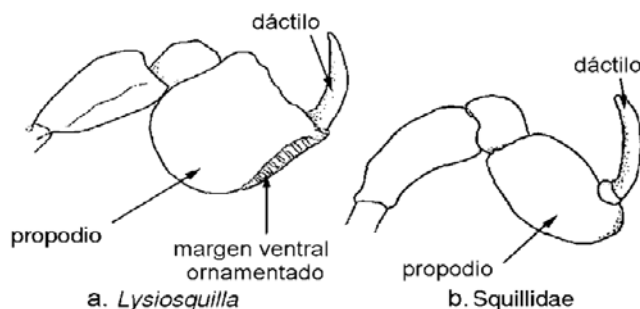


Figura 1.- Tercer maxilípodo en: a. Lysiosquilloidea; b. Squilloidea (según HENDRICKX 1995)

- 2a. Segmento distal del endópodo de las dos primeras patas ambulatorias ancho, ovalado ó subcircular (Fig. 2a). Endópodo uropodal con un fuerte pliegue en la porción terminal del margen externo (Fig. 2b) (Familia **Nannosquillidae**)

Nannosquilla decemspinosa (Rathbun, 1910)

- 2b. Segmento distal del endópodo de las dos primeras patas ambulatorias alargado. Endópodo uropodal sin un fuerte pliegue en la parte proximal del margen externo (Fig. 2c)

6

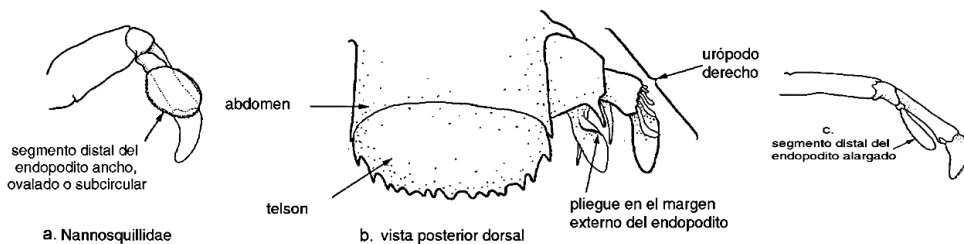


Figura 2.- Nannosquillidae: a. endópodo de pata ambulatoria (según HENDRICKX y SALGADO BARRAGÁN, 1990); b. vista postero-dorsal mostrando telson y urópodos de *Nannosquilla decemspinosa* (según HENDRICKX, 1995); c. endopodio de pata ambulatoria (según HENDRICKX y SALGADO-BARRAGÁN, 1990).

- 3a. Cuatro o más dentículos intermedios presentes en el telson (Superfamilia Squilloidea). Ángulos postero-laterales del caparazón redondeados. Propodio del segundo pereiópodo pectinado, sin espinas rectas (Fig. 3a) (Familia **Squillidae**) 7

- 3b. Hasta 2 dentículos intermedios presentes en el telson (Fig. 3b) (Superfamilia **Gonodactyloidea**) 4

4

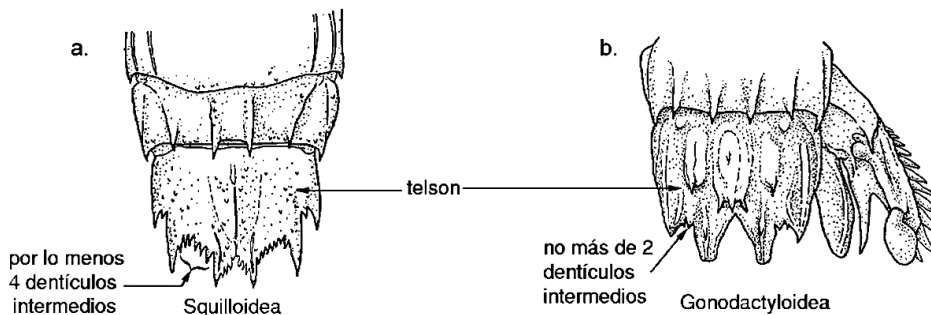


Figura 3.- Vista dorsal-posterior del telson en: a. Squilloidea; b. Gonodactyloidea (según HENDRICKX, 1995).

- 4a. Placa rostral triangular (Fig. 4a). Córnea globular. Dáctilo del segundo pereiópodo sin dientes (Fig. 4b) (Familia **Hemisquillidae**)

Hemisquilla ensigera ensigera (Owen, 1832)

- 4b. Placa rostral oval o pentagonal, no triangular. Córnea no globular. Dáctilo del segundo par de patas con uno o más dientes

5

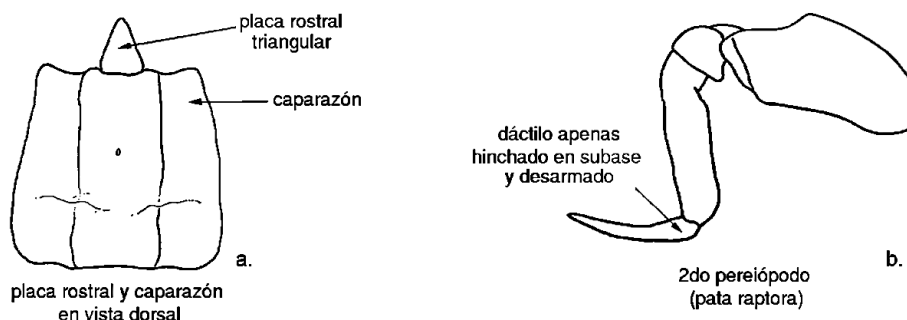


Figura 4.- Hemisquillidae: a. caparazón; b. segunda pata raptora (según HENDRICKX, 1995).

- 5a. Cuerpo libremente articulado. Dáctilo del segundo pereiópodo con más de cuatro dientes (Fig. 5a) (Familia **Eurysquillidae**)

Eurysquilla solari Manning, 1970

- 5b. Cuerpo compacto. Dáctilo del segundo pereiópodo con no más de 3 dientes (Fig. 5b) (Familia **Pseudosquillidae**)

Pseudosquillopsis lessonii (Guérin, 1831)

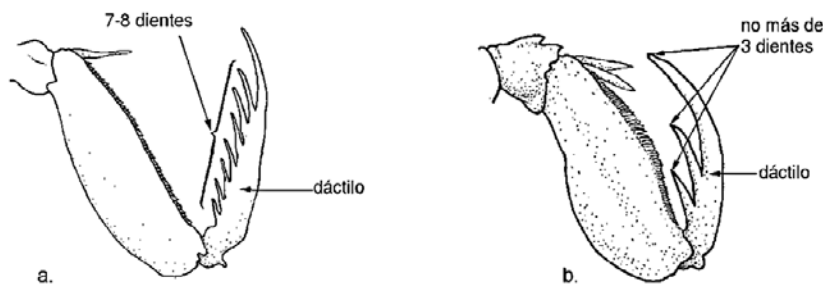


Figura 5.- Vista lateral del segundo pereiópodo en: a. Eurysquillidae; b. Pseudosquillidae (según HENDRICKX, 1995).

6a. Dáctilo de las garras no hinchado basalmente. Propodio de las garras muy pectinado (Fig. 6a). Placa rostral cordiforme o triangular (Fig. 6b) (Familia **Lysiosquillidae**).

Lysiosquilla manningi Boyko, 2000

6b. Segmento distal del endópodo de los dos primeros pares de patas ambulatorias alargado, porción proximal del margen externo del endópodo uropodal no plegado en el ángulo más interno. Placa rostral generalmente cordiforme con una espina apical, ocasionalmente trunca. Protopodito antenal con una o más papilas ventrales o mediales (Fig. 6c) (Familia **Tetrasquillidae**)

Heterosquilla (Heterosquilla) polydactyla (Von Martens, 1881)

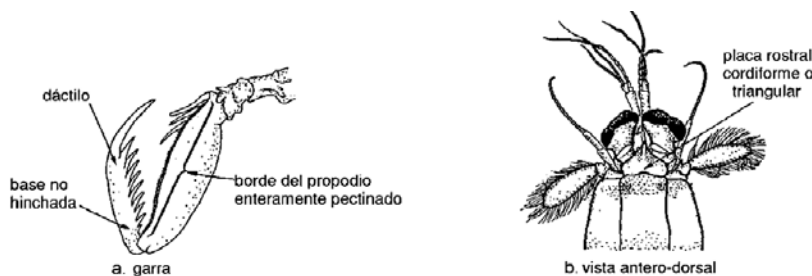


Figura 6.- Lysiosquillidae: a. segundo maxilípodo o garra; b. vista ántero-dorsal (según HENDRICKX y SALGADO-BARRAGÁN, 1990)

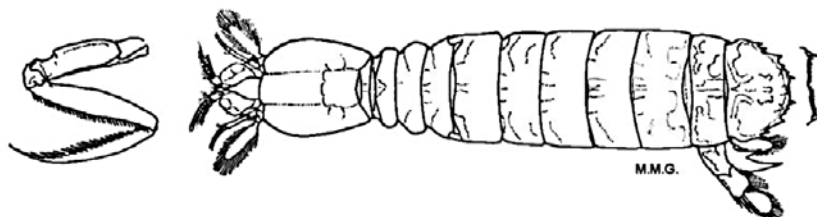


Figura 6c.- *Heterosquilla polydactyla*

7a. Dientes submedianos del telson con ápices fijos (Fig. 7a). Coxa de los maxilípedos con 4 ó 5 epipoditos (Fig. 7b). Ojos en forma de "T", con el pedúnculo ocular no dilatado (Fig. 7c)

8

7b. Dientes submedianos del telson con ápices móviles. Coxa de los maxilípedos con 2 a 5 epipoditos. Ojos y pedúnculo ocular de forma variable

14

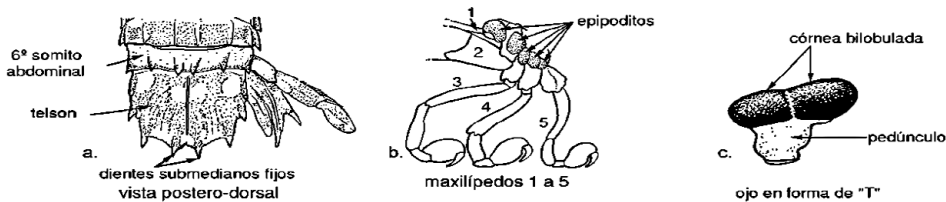


Figura 7.- Squilla: a. telson; b. maxilípedos; c. ojo (según HENDRICKX, 1995).

8a. Una espina ventral en la base de la garra (Fig. 8a). Coxa de los maxilípedos con 4 epipoditos

Squilla aculeata aculeata Bigelow, 1893

8b. Base de la garra sin espina ventral. Coxa de los maxilípedos con 4 epipoditos

9

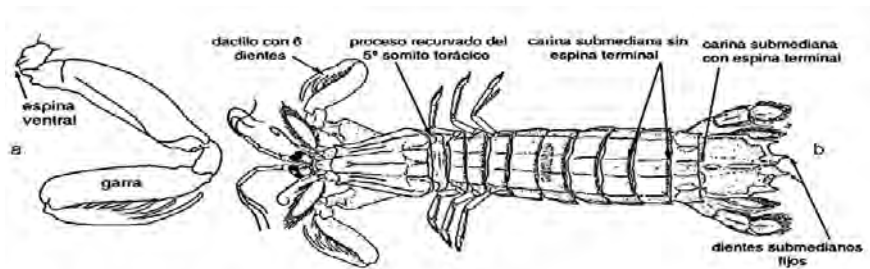


Figura 8.- *Heterosquilla polydactyla*: a. segundo maxilipedo (según HENDRICKX y SALGADO-BARRAGÁN, 1990); b. vista dorsal (según HENDRICKX, 1995).

9a. Lóbulo prelateral del telson terminado en espina (Fig. 9)

Squilla biguelowi Schmitt, 1940

9b. Lóbulo prelateral del telson ausente o presente, nunca terminado en espina

10

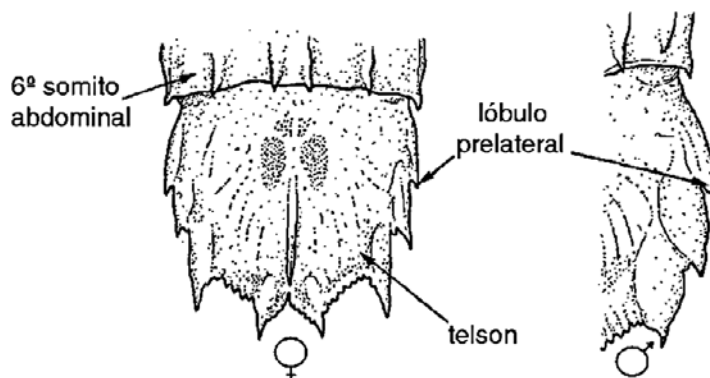


Figura 9.- *Squilla biguelowi* (según HENDRICKX y SALGADO-BARRAGÁN, 1990).

10a. Únicamente el sexto somito abdominal con carinas submedianas terminadas en una espina

11

10b. Quinto y sexto somito abdominal con carinas submedianas terminadas en espinas

12

11a. Carina mediana del caparazón con una bifurcación bien marcada por delante del surco cervical (Fig. 10a). Placa rostral con una carina mediana (Fig. 10b)

Squilla mantoidea Bigelow, 1893

11b. Carina mediana del caparazón no bifurcada por delante del surco cervical. Placa rostral sin carina mediana. Carina intermedia extendida hasta el margen anterior del caparazón. Telson con tubérculos dorsales en posición lateral con respecto a la carina media (Fig. 11)

Squilla hancocki Schmitt, 1940

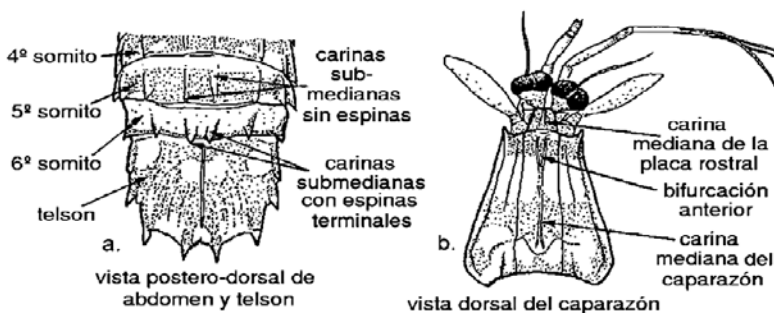


Figura 10.- Vista dorsal de *Squilla mantoidea*: a. posterior; b. anterior (según HENDRICKX y SALGADO-BARRAGÁN, 1990).

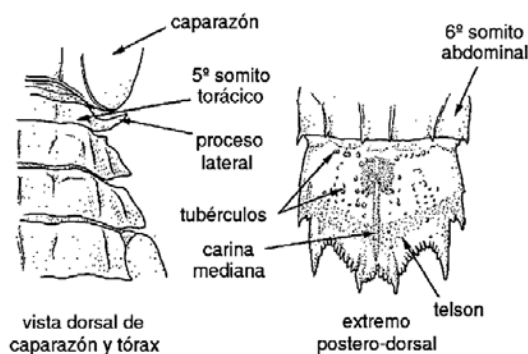


Figura 11.- *Squilla hancocki* (según HENDRICKX y SALGADO-BARRAGÁN, 1990).

12a. Carina mediana del caparazón no bifurcada por delante del surco cervical (Fig. 12) 13
Squilla parva Bigelow, 1891

12b. Carina media del caparazón con una bifurcación por delante del surco cervical (Fig. 13a)

13a. Carinas submedianas de los somites abdominales 4, 5 y 6 terminadas en una espina (Fig. 13b) 13
Squilla panamensis Bigelow, 1891

13b. Carinas submedianas de los somites abdominales 5 y 6 terminadas en una espina (Fig.13c) 13
Squilla mantoidea Bigelow, 1893

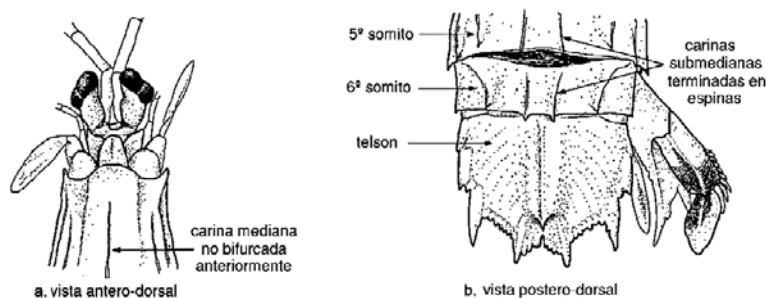


Figura 12.- *Squilla parva* (según HENDRICKX y SALGADO-BARRAGÁN, 1990).

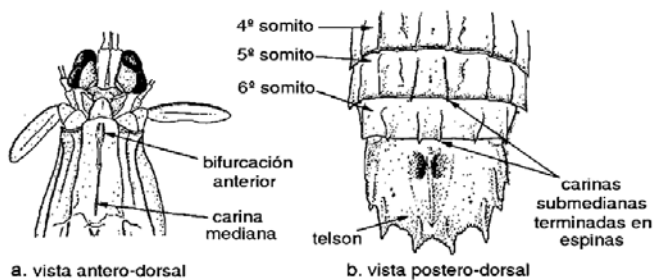


Figura 13.- *Squilla panamensis* (según HENDRICKX y SALGADO-BARRAGÁN, 1990).

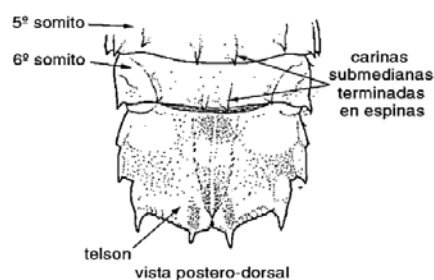


Figura 13c.- *Squilla mantoidea* (según HENDRICKX y SALGADO-BARRAGÁN, 1990).

14a. Ángulos ántero-laterales del caparazón terminados en una espina (Figs. 14a, 15a) 15

14b. Ángulos ántero-laterales del caparazón no terminados en una espina 16

15a. Coxa de los maxilípedos con 2 ó 3 epipoditos. Base de los ojos dilatada. Dáctilo de la garra con 5 ó 6 dientes. Dentículos del telson obtusos (Fig. 14b)

Cloridopsis dubia (H.M.E., 1837)

- 15b. Coxa de los maxilípedos con 4 epipoditos. Base de los ojos no dilatada (Fig. 15a). Dáctilo de la garra con 4 dientes. Dentículos del telson puntiagudos (Fig.15b)

Schmittius politus (Biguelow, 1891)

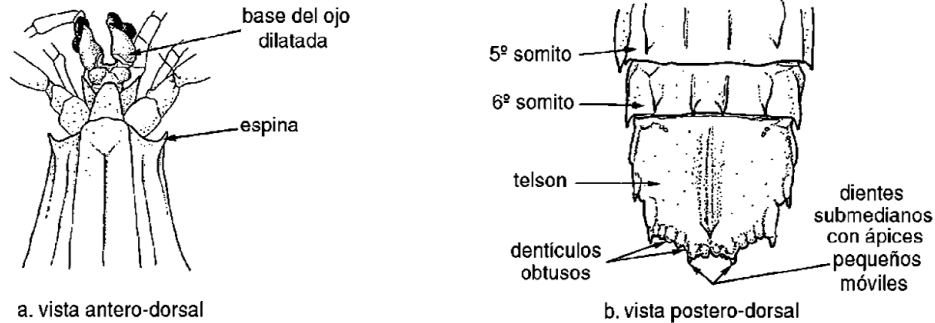


Figura 14.- *Cloridopsis dubia* (según HENDRICKX, 1995).

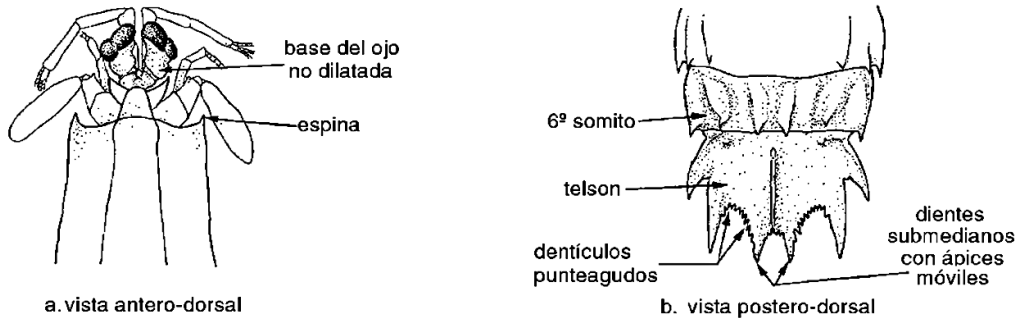


Figura 15.- *Schmittius politus* (según HENDRICKX, 1995).

ORDEN DECAPODA

Infraordenes Astacidea, Achelata, Polychelida y Axiidea

(Según HOLTHUIS 1991, WILLIAMS 1986, GALIL 2000)

- 1a. Primeros tres pares de periópodos con quelas verdaderas, el primer par más grande y robusto 2
- 1b. Tercer par de periópodos nunca con quelas verdaderas, en la mayor parte de grupos las quelas también están ausentes en el primer y segundo par de periópodos 3
- 2a. Cuarto par y usualmente también el quinto par de periópodos, sin quelas verdaderas. Caparazón cilíndrico, no aplanado (**infraorden Astacidea**: Superfamilia **Nephropoidea**: Familia **Nephropidae**). Caparazón liso. Longitud del rostro menos de la mitad de la longitud del caparazón (Fig.16)

Nephropsis occidentalis Faxon, 1893

- 2b. Todos los periópodos, o al menos los primeros cuatro pares, con quelas verdaderas. Caparazón aplanado. Especies de profundidad (Infraorden **Polychelida**: Superfamilia **Polycheloidea**: Familia **Polychelidae**) 5
- 3a. Flagelo antenal reducido a un simple, ancho y aplanado segmento, similar a los otros segmentos antenales (Infraorden **Achelata**: Superfamilia **Palinuroidea**: Familia **Scyllaridae**) 7
- 3b. Flagelo antenal largo, multi-articulado, flexible, como un látigo o más rígido 4

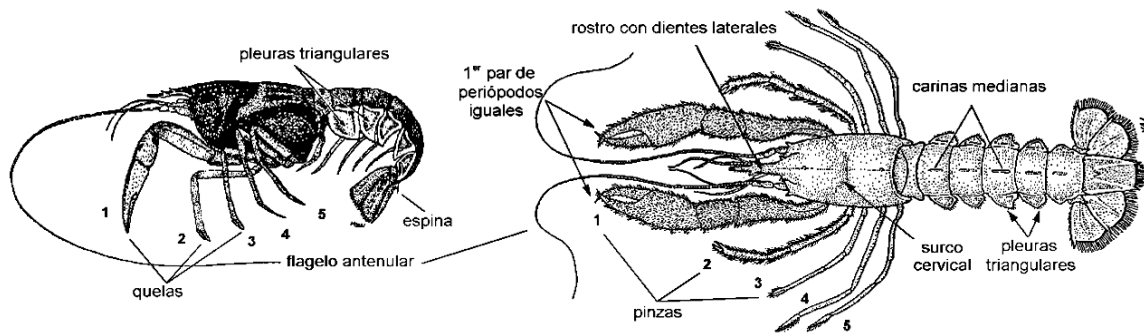


Figura 16.- *Nephropsis occidentalis*: vista lateral (según HOLTHUIS, 1991); vista dorsal (según BAHAMONDE, 1995; HENDRICKX, 1995).

- 4a. Caparazón con numerosas espinas fuertes y no tan fuertes, además dos cuernos frontales por encima de los ojos. Rostro ausente o reducido a una simple espina. Segundo al cuarto par de periópodos (usualmente también el primero) sin quela o subquela (Infraorden **Achelata**: Superfamilia **Palinuroidea**: Familia **Palinuridae**) 9
- 4b. Caparazón con pocas espinas; sin cuernos frontales. Rostro presente, algunas veces pequeño y de diversas formas. Primer periópodo quelado o subquelado 9
Infraorden Axiidea
- 5a. Carpo del quelípedo un tercio de la longitud del mero *Polycheles tanneri* Faxon, 1893
- 5b. Carpo del quelípedo la mitad de la longitud del mero 6
- 6a. Caparazón posteriormente sin espinas entre las carinas branquial y media post- cervical; carina media del quinto terguito abdominal anteriormente bulbosa *Stereomastis pacifica* (Faxon, 1893)
- 6b. Caparazón posteriormente espinoso entre las carinas branquial y media post-cervical; carina en forma de lira en el redondeado sexto terguito abdominal; tubérculo basal del telson romo *Stereomastis evexa* (Galil, 2000)
- 7a. Exópodos de todos los maxilípedos con flagelos multiarticulados 8
- 7b. Exópodos del tercer y quinto maxilípedo sin flagelo; el flagelo del segundo maxilípedo transformado a un simple segmento laminado. Margen lateral del caparazón con incisiones cervicales y post-cervicales superficiales. Quinta pata de la hembra con quela *Acantharctus delfini* (Bouvier, 1909)
- 8a. Caparazón fuertemente deprimido, con una profunda incisión cervical cerrada en el margen lateral; órbitas enteramente cerradas. Caparazón con dientes postero-mediales. Cuerpo liso y tuberculado (Fig. 17) *Evibacus princeps* Smith, 1869
- 8b. Caparazón abovedado, con una pequeña y superficial incisión cervical. Mandíbula con tres palpos segmentados. Primer somite del abdomen con dos distintivas manchas laterales, además numerosas manchas pequeñas se fusionan en el área media (Fig. 18) *Scyllarides astori* Holthuis, 1960

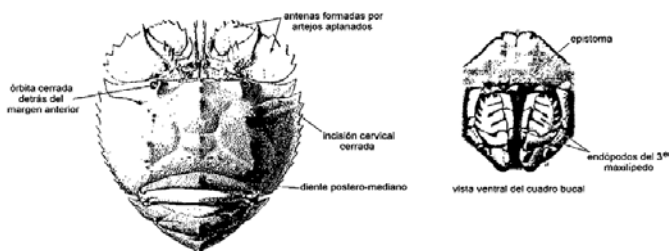


Figura 17.- *Evibacus princeps*: vista dorsal y cuadro bucal (según HOLTHUIS, 1991; HENDRICKX, 1995).

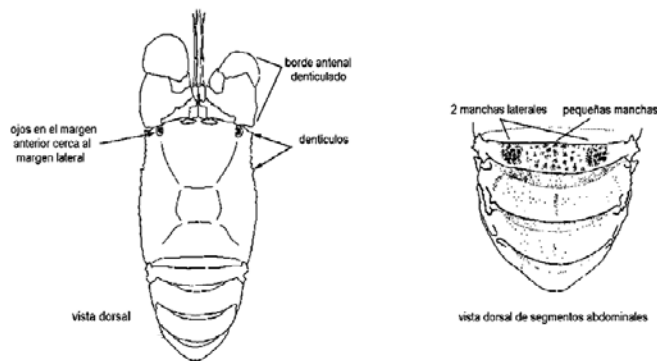


Figura 18.- *Scyllarides astori*: vista dorsal (según HENDRICKX, 1995); vista dorsal del abdomen (según WILLIAMS, 1986).

9a. Somites abdominales con un marcado e ininterrumpido surco o ranura transversal. Tercer maxilípodo con exópodo flagelado. Borde ventral de las pleuras 2 a 5 con 2 dientes desiguales. Placa antenular con 4 fuertes espinas, las cuales se fusionan en sus bases formando un racimo de 4 puntas divergentes (Fig. 19)

Panulirus penicillatus (Olivier, 1791)

9b. Somites abdominales lisos, sin surco transversal. Tercer maxilípodo no tiene exópodo flagelado. Placa antenular con 4 espinas ampliamente separadas: las del par anterior más grandes que las del par posterior

10

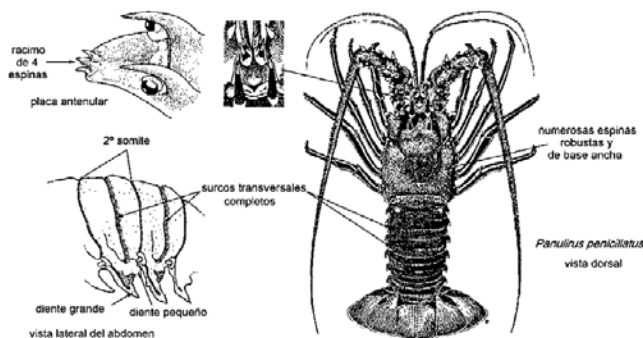


Figura 19.- *Panulirus penicillatus*: placa antenular y vista lateral del abdomen (según HOLTHUIS, 1991); vista dorsal (según HENDRICKX, 1995).

10a. Somites abdominales 1 a 6 con una marcada e ininterrumpida banda blanca transversa a lo largo del margen posterior. Pleuras con una banda similar conectada a ésta en los segmentos 2 – 5 y con una línea blanca en la parte delantera de cada somite, cerca de la unión de éstos así como en el lado anterior del primer segmento. Cuatro manchas basales en fila curva cruzan el medio de la cola desplegada (Fig. 20)

Panulirus gracilis Streets, 1871

- 10b. Abdomen sin distintivas bandas transversales en todos los somites, éstos lisos y desnudos. Pleuras con puntas de color blanco que a veces se extiende por sus márgenes (Fig. 21)

Panulirus ornatus (Fabricius, 1798)

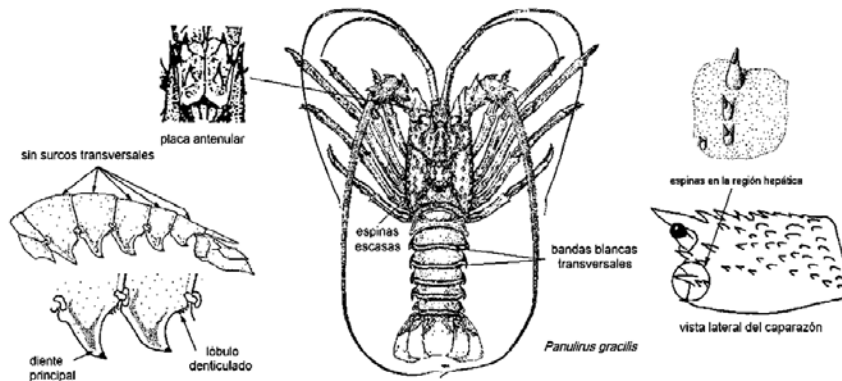


Figura 20.- *Panulirus gracilis* (según HENDRICKX, 1995).



Figura 21.- *Panulirus ornatus* (según HOLTHUIS, 1991).

Infraorden Axiidea

(Según HENDRICKX 1995, SAKAI 1999)

- 1a. Primer par de periópodos terminados en pinzas o pseudopinzas, nunca muy peludos. Caparazón con línea talasínica 2
- 1b. Primer par de periópodos robustos, muy peludos, desiguales, terminados en pinzas verdaderas. Caparazón sin línea talasínica (Superfamilia **Axiioidea**) 3
- 2a. Rostro ausente o muy reducido o claramente visible, nunca con espinas ó tubérculos dorsales, no rebasa el borde anterior de los ojos y no cubre la base de los pedúnculos oculares. Pereiópodos del primer par desiguales, terminados en pinzas bien desarrolladas Superficie dorsal del exopodito del urópodo provisto de una capa dorsal (Superfamilia **Callianassoidea**: Familia **Callianassidae**) 6
- 2b. Rostro bien desarrollado, parcialmente cubierto de pequeños tubérculos o espinas, cubre parte de los pedúnculos oculares. Pereiópodos del primer par iguales o subiguales, generalmente terminados en seudopinzas o en pinzas cuyo dedo fijo es más delgado que el dedo móvil. Urópodos sin suturas transversales (Superfamilia **Callianassoidea**: Familia **Upogebiidae**) 7
- 3a. Ojos rudimentarios, reducidos, subglobosos. Segundo par de pleópodos del macho con largos apéndices y con pérdida del endópodo (Familia **Calocarididae**) (Fig. 22)

Calocarides rostriserratus (Andrade y Baez, 1977)

- 3b. Ojos no reducidos. Segundo pleópodo del macho sin largos apéndices y sin pérdida del endópodo (Familia Axiidae)

4

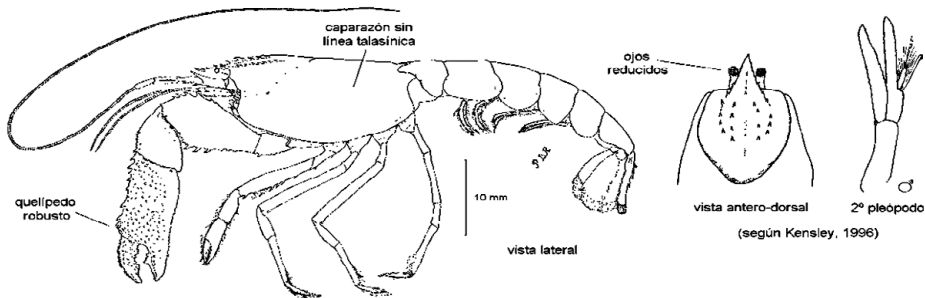


Figura 22.- *Calocarides rostriserratus*: vista lateral (según ANDRADE y BAEZ, 1977); vista antero-dorsal y 2º pleópodo (según KENSLEY, 1996a).

- 4a. Rostro espiniforme, no prolongado sobre la región gástrica del caparazón (Fig. 23)

Acanthaxius caespitosa (Squires, 1979)

- 4b. Rostro ancho, triangular, prolongado difusamente sobre la región gástrica del caparazón

5

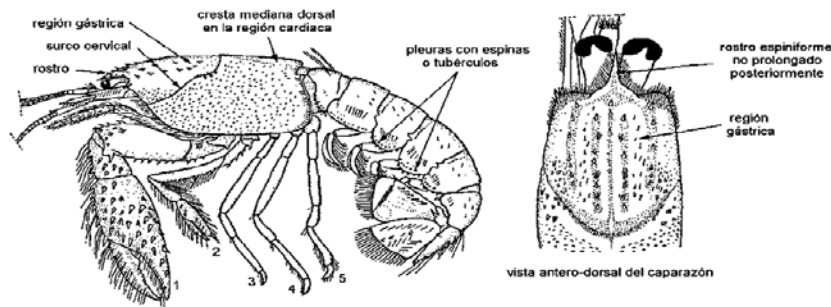


Figura 23.- *Acanthaxius caespitosa* (según SQUIRES, 1979; HENDRICKX, 1995).

- 5a. Sutura lateral en la rama uropodal. Quela "cortadora" con dedos no más largos que la palma (especies de aguas someras) (Fig. 24)

Axiopsis baronai Squires, 1977

- 5b. Sin sutura lateral en la rama uropodal. Quela "cortadora" con dedos curvados usualmente más largos que la palma (especies de aguas profundas) (Fig. 25)

Eiconaxius cristagalli (Faxon, 1893)

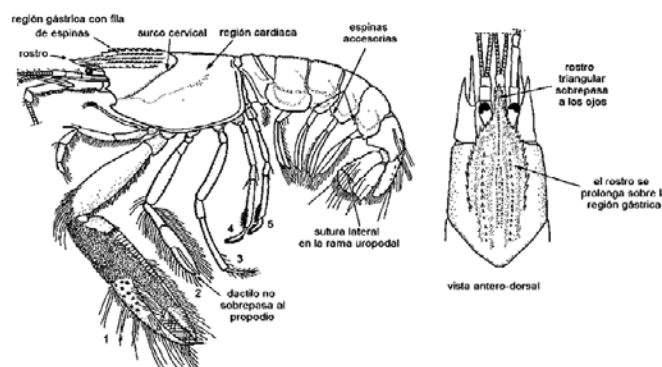


Figura 24.- *Axiopsis baronai* (según SQUIRES, 1977; HENDRICKX, 1995).

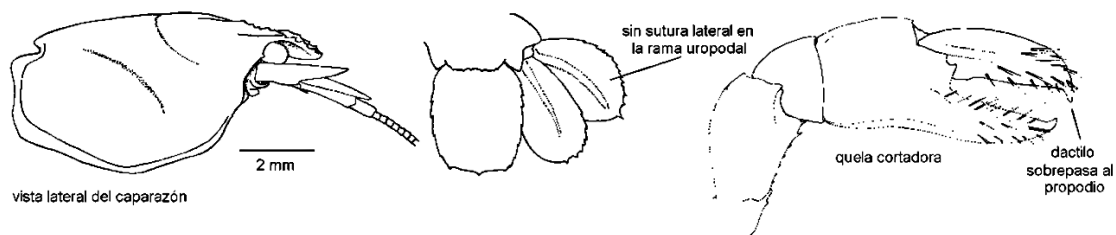


Figura 25.- *Eiconaxius cristagalli* (según KENSLEY, 1996b).

6a. Propodio del tercer maxilípodo más largo que ancho. Telson subcuadrado y sin espina media; margen posterior mayormente recto (Fig. 26)

Callianassa uncinata H. Milne Edwards, 1837

6b. Propodio del tercer maxilípodo más ancho que largo. Telson ancho distalmente, Endópodo uropodal en forma de asa (Fig. 27)

Callinectes seilacheri Bott, 1955

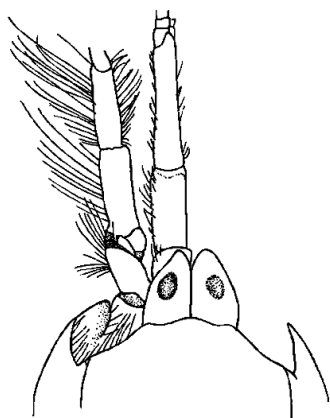


Figura 26.- *Callianassa uncinata*: parte anterior del caparazón (según SAKAI, 1999).

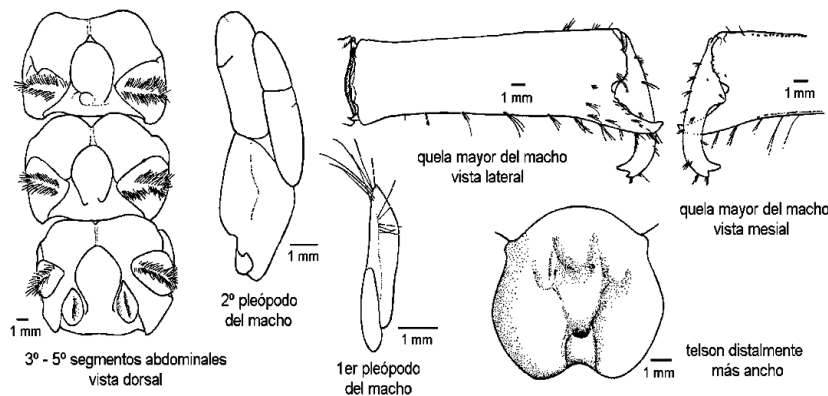


Figura 27.- *Callinectes seilacheri* (según SAKAI, 1999).

Infraorden Anomura

(Según HENDRICKX 1995)

1a. Periópodos 2 a 4 con el dactilo encorvado y aplanado. Abdomen fuertemente reducido y siempre replegado por debajo del tórax (Fig. 28a) (Superfamilia **Hippoidea**) 2

1b. Periópodos 2 a 4 con el dactilo normal, no encorvado o típicamente aplanado. Abdomen bien desarrollado, replegado por debajo del tórax en algunas especies 3

2a. Primer par de periópodos simple, sin pinzas niseudopinzas. Caparazón subcilíndrico (Fig. 28a) 3
Familia **Hippidae**

2b. Primer par de periópodos terminados enseudopinzas. Caparazón algo deprimido dorso-ventralmente (Fig. 28b)

Familias **Albuneidae** y **Blepharipodidae**

3a. Abdomen normalmente asimétrico (raramente recto y simétrico), no claramente dividido en segmentos, generalmente de consistencia membranosa, y provisto de urópodos modificados que permiten al animal mantenerse en el interior de conchas de gasterópodos. Caparazón ocasionalmente calcificado y algo espinoso (Fig. 29) (Superfamilia **Paguroidea**) 4

3b. Abdomen simétrico y claramente dividido en segmentos protegidos por un tegumento calcificado. Urópodos normales, bien desarrollados, a menudo adaptados a la natación

8

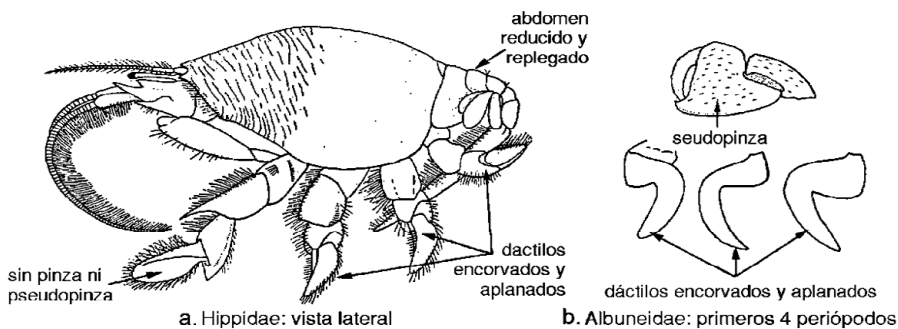


Figura 28.- Superfamilia Hippoidea: familias: a. Hippidae; b. Albuneidae (según HENDRICKX, 1995).

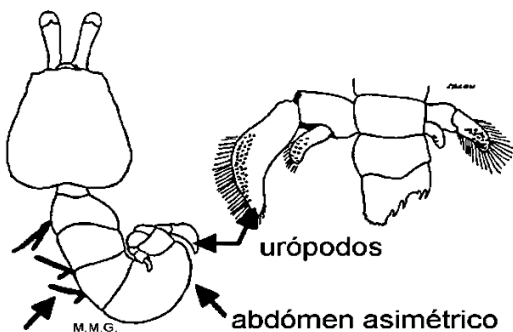


Figura 29.- Superfamilia Paguroidea: vista dorsal.

4a. Bases (coxas) del tercer par de maxilípedos muy juntas (Fig. 30a). Quelípedos subiguales, o bien, el izquierdo mucho mas robusto que el derecho (raramente el derecho ligeramente más robusto que el izquierdo)

5

4b. Bases (coxas) del tercer par de maxilípedos bien separadas (Fig. 30b). Quelípedo derecho generalmente mas robusto que el izquierdo, ocasionalmente los dos quelípedos subiguales (el izquierdo nunca más robusto que el derecho)

6

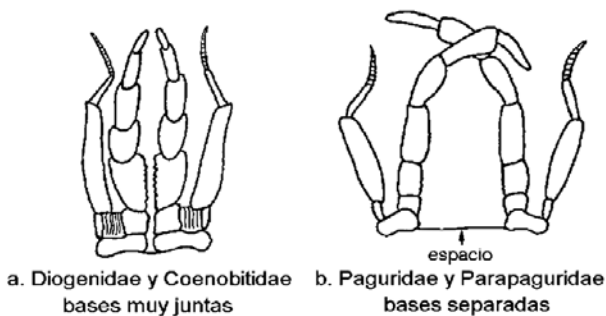


Figura 30.- Superfamilia Paguroidea: tercer par de maxilípedos (según HENDRICKX, 1995).

5a. Pedúnculo ocular comprimido lateralmente, su lado interno vertical y con una depresión cerca de la base. Ojos en posición subparalela. Cangrejos terrestres o semiterrestres (Fig. 31) (Familia **Coenobitidae**)

Coenobita compressus Guérin, 1831

5b. Pedúnculo ocular de sección circular o subcircular. Ojos en posición oblicua (Fig. 32). Cangrejos marinos

Familia Diogenidae

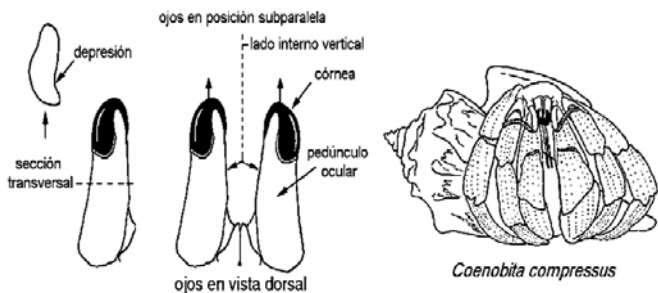


Figura 31.- Familia Coenobitidae (según HENDRICKX, 1995).

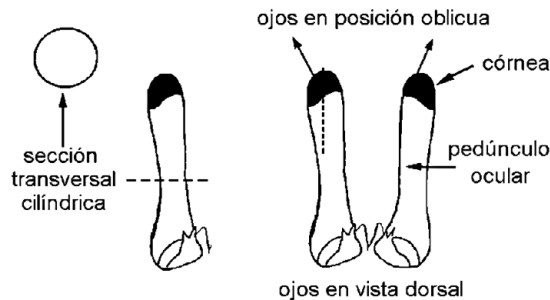


Figura 32.- Familia Diogenidae: ojos y pedúnculos oculares (según HENDRICKX, 1995).

6a. Caparazón espinoso y de consistencia firme. Rostro en forma de espina. Periópodos 2, 3 y 4 largos y fuertes; Quinto par de periópodos reducidos (Fig. 33a) (Superfamilia **Lithodoidea**)

Familia **Lithodidae**

6b. Caparazón de consistencia firme sólo en la porción anterior, membranoso posteriormente. Rostro obsoleto o muy reducido. Pereiópodos 2 y 3 largos y fuertes; pereiópodos 4 y 5 reducidos (Fig. 33b)

7

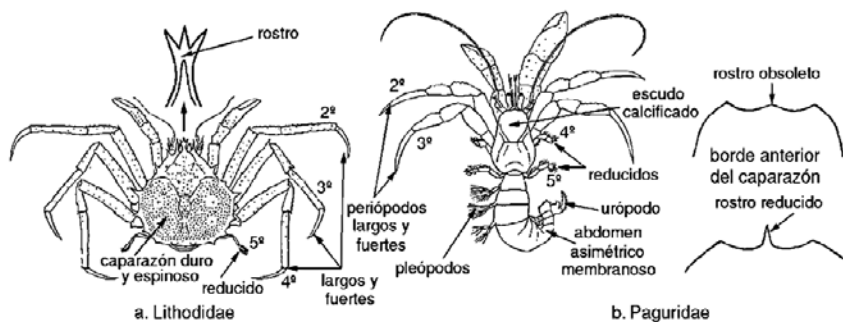


Figura 33.- Familias: a. Lithodidae; b. Paguridae (según HENDRICKX, 1995).

7a. Primer par de maxilípedos con un flagelo (Fig. 34a). Telson a menudo con una constricción transversal mediana (Fig. 34b). Hembras con gonoporos en ambas coxas del tercer par de periópodos

Familia **Paguridae**

7b. Primer par de maxilípedos sin flagelo. Telson sin constricción transversal mediana (Fig. 34c). Hembras con un gonoporo en la coxa del tercer periópodo izquierdo. Especies abisales

Familia **Parapaguridae**

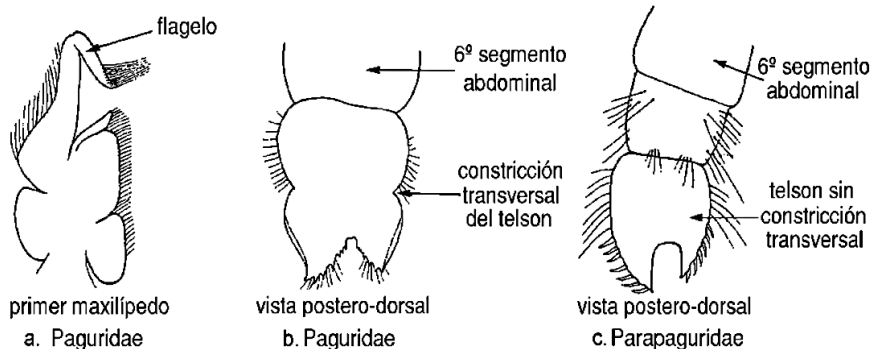


Figura 34.- Familia Paguridae: a. primer maxilípedo; b. telson. Familia Parapaguridae: c. telson. (según HENDRICKX, 1995).

- 8a. Rostro corto, poco desarrollado o ausente. Forma general semejante a la de un pequeño cangrejo de caparazón ovalado o circular. Abdomen siempre bien replegado por debajo del tórax (Fig. 35)

Superfamilia **Galatheoidea**: Familia **Porcellanidae**

- 8b. Rostro alargado, bien desarrollado y rebasando el borde anterior de los ojos. Forma general semejante a la de una pequeña langosta en posición extendida, con un abdomen de tipo natatorio

9

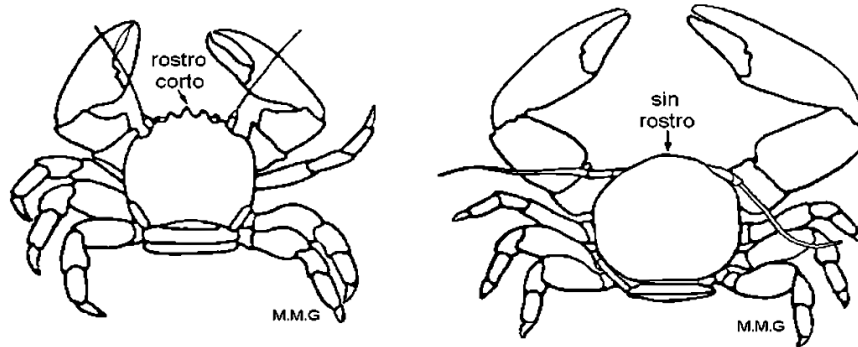


Figura 35.- Familia Porcellanidae

- 9a. Telson subdividido en dos o más placas. Pedúnculo antenular compuesto de 4 artejos móviles (Fig. 36a)

Superfamilia **Galatheoidea**: Familias **Munididae** y **Munidopsidae**

- 9b. Telson entero, nunca subdividido en dos o más placas. Pedúnculo antenular con 5 artejos (Fig. 36b)

Superfamilia **Chirostyloidea**: Familia **Chirostylidae**

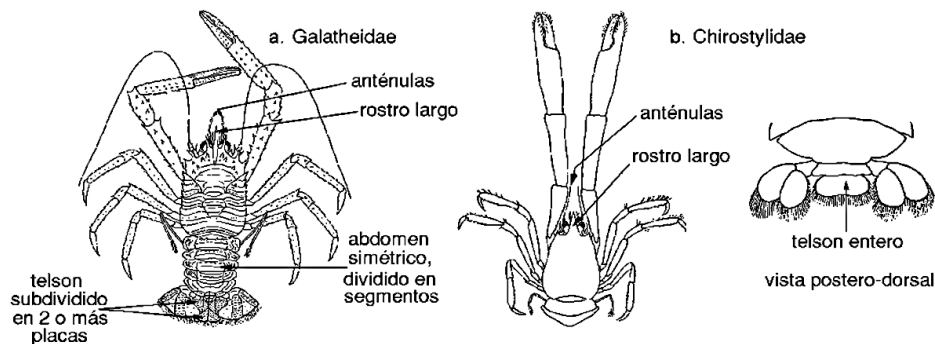


Figura 36.- Familias: a. Munididae; b. Chirostylidae (según HENDRICKX, 1995).

Superfamilia Chirostyloidea: Familia Chirostylidae

(Según POORE 2004, BABA 1977, 2005)

- 1a. Pereiópodos usualmente espinosos y delgados. Rostro muy desarrollado y espiniforme. Un par de espinas distintivamente largas en la base del rostral (Fig. 37a)

Gastroptychus cavimurus Baba, 1977

- 1b. Pereiópodos ligeramente espinosos, cortos o moderadamente largos. Rostro aplanado, delgado o anchamente triangular (Género *Uroptychus*)

2

2a. Margen antero-lateral del caparazón con una espina (Fig. 37b)
Uroptychus nitidus occidentalis Faxon, 1893

2b. Margen antero-lateral del caparazón con una fila de espinas. Región gástrica anterior con una fila transversal de espinas (Fig. 37c)

Uroptychus pubescens Faxon, 1893

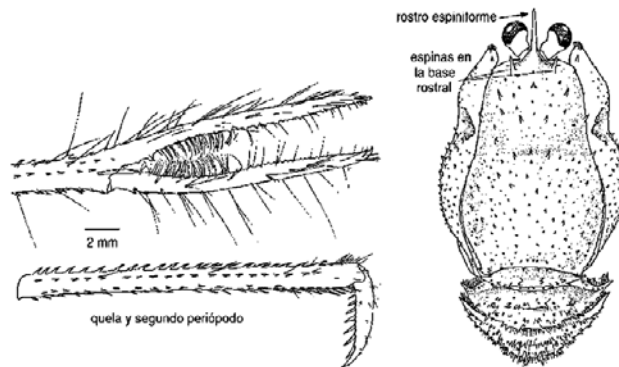


Figura 37.- a, *Gastroptychus cavimurus* (según BABA, 1977).

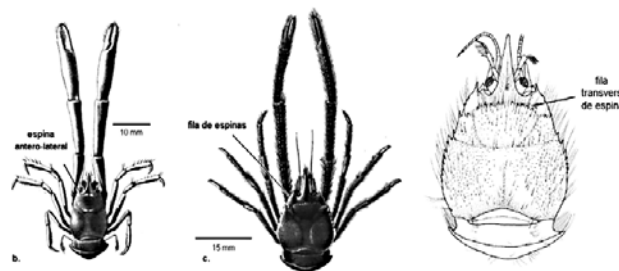


Figura 37.- b. *Uroptychus nitidus* OCCIDENTALIS; c. *Uroptychus pubescens*. Vistas frontales según FAXON, 1895; detalle del caparazón según HENDRICKX y AYON 2011.

Superfamilia Galatheoidea: Familias Munididae y Munidopsidae

(Según HAIG 1956, SCHMITT 1921, HENDRICKX 1995, 2000, BABA 2005)

1a. Porciones laterales (branquiostegitos) del caparazón perceptibles en vista dorsal. Especies bentónicas y pelágicas (Fig. 38) (Familia **Munididae**)

Pleuroncodes monodon H. Milne Edwards, 1837

1b. Porciones laterales (branquiostegitos) del caparazón no perceptibles en vista dorsal

2

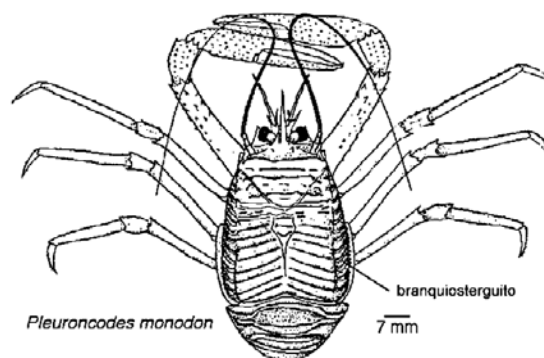


Figura 38.- *Pleuroncodes monodon* "camaroncito rojo" (según RETAMAL, 1981).

2a. Ojos reducidos. Tegumento muy duro, bien calcificado. Líneas transversales ciliadas de la parte dorsal del caparazón poco desarrolladas o ausentes (Fig. 39a). Habitan aguas profundas (Familia **Munidopsidae**)

6

2b. Ojos bien desarrollados. Caparazón con líneas transversales ciliadas bien desarrolladas. Una espina supraocular en la base del rostro (Fig. 39b) (Familia **Munididae**, género *Munida*)

3

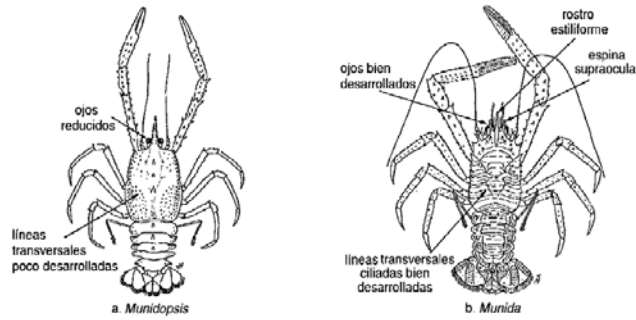


Figura 39.- Géneros: a. *Munidopsis*; b. *Munida* (según Faxon, 1895; HENDRICKX, 1995).

3a. Superficie lateral del 7º esternito con gránulos (Fig. 40 a)

4

3b. Superficie lateral del 7º esternito sin gránulos (Fig. 40 b)

5

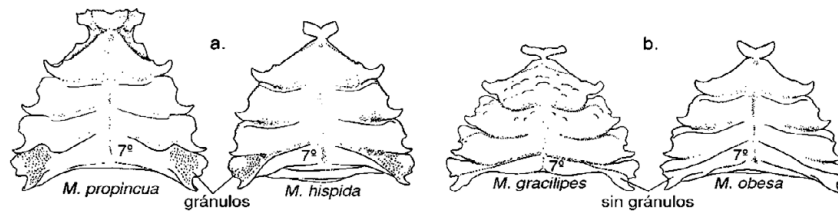


Figura 40.- Género *Munida*: 7º esternito (según HENDRICKX, 2000).

4a. Cresta transversal más posterior del caparazón sin espinas (Fig. 41 a)

Munida propinqua Benedict, 1902

4b. Cresta transversal más posterior del caparazón con una fila de espinas. Cuarto segmento abdominal con un par de espinas (Fig. 41b)

Munida hispida Benedict, 1902

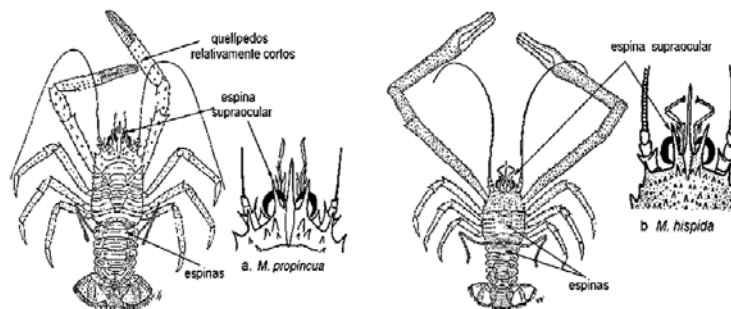


Figura 41.- a. *Munida propinqua* (según Faxon, 1902; HENDRICKX, 1995); b. *Munida hispida* (según BENEDICT, 1902; HENDRICKX, 1995).

5a. Caparazón con espina cardiaca. Cuarto segmento abdominal con espinas (Fig. 42)

Munida gracilipes Faxon, 1893

5b. Caparazón sin espina cardiaca. Cuarto segmento abdominal desarmado. 3er segmento abdominal con 1 ó 2 pares de espinas en la cresta anterior (Fig. 42b)

Munida obesa Faxon, 1893

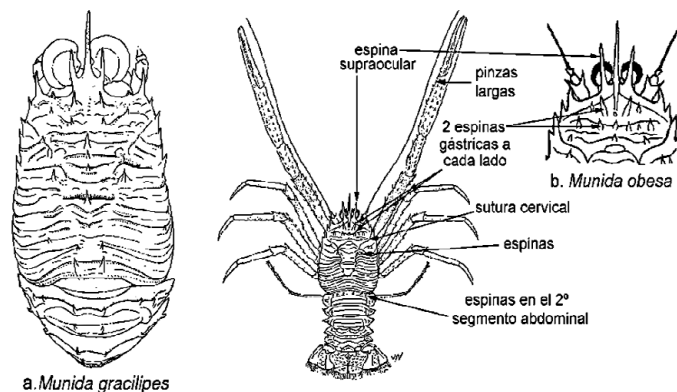


Figura 42.- a, *Munida gracilipes* (según HENDRICKX, 2000); b, *Munida obesa* (según FAXON, 1902; HENDRICKX, 1995).

6a. Caparazón con una prominente espina mesogástrica (Género *Galacantha*)

7

6b. Caparazón sin una prominente espina mesogástrica (Género *Munidopsis*)

9

7a. Rostro sin espinas laterales. Crestas escamadas en filas transversas en la mitad posterior del caparazón (Fig. 43a)

Galacantha diomedeeae Faxon, 1893

7b. Rostro con espinas laterales. Caparazón cubierto con tubérculos simples o en forma de escamas (Fig. 43b)

Galacantha rostrata A. Milne Edwards, 1880

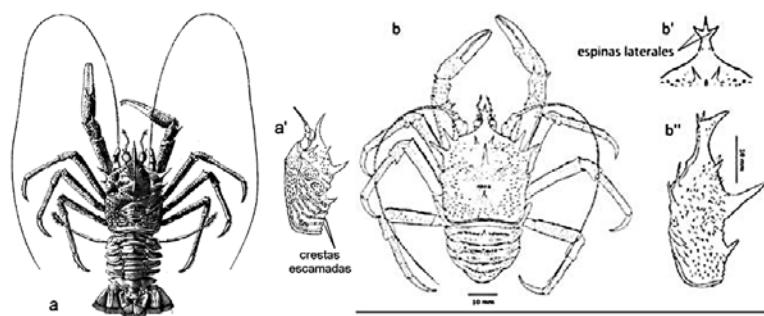


Figura 43.- a. *Galacantha diomedeeae* (según FAXON, 1895). *Galacantha rostrata*: b. vista dorsal; b'. vista fronto dorsal; b''. vista lateral (según INGLE y CHRISTIANSEN, 1984).

8a. Rostro con un par de espinas laterales al final de la porción horizontal anterior

9

8b. Rostro sin un par de espinas laterales

11

9a. Pedúnculo ocular con una pequeña espina ocular dorsal que no sobrepasa a la córnea

Munidopsis agassizii Faxon, 1893

9b. Pedúnculo ocular sin una espina ocular

10

10a. Caparazón con pequeñas espinas dispersas, entre otras un par de espinas epigástricas (Fig. 44 a)

Munidopsis sericea Faxon, 1893

10b. Caparazón sin pequeñas espinas dispersas. Cuarto segmento abdominal con 2 espinas submedianas (Fig. 44 b)

Munidopsis barrerae Bahamonde, 1964

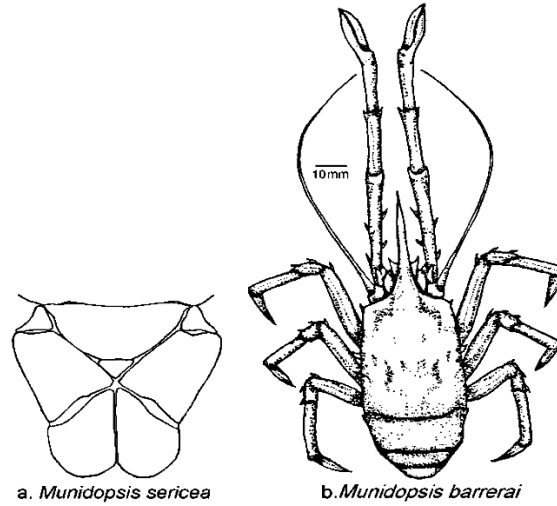


Figura 44.- a. Telson de *Munidopsis sericea* (según BABA, 2005); b. vista dorsal de *Munidopsis barrerae* (según RETAMAL, 1981).

11a. 2º pereiópodo alcanza o sobrepasa el final del 1er pereiópodo

12

11b. 2º pereiópodo no alcanza el final del 1er pereiópodo

15

12a. Sin espinas distinguibles en la región gástrica. Pereiópodos sin crestas prominentes (Fig. 45a)

Munidopsis verrucosus Khodkina, 1973

12b. Espinas distinguibles en la región gástrica

13

13a. Pedúnculo ocular delgado. Dáctilos de los pereiópodos 2 al 4 con reborde crestiforme franjeado con setas en cada una de las caras lateral y mesial (Fig.s. 45 b, 45 c)

Munidopsis antonii (Filhol, 1884)

13b. Pedúnculo ocular relativamente corto en longitud. Dáctilos de los pereiópodos 2 al 4 no crestados en las caras lateral y mesial

14

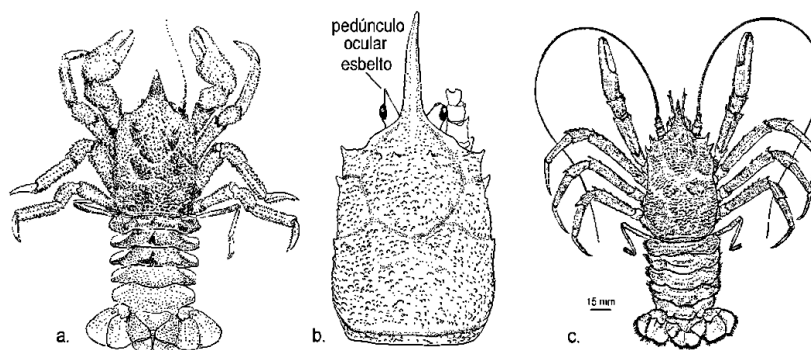


Figura 45.- a. *Munidopsis verrucosus* (según KHODKINA, 1973). *Munidopsis antonii*: b. (según BABA, 2005), c. (según RETAMAL, 1981).

- 14a. Sexto segmento abdominal con una aleta postero-mediana fuertemente proyectada. Numerosas espinas distinguibles en las regiones gástrica y antero-branquial (Fig. 46)

Munidopsis crassa Smith, 1885

- 14b. Sexto segmento abdominal con el margen postero-mediano débilmente convexo, no proyectado. Dáctilos de los pereiópodos 2 al 4 considerablemente curvados (Fig. 47)

Munidopsis subsquamosa Henderson, 1885

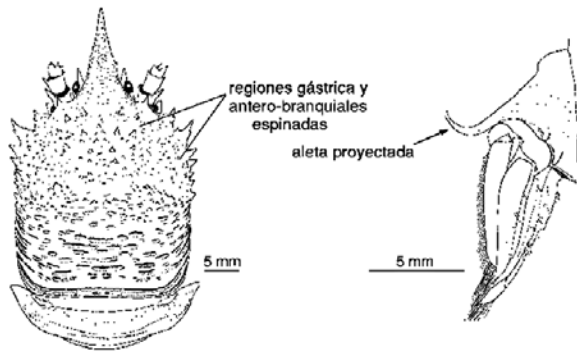


Figura 46.- *Munidopsis crassa* (según BABA, 2005).

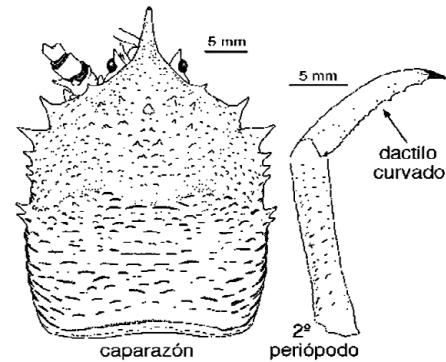


Figura 47.- *Munidopsis subsquamosa* (según BABA, 2005).

- 15a. Espina del ojo presente, incluyendo un proceso papiliforme y tuberculiforme 16

- 15b. Espina del ojo ausente 17

- 16a. Segundo y tercer segmento abdominal sin espinas. Caparazón cubierto de lado a lado con numerosos tubérculos puntiagudos. Espina antenal pequeña (Fig. 48 a)

Munidopsis scabra Faxon, 1893

- 16b. Segundo y tercer segmento abdominal con espinas. Rostro con 2 a 4 espinas laterales distinguibles. Espina antenal y orbital lateral en frente de un borde pequeño. Armadura dorsal del abdomen no confinado a la línea media. Quelípedos peludos (Fig. 48b)

Munidopsis hystrix Faxon, 1893

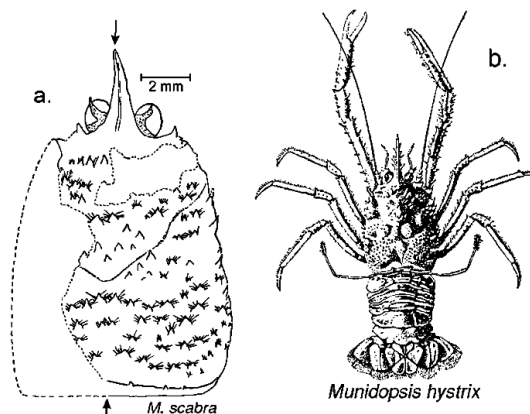


Figura 48.- a. *Munidopsis scabra* (según HENDRICKX, 1997); b. *Munidopsis hystrix* (según SCHMITT, 1921).

- 17a. Caparazón sin una fila de espinas en la línea media dorsal 18

- 17b. Caparazón con una fila de espinas en la línea media dorsal. Carpo del 3er maxilípodo con espinas en el margen extensor (Fig. 49)

Munidopsis hamata Faxon, 1893

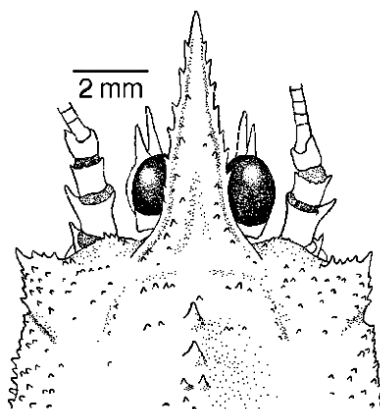


Figura 49.- *Munidopsis hamata* (según BABA, 2005)

- 18a. Caparazón con sinuosas arrugas escumiformes (Fig. 50 a) *Munidopsis villosa* Faxon, 1893
- 18b. Caparazón cubierto con gránulos y/o tubérculos 19
- 19a. Margen antero-lateral del caparazón redondeado. Rostro ampliamente triangular. Quelípedos no pilosos. Margen frontal transverso. Margen lateral recto y derecho (Fig. 50 b) *Munidopsis quadrata* Faxon, 1893
- 19b. Margen antero-lateral del caparazón angular. Rostro triangular angosto y se extiende más allá de la córnea. Quelípedos pilosos. Margen frontal proyectado detrás del pedúnculo antenal. Margen lateral irregular (Fig. 50 c) *Munidopsis aspera* Henderson, 1885

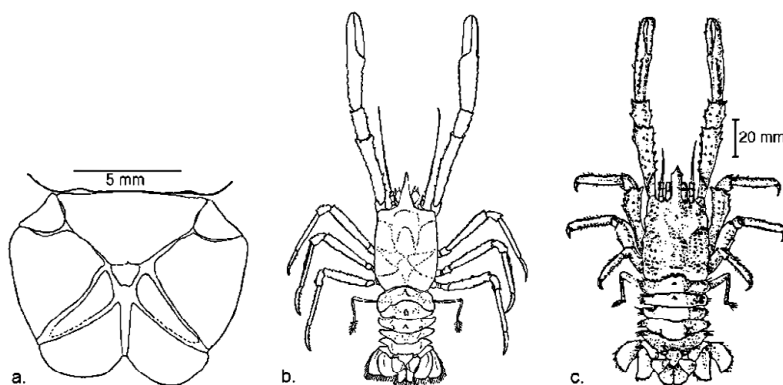


Figura 50.- a. *Munidopsis villosa* (según BABA, 2005); b. *Munidopsis quadrata* (según SCHMITT, 1921); c. *Munidopsis aspera* (según RETAMAL, 1981).

Superfamilia Galatheoidea - Familia Porcellanidae

(Según HAIG 1960, MÉNDEZ y AGUILAR 1977)

- 1a. Quelípedos normalmente se continúan más o menos rectos en frente del caparazón; márgenes laterales con una serie de 12 a 15 espinas diminutas, situadas muy juntas y posteriores al surco cervical (Fig. 51a) *Orthochela pumila* Glassell, 1936
- 1b. Quelípedos normalmente forman un ángulo en la articulación del carpo y la mano, con las manos directamente hacia adentro (Fig. 51b)

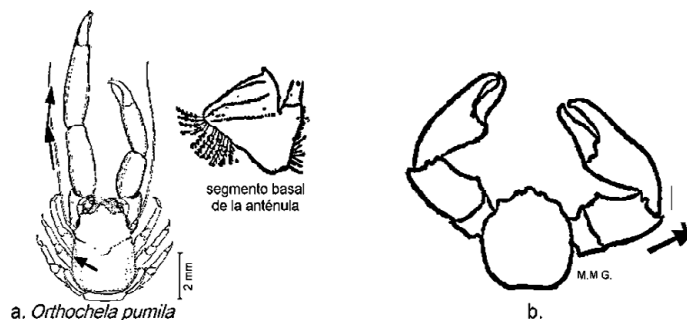


Figura 51.- a. *Orthochela pumila*: vista dorsal (según GLASSELL, 1936), base de la anténula (según HAIG, 1960); b. articulación del carpo y propodio en porcelánidos (según MÉNDEZ y AGUILAR, 1979).

2a. Caparazón al menos una y media veces más largo que ancho; una gran concavidad a manera de órbita en el margen hepático, su ángulo externo marcado por un diente

Género *Euceramus*

2b. Caparazón nunca más de una y media veces más largo que ancho; sin gran concavidad a manera de órbita en el margen hepático

3

3a. Segmento basal de la antena corto, no se prolonga hacia adelante para encontrarse con el margen anterior del caparazón, segmentos móviles (segundo y tercero) con libre acceso a la órbita; en algunos casos el segmento basal algo prolongado y en contacto con el ángulo orbital externo, casi excluyendo de la órbita los segmentos móviles de la antena (Fig. 52)

8

3b. Segmento basal de la antena prolongado hacia adelante y en amplio contacto con el margen anterior del caparazón, segmentos móviles (segundo y tercero) de la antena apartados, lejos de la órbita (Fig. 53)

4

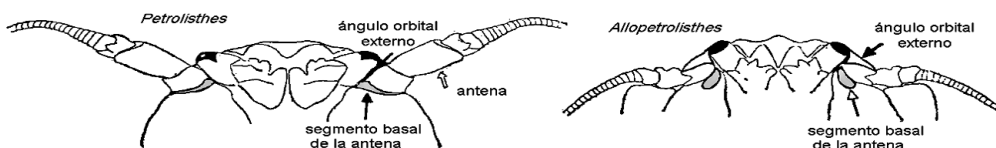


Figura 52.- Vista fronto-orbital en *Petrolisthes* y *Allopetrolisthes* (según MÉNDEZ y AGUILAR, 1979).



Figura 53.- Vista fronto-ventral en *Porcellana* (según MÉNDEZ y AGUILAR, 1979).

4a. Dáctilo de las patas caminadoras terminan en dos o más espinas fijas, largas y fuertes; propodio con tres espinas móviles; caparazón marcadamente más ancho que largo; frente cercanamente transversa en vista dorsal (Fig. 54)

Polyonyx nitidus Lockington, 1878

- 4b. Dáctilo de las patas caminadoras termina en una espina simple, usualmente con espinas accesorias móviles sobre el margen posterior

5



Figura 54.- Dáctilo y propodio de la primera pata caminadora de *Polyonyx nitidus* (según HAIG, 1960; HICKMAN y ZIMMERMAN, 2000).

- 5a. Frente repentinamente doblada hacia abajo, aparentemente redondeada o débilmente trilobada en vista dorsal (Fig. 55 a); telson con 7 láminas

Megalobrachium peruvianum Haig, 1960

- 5b. Frente prominente, fuertemente tridentada o trilobada en vista dorsal (Fig. 55 b)

6

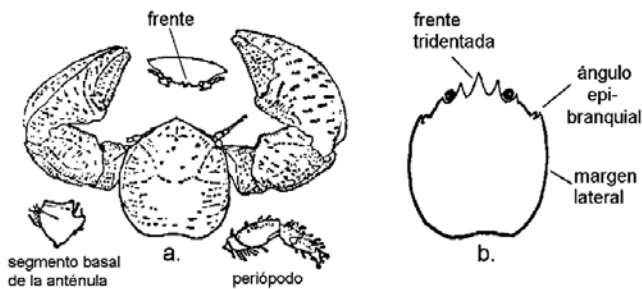


Figura 55.- a. *Megalobrachium peruvianum*; b. *Porcellana* (según MÉNDEZ y AGUILAR, 1979).

- 6a. Márgenes laterales del caparazón enteros. Dedos no torcidos y más o menos normales en la porción posterior al ángulo epibranquial (género *Porcellana*)

7

- 6b. Márgenes laterales del caparazón con espinulas. Dedos de uno o ambos quelípedos retorcidos sobre sí mismos en la porción posterior al ángulo epibranquial. (Fig. 56)

Pisidia magdalenensis (Glassell, 1936)

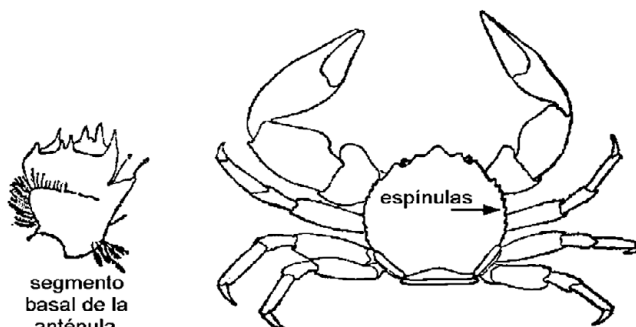


Figura 56.- *Pisidia magdalenensis* (según MÉNDEZ y AGUILAR, 1979)

- 7a. Margen lateral con una profunda y estrecha muesca a la altura del surco cervical: manos delgadas, su superficie algunas veces dilatada (Fig. 57 a)

Porcellana hancocki Glasell, 1938

- 7b. Sin muesca en el margen lateral a la altura del surco cervical; manos amplias, su superficie deprimida (Fig. 57 b)

Porcellana cancrisocialis Glasell, 1936

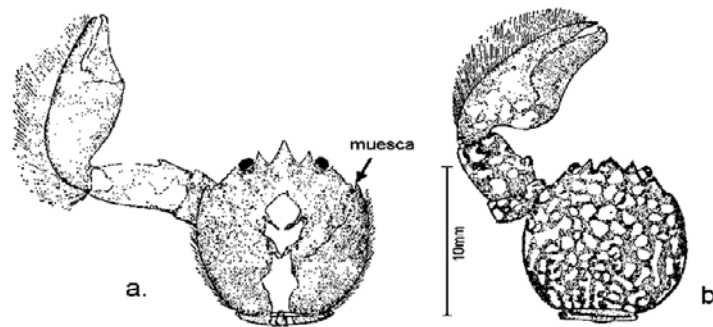


Figura 57.- a. *Porcellana hancocki*; b. *Porcellana cancrisocialis* (según MÉNDEZ y AGUILAR, 1979).

- 8a. Porción posterior de las paredes de los lados del caparazón con una o más piezas separadas por espacios membranosos (Fig. 58 a) (Género *Pachycheles*)

11

- 8b. Porción posterior de las paredes de los lados del caparazón sin piezas separadas (Fig. 58 b)

9

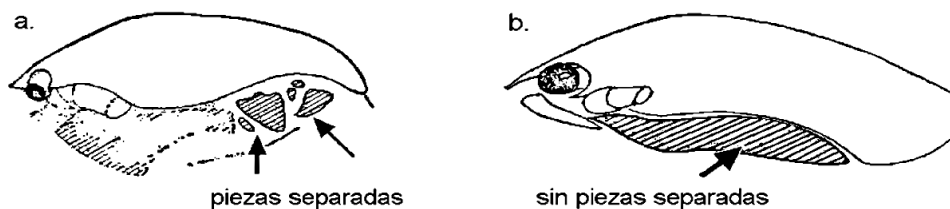


Figura 58.- Vista lateral del caparazón en: a. *Pachycheles*; b. pared lateral continua en otros géneros de Porcelánidos (según MÉNDEZ y AGUILAR, 1979).

- 9a. Telson casi invariablemente con 7 láminas (Fig. 59 a); segmento basal de la anténula no expandido lateralmente; segmento basal de la antena generalmente poco desarrollado, a veces con una proyección diferenciada hacia adentro formando un margen suborbital parcial; frente triangular o trilobada, usualmente más prominente (Género *Petrolisthes*)

17

- 9b. Telson con 5 láminas (Fig. 59 b); segmento basal de la anténula expandido lateralmente; segmento basal de la antena prolongado hacia delante y forma con el lado exterior del segmento antenular un margen suborbital casi completo; frente tridentada o claramente trilobada (Fig. 61)

10

- 10a. Margen anterior del carpo con dos espinas angostas; frente tridentada, fuertemente prolongada por delante de los ojos; segmento basal de la antena no totalmente prolongado (Fig. 60)

Liopetrolisthes mitra (Dana, 1852)

- 10b. Margen anterior del carpo con un lóbulo ancho; frente trilobada, dos lóbulos suplementarios algunas veces presentes; segmento basal de la antena prolongado y en contacto con el ángulo orbital externo, casi excluyendo de la órbita los segmentos móviles de la antena (Fig. 61) (Género *Allopetrolisthes*)

26

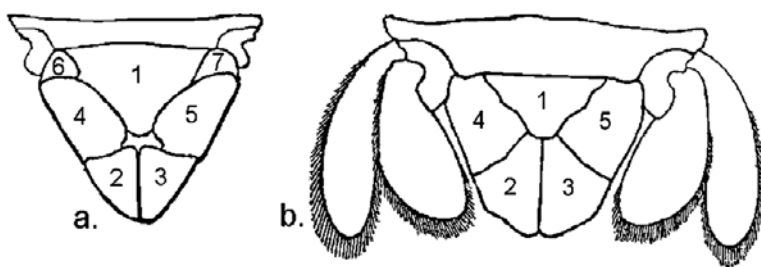


Figura 59.- a. Telson con 7 láminas en *Allopepetrolisthes*; b. telson con 5 láminas y urópodos (según MÉNDEZ y AGUILAR, 1979).

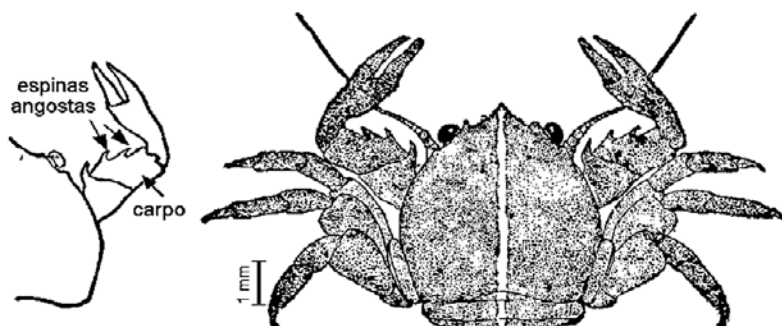


Figura 60.- *Liopetrolisthes mitra* (según MÉNDEZ y AGUILAR, 1979).

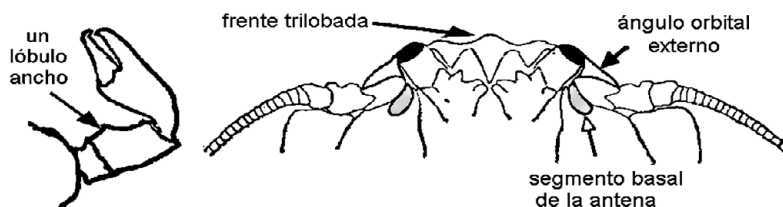


Figura 61.- *Allopepetrolisthes* (según MÉNDEZ y AGUILAR, 1979).

- 11a. Caparazón con un distintivo mechón de pelos en la frente 12
 - 11b. Caparazón desprovisto de pelos ó con algunos poco visibles a simple vista 15
 - 12a. Carpo y mano cada uno con 3 hileras longitudinales de grandes y aplanados tubérculos, el espacio entre ellos relleno de una corta pubescencia 15
- Pachycheles monilifer* (Dana, 1852)
- 12b. Quelípedos sin hileras de grandes tubérculos 13
 - 13a. Mechón frontal compuesto únicamente por pelos plumosos; mano casi desnuda ó con pelos plumosos, algunas veces setas no plumosas esparcidas entre ellos; telson de la hembra con 7 placas 14

- 13b. Mechón frontal compuesto de una mezcla de pelos plumosos y no plumosos; mano cubierta de setas grandes, rígidas, no plumosas; carpo con 3 a 4 dientes, su superficie cubierta de pequeños tubérculos; quelípedos cubiertos de grandes setas no plumosas rodeadas de cortos pelos plumosos (Fig. 62)

Pachycheles spinidactylus Haig, 1957

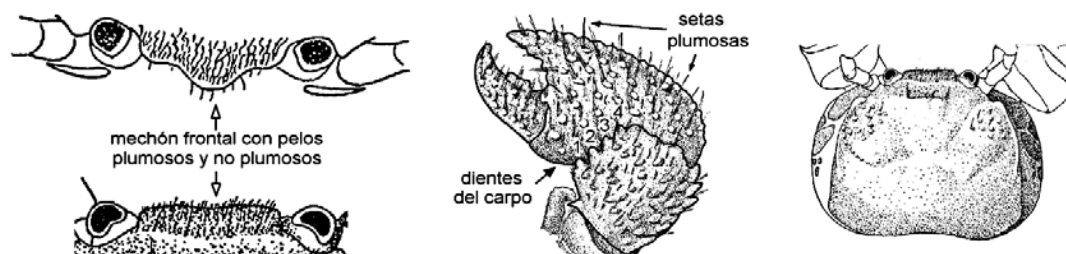


Figura 62.- *Pachycheles spinidactylus*: vista antero frontal y dorsal de la frente; vista dorsal del quelípedo mayor y del caparazón (según HAIG 1957) (OxyScholar © 2013).

- 14a. Carpo con dos dientes; quelípedos casi desnudos o con pelos plumosos, pero no con setas no plumosas; machos con pleópodos (Fig. 63 a)

Pachycheles grossimanus (Guérin, 1835)

- 14b. Carpo con tres a cuatro dientes; quelípedos (mano del menor de los quelípedos al menos) densamente cubierto con pelos plumosos y dispersas setas largas no plumosas, interespaciadas con ellos, el quelípedo mayor con pubescencia plumosa solamente; sin pleópodos en los machos (Fig. 63 b)

Pachycheles crinimanus Haig, 1960

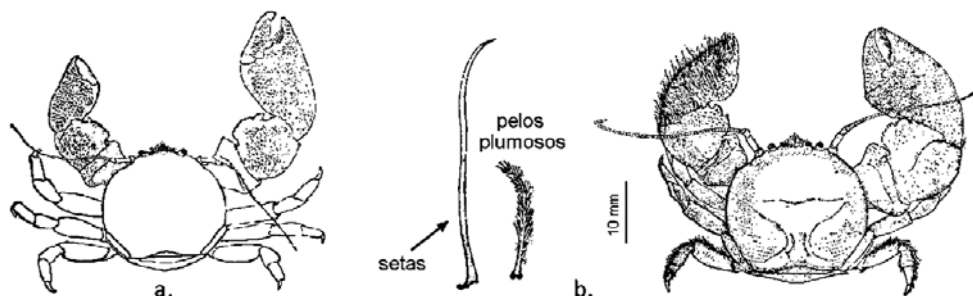


Figura 63.- Vistas frontales de: a. *Pachycheles grossimanus*; b. *Pachycheles crinimanus* con detalle de setas y vellos (según MÉNDEZ y AGUILAR, 1979).

- 15a. Carpo y mano con fuertes crestas y surcos

Pachycheles vicarius Nobili, 1901

- 15b. Superficie dorsal de los quelípedos sin fuertes crestas ni surcos

16

- 16a. Carpo y mano casi lisos, mano con un distintivo surco en el margen externo

Pachycheles biocellatus (Lockington, 1878)

- 16b. Carpo y mano cubiertos con gránulos; carpo con un ancho lóbulo armado con 8 pequeños dientes ó aserrado; patas caminadoras carentes de pelos; telson con cinco placas en ambos sexos; pleópodos presentes en machos

Pachycheles chacei Haig, 1956

- 17a. Espina epibranchial presente, en posición claramente marcada en el ángulo epibranchial; margen anterior del mero de las patas caminadoras con espinas 18
- 17b. Sin espina epibranchial; margen anterior del mero de las patas caminadoras sin espinas 20
- 18a. Margen anterior del carpo con una hilera de 4 a 6 dientes anchos 19
- 18b. Margen anterior del carpo con 2 a 3 dientes agudos (ocasionalmente 4) (Fig. 64)

Petrolisthes armatus (Gibbes, 1850)

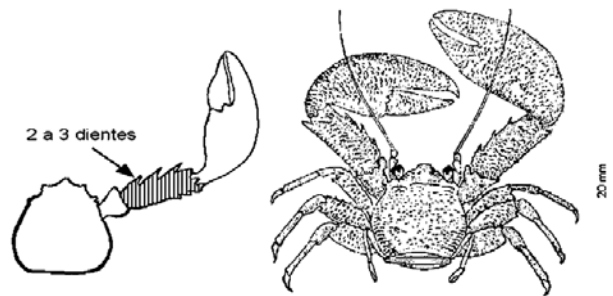


Figura 64.- *Petrolisthes armatus* (según MÉNDEZ y AGUILAR, 1979).

- 19a. Manos cubiertas con pequeños tubérculos aplastados; adultos muy grandes, la longitud del caparazón alcanza 30 mm o más (Fig. 65)

Petrolisthes desmarestii (Guerin, 1835)

- 19b. Manos no cubiertas con tubérculos aplastados; adultos pequeños, la longitud del caparazón no excede los 13 mm; 1 ó 2 espínulas supraoculares ocasionalmente presentes; margen anterior del carpo del quelípedo con 4 a 6 anchos y abigarrados de dientes

Petrolisthes haigae Chace, 1962

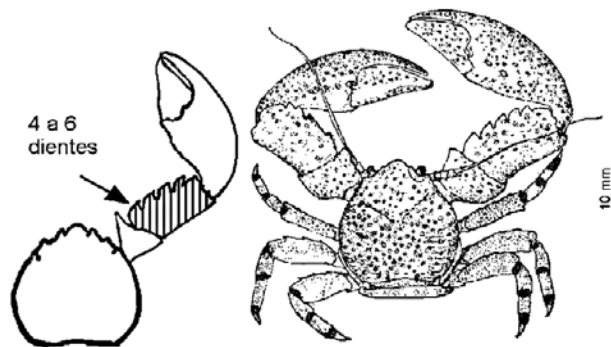


Figura 65.- *Petrolisthes desmarestii* (según MÉNDEZ y AGUILAR, 1979).

- 20a. Carpo armado con fuertes dientes o tubérculos en el margen anterior 21
- 20b. Carpo sin dientes ni tubérculos 24
- 21a. Frente no doblada fuertemente hacia abajo; caparazón cubierto con pubescencia, parte anterior con grandes tubérculos; carpo al menos 2 veces el ancho en el largo 23

21b. Frente usualmente muy flexionada; caparazón no cubierto con pubescencia, sólo con trazas de pelos en la frente; parte anterior sin tubérculos, pero la región anterior y los surcos que la definen muy acentuados; ancho del carpo menos o 1 ½ menos en el largo

22

22a. Mano sin crestas dorsales ni pesadas crestas rondando a lo largo del margen externo (Fig. 66)

Petrolisthes ortmanni Nobili, 1901

22b. Mano con 2 crestas longitudinales en la superficie dorsal y una pesada cresta rondando a lo largo del margen externo

Petrolisthes lewisi austrinus Haig, 1960

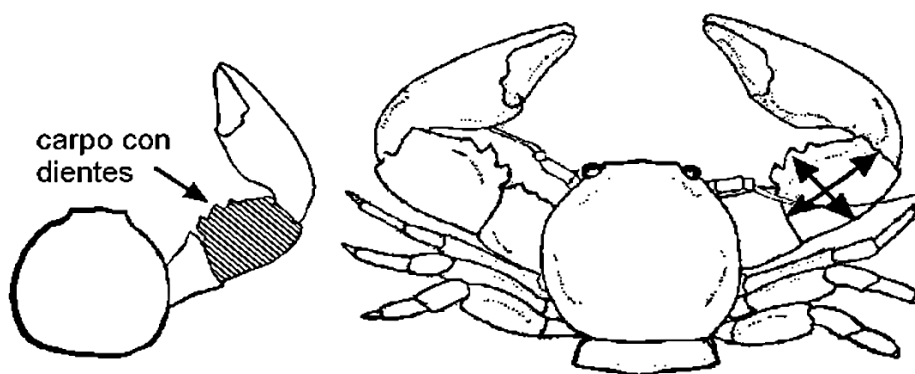


Figura 66.- *Petrolisthes ortmanni* (según MÉNDEZ y AGUILAR, 1979).

23a. Lóbulos de la frente casi iguales en ancho; aproximadamente 2/3 del margen anterior del carpo prolongado dentro de un lóbulo fuertemente proyectado, su borde cortante interno con alrededor de 8 dientes de bordes aserrados, hendidura de los dedos sin pubescencia (Fig. 67)

Petrolisthes tuberculatus (Guérin, 1835)

23b. Lóbulo medial frontal mucho más ancho que los lóbulos laterales; carpo con 2 a 3 dientes desiguales y aserrados, seguidos de un número variable de dentículos; hendidura de los dedos con una pubescencia corta (Fig. 68)

Petrolisthes tuberculosus H. Milne Edwards y Lucas, 1837 M,

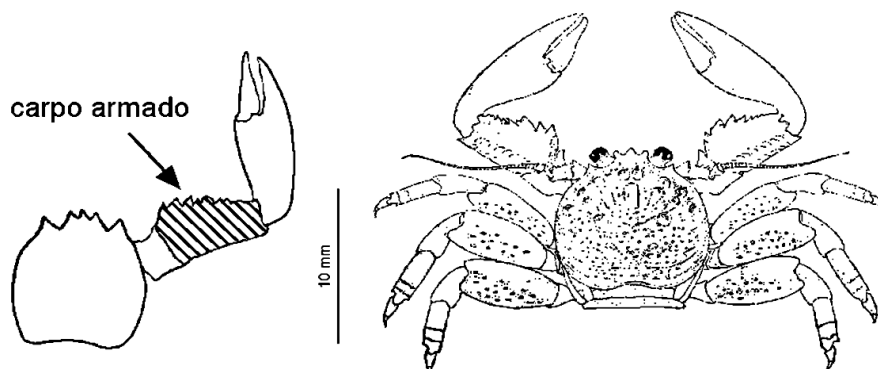


Figura 67.- *Petrolisthes tuberculatus* (según MÉNDEZ y AGUILAR, 1979).

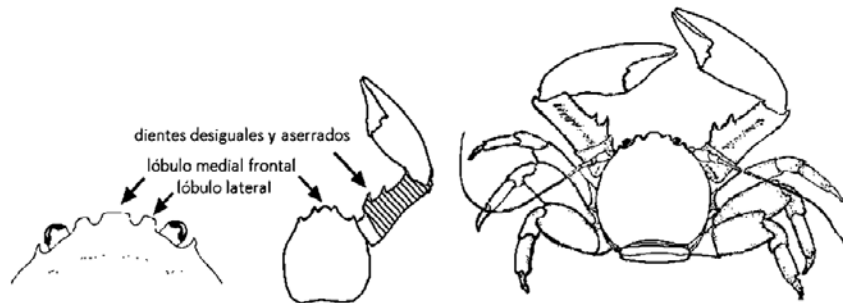


Figura 68.- *Petrolisthes tuberculosus*: vista fronto orbital (según MARTIN y ABELE 1986b), vistas frontales (según MÉNDEZ y AGUILAR, 1979).

- 24a. Órbitas sin ninguna concavidad, formando una línea casi recta con la frente al ángulo orbital externo; frente ampliamente triangular, sin un surco mediano; hendidura de las quelas desnuda (Fig. 69)

Petrolisthes violaceus (Guérin, 1829)

- 24b. Órbitas cóncavas; frente al menos con un surco mediano poco definido; hendidura de las quelas con trazas de pubescencia

25

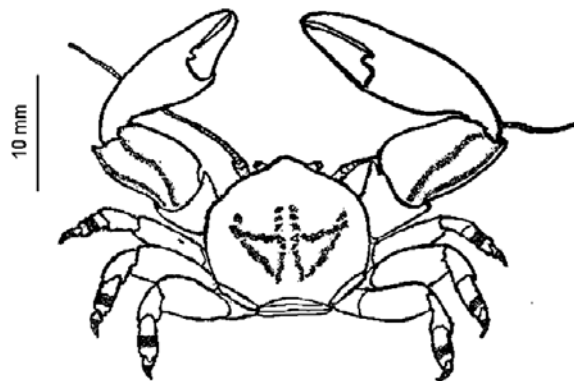


Figura 69.- *Petrolisthes violaceus* (según MÉNDEZ y AGUILAR, 1979).

- 25a. Caparazón casi liso; frente con un surco poco profundo; flagelo con pelos largos; la mitad exterior de las manos con una corta pubescencia (Fig. 70)

Petrolisthes laevigatus (Guérin, 1835)

- 25b. Caparazón con granulaciones, algunas de ellas alargadas transversalmente; frente con un surco mediano profundo; flagelo desnudo o con vestigios de pelos; la mitad exterior de la superficie dorsal de las manos, desnuda (Fig. 71)

Petrolisthes granulatus (Guérin, 1835)

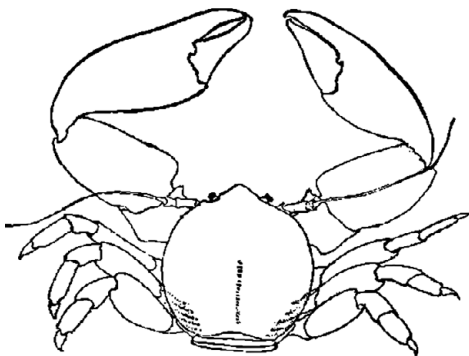


Figura 70.- *Petrolisthes laevigatus* (según MÉNDEZ y AGUILAR, 1979).

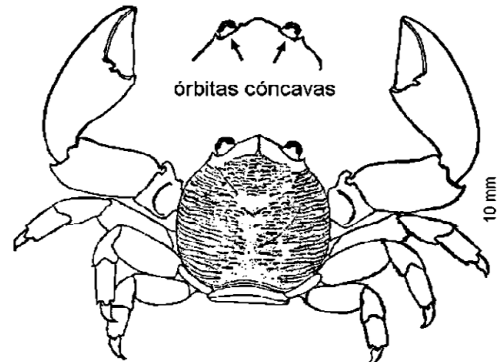


Figura 71.- *Petrolisthes granulatus* (según MÉNDEZ y AGUILAR, 1979).

- 26a. Caparazón cubierto con gránulos y tubérculos; frente con 5 lóbulos; lóbulo proximal del margen anterior del carpo delimitado de la mitad distal por un ángulo casi recto (Fig. 72)
Allopetrolisthes spinifrons (H. Milne Edwards y Lucas, 1837)
- 26b. Caparazón liso; frente con 3 lóbulos; lóbulo proximal del margen anterior del carpo delimitado de la mitad distal por un ángulo marcadamente obtuso

27

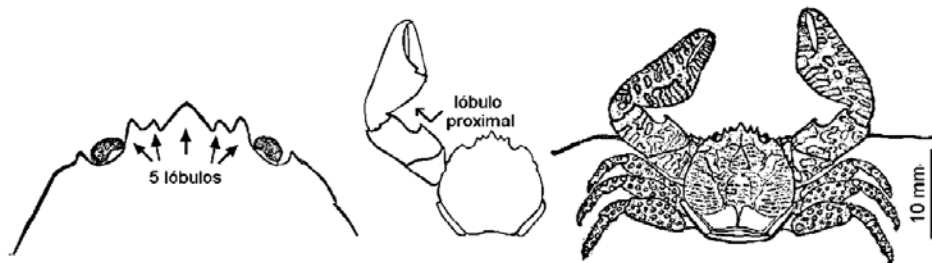


Figura 72.- *Allopetrolisthes spinifrons* (según MÉNDEZ y AGUILAR, 1979).

- 27a. Margen orbital casi derecho; carpo de las patas caminadoras con una cresta anterior aguda; con notorias bandas oscuras en los propodios de las patas caminadoras (Fig. 73)
Allopetrolisthes angulosus (Guérin, 1835)

- 27b. Margen orbital redondeado, cóncavo; carpo de las patas caminadoras sin la cresta anterior; coloración muy llamativa, con numerosos puntos y motas de color rojo intenso sobre el caparazón y patas (Fig. 74)
Allopetrolisthes punctatus (Guérin, 1835)

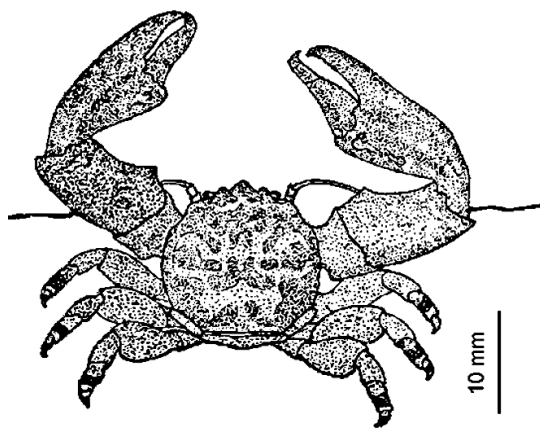


Figura 73.- *Allopetrolisthes angulosus*
(según MÉNDEZ y AGUILAR, 1979).

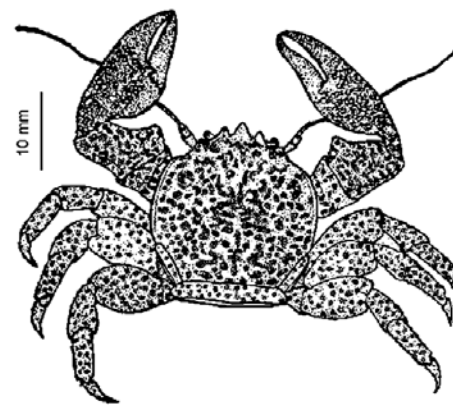


Figura 74.- *Allopetrolisthes punctatus*
(según MÉNDEZ y AGUILAR, 1979).

Superfamilia Hippoidea: Familia Hippidae
(Según HENDRICKX 1995)

Superfamilia Hippoidea: Familias Albuneidae y Blepharipodidae
(Según BOYKO 2002, HENDRICKX 1995)

- 1a. Branquias con filamentos trichobranquiales (Fig. 75 c) (Familia **Blepharipodidae**). Coxa del segundo pereiópodo con una espina. Margen del telson con muesca (Fig. 75 a, b)

Blepharipoda spinosa (H. Milne Edwards y Lucas, 1841)

- 1b. Branquias con filamentos phyllobranquiales (Fig. 75 d) (Familia **Albuneidae**)

2

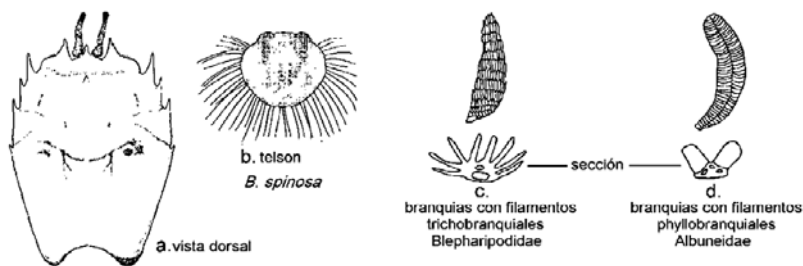


Figura 75.- *Blepharipoda spinosa*: a. vista dorsal; b. telson. Vista lateral y sección transversal en: c. Blepharipodidae; d. Albuneidae (según Boyko, 2002).

2a. Quinto somite abdominal con pleura; acículo antenal corto, menos que la longitud del tercer segmento antenal (**Lepidopinae**). Mero del cuarto pereiópodo con la superficie lateral descalcificada (Género *Lepidopa*)

3

2b. Quinto somite abdominal sin pleura (Fig. 76 a); acículo antenal largo, más grande o igual a la longitud del tercer segmento antenal (Subfamilia **Albuneinae**); primer segmento antenal con espina dorso-distal (Fig. 76 b) (Género *Albunea*). Telson del macho con margen distal truncado (Fig. 76 c)

Albunea lucasia (de Saussure, 1853)

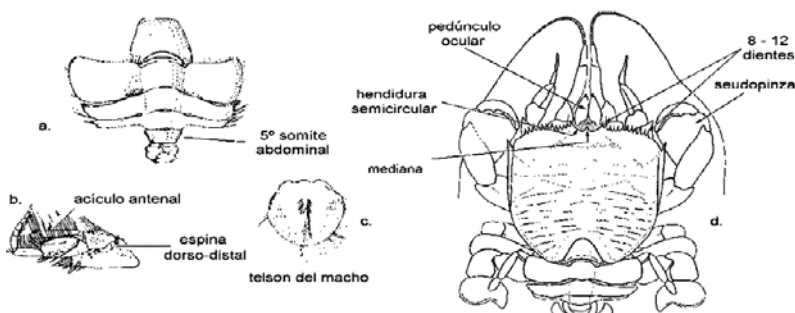


Figura 76.- *Albunea lucasia*: a. abdomen; b. antena; c. telson (según Boyko, 2002); d. vista dorsal (según HENDRICKX, 1995).

3a. Con espina en el primer segmento antenal. Espinas ventro-rostral y antero-laterales presentes. Dáctilo del segundo pereiópodo angostamente dentado (Fig. 77)

Lepidopa deamae Benedict, 1903

3b. Sin espina en el primer segmento antenal. Espinas ventro-rostral presentes. Dáctilo del segundo pereiópodo con un talón afilado. Surco submarginal posterior no se extiende más allá de los lados de la indentación medial (Fig. 78)

Lepidopa chilensis Lenz, 1902

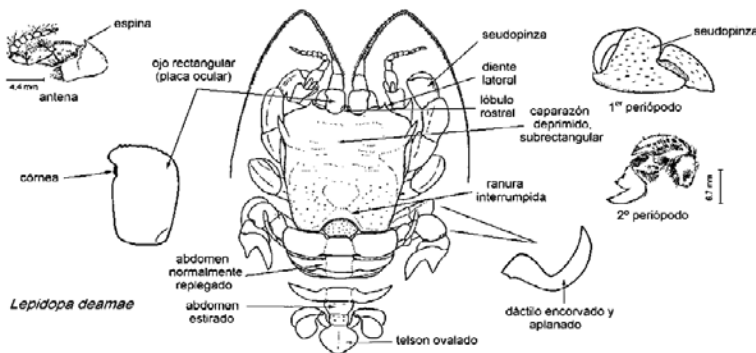


Figura 77.- *Lepidopa deamae*: antena y segundo pereiópodo (según Boyko, 2002; placa ocular, vista dorsal, primer pereiópodo y dáctilo (según HENDRICKX, 1995).

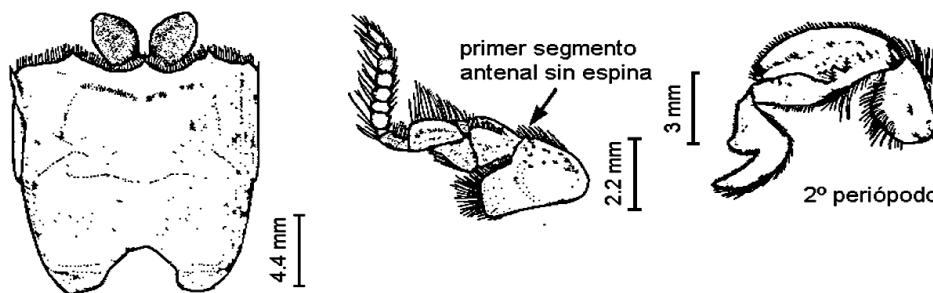


Figura 78.- *Lepidopa chilensis* (según Boyko, 2002).

Superfamilia Paguroidea - Familia Diogenidae

(Según HAIG, HOPKINS y SCANLAND 1970, GUZMÁN 2004)

- 1a. Quelípedos marcadamente desiguales en tamaño y forma 2
- 1b. Quelípedos iguales o subiguales en tamaño y forma 4

- 2a. Quelípedo derecho más grande que el izquierdo (Fig. 79) *Petrochirus californiensis* Bouvier, 1895
- 2b. Quelípedo izquierdo más grande que el derecho 3

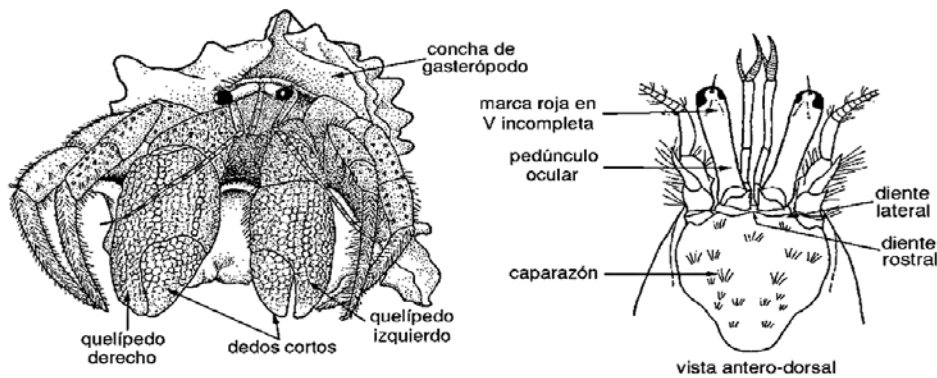


Figura 79.- *Petrochirus californiensis* (según SNYDER-CONN, 1980; HENDRICKX, 1995).

- 3a. Quela mayor lisa, extremo de los dedos calcáreo. Sin una uña córnea en los dedos de los quelípedos; anillo ocular sin prolongación entre las escamas oftálmicas. Colores vivos, rojos, azules. Pedúnculos oculares largos, rebasando los pedúnculos de las antenas. Escama oftálmica triangular, estrecha, con una espina en su ángulo anterior. Cara superior de la mano abombada, con rugosidades sinuosas; dactilo fuertemente excavado en forma de cuchara (Fig. 80) *Calcinus obscurus* Stimpson, 1859

- 3b. Quela mayor tuberculada. Uña córnea, negra o amarillenta en la punta de los dedos de los quelípedos. Saliente rostral débil o ausente. Pedúnculos oculares robustos, no muy largos y algo dilatados hacia su ápice. Endopodito de la primera maxila sin palpo. Pleópodos segundo a cuarto de la hembra con tres ramas (Fig. 81) *Dardanus sinistripes* (Stimpson, 1859)

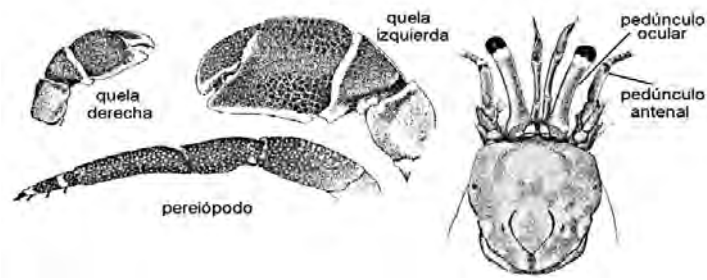


Figura 80.- *Calcinus obscurus* (según HOLTHUIS, 1954).

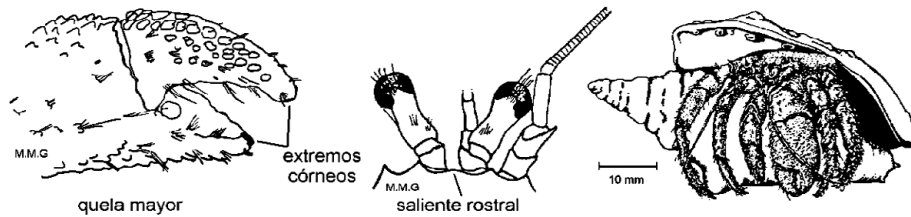


Figura 81.- *Dardanus sinistripes*: quela, vista dorso-frontal y vista frontal (según SNYDER-CONN, 1980).

- 4a. Sin apéndices abdominales pares en ningún sexo 5
- 4b. Pleópodos pares presentes en machos y usualmente en las hembras. Primer par de pleópodos del macho se halla entre las coxas del quinto par de patas. Hembras llevan un gran saco ovífero a la izquierda del abdomen. Escamas oculares muy pequeñas y terminadas en espinas. Quelípedos cubiertos de granulaciones iguales y continuas y, entre ellas, pequeñas cerditas amarillentas. Dáctilos de patas segunda y tercera con una franja transversal junto al ápice (Género *Paguristes*) 6
- 5a. Dedos agudos en las puntas (Fig. 82) *Isocheles pacificus* Bouvier, 1907
- 5b. Dedos con puntas en forma de cuchara o de pezuña 8

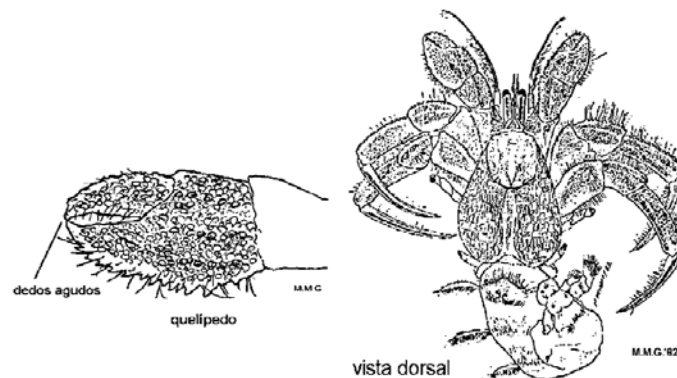


Figura 82.- *Isocheles pacificus*.

- 6a. Escamas oculares contiguas; flagelo antenal con un espeso fleco de setas en el lado ventral; hembras sin pleópodos pares. Rostro no alcanza la base de las escamas oculares las que presentan más de cuatro espinas. Placa esternal del tercer par de pereiópodos bilobulada (Fig. 83) *Paguristes weddelli* H. M. E., 1848

- 6b. Escamas oculares no contiguas; flagelo antenal sin un espeso fleco de setas en el lado ventral; hembras con pleópodos pares

7

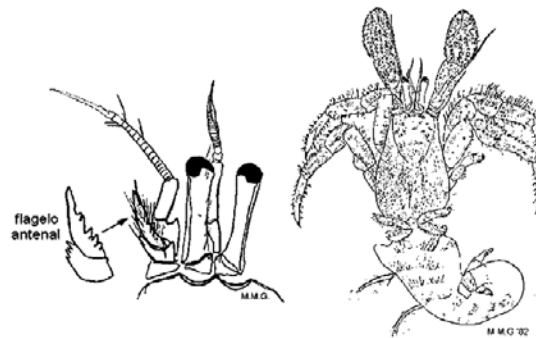


Figura 83.- *Paguristes wedelli*

- 7a. Rostro largo y delgado, proyectado entre las escamas oculares, las que presentan de 3 a 4 espinas. Placa esternal del tercer par de pereiópodos unilobulada; pereiópodos densamente cubiertos de pelos

Paguristes tomentosus H. M. E., 1848

- 7b. Rostro corto; pereiópodos no densamente cubiertos de pelos (Fig. 84)

Paguristes holmesi Glassell, 1937

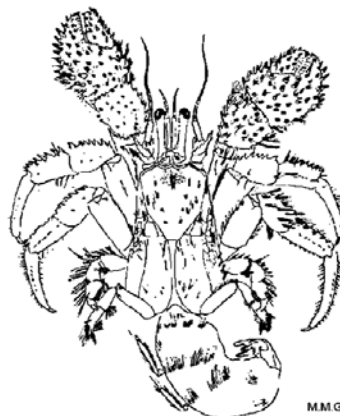


Figura 84.- *Paguristes holmesi*.

- 8a. Quelípedos y patas caminadoras con fuertes anillos acanalados (Fig. 85)

Aniculus elegans Ortmann, 1892

- 8b. Sin anillos en las patas

9



Figura 85.- *Aniculus elegans*: vista frontal (según SNYDER-CONN, 1980) y vista distal del quelípedo (según FOREST, 1984).

- 9a. Punta de los dedos en forma de pezuñas; cara interna de la quela con aparato estridulante; cuerpo oscuro, con pálidas manchas irregulares en el caparazón, pedúnculos antenulares y pereiópodos (Fig. 86)

Trizopagurus magnificus Bouvier, 1898

9b. Punta de los dedos en forma de cuchara; sin aparato estridulante en la quela

10

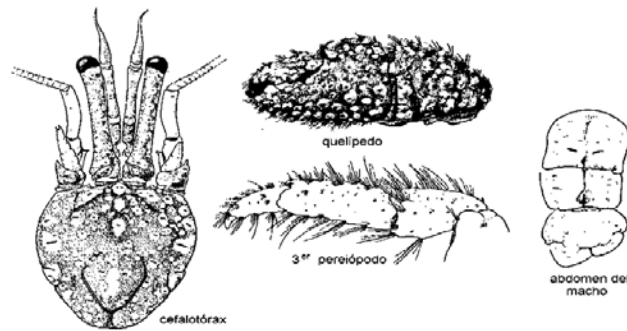


Figura 86.- *Trizopagurus magnificus* (según FOREST, 1995).

10a. Dáctilos de las patas caminadoras mas largos que los propodios; superficie externa de las patas caminadoras con bandas longitudinales oscuras y brillantes (Fig. 87a)

Clibanarius lineatus (H. Milne Edwards, 1848)

10b. Dáctilos de las patas caminadoras más cortos que los propodios que son claro u oscuro con una banda longitudinal blanca en la superficie externa (Fig. 87b)

Clibanarius albidigitus Nobili, 1901

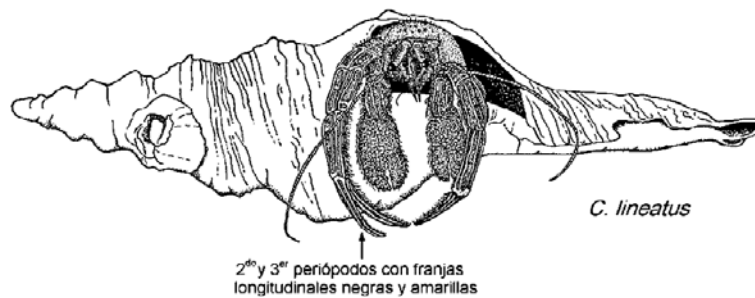


Figura 87.- a. *Clibanarius lineatus* (según SNYDER-CONN, 1980; HENDRICKX, 1995).

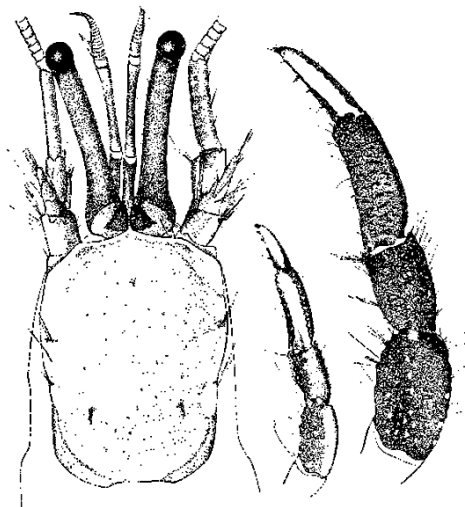


Figura 87.- b. *Clibanarius albidigitus*. Vista antero-dorsal del caparazón, tercera pata derecha de la hembra y del macho (según HOLTHUIS, 1954).

Superfamilia Paguroidea: Familia Paguridae

(Según HAIG 1974, GUZMÁN 2004)

- 1a. Cepillo del propodio del 4to pereiópodo con una fila de escamas (Fig. 88 a) 2
- 1b. Cepillo del propodio del 4to pereiópodo con dos o más filas de escamas (Fig. 88 b) 6
- 2a. Quela derecha operculada; hembras con un par de pleópodos 3
- 2b. Quela derecha no operculada; hembras sin pleópodos pares 4

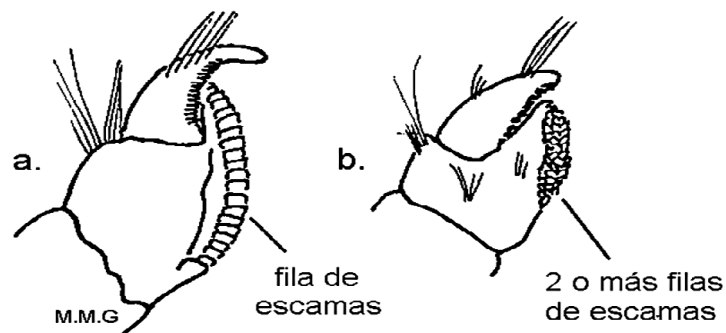


Figura 88.- Paguridae: cepillos del propodio del cuarto pereiópodo

- 3a. Espinas de las quelas con rosetas basales. Quela derecha aplanada y con espinas en la palma, tubérculos en forma de roseta en los dedos (Fig. 89 a)

Rhodochirus hirtimanus (Faxon, 1893)

- 3b. Espinas de las quelas sin rosetas basales. Quela derecha redondeada con tubérculos en palma y dedos. Dactilo y dedo fijo de la quela izquierda en forma de cuchara (Fig. 89 b)

Tomopagurus merimaculosus Glassell, 1937

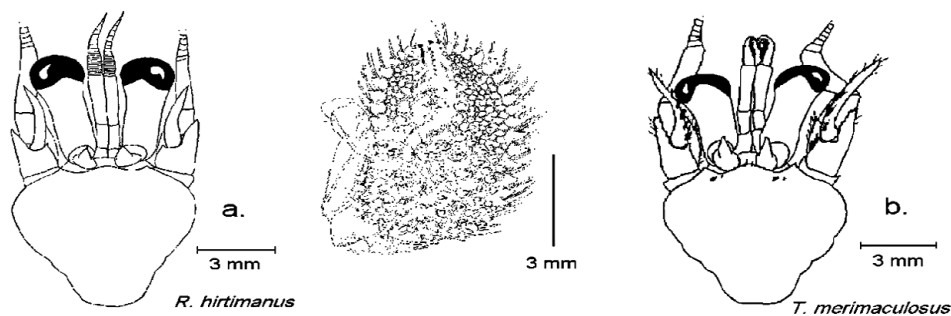


Figura 89.- a, *Rhodochirus hirtimanus*: vista antero-lateral (según McLAUGHLING, 1981b) y quela derecha en vista dorsal (según AYÓN y HENDRICKX, 2005), b. *Tomopagurus merimaculosus*: vista antero-dorsal en (según McLAUGHLING, 1981a).

- 4a. Carpo y propodio de las patas caminadoras con una fila de espinas sobre el margen dorsal (Fig. 90) 5
- 4b. Carpo y propodio de las patas caminadoras sin la fila de espinas. Escudo del caparazón más largo que ancho; pedúnculos antenulares mas cortos que los oculares; quela granulada y no setosa. Carpo del quelípedo derecho con la superficie mesio-ventral aplanada a ligeramente convexa (Fig. 91) 5

Pagurus edwardsii (Dana, 1852)

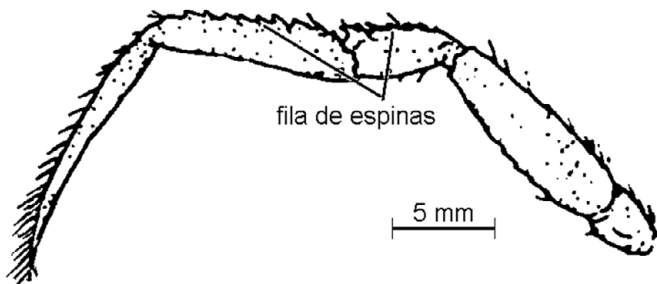


Figura 90.- *Pagurus imarpe*: segundo pereiópodo izquierdo (según HAIG, 1974) con autorización de Koninklijke Brill NV, Crustaceana.

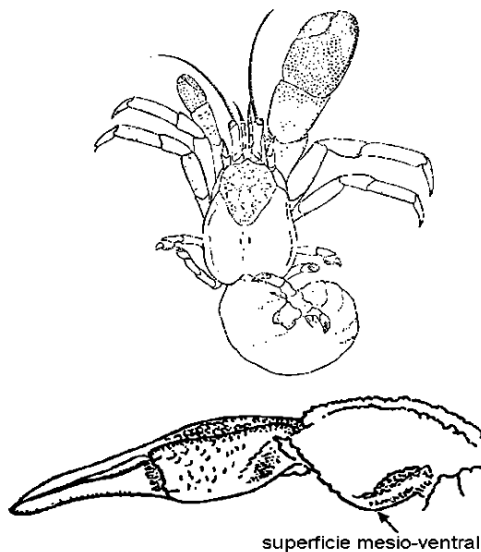


Figura 91.- *Pagurus edwardsii*: vista dorsal y del quelípedo.

5a. Quela derecha aplanada sin crestas dorsales (Fig. 92 a)

Pagurus imarpe Haig, 1974

5b. Quela derecha convexa, con tres crestas dorsales. Rostro agudo alcanza la base de los pedúnculos oculares (Fig. 92 b)

Pagurus delsolari Haig, 1974

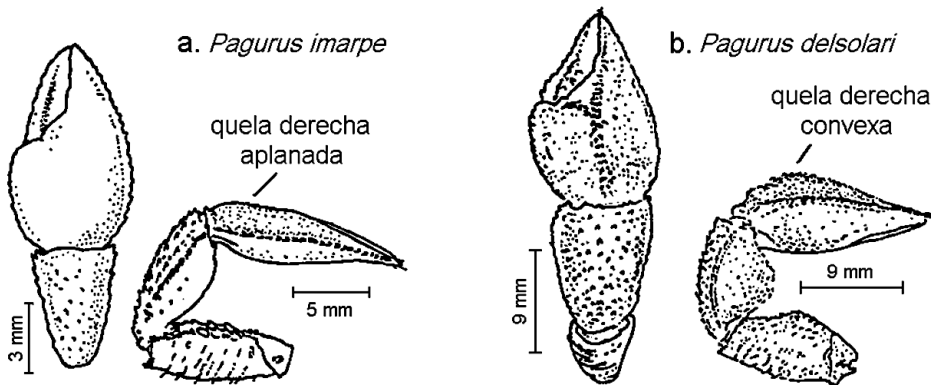


Figura 92.- Vista dorsal y lateral del quelípedo derecho en: a, *Pagurus imarpe*; b, *Pagurus delsolari* (según HAIG, 1974) con autorización de Koninklijke Brill NV, Crustaceana.

6a. Escamas (acículas) oculares con dos a más espinas al menos en un acículo. Quela izquierda con un margen dorso-mesial liso; superficies dorsales de los carpos de los segundos pereiópodos cada uno con protuberancias y una o más espinas en la mitad posterior (Fig. 93)

Pagurus lepidus (Bouvier, 1898)

6b. Escamas oculares con una simple espina en la punta

7

7a. Quela derecha espinulosa, densamente pilosa. Coraza más larga que ancha. Borde dorsal desnudo de las patas caminadoras, excepto en el margen dorso-distal del carpo. Placas telsonales postero-laterales compuestas por espinulas individuales o dentículos (Fig. 94)

Pagurus villosus Nicolet, 1849

7b. Quela derecha granular, setas esparcidas; coraza mas ancha que larga (Fig. 95a)

8

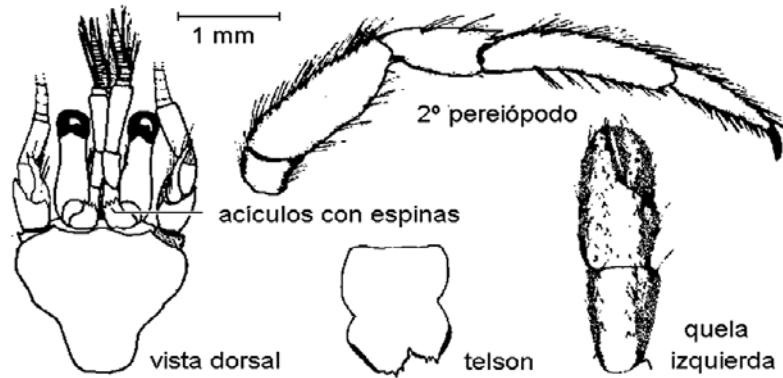


Figura 93.- *Pagurus lepidus* (según HAIG y McLAUGHLING, 1991).

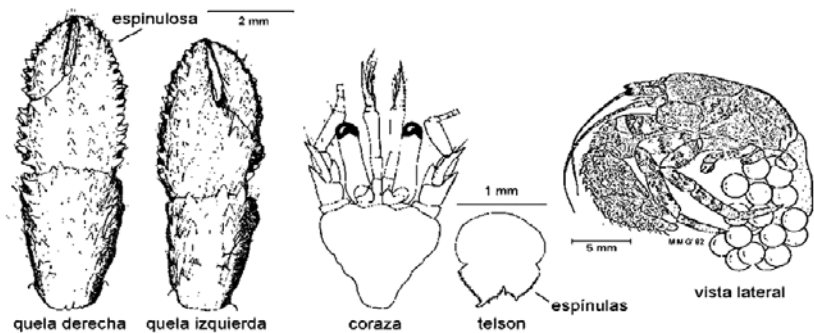


Figura 94.- *Pagurus villosus*: vistas dorsales de quelípedos, caparazón y telson (según McLAUGHLING y HAIG, 1993); vista lateral de hembra ovígera.

8a. Quela derecha moderadamente elongada (Fig. 95b); gránulos grandes, no ásperos. Cara externa de la quela mayor con una hendidura longitudinal en la zona medio dorsal (Fig. 95c)

Pagurus perlatus H. M. E., 1848

8b. Quela derecha marcadamente delgada y larga con pequeños y ásperos gránulos

Pagurus gladius (Benedict, 1892)

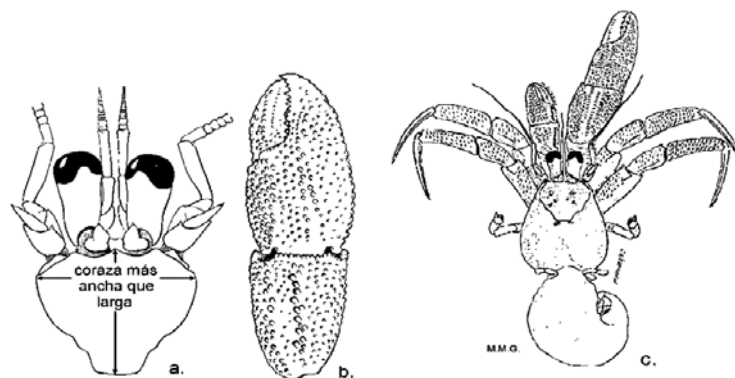


Figura 95.- *Pagurus perlatus*: a. vista antero-dorsal; b. quela derecha (según HAIG, 1955); c. vista dorsal.

Superfamilia Paguroidea: Familia Parapaguridae

(Según HENDRICKX 1997)

- 1a. Rostro largo y delgado, excede los pedúnculos oculares; caparazón completamente calcificado. Segmentos abdominales notorios y calcificados; machos con un par de pleópodos (Fig. 96)

Probeebei mirabilis Boone, 1926

- 1b. Rostro corto y redondeado, no excede los pedúnculos oculares; solamente la parte anterior del caparazón esta calcificada; abdomen blando decalcificado excepto los terguitos; machos con dos pares de pleópodos

Parapagurus holthuisi Lemaitre, 1989

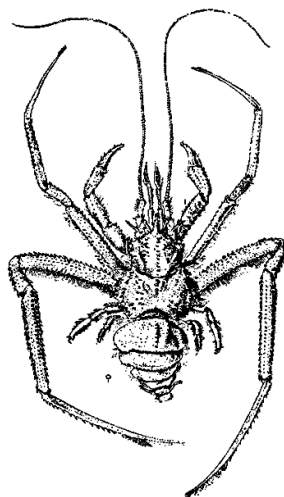


Figura 96.- *Probeebei mirabilis*, vista dorsal (según ABELE y FELGENHAUER, 1982).

Infraorden Brachyura (Clave de Secciones)

(Modificado de HENDRICKX 1995)

- 1a. Poros genitales coxales en hembras y machos (Fig. 97 a) 3
- 1b. Poros genitales coxales en hembras y en los machos en posición esternal ó coxo-esternal (Fig. 97 b, c) 2
Sección **Eubrachyura**
- 2a. Poro genital del macho en posición coxal y de la hembra en posición coxo-esternal (Fig. 97 b) 2
Subsección **Heterotremata**
- 2b. Ambos poros genitales en posición esternal (Fig. 97 c)

Subsección **Thoracotremata**

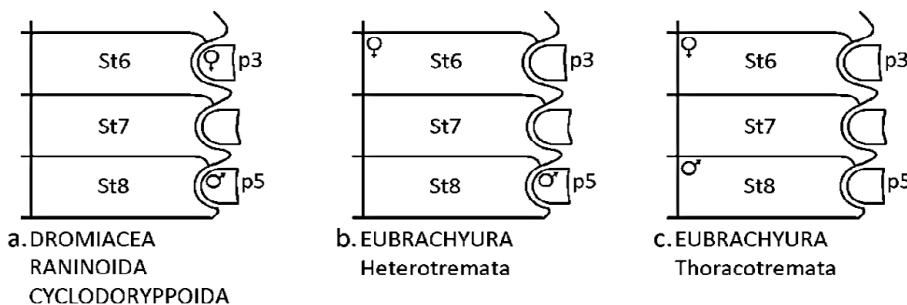


Figura 97.- Esquema de la región esternal de Brachyura: a. poros genitales coxales; b. poros genitales coxales del macho y poros coxo-esternales en la hembra; c. ambos poros genitales en posición esternal (modificado de HENDRICKX, 1997) (St = esternito; p = pereiópodo).

- 3a. Esternitos torácicos anteriores muy anchos, los posteriores (a nivel de los pereiópodos 4 y 5) angostos y en forma de quilla. Forma general del cuerpo ovalada, alargada (Fig. 98)

Sección **Raninoidea**

- 3b. Esternitos torácicos anteriores no notoriamente anchos, los posteriores no en forma de quilla. Forma general del cuerpo variable, pero no alargada

4

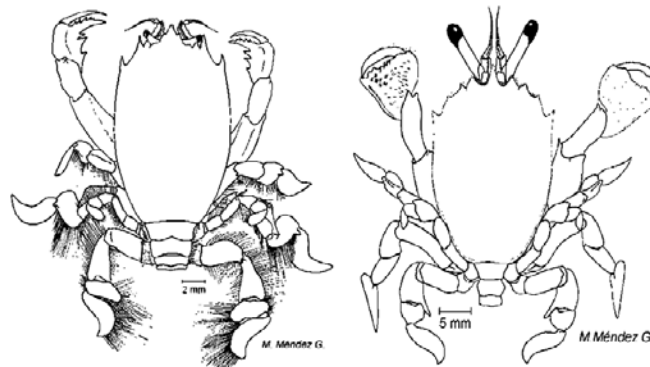


Figura 98.- Forma general del cuerpo en la familia Raninidae

- 4a. Cuadro bucal en forma triangular; prolongado hacia adelante y formando un canal (Figs. 99a y 99c). Caparazón corto, dejando los primeros dos o tres segmentos abdominales completamente visibles en vista dorsal

Sección **Cyclodorippoidea**

- 4b. Cuadro bucal de forma más bien cuadrangular, no prolongado notoriamente hacia adelante para formar un canal (Fig. 99b). Caparazón algo globoso y muy velludo, o bien, aplanado dorso-ventralmente sin tubérculos dorsales (Fig. 106)

Sección **Dromiacea**

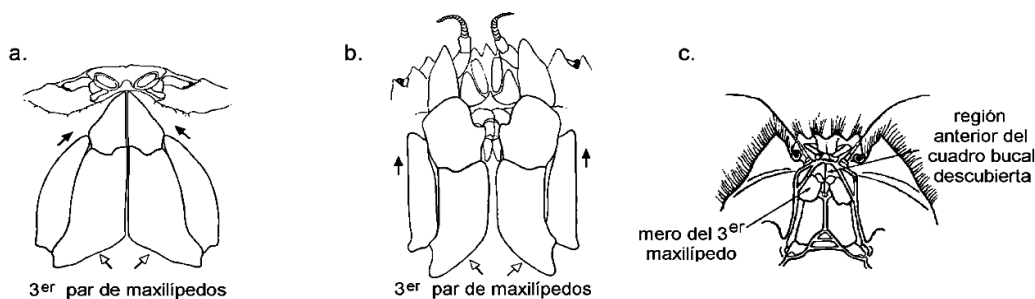


Figura 99.- Cuadro bucal triangular en las órdenes: a. Calappoidea; c. Dorippoidea (según MÉNDEZ, 1982a). Cuadro bucal cuadrangular en Cancroidea: b. (según RATHBUN, 1937; HENDRICKX, 1995).

Infraorden Brachyura (Clave de Superfamilias)
(Según HENDRICKX 1995)

- 1a. Esternitos torácicos anteriores muy anchos, los posteriores (a nivel de los pereiópodos 4 y 5) angostos y en forma de quilla. Forma general del cuerpo ovalada, alargada (Fig. 98)

Superfamilia **Raninoidea**: Familia **Raninidae**

- 1b. Esternitos torácicos anteriores no notoriamente anchos, los posteriores no en forma de quilla. Forma general del cuerpo variable, pero no alargada 2
- 2a. Cuadro bucal en forma triangular; prolongado hacia adelante y formando un canal (Figs. 99a y 99c) 3
- 2b. Cuadro bucal de forma más bien cuadrangular, no prolongado notoriamente hacia adelante para formar un canal (Fig. 99b) 6

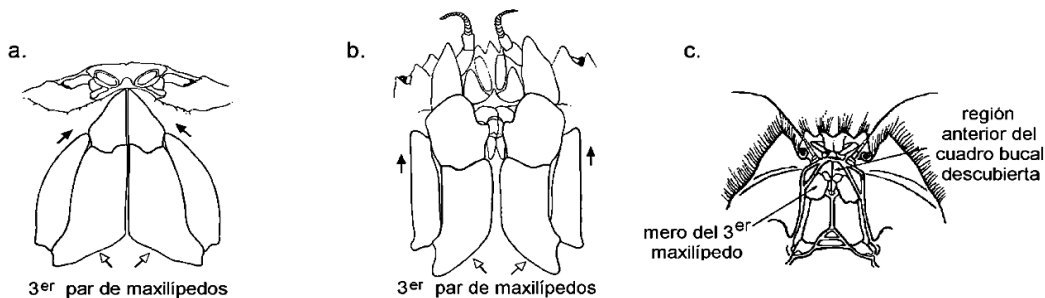


Figura 99.- Cuadro bucal triangular en las órdenes: a. Calappoidea; c. Dorippoidea (según MÉNDEZ, 1982a). Cuadro bucal cuadrangular en Cancroidea: b. (según RATHBUN, 1937; HENDRICKX, 1995).

- 3a. Caparazón corto, dejando los primeros dos o tres segmentos abdominales completamente visibles en vista dorsal 4
- 3b. Caparazón bien desarrollado, recubriendo todos los segmentos abdominales 5
- 4a. Tercer par de maxilípedos alargados (Fig. 100b), recubriendo casi enteramente el cuadro bucal. Caparazón cuadrado (Fig. 100a). Rostro algo estrecho, triangular y agudo en el extremo 5

Superfamilia **Cyclodorippoidea**: Familia **Cyonomidae**

Ojos no pigmentados; anténulas grandes, descubiertas

Cyonomus menziesi Garth, 1971

- 4b. Tercer par de maxilípedos cortos (Fig.100c), dejando al descubierto la región anterior del cuadro bucal 5

Superfamilia **Dorippoidea**: Familia **Ethusidae**

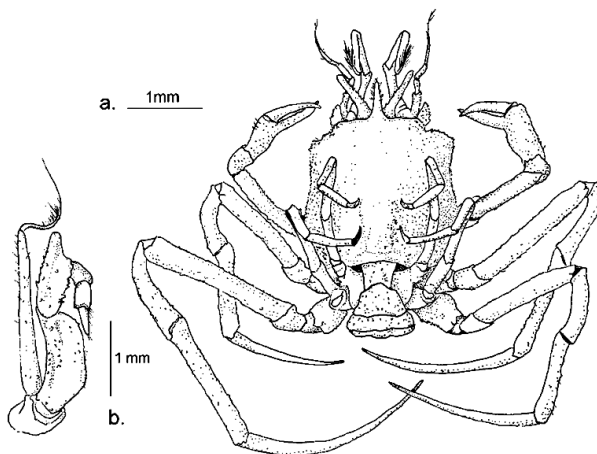


Figura 100.- *Cyonomus menziesi*: a. vista dorsal; b. tercer maxilípodo (según GARTH y HAIG, 1971).

5a. Aberturas de los canales eferentes situadas en las bases del primer par de pereiópodos (Figs. 101b, c). Región esternal muy estrecha en ambos sexos (Figs. 101d, e). Caparazón generalmente alto y de margen anterior arqueado (Fig. 101a). Hembras con abdomen no dilatado más bien estrecho y los segmentos fusionados (Fig. 101e)

Superfamilias: **Calappoidea** y **Aethroidea**

5b. Aberturas de los canales eferentes situadas a ambos lados del endostoma (Fig. 102b). Región esternal ancha (Figs. 102c, d). Caparazón generalmente de forma subcircular y globosa, ocasionalmente provisto de protuberancias irregulares. Hembras con abdomen dilatado y con varios de sus segmentos fusionados Fig. 102d)

Superfamilia **Leucosioidea**: Familia **Leucosiidae**

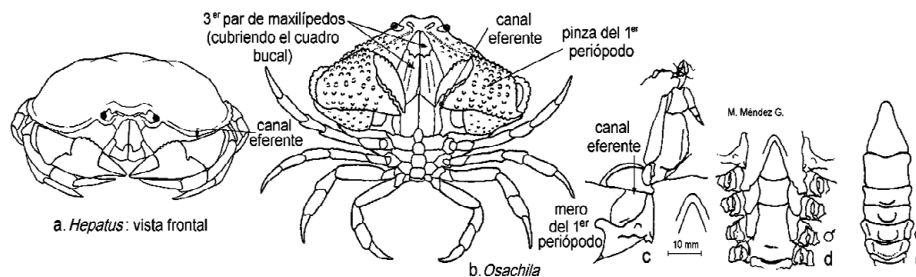


Figura 101.- Superfamilia Aethroidea: a. vista frontal; b. cefalotórax en vista ventral (según HENDRICKX, 1995). Superfamilia Callapoidea: c. abertura del canal eferente; d. región esternal y abdomen del macho; e. abdomen de la hembra.

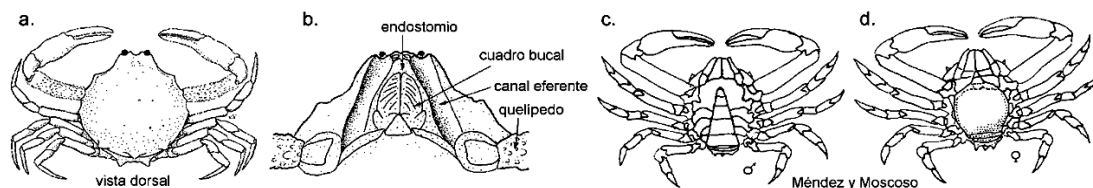


Figura 102.- Superfamilia Leucosioidea: a. vista dorsal (según GARTH, 1940; HENDRICKX, 1995); b. cuadro bucal (según HENDRICKX, 1995); c. vista ventral del macho; d. vista ventral de la hembra.

6a. Quinto par de pereiópodos en posición dorsal por lo general fuertemente reducidos o modificados (Fig. 103)

7

6b. Quinto par de pereiópodos semejante a los demás, eventualmente algo más cortos (Fig. 104a)

10

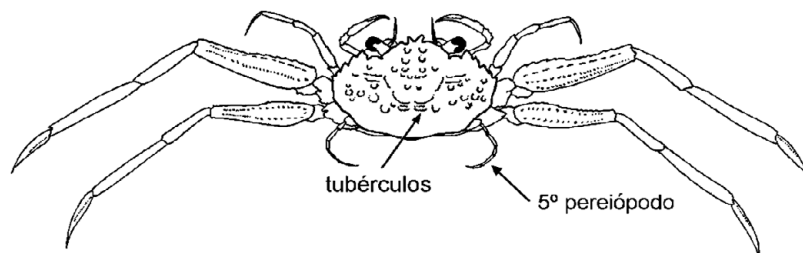


Figura 103.- Superfamilia Palicoidea: vista dorsal.

7a. Caparazón comprimido dorso-ventralmente y recubierto de tubérculos (Fig. 104)

Superfamilia **Palicoidea**: Familia **Palicidae** (=Cymopolidae)

- 7b. Caparazón algo globoso y muy velludo, o bien, aplanado dorso-ventralmente sin tubérculos dorsales (Fig. 105) 8
- 8a. Cangrejos que se protegen cargando una valva de almeja, una esponja u otro objeto (Fig. 104 b, c) Frente convexa, con un par de tubérculos o cuernos (Fig. 104a) 9
- 8b. Cangrejos generalmente asociados con corales. Frente triangular con una fuerte ranura dorsal (Fig. 105)

Superfamilia **Dromioidea**: Familia **Dynomenidae**

Caparazón aplanado, piloso y más ancho que largo

Hyrsutodynamene ursula (Stimpson, 1860)

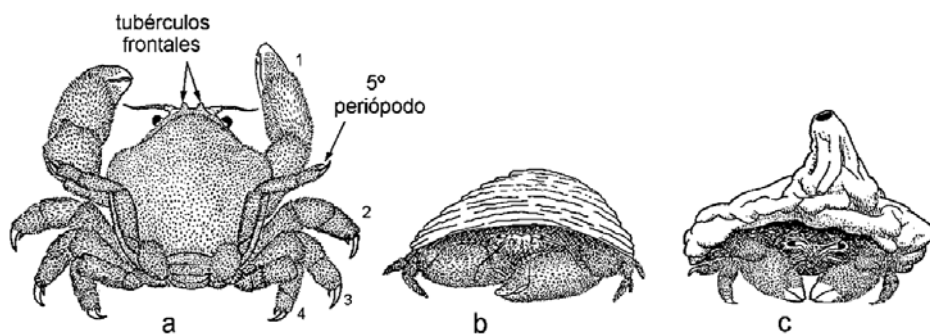


Figura 104.- Superfamilia Dromioidea: familia Dromiidae: a. vista dorsal; b. vista frontal (cargando una almeja); c. vista frontal (cargando una esponja) según Brusca, 1980; HENDRICKX, 1995.



Figura 105.- Superfamilia Dromioidea: familia Dynomenidae: *Hyrsutodynamene ursula*: caparazón (según HENDRICKX, 1997) y vista dorsal.

- 9a. Caparazón con 2 fuertes suturas: cervical y branquial, que lo dividen en tres partes desiguales. Cuarto y quinto pereiópodos subquelados (Fig. 106) (Superfamilia **Homolodromioidea**: Familia **Homolodromiidae**) *Homolodromia robertsi* Garth, 1973
- 9b. Caparazón sin suturas aparentes. Segundo a quinto pereiópodos subquelados (Fig. 104a) Superfamilia **Dromioidea**: Familia **Dromiidae**
- 10a. Rostro reducido o ausente; órbitas bien definidas. Caparazón generalmente de forma cuadrangular, poligonal u ovalada (hasta circular), su región anterior poca o no estrechada 11

- 10b. Rostro bien desarrollado, a menudo alargado; órbitas frecuentemente incompletas. Caparazón generalmente en forma triangular, más angosta en su parte anterior

21

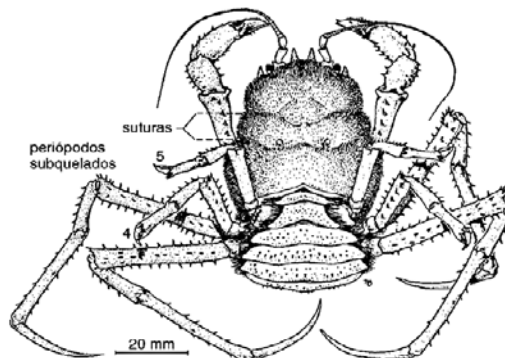


Figura 106.- Superfamilia Homolodromioidea: *Homolodromia robertsi* (según GARTH, 1973) (OxyScholar © 2013).

- 11a. Región frontal avanza notoriamente por delante de la línea de las órbitas. Caparazón ovalado longitudinalmente, notoriamente más largo que ancho, longitud de las antenas cerca de la mitad de la longitud del caparazón y con flagelos que presentan cerdas numerosas dispuestas en dos hileras

Superfamilia **Corystoidea**: Familia **Corystidae**

Margen ántero-lateral con 5 espinas. Región urogástrica, cardíaca e intestinal delimitada por surcos notorios (Fig. 107)

Gomeza serrata Dana, 1852

- 11b. Región frontal avanza poco o nada por delante de la línea de las órbitas. Caparazón más ancho que largo o tan ancho como largo, antenas más cortas que la mitad de la longitud del caparazón, con excepción de *Pseudocorystes sicarius*

12

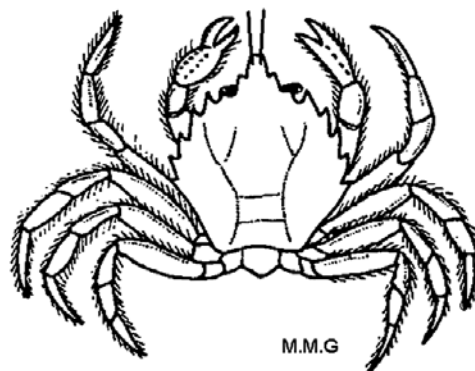


Figura 107.- *Gomeza serrata*

- 12a. El carpo del tercer maxilípodo se articula en el ángulo ántero-interno del mero o en el margen interno del mero (Fig. 108a). Abertura genital del macho casi siempre sobre la coxa del quinto par de pereiópodos (Fig. 108b)

13

- 12b. El carpo del tercer maxilípodo articulado en o cerca del ángulo ántero-externo del mero (Fig. 109a). Machos con abertura genital en el esternón (Fig. 109b)

19

- 13a. Dáctilo del quinto par de pereiópodos aplanado dorso-ventralmente, utilizado como apéndice natatorio (Fig. 110)

Superfamilia **Portunoidea**

13b. Dáctilo del quinto par de pereiópodos alargado y terminado en punta, no modificado para la natación

14

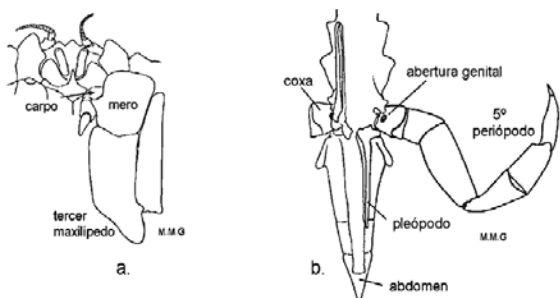


Figura 108.- Superfamilia Cancroidea: a. tercer maxilípodo de *Cancer plebejus*; b. región esternal y abdomen de *Romaleon polyodon*

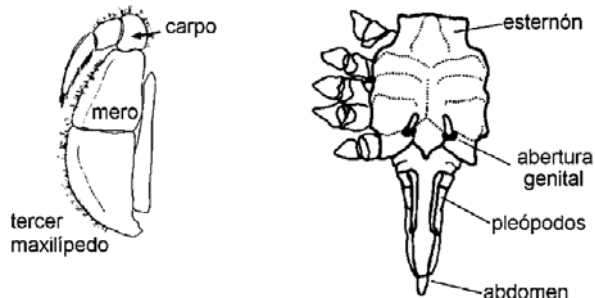


Figura 109.- Superfamilia Ocypodoidea: a. tercer maxilípodo; b. región esternal y abdomen de *Ucides occidentalis* (según MÉNDEZ, 1982a).

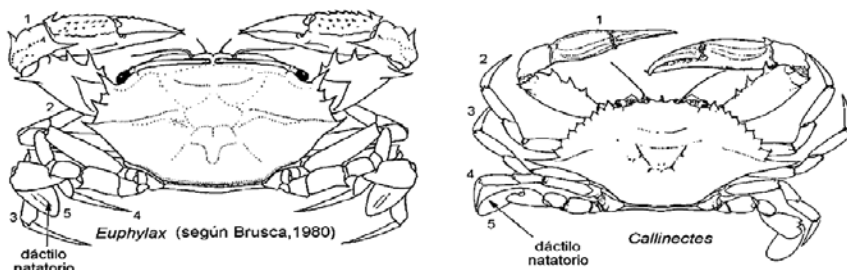


Figura 110.- Superfamilia Portunoidea (según HENDRICKX, 1995).

14a. Región branquial muy desarrollada y dilatada. Cuerpo a menudo casi cuadrado. Aberturas genitales del macho se abren en las coxas. Cangrejos de aguas continentales

15

14b. Región branquial no fuertemente dilatada. Cangrejos marinos

16

15a. Apertura del canal eferente dentro del endostoma; endopodito del primer maxilípodo ancho y corto; flagelos fuertes en el primer y segundo maxilípedos; flagelo presente en el tercer maxilípodo; mero del tercer maxilípodo angosto (Fig. 111a)

Superfamilia Trichodactyloidea

15b. Apertura del canal eferente fuera del endostoma; endopodito del primer maxilípodo angosto y largo; flagelos débiles en el primer y segundo maxilípedos; flagelo reducido o ausente en el tercer maxilípodo; mero del tercer maxilípodo ancho (Fig. 111b)

Superfamilia: Pseudothelphusoidea

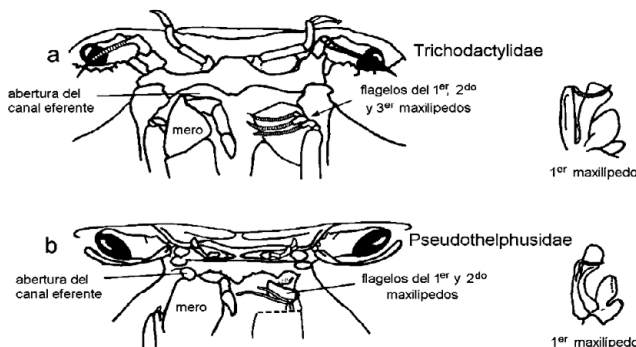


Figura 111.- Cuadros bucales de las Superfamilias: a. Trichodactyloidea; b. Pseudothelphusoidea (según GILBERTO RODRÍGUEZ, 1982).

16a. Antena (excluyendo el segmento basal) fuertemente reducida (Fig. 112 a)

Superfamilia **Belloioidea**

16b. Antena (excluyendo el segmento basal) normal, con distintos flagelos (Fig. 112 b, c)

17

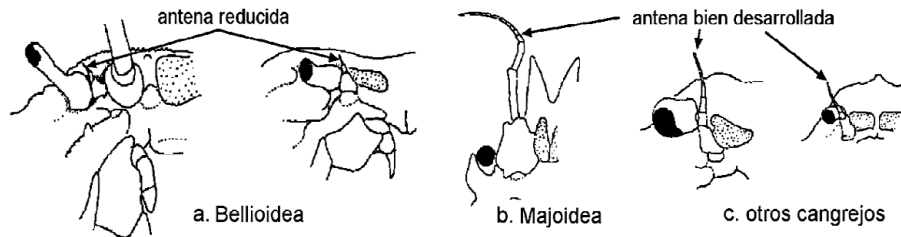


Figura 112.- Vista antero ventral de las antenas en las Superfamilias: a. Belloioidea; b. Majoidea; c. otras (según Ng, 1999).

17a. Caparazón de forma circular o subcircular (Fig. 113 a). Flagelos de las antenas con numerosas setas (Fig. 113 b)
Superfamilia **Cancroidea**: Familia **Atelecyclidae**

17b. Caparazón de forma diferente, hexagonal, ovalado transversalmente o casi triangular. Flagelo de las antenas no densamente cubierto de setas

18

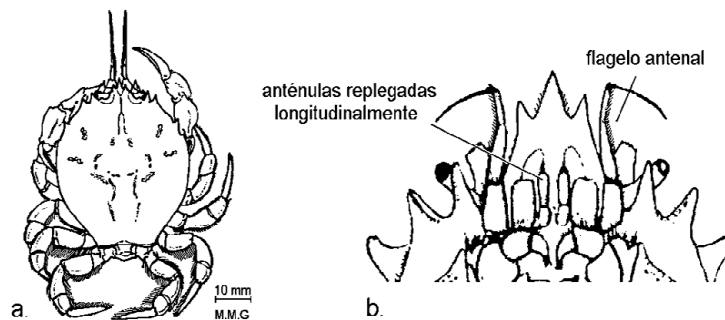


Figura 113.- Superfamilia Cancroidea: familia Atelecyclidae: a. vista dorsal de *Pseudocorystes sicarius*; b. vista antero-ventral de *Trichopeltarion corallinum* (según Rathbun, 1930).

18a. Región frontal del caparazón con tres a cinco dientes o lóbulos. Caparazón transversalmente ovalado (Fig. 114 a). Con los bordes ántero-laterales lobulados o dentados formando un arco regular. Anténulas replegadas longitudinalmente en sus fosetas (Fig. 114 c)

Superfamilia **Cancroidea**: Familia **Cancridae**

18b. Región frontal del caparazón sin dientes o lóbulos o con un número variado de espinas o tubérculos

Superfamilias **Goneplacoidea** y **Xanthoidea sensu lato**

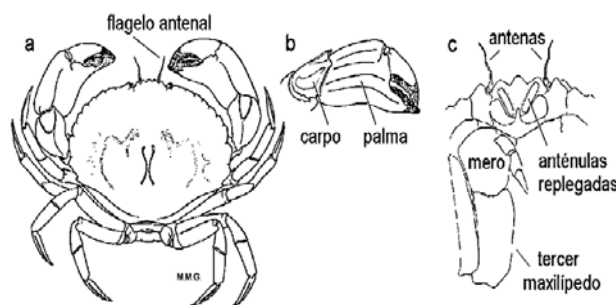


Figura 114.- Superfamilia Cancroidea: familia Cancridae: *Cancer porteri*: a. vista dorsal; b. pinza del primer pereiópodo; c. vista antero-ventral.

19a. Ojos y órbitas reducidos ó relativamente pequeños. Caparazón de la hembra a menudo blando. Cuerpo más o menos redondeado (Fig. 115 a) u ovalado transversalmente (Fig. 115 b). Especies comensales de invertebrados

Superfamilia **Pinnotheroidea**: Familia **Pinnotheridae**

19b. Ojos normales. Caparazón bien calcificado, duro en ambos sexos. Forma del cuerpo generalmente cuadrangular, con los bordes laterales rectos o ligeramente curvos

20

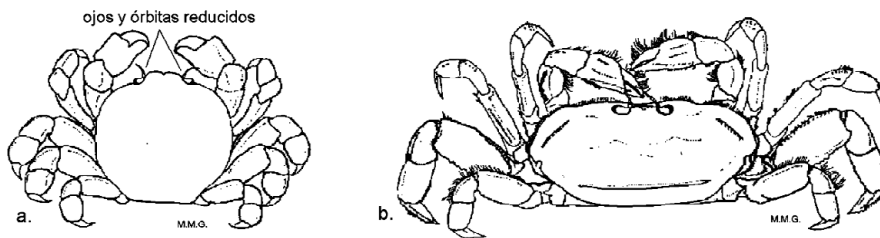


Figura 115.- Superfamilia Pinnotheroidea: familia Pinnotheridae: a. *Calyptraeotheres politus*; b. *Pinnixa transversalis*.

20a. Frente generalmente ancha, pero ocasionalmente angosta. Pedúnculos oculares cortos o medianos (Fig. 116). Maxilípedos del tercer par algo separados en su línea media, dejando al descubierto parte de la cavidad bucal

Superfamilia **Grapsoidae**

20b. Frente angosta o muy angosta. Pedúnculos oculares largos. Maxilípedos del tercer par juntos, recubriendo la cavidad bucal. El carpo del tercer maxilípedo se articula en el ángulo ántero-externo del mero. Tabique interantennular grueso. Pedúnculo antenal móvil. Frente angosta o muy angosta (Fig. 117)

Superfamilia **Ocypodoidea**

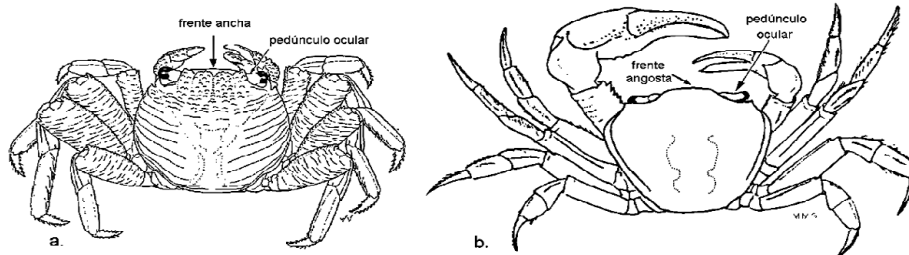


Figura 116.- Superfamilia Grapsoidae, vista dorsal de: a. *Grapsus grapsus* (según HENDRICKX, 1995); b. *Cardisoma crassum*.

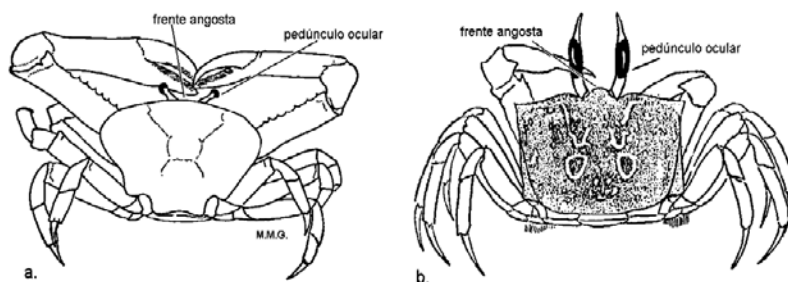


Figura 117.- Superfamilia Ocypodoidea, vista dorsal de: a. *Ucides occidentalis*; b. *Ocypode gaudichaudii* (según КОЕПСКЕ y КОЕПСКЕ, 1953).

21a. Artejo basal (segundo + tercer segmento) de las antenas bien desarrollado, usualmente fusionado con el epistoma y con la región frontal. Quelípedos en general más cortos o sólo un poco más largos que las patas ambulatorias

Superfamilia **Majoidea**

21b. Artejo basal de las antenas pequeño, movable, no fusionado con el epistoma. Quelípedos mucho más largos que las patas ambulatorias

Superfamilia **Parthenopoidea**

Superfamilia Dromioidea: Familia Dromiidae

1a. Caparazón convexo y piloso (Fig. 118)

Moreiradromia sarraburei (Rathbun, 1910)

1b. Caparazón plano y membranoso por encima (*Hypoconcha*)

2

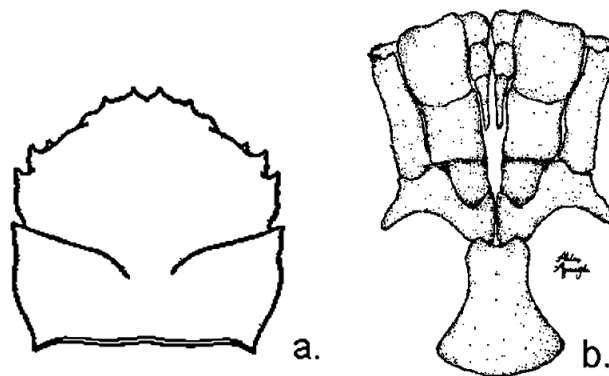


Figura 118.- *Moreiradromia sarraburei*: a. vista dorsal del caparazón (según RATHBUN, 1937); b. cuadro bucal (según SCHOLTZ y McLAY, 2009).

2a. Tercer maxilípido en forma de trapecio; el borde anterior del mero más corto que el borde lateral. Un fuerte lóbulo lateral correspondiente a la extensión de la porción ántero-lateral del caparazón, bordes postero-laterales no paralelos; mano de la pinza con muchas líneas longitudinales de gránulos sobre su cara externa y tres lóbulos granulados en la base de los dedos (Fig. 119)

Hypoconcha panamensis Verrill, 1869

2b. Bordes postero laterales del caparazón casi paralelos; borde de la mano del quelípido con gránulos prominentes y bordes marginales crestados, excepto en el borde distal, y con una aguda espina en el ángulo inferior distal. Pinzas y manos granulados y en su cara externa bordeadas por una hilera de pelos; dedos gruesos y con puntas rojas

Hypoconcha peruviana Rathbun, 1910

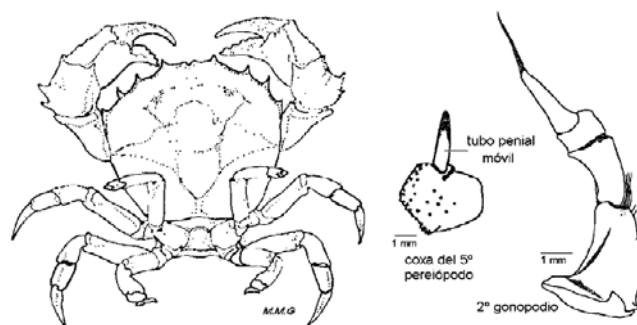


Figura 119.- *Hypoconcha panamensis*: vista dorsal; coxa y gonopodio (según GUINOT y TAVARES, 2003).

Superfamilia Raninoidea: Familia Raninidae

- 1a. Pedúnculos oculares replegados lateralmente (o un poco oblicuamente) dentro de las órbitas que están situadas sobre el borde anterior del caparazón. Parte anterior del caparazón fuertemente granulosa; placa esternal entre las bases de los pereiópodos 1 y 2 sin diente ventral (Fig. 120)

Notosceles ecuadoriensis (Rathbun, 1935)

- 1b. Pedúnculos oculares replegados hacia abajo y hacia atrás, alojados dentro de las órbitas que están situadas bajo el borde del caparazón. Caparazón en forma de V. Borde superior de la mano de los quelípedos sin espina (Fig. 121)

Ranilia fornicata (Faxon, 1893)

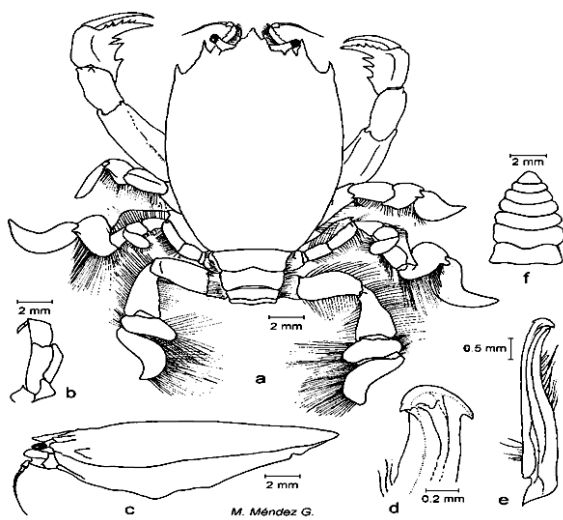


Figura 120.- *Notosceles ecuadoriensis*: a. vista dorsal macho; b. tercer maxilípodo; c. vista lateral; d y e. segundo pleópodo del macho; f. abdomen de la hembra.

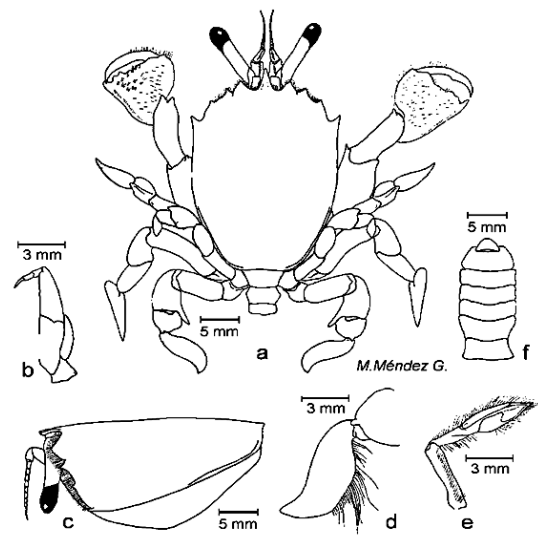


Figura 121.- *Ranilia fornicata*: a. vista dorsal del macho; b. tercer maxilípodo; c. vista lateral; d. vista lateral del cuarto pereiópodo; e. vista lateral del primer pleópodo del macho; f. abdomen de la hembra.

Superfamilia Dorippoidea: Familia Ethusidae

(Según RATHBUN 1937, HENDRICKX 1997)

- 1a. Artejos basales de las anténulas normales, no hinchados. Pedúnculos oculares móviles, dirigidos hacia adelante 2

- 1b. Artejos basales de las anténulas fuertemente hinchados. Pedúnculos oculares inmóviles 4

- 2a. Pedúnculo ocular largo, visible en vista dorsal, su extremo sobrepasando el nivel del diente orbital exterior 3

Ethusa panamensis Finnegan, 1931

- 2b. Pedúnculo ocular corto, no sobrepasa el nivel del diente orbital exterior y prácticamente es invisible en vista dorsal 3

- 3a. Regiones branquiales unidas al nivel de la línea media, caparazón granuloso. Quelípedo del macho fuertemente granuloso; dátilo de la pinza grande casi recto (Fig. 122)

Ethusa ciliatifrons Faxon, 1893

- 3b. Regiones branquiales bien separadas por una profunda depresión central al nivel de la línea media, caparazón liso o con granulaciones finas. Caparazón notoriamente más ancho que largo. Dedos de las pinzas de la hembra y de la pequeña pinza del macho juntos sobre casi toda su longitud (Fig. 123)

Ethusa lata Rathbun, 1893

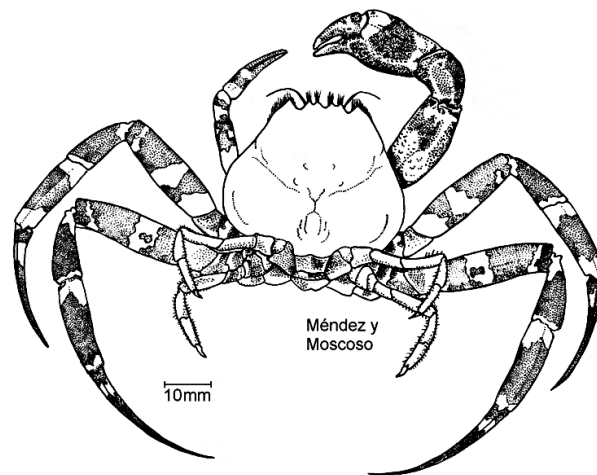


Figura 122.- *Ethusa ciliatifrons*: vista dorsal.

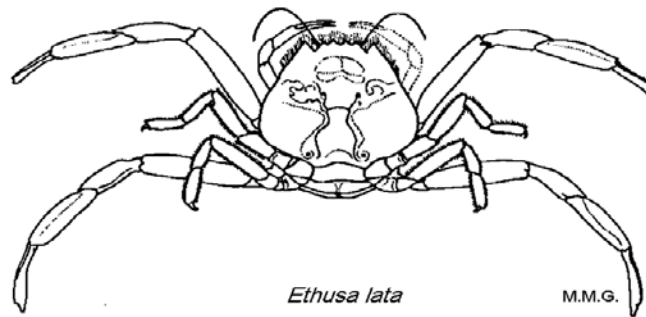


Figura 123.- *Ethusa lata*: vista frontal.

- 4a. Frente con 4 dientes o espinas, la extrema larga. Espina orbital externa oblicua, más larga que las espinas frontales, rebasando el nivel del ojo y ocasionalmente las espinas frontales (Fig. 124a)

Ethusina robusta (Miers, 1866)

- 4b. Frente sinuoso en su porción media y con un diente externo corto. Espina orbital externa diminuta, a veces obtusa (Fig. 124b)

Ethusina faxonii Rathbun, 1933

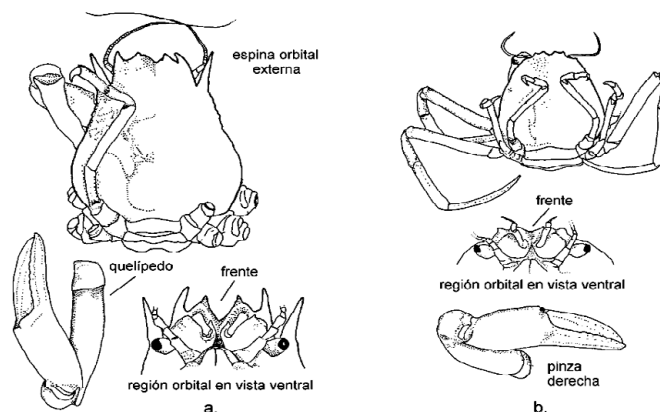


Figura 124.- a. *Ethusina robusta*; b. *Ethusina faxoni*. (según HENDRICKX, 1997).

Superfamilias Aethroidea y Calappoidea

(Según RATHBUN 1937)

- 1a. Últimas 3 articulaciones de los terceros maxilípedos no ocultas por el mero. Órbitas no separadas de las cuencas antenulares (Superfamilia **Calappoidea**) 2
- 1b. Últimas 3 articulaciones de los terceros maxilípedos ocultas por el mero. Órbitas más o menos separadas de las cuencas antenulares (Superfamilia **Aethroidea**) 5
- 2a. Márgenes póstero-laterales del caparazón formando un par de extensiones dentadas bajo las cuales los apéndices ambulatorios pueden estar cubiertos 3
- 2b. Márgenes póstero-laterales del caparazón sinuosos, sin fuerte extensión lateral dentada 4
- 3a. Caparazón ancho por lo menos 1 ½ veces tan ancho como largo; parte posterior con pocos tubérculos (Fig. 125 a) 4
- 3b. Caparazón angosto, nunca más de 1 ¼ veces tan ancho como largo; parte anterior y posterior con numerosos tubérculos cónicos (Fig. 125 b)

Calappa convexa de Seassure, 1853

Calappula saussurei (Rathbun, 1898)

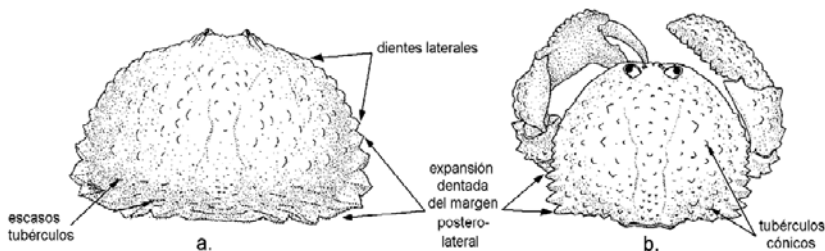


Figura 125.- Vista dorsal de: a. *Calappa convexa* (según VON PRAHL y SANCHEZ, 1986 en HENDRICKX, 1995); b. *Calappula saussurei* (según HENDRICKX, 1995).

- 4a. Caparazón con una fuerte espina recta a la mitad del margen lateral. Sin espina sobresaliente en el mero del quelípedo (Fig. 126) 4
- 4b. Caparazón estrecho, sin espina lateral. Mero del quelípedo con una espina muy larga y sobresaliente. Crestas de estridulación sobre la cara interna de la mano y la región suborbital (Fig. 127)

Platymera gaudichaudii H. Milne Edwards, 1837

Acanthocarpus delsolari Garth, 1973

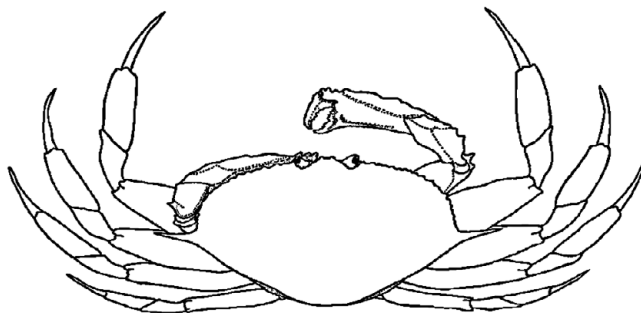


Figura 126.- Vista dorsal de *Platymera gaudichaudii* (según SCHMITT, 1921).

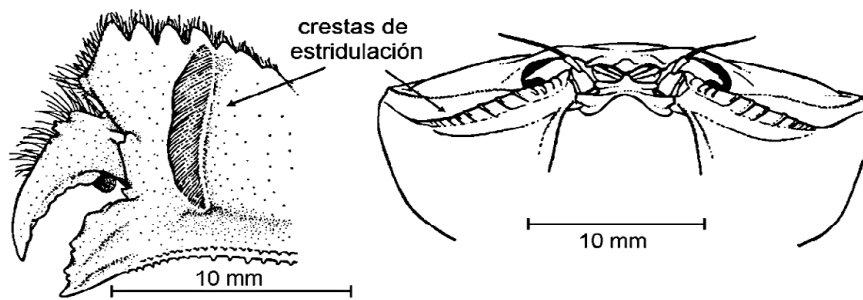


Figura 127.- *Acanthocarpus delsolari*: vista interna del propodio del quelícero y vista frontal del cefalotórax (según GARTH, 1973) (OxyScholar © 2013)..

5a. Caparazón casi ovalado, fuertemente arqueado y con la superficie regular, sin depresiones laterales y sin protuberancias muy marcadas. Frente sin prolongar ó ligeramente prolongada 6

5b. Caparazón subrectangular u octogonal, poco o moderadamente arqueado y con la superficie irregular con protuberancias muy marcadas o depresiones. Frente notoriamente prolongada 8

6a. El caparazón presenta figuras a manera de jeroglíficos, de color rojizo a pardo rojizo sobre un fondo más claro; aunque otras veces los ejemplares presentan un color pardo-rojizo uniforme; el sexto segmento abdominal del macho con un tubérculo terminal (Fig. 128)

Hepatus chiliensis H. Milne Edwards, 1837

6b. El caparazón no presenta figuras a manera de jeroglíficos; sexto segmento abdominal sin tubérculo terminal 7

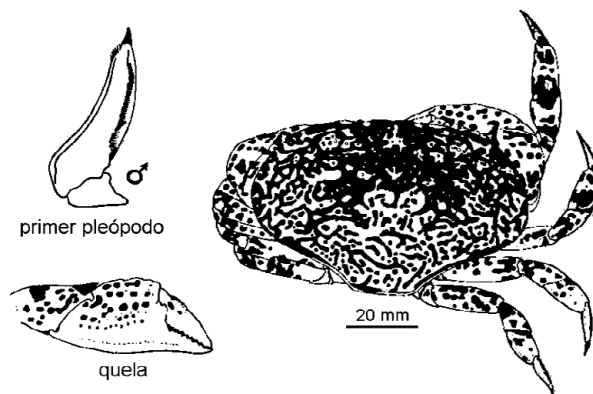


Figura 128.- *Hepatus chiliensis* (según MÉNDEZ, 1982a).

7a. Cresta superior de la pinza recortada con 4 dientes irregulares, mal definidos y con algunos pequeños tubérculos en el margen. Parte exterior de la mano con numerosos, pequeños y agudos tubérculos alineados en crestas. Color del caparazón uniforme o con bandas transversales, a veces elípticas. Ancho del caparazón raramente superior a 7 cm (Fig. 129)

Hepatus kossmanni Neumann, 1878

7b. Cresta del margen superior de la mano recortada en 4 dientes bien definidos, agudos, triangulares y sin tubérculos. Parte exterior de la mano con grandes tubérculos redondeados o aplanados. Color del caparazón rojo púrpura con numerosos y pequeños círculos (manchas) amarillos o anaranjados. Ancho del caparazón hasta 13 cm (Fig. 130)

Hepatus lineatus Rathbun, 1878

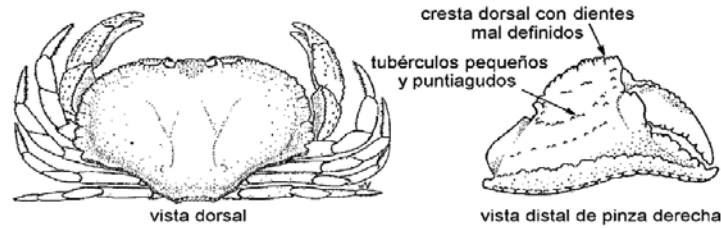


Figura 129.- *Hepatus kossmanni* (según HENDRICKX, 1995).

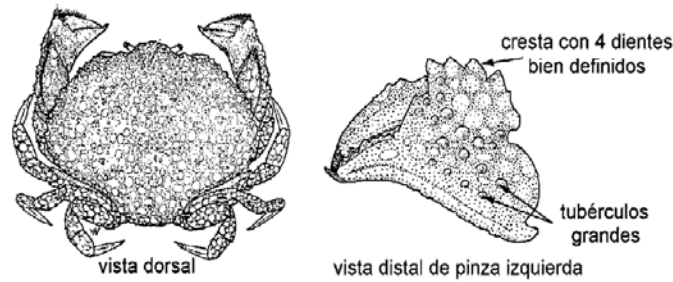


Figura 130.- *Hepatus lineatus* (según Brusca, 1980; HENDRICKX, 1995).

- 8a. Caparazón subrectangular, irregular; regiones laterales cóncavas 10
- 8b. Caparazón octogonal, con 6 protuberancias principales muy marcadas 9
- 9a. Caparazón mayormente liso. Longitud del caparazón superior a $\frac{3}{4}$ partes de su ancho. Crestas isquio-merales de los pereiópodos 4-5 con el borde irregular, recortadas en tubérculos (Fig. 131 a)

Osachila levis Rathbun, 1898

- 9b. Caparazón rugoso. Una conspicua elevación branquial de apariencia angulosa. Dos pequeñas y afiladas areolas; una anterior y la otra posterior al ángulo lateral; ambas unidas por una cresta. Abdomen con crestas que perfilan conspicuas indentaciones. Superficies superiores de las patas ambulatorias lisas y desnudas (Fig. 131 b)

Osachila galapagensis Rathbun, 1935

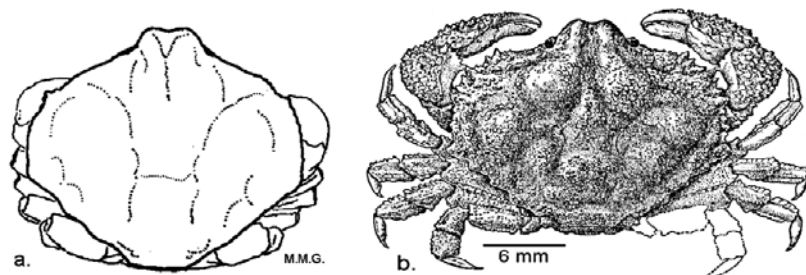


Figura 131.- Vista dorsal: a. *Osachila levis*; b. *Osachila galapagensis* (según GARTH, 1946).

- 10a. Longitud del caparazón cerca de $\frac{2}{3}$ el ancho (Fig. 132 a) *Hepatella amica* Verrill, 1869
- 10b. Longitud del caparazón más de $\frac{2}{3}$ el ancho (Fig. 132 b) *Hepatella peruviانا* Rathbun, 1910

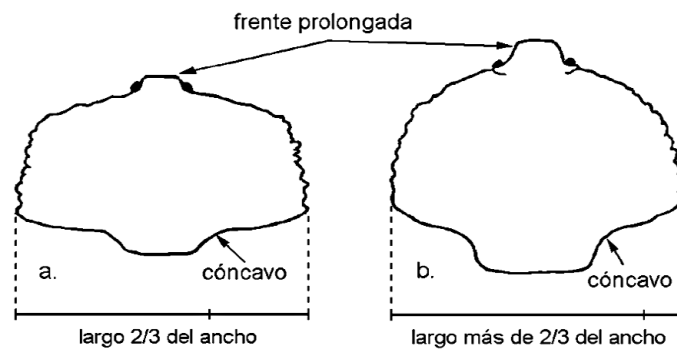


Figura 132.- Vista dorsal de caparazón en: a. *Hepatella amica*; b. *Hepatella peruviana* (según HENDRICKX, 1995).

Superfamilia Leucosioidea: Familia Leucosiidae

(Según RATHBUN 1937, HENDRICKX 1997)

- 1a. Caparazón poligonal, de apariencia irregular en vista dorsal, con protuberancias, nódulos o corroído (Ebaliinae). Los bordes poco o no alargados lateralmente; superficie dorsal muy irregular. Parte posterior del caparazón sin cavidades en las regiones branquiales. Parte dorsal del caparazón fuertemente desigual pero sin excavaciones. Los tres últimos artejos del quelípodo provistos de una cresta ancha y aguda (Fig. 133)

Ebalia cristata Rathbun, 1899

- 1b. Caparazón oval o circular, liso o granuloso, muy poco irregular

2

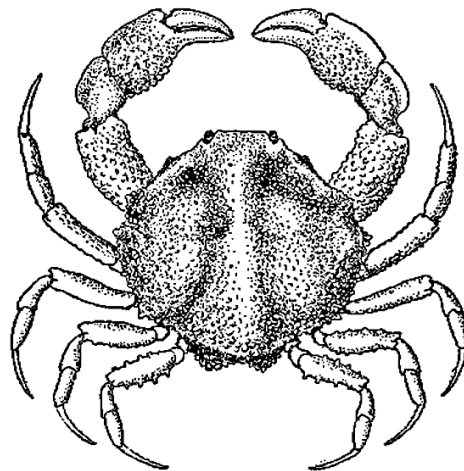


Figura 133.- Vista dorsal de *Ebalia cristata* (según RATHBUN, 1898).

- 2a. Dedos de los quelípedos muy delgados y alargados, de un grosor igual sobre toda su longitud, generalmente más largos que la palma; mero del tercer maxilípodo más corto que la mitad del isquío (Subfamilia Leucosiinae)

3

- 2b. Dedos de los quelípedos normales, más gruesos en su parte proximal; mero del tercer maxilípodo más largo o igual a la mitad del isquío (Iliinae)

4

- 3a. Un fuerte tubérculo sobre el borde ántero- lateral del caparazón. Dos dientes rostrales proyectados hacia adelante (Fig. 134a)

Iliacantha schmitti Rathbun, 1935

- 3b. Borde ántero-lateral del caparazón granuloso pero sin tubérculo fuerte. Caparazón sin dientes rostrales marcados (Fig. 134b)

Iliacantha hancocki Rathbun, 1935

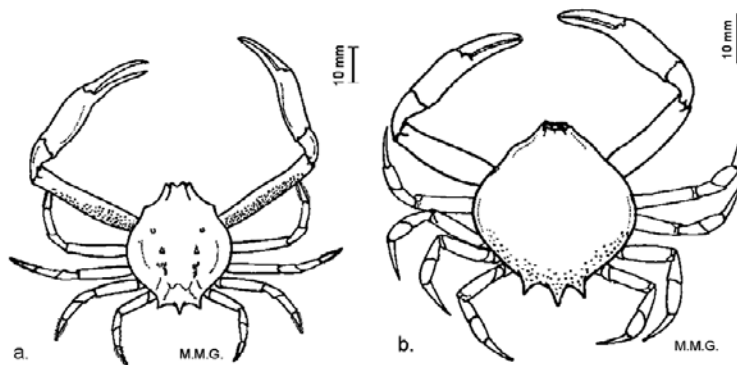


Figura 134.- Vista dorsal de: a. *Iliacantha schmitti*; b. *Iliacantha hancocki*.

- 4a. Caparazón granuloso, su borde posterior con un fuerte diente ubicado en la región intestinal. Frente con 2 dientes; sexto segmento abdominal del macho con una corta prolongación proximal que recubre el borde distal del quinto segmento (Fig. 135)

Leucosilia jurinii (de Saussure, 1853)

- 4b. Caparazón granuloso o pustuloso; borde posterior del caparazón con 3 a 5 protuberancias o dientes puntiagudos

5

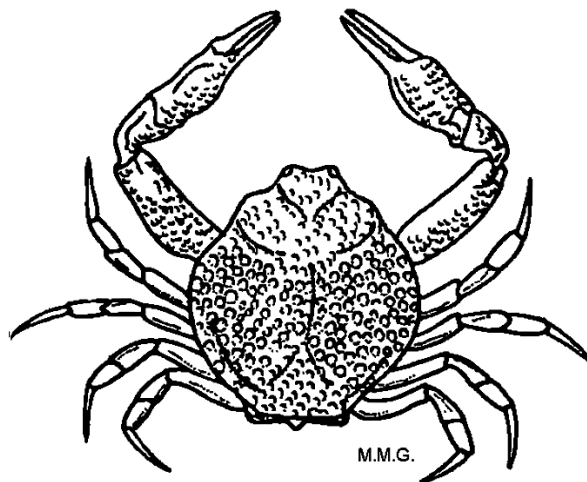


Figura 135.- Vista dorsal de *Leucosilia jurinii*.

- 5a. Tres dientes puntiagudos sobre el borde posterior del caparazón

6

- 5b. Borde posterior del caparazón sin protuberancias ni dientes, o con 5 protuberancias. Gruesos tubérculos redondeados recubriendo el caparazón, el esternón, el abdomen y el mero de los quelípedos; caparazón redondeado, la porción anterior no saliente (Fig. 136a)

Randallia bulligera Rathbun, 1898

- 6a. Borde ántero-lateral del caparazón provisto de un diente

7

- 6b. Borde ántero-lateral del caparazón sin diente. Caparazón tan largo como ancho; mano de la pinza de los quelípedos ancha, menos de dos veces tan larga como ancha (Fig. 136 b)

Persephona edwardsii (Rathbun, 1893)

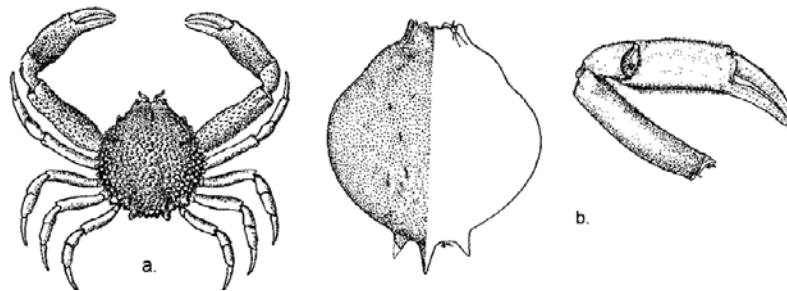


Figura 136.- a. vista dorsal de *Randallia bulligera* (según RATHBUN, 1898); b. caparazón y quelipedo de *Persephona edwardsii* (según HENDRICKX, 1997).

7a. Diente ántero-lateral fuerte (Fig. 137 a)

Persephona towsendi (Rathbun, 1893)

7b. Diente ántero-lateral débil (Fig. 137 b)

Persephona orbicularis Bell, 1855

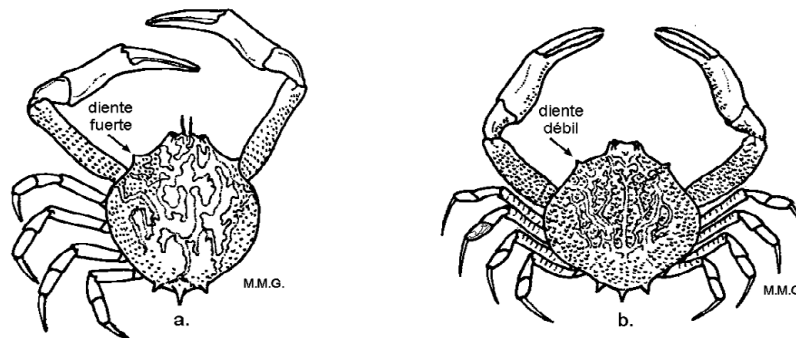


Figura 137.- Vista dorsal de: a. *Persephona towsendi*; b. *Persephona orbicularis*.

Superfamilia Parthenopoidea: Familia Parthenopidae
(Según GARTH 1958)

1a. Caparazón tuberculado o erosionado. Artejo basal antenal corto, no alcanza el hiatus u orificio orbital 2

1b. Caparazón liso, excepto por unas pocas espinas fuertes 3

2a. Caparazón ovado-pentagonal, superficie poco carinada. Punta del rostro ampliamente triangular. Primer pleópodo del macho cilíndrico, de diámetro uniforme de la base a la punta, con algunas setas a la mitad del surco (Fig. 138)

Hypolambrus hyponcus (Stimpson, 1871)

2b. Caparazón ancho y triangular, lados redondeados, superficie tuberculada, 3 grandes tubérculos en el margen posterior, uno al medio. Primer pleópodo del macho grueso, estrechándose hacia la punta; punta truncada y gemela, una fila de setas en los labios del surco (Fig. 139)

Spinolambrus exilipes (Rathbun, 1893)

3a. Canales eferentes se abren en los lados del endostoma, como lo acostumbrado en *Oxyrhyncha*. Caparazón liso y convexo dorsalmente, con una espina lateral fuerte (Fig. 140)

Leiolumbrus punctatissimus (Owen, 1893)

3b. Canales eferentes abren en medio del endostoma, como lo usual en Oxystomata. Cuatro espinas triangulares en el caparazón: una gástrica, una cardíaca y dos al final de cada sinuoso lomo branquial. Un diente esférico en la base del dedo móvil. Primer pleópodo del macho corto, grueso, cilíndrico, bífido en la punta; labios del surco plumosos y setosos, siempre con una fina pubescencia (Fig. 141)

Mesorhoea belli (A. Milne Edwards, 1878)

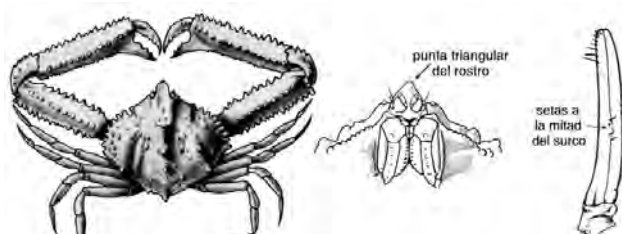


Figura 138.- *Hypolambrus hyponcus*: vista dorsal y fronto-ventral (según RATHBUN, 1925); gonopodio (según GARTH, 1958).

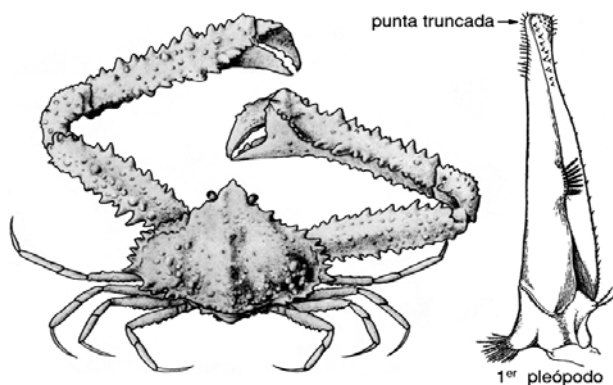


Figura 139.- *Spinolambrus exilipes*: vista dorsal (según RATHBUN, 1925); primer pleópodo (según GARTH, 1958).

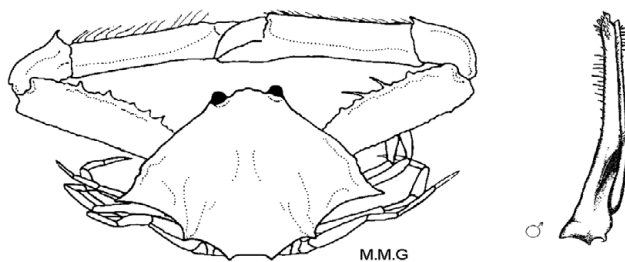


Figura 140.- Vista dorsal y primer pleópodo (según Garth, 1958) de *Leiolambrus punctatissimus*.

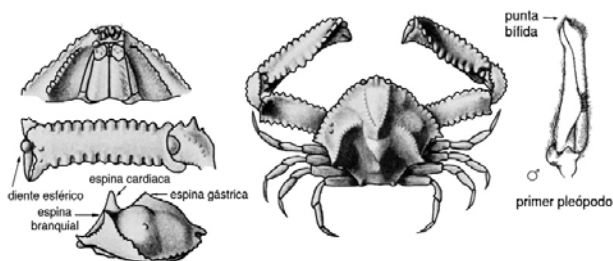


Figura 141.- *Mesorhoea belli*: vista fronto-ventral, quelípodo, vista lateral y vista dorsal (según RATHBUN, 1925); primer pleópodo (según GARTH, 1958).

Superfamilia Majoidea

(Según GARTH 1958)

- 1a. Órbitas ausentes, o rudimentarias o muy incompletas 2
- 1b. Órbitas completas o casi completas. Artejo basal antenal muy ancho 5
- 2a. Órbitas ausentes; pedúnculo ocular generalmente largo y carente de protección lateral. Artejo basal de la antena extremadamente delgado y usualmente largo 6
- 2b. Órbitas rudimentarias o muy incompletas. Artejo basal antenal no extremadamente delgado 3
- 3a. Ojos sin órbitas verdaderas, ausencia del seno post-ocular 4
- 3b. Ojos con principio de órbitas, en adición a la espina supraocular, un proceso postocular grande, en forma de capa en el cual se retrae el ojo. Pedúnculos oculares cortos. Siete segmentos abdominales libres en ambos sexos 15
- 4a. Pedúnculos oculares largos. Órbitas parcialmente protegidas por una espina supra-ocular en forma de cuerno o por unos dientes aserrados post-oculares o por ambos. Cuerpo a menudo truncado en la frente (Familia **Epialtidae**: Subfamilia **Tychinae**). Cinco dientes laterales, el segundo y el tercero unidos en la base, el segundo y el quinto reducidos en tamaño. Caparazón casi liso, aunque con escasos y débiles gránulos. Quelípedo del macho adulto excede grandemente al primer par de patas caminadoras. Gonopodio casi lineal (Fig. 142)

Pitho quinquedentata Bell, 1835

- 4b. Pedúnculos oculares cortos, poco movibles y ocultos por una espina supraocular o hundidos en los lados del rostro. Artejo basal de la antena truncado triangular, espinas intercaladas ausentes 10

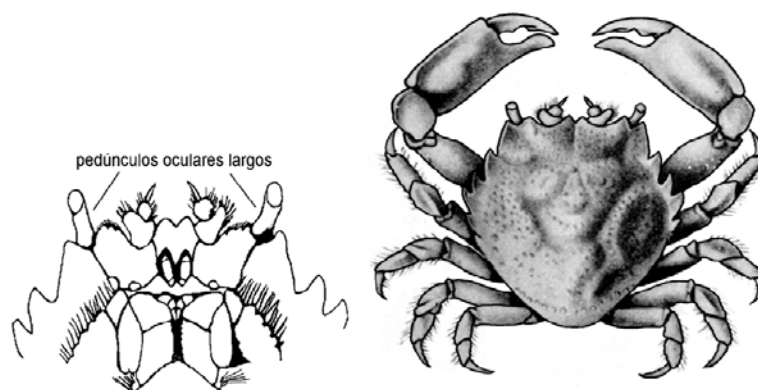


Figura 142.- Vista fronto-ventral y dorsal de *Pitho quinquedentata* (según RATHBUN, 1925).

- 5a. Primer artejo antenal (basal) moderadamente ancho y no se extiende notoriamente por debajo del ojo [**Majidae** (*s. restr.*)]. Caparazón ampliamente oval-triangular. Artejo basal antenal con tres espinas. Cada cuerno rostral con una espina accesoria. Borde distal del mero del tercer par de pereiópodos con 3 espinas fuertes y otras más pequeñas (Familia **Majidae**: Subfamilia **Majinae**) (Fig. 143)

Maiopsis panamensis Faxon, 1893

- 5b. Primer artejo antenal muy ancho y se extiende por debajo de la órbita, formando el piso de ésta (Familia **Majidae**: Subfamilia **Mithracinae**) (Fig. 144)

26



Figura 143.- Vista fronto-ventral y dorsal de *Maiopsis panamensis* (según RATHBUN, 1925; HENDRICKX, 1995).

Figura 144.- Vista fronto-ventral de un Mithracinae (según HENDRICKX, 1995).

- 6a. Una espina intercalada entre las espinas pre y postorbital. Rostro horizontal, espinas contiguas. Sin espina en el margen orbital superior. Siete segmentos abdominales libres en ambos sexos; espina interantenuar presente. Patas ensanchadas y comprimidas (Familia **Inachidae**) (Fig. 145)

Eurypodius latreillii Guérin, 1825

- 6b. Sin espina intercalada entre las espinas pre y postorbital. Seis segmentos abdominales libres en el macho, cinco en la hembra. Pleuritos 5 al 8 del primer segmento abdominal expuestos (Familia **Inachoididae**)

7

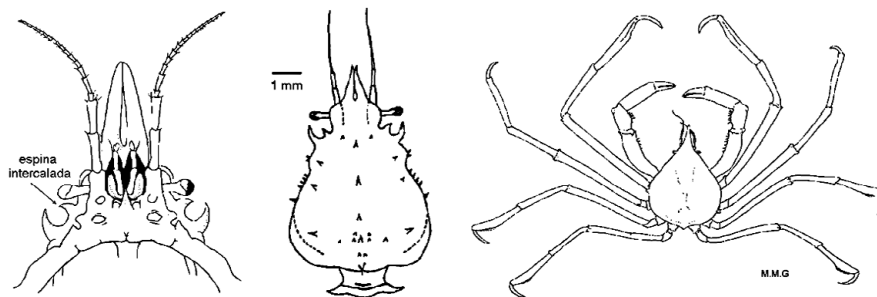


Figura 145.- Vista fronto-ventral (según RATHBUN, 1925) y vistas dorsales (izquierda según COELHO, 1999) de *Eurypodius latreillii*.

- 7a. Rostro doble (excepto en adulto de *C. tenuirostris*)

8

- 7b. Rostro simple; caparazón liso

9

- 8a. Espina interantenuar ausente o inconspicua. Caparazón con espinas mediales. Margen externo del artículo basal antenal denticulado (Fig. 146)

Collodes tenuirostris Rathbun, 1894

- 8b. Espina interantenuar presente, conspicua y saliente. Espina del artejo basal antenal avanza excediendo a la frente. Diente postocular en forma de ancho lóbulo. Una espina a nivel intestinal. Quelípedos del macho adulto al menos cuatro veces el largo del caparazón (Fig. 147)

Euprognatha granulata Faxon, 1894

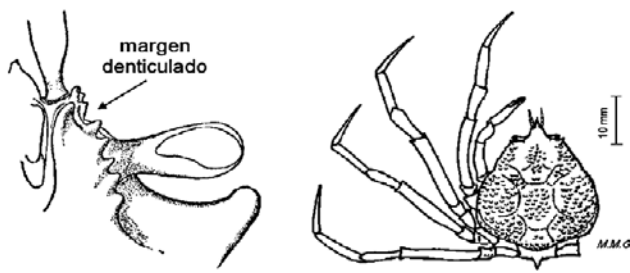


Figura 146.- Vista antero-ventral (según GARTH, 1958) y vista dorsal de *Collodes tenuirostris*.

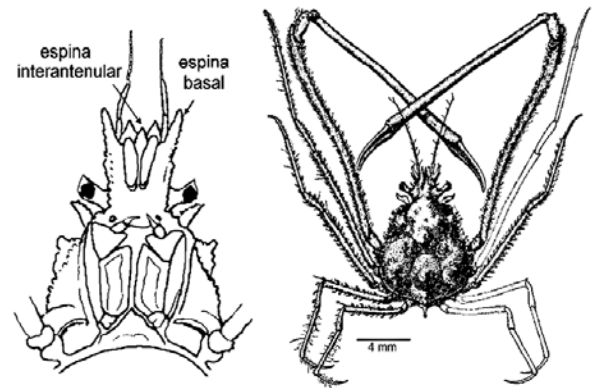


Figura 147.- Vista fronto-ventral (según RATHBUN, 1925) y dorsal (según GARTH, 1946) de *Euprognatha granulata*.

9a. Mero del maxilípedo externo tan ancho como el isquio, palpos de tamaño moderado. Diente post-orbital pequeño, o si es grande, no se curva alrededor del ojo, patas subprensiles. Caparazón tuberculado y granulado. Espina postorbital prominente; espinas antenales curvadas. Punta del gonopodio redondeado (Fig. 148)

Inachoides lambriformis (De Haan, 1834)

9b. Mero del maxilípedo externo a menudo más angosto que el isquio, palpos grandes y gruesos. Rostro multiespinoso de largo igual o mayor a la longitud del resto del caparazón. Una pequeña espina al final del artículo basal de la antena. Patas extremadamente largas y delgadas (Fig. 149)

Stenorhynchus debilis (Smith, 1871)

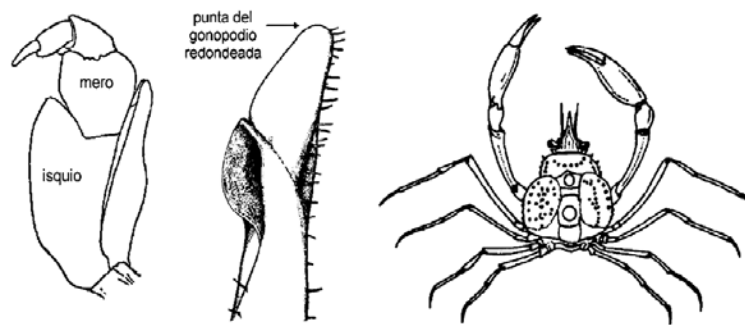


Figura 148.- Maxilípedo externo (según RATHBUN, 1925), gonopodio (según GARTH, 1958) y vista dorsal de *Inachoides lambriformis*.



Figura 149.- Vista lateral del rostro (según RATHBUN, 1925) y vista dorsal de *Stenorhynchus debilis*.

10a. Rostro doble

- 10b. Rostro simple o muy poco bifurcado. Cinco segmentos abdominales libres en machos y hembras. Algunos tubérculos fuertes sobre la superficie dorsal del caparazón. Propodios de las patas ambulatorias, dentados (Familia **Epialtidae**: Subfamilia **Epialtinae**)

11

- 11a. Ancho hepático excediendo al branquial, parte del rostro ligeramente emarginado, margen orbital arqueado pero no dentado. Mero del tercer maxilípodo con unas muescas que reciben al palpo. Margen orbital continuo. Grandes lóbulos hepáticos dirigidos hacia afuera como adelante (Fig. 150a)

Eupleurodon trifurcatus Stimpson, 1871

- 11b. Ancho branquial casi iguala ó excede al hepático; punta del rostro bilobado, un fuerte diente preorbital (largo y delgado en machos) (Fig. 150 b)

Eupleurodon peruvianus (Rathbun, 1893)

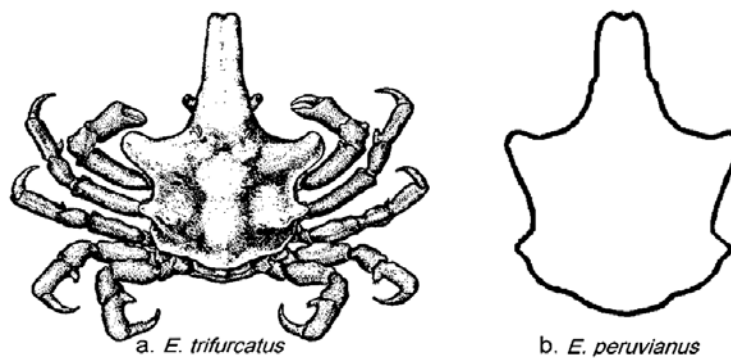


Figura 150.- Vista dorsal de: a. *Eupleurodon trifurcatus* (según GARTH, 1958); b. *Eupleurodon peruvianus* (según RATHBUN, 1925).

- 12a. Siete segmentos abdominales libres en ambos sexos. Antenas no visibles a los lados del rostro en vista dorsal

13

- 12b. Seis segmentos abdominales libres en ambos sexos. Patas subqueladas. Rostro corto, bífido y desviado. Lóbulo preorbital elevado. (Familia **Epialtidae** – Subfamilia **Epialtinae**) (Fig. 151)

Acanthonyx petiverii H. Milne Edwards, 1834

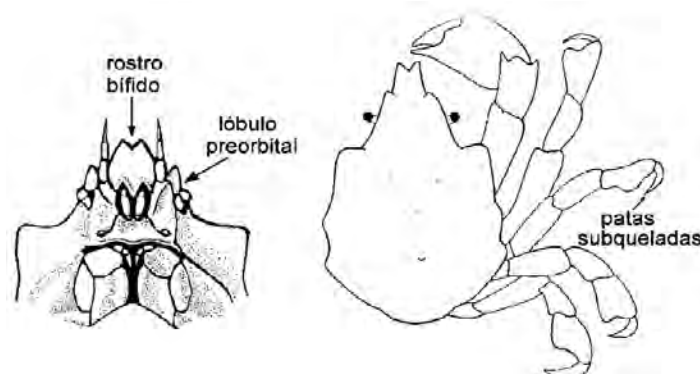


Figura 151.- Vista fronto-ventral (según RATHBUN, 1925) y dorsal (según ABELE y KIM, 1986) de *Acanthonyx petiverii*.

- 13a. Caparazón anchamente oval. Diente post-orbital pequeño o ausente. Propodios de las patas ambulatorias con un diente distal inferior (*Taliepus*)

14

- 13b. Caparazón subtriangular o subpentagonal, tuberculado. Diente post-orbital de tamaño normal. Rostro compuesto de 2 espinas contiguas, su longitud no excede la porción postrostral del caparazón. Patas no crestadas (Familia **Epialtidae**: Subfamilia **Pisinae**) (Fig. 152)

Rhinocarcinus agassizi Rathbun, 1893

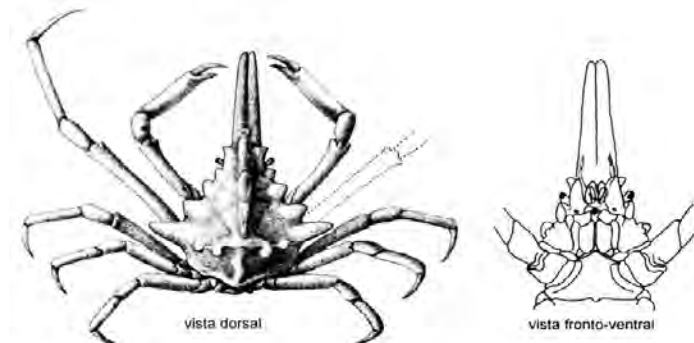


Figura 152.- Vista dorsal y fronto-ventral de *Rhinocarcinus agassizi* (según RATHBUN, 1925).

- 14a. Tres dientes laterales; márgenes con fuertes rebordes. Diente del propodio fuerte en adultos (Familia **Epialtidae**: Subfamilia **Epialtinae**) (Fig. 153 a)

Taliepus marginatus (Bell, 1835)

- 14b. Cuatro dientes laterales. Diente del propodio pequeño en adultos (Familia **Epialtidae**: Subfamilia **Epialtinae**) (Fig. 153 b)

Taliepus dentatus H. Milne Edwards, 1834

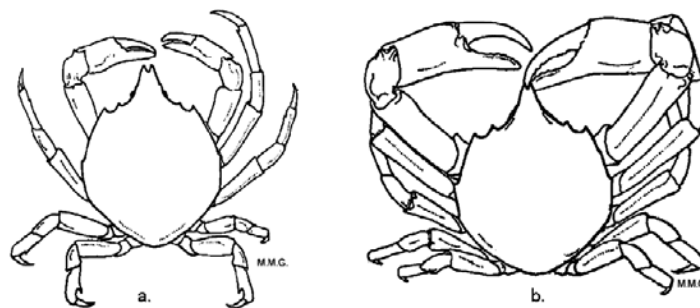


Figura 153.- Vistas dorsales de: a. *Taliepus marginatus*; b. *Taliepus dentatus*.

- 15a. Espinas intercaladas presentes 16

- 15b. Espinas intercaladas ausentes 17

- 16a. Rostro corto. Caparazón subcircular o anchamente oval. Propodios de las patas caminadoras largos, dactilos cortos

Herbstia sp.

- 16b. Rostro más largo. Caparazón angosto, piriforme, marcadamente más largo que ancho. Quelípedos tan robustos o más fuertes que las patas caminadoras. Región cardiaca del caparazón notoriamente deprimida, 4 espinas dispuestas en forma de rombo sobre la porción más ancha del caparazón; antenas visibles dorsalmente; primer pleópodo del macho con un extremo agudo, subcónico, bien separado del pliegue opuesto situado en la abertura (Familia **Epialtidae**: Subfamilia **Pisinae**) (Fig. 154)

Notolopas lamellatus Stimpson, 1871

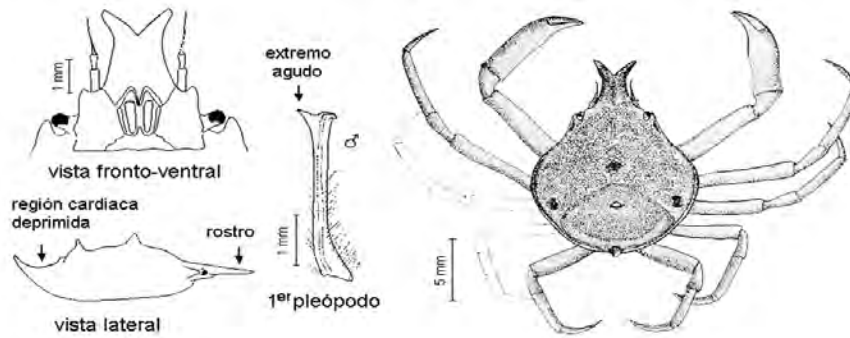


Figura 154.- *Notolopos lamellatus* (según MÉNDEZ y AGUILAR, 1978).

- 17a. Saliente supraocular y procesos post-oculares no aproximados 19
- 17b. Saliente supraocular y procesos post-oculares estrechamente aproximados. Caparazón sub-globoso, espinado 18
- 18a. Primer pleópodo del macho con el extremo acanalado, encorvado y terminando en una punta aguda, con una quilla obtusa en el lado opuesto (Familia **Epialtidae**: Subfamilia **Pisinae**) (Fig. 155)

Stratiolibinia rostrata (Bell, 1835)

- 18b. Primer pleópodo del macho con punta y quilla delgadas y agudas. Caparazón y rostro delgados, 6 espinas mediales y 3 laterales, 2 espinas branquiales y una hepática, quelípodo comprimido y con dedos abriéndose ampliamente en los machos. Punta del abdomen del macho redondeado (Familia **Epialtidae**: Subfamilia **Pisinae**) (Fig. 156)

Libinia peruana Garth y Méndez, 1983

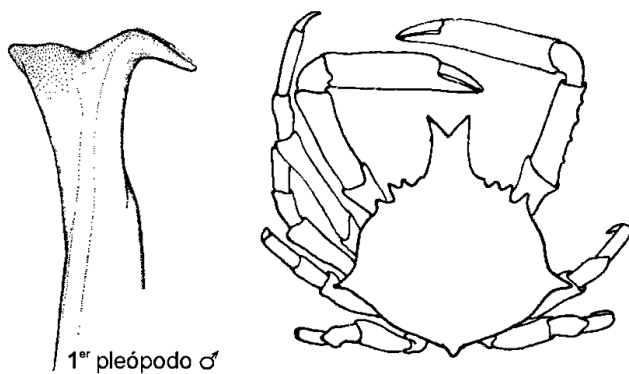


Figura 155.- *Stratiolibinia rostrata*: primer pleópodo del macho (según GARTH, 1958) y vista dorsal (según MÉNDEZ y AGUILAR, 1978).

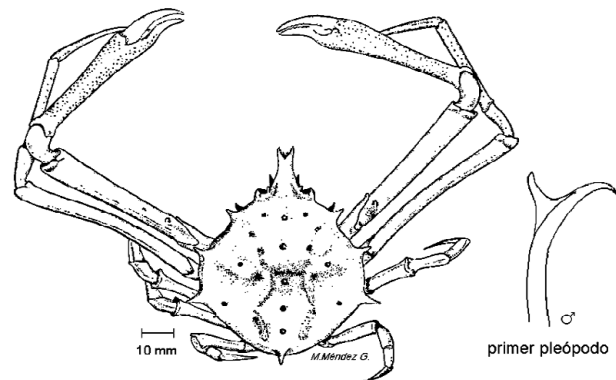


Figura 156.- *Libinia peruana*: vista dorsal y primer pleópodo del macho (según GARTH y MÉNDEZ, 1983) (OxyScholar © 2013).

- 19a. Rostro doble 20
- 19b. Rostro con una espina simple y triangular, que no se proyecta más adelante de las órbitas; primer pleópodo del macho con el extremo falciforme, acanalado, opuesto a él presenta un lóbulo provisto de setas (Familia **Epialtidae**: Subfamilia **Pisinae**) (Fig. 157)

Neodoclea boneti Buitendijk, 1950

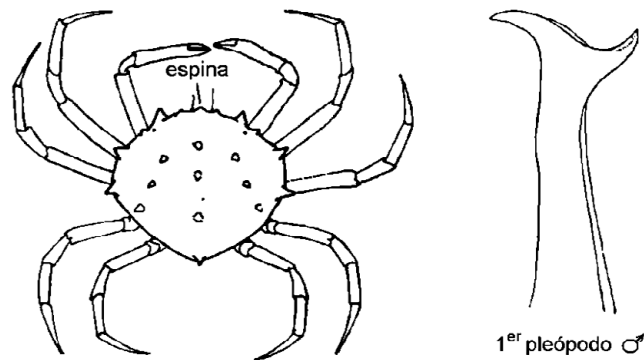


Figura 157.- *Neodoclea boneti*: vista dorsal y primer pleópodo del macho (según Méndez y Aguilar, 1978).

- 20a. Rostro bífido por más de la mitad de su longitud. Espinas rostrales delgadas 21
- 20b. Rostro bífido por la mitad o menos de su longitud 24
- 21a. Quelípedos del macho con la palma ancha, crestada; senos orbitales en forma de V. Primer pleópodo del macho con dos lóbulos subterminales, uno redondeado, el otro agudo, opuestos al extremo del pleópodo que es grueso pero termina en punta. (Familia **Epialtidae**: Subfamilia **Pisinae**) (Fig. 158) 24

Chorilia turgida Rathbun, 1924
- 21b. Quelípedos del macho delgados, alargados; senos orbitales en forma de U 22

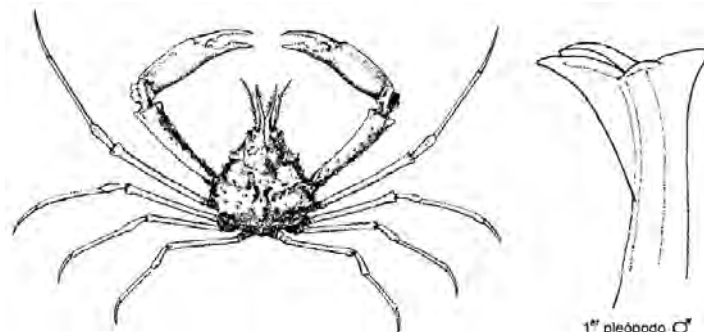


Figura 158.- *Chorilia turgida*: vista dorsal (según RATHBUN, 1925) y primer pleópodo del macho (según MÉNDEZ y AGUILAR, 1978).

- 22a. Regiones branquiales muy dilatadas, se unen en la línea media, no obstante no se fusionan, pero obliteran (obstruyen) la región cardíaca; longitud del rostro más de 6 veces en la longitud del cefalotórax; primer pleópodo del macho delgado, se extiende distalmente hacia afuera y se abre terminalmente entre una quilla obtusa y el extremo puntiagudo (Familia **Epialtidae**: Subfamilia **Epialtinae**) (Fig. 159) 23

Lophorochinia parabanchia Garth, 1969
- 22b. Regiones branquiales dilatadas, pero no como en *Lophorochinia*; no se unen en la línea media obliterando la región cardíaca; longitud del rostro menos de 6 veces en la longitud del cefalotórax 23

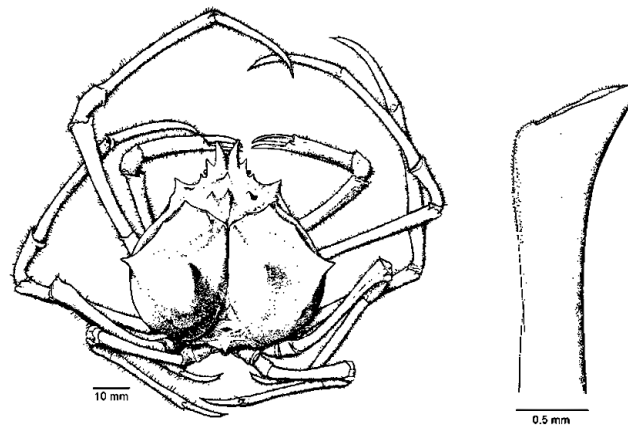


Figura 159.- *Lophorochinia parabranchia*: vista dorsal y primer pleópodo del macho (según GARTH y HAIG, 1971).

23a. Una espina sobre el artejo basal antenal, una fila de 5 espinas, desde la espina gástrica mediana a la espina branquial marginal, esta espina muy desarrollada; primer pleópodo del macho con el extremo agudo, corto, abertura delimitada por pliegues gruesos, que tienden a enroscarse hacia afuera, el más prominente de los pliegues angulado obtusamente (Familia **Epialtidae**: Subfamilia **Pisinae**) (Fig. 160)

Rochinia occidentalis (Faxon, 1893)

23b. Dos espinas sobre el artejo basal antenal; una fila oblicua de 3 espinas: de la espina gástrica mediana a la espina branquial marginal; primer pleópodo del macho con el extremo en punta, opuesto a dos proyecciones lobadas, con sus convexidades aproximadas, un lóbulo espinado y erecto entre estas proyecciones directamente sobre la abertura (Familia **Epialtidae**: Subfamilia **Pisinae**) (Fig. 161)

Rochinia vesicularis (Rathbun, 1907)

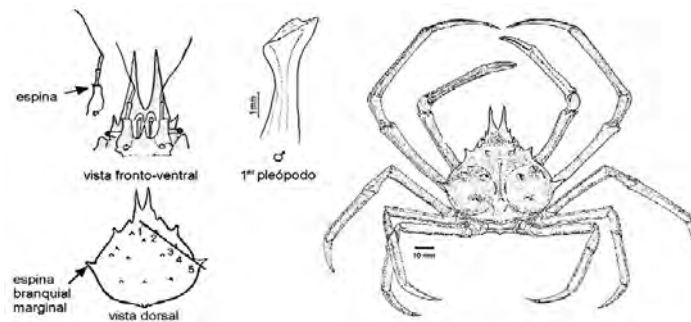


Figura 160.- *Rochinia occidentalis* (según MÉNDEZ y AGUILAR, 1978).

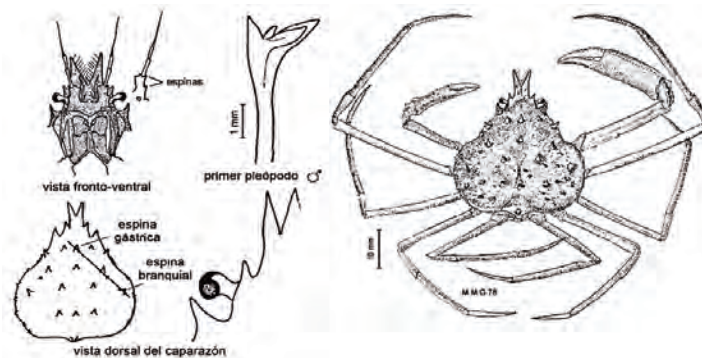


Figura 161.- *Rochinia vesicularis* (según MÉNDEZ y AGUILAR, 1978).

- 24a. Saliente supraocular proyectada anteriormente como una espina. Quelípedos del macho más robustos y largos que las patas caminadoras, manos hinchadas, crestadas encima y debajo. Primer pleópodo del macho termina en una punta aguda y un lóbulo romo (Familia **Epialtidae**: Subfamilia **Pisinae**) (Fig. 162)

Delsolaria enriquei Garth, 1973

- 24b. Saliente supraocular no proyectada anteriormente como una espina

25

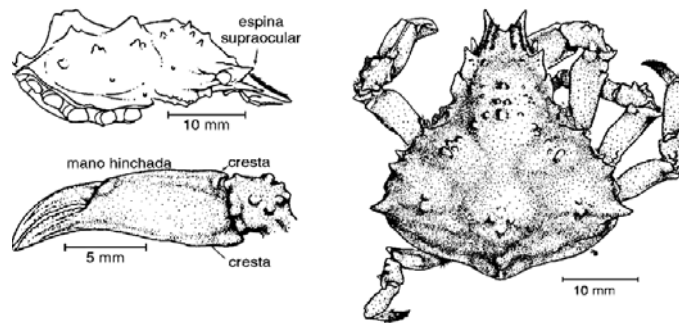


Figura 162.-*Delsolaria enriquei* (según GARTH, 1973) (OxyScholar © 2013).

- 25a. Artejo basal antenal angosto. Segundo segmento libre de la antena sobrepasa el rostro; el primer pleópodo del macho es ancho cerca a su extremo, inclinado y puntiagudo debajo de la abertura, el labio de ésta es grueso y finalmente setoso (Familia **Epialtidae** – Subfamilia **Pisinae**) (Fig. 163)

Pelia pacifica A. Milne Edwards, 1875

- 25b. Artejo basal antenal ancho, una espina compuesta en el ángulo ántero-externo; segundo segmento libre de la antena no sobrepasa el rostro; primer pleópodo del macho ancho y aplanado cerca al extremo, una fila de espínulas sobre el margen cóncavo (Familia **Epialtidae**: Subfamilia **Pisinae**) (Fig. 164)

Pisoides edwardsii (Bell, 1835)

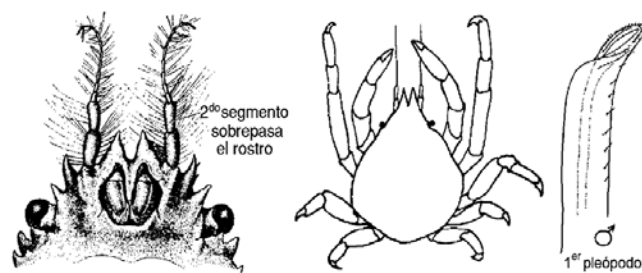


Figura 163.- *Pelia pacifica*: vista fronto-ventral (según GARTH, 1958), vista dorsal y primer pleópodo (según MÉNDEZ y AGUILAR, 1978).

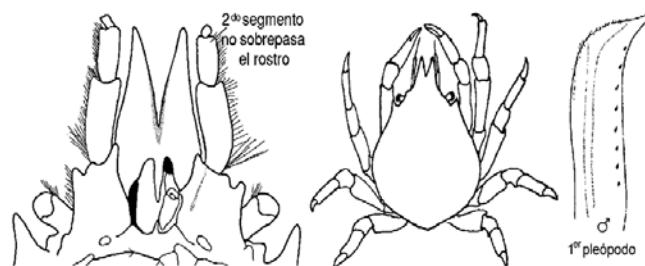


Figura 164.- *Pisoides edwardsii*: vista fronto-ventral (según RATHBUN, 1925), vista dorsal y primer pleópodo (según MÉNDEZ y AGUILAR, 1978).

- 26a. Espina intercalada presente; algunas veces las órbitas proyectadas más allá del contorno general del caparazón, pero nunca tubular

27

- 26b. Espina intercalada ausente; órbitas tubulares 33
- 27a. Órbitas no proyectadas lateralmente más allá del contorno general del caparazón. Caparazón sub-triangular. Patas crestadas. Diente pre-orbital presente 28
- 27b. Órbitas proyectadas lateralmente un poco más allá del contorno general del caparazón 29
- 28a. Segundo segmento antenal libre, largo y cilíndrico. Frente baja o media elevada, arqueada, lóbulos ampliamente separados; región branquial anterior prominente. Extremo del primer pleópodo del macho corto y robusto; lóbulo subterminal en punta (Fig. 165)

Teleophrys cristulipes Stimpson, 1860

- 28b. Segundo segmento antenal libre, corto y ancho. Frente elongada, cuernos rostrales estrechamente aproximados; región branquial anterior no prominente. Propodio con un reborde lateral. Extremo del primer pleópodo del macho en punta y elongado o alargado. Lóbulo subterminal redondeado (Fig. 166)

Teleophrys tumidus (Cano, 1889)

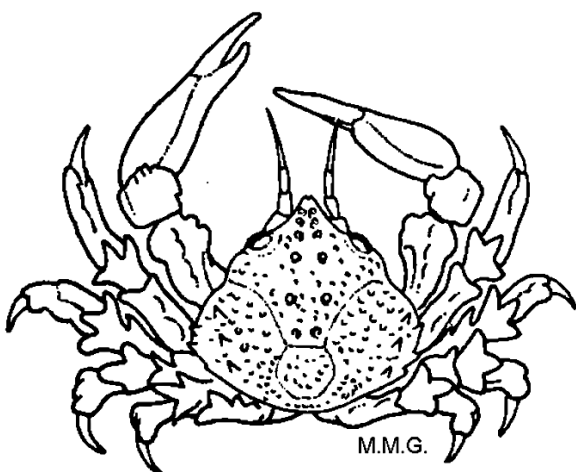


Figura 165.-*Teleophrys cristulipes*: vista dorsal.

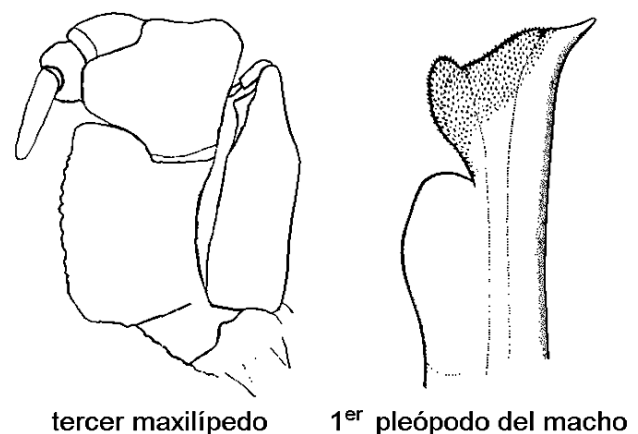


Figura 166.- *Teleophrys tumidus*: tercer maxilípedo (según RATHBUN, 1925), gonopodio (según GARTH, 1958).

- 29a. Rostro pequeño. Caparazón elevado, usualmente más ancho que largo. Márgenes laterales con 3 ó 4 espinas o lóbulos detrás de la órbita. Patas espinosas. Margen orbital espinoso ó tuberculado 30
- 29b. Rostro de mayor tamaño, usualmente con dos cuernos fuertes. Caparazón generalmente piriforme. Artejo basal antenal armado con una espina prominente en el ángulo ántero-external (*Microphrys*) 31
- 30a. Caparazón áspero, cubierto por tubérculos o espínulas. Diente orbital intermedio puntiagudo o truncado, conspicuo 30
- 30b. Caparazón liso. Diente orbital intermedio tuberculiforme, inconspicuo 31

Mithrax belli Gerstaecker, 1857

Mithraculus cancasense Turkey, 1967

31a. Dos lóbulos, uno hepático y otro branquial, aplastados en las paredes del caparazón

32

31b. Sin lóbulos aplastados en las paredes del caparazón. Dos largas espinas en la región branquial, cerca del ángulo lateral. Región branquial anterior no hinchada. Margen hepático con 2 cortas espinas. Espinas largas en el carpo de los primeros 3 pares de patas. Un diente o espina en el segundo segmento basal (Fig. 167)

Microphrys weddelli H. Milne Edwards, 1851

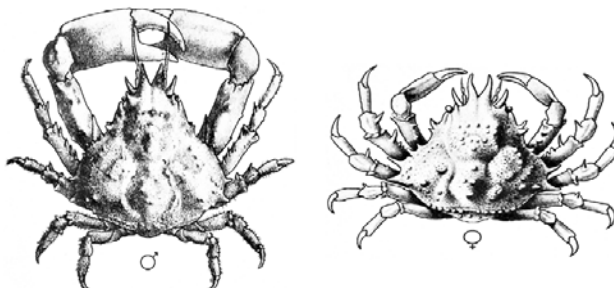


Figura 167.- Vista dorsal del macho y la hembra de *Microphrys weddelli* (según RATHBUN, 1925).

32a. Lóbulos laterales bordeados. Caparazón mucho más largo que ancho, muchos gránulos y 2 espinas en una línea transversal en la parte más ancha de la región branquial. Margen del artículo basal antenal con un lóbulo externo (Fig. 168)

Microphrys platysoma (Stimpson, 1860)

32b. Lóbulos laterales biselados y pulidos. Caparazón un poco más largo que ancho con pocos gránulos y con un penacho de pelos. Cuatro largas espinas en cada región branquial, tres de ellas en línea transversa. Margen del artículo basal antenal sin lóbulo externo (Fig. 169)

Microphrys aculeatus (Bell, 1835)

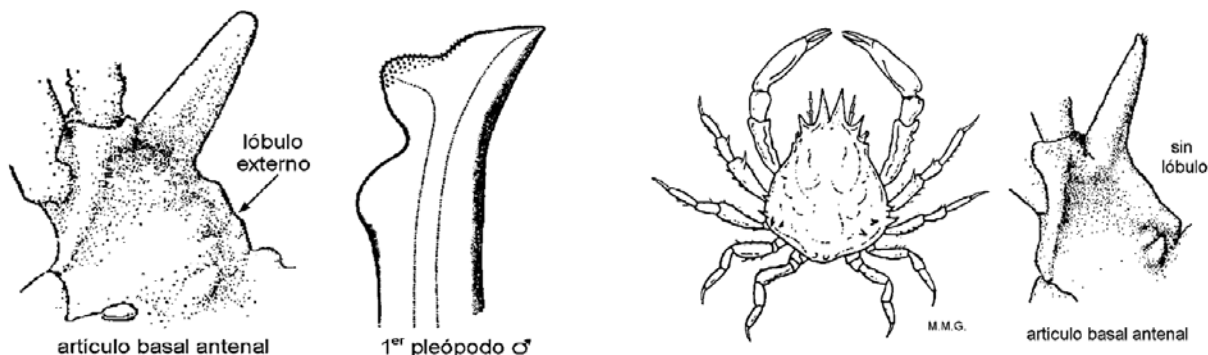


Figura 168.- *Microphrys platysoma*: vista ventral del artículo basal antenal (según RATHBUN, 1925) y gonopodio (según GARTH, 1958).

Figura 169.- *Microphrys aculeatus*: vista dorsal y artículo basal antenal en vista ventral (según RATHBUN, 1925).

33a. Margen lateral del caparazón armado con series de espinas fuertes. Artejo basal antenal muy ancho y con menos de 4 espinas o dientes. Diente postocular de tamaño moderado, triangular, armado con una espina. Cuernos rostrales cortos y aproximados, pero siempre juntos en la base (Fig. 170)

Stenocionops ovatus (Bell, 1835)

33b. Margen lateral del caparazón no armado con series de espinas fuertes, pero con una espina, usualmente fuerte, en el ángulo lateral del caparazón. Órbitas prominentes. Caparazón ancho, con poco menos de 7 espinas en la mitad posterior, cuernos rostrales largos, subparalelos y separados por un angosto interespacio. Espinas pósterolaterales del caparazón agudas, dirigidas directamente hacia atrás o hacia arriba. Cuatro protuberancias o tubérculos dorsales ordenados en un diamante. Primer pleópodo del macho alargado en la punta y con una delgada y erecta quilla (Fig. 171)

Macrocoeloma maccullochae Garth, 1940

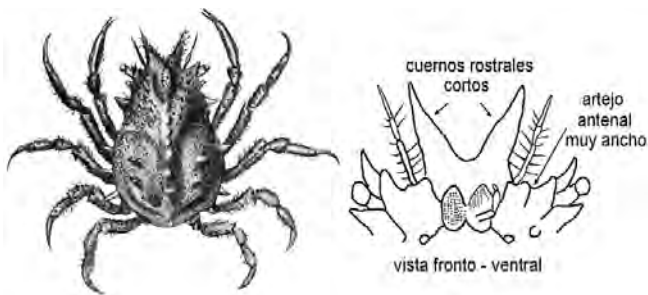


Figura 170.- *Stenocionops ovatus* (según RATHBUN, 1925).

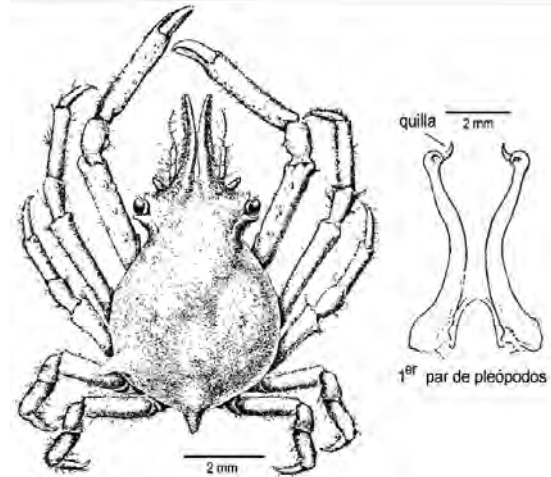


Figura 171.- *Macrocoeloma macculochae* (según GARTH, 1940).

Superfamilia Bellioidea: Familia Bellidae

- 1a. Caparazón más largo que ancho; mitad anterior del caparazón no más ancha que la mitad posterior; antenas con dos o más artejos más adelante del artejo basal; región pterigostomiana avanza más allá de la línea de la frente (Fig. 172)

Bellia picta H. Milne Edwards, 1848

- 1b. Caparazón igual o un poco menos largo que ancho; mitad anterior del caparazón más ancha que la mitad posterior

2

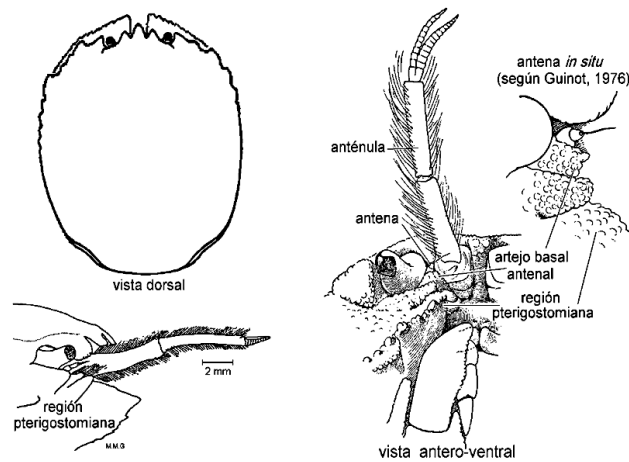


Figura 172.- *Bellia picta*: vista fronto-lateral del caparazón; vista dorsal y antero-ventral (según GUINOT, 1976). Con autorización © Publications Scientifiques du Muséum national d' Histoire naturelle, Paris.

- 2a. Caparazón con mucha pubescencia y casi liso. Extremo del artejo basal de la antena globoso, en forma de protuberancia lisa, ancha y curva que sobrepasa la frente. Isquio de los maxilípedos con el margen interno subparalelo, pero deja un ancho hiatus. Abdomen del macho angosto. Lados del cuarto al sexto segmento subparalelos. Primer pleópodo con pubescencia notoria en el tercio medio (Figs. 173, 174a)

Acanthocyclus gayi (H. Milne Edwards y Lucas, 1844)

2b. Caparazón con menos pubescencia y tuberculado; artejo basal de la antena no globoso, pero provisto de un diente proyectado y trunco, entre el cual y la frente corre un surco angosto. Isquio de los maxilípedos con el margen interno divergente anteriormente, pero la abertura entre ellos es menor que en *A. gayi*. Primer y segundo segmentos del abdomen del macho con lados convexos; el quinto recto; el tercero y cuarto convergen distalmente. Primer pleópodo del macho con pubescencia notoria en el tercio anterior (Figs. 174b, 175)

Acanthocyclus hassleri Rathbun, 1898

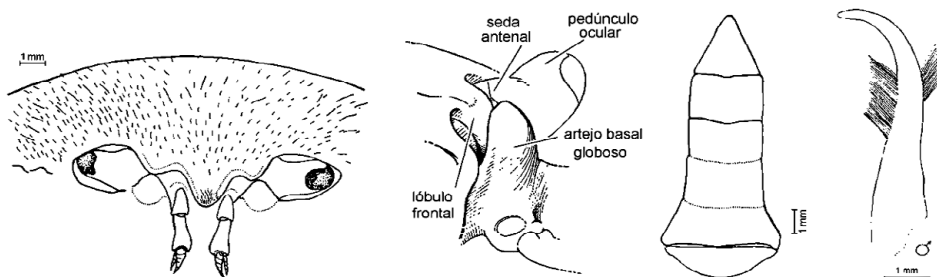


Figura 173.- *Acanthocyclus gayi*: vista frontal, base de la antena in situ (según GUINOT, 1976), abdomen y gonopodio del macho. Con autorización © Publications Scientifiques du Muséum national d' Histoire naturelle, Paris.

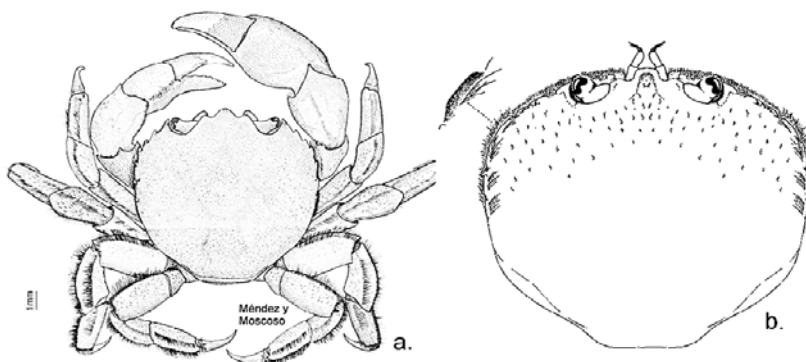


Figura 174.- Vista dorsal de: a. *Acanthocyclus gayi*; b. *Acanthocyclus hassleri* (según GUINOT, 1976) con autorización © Publications Scientifiques du Muséum national d' Histoire naturelle, Paris.

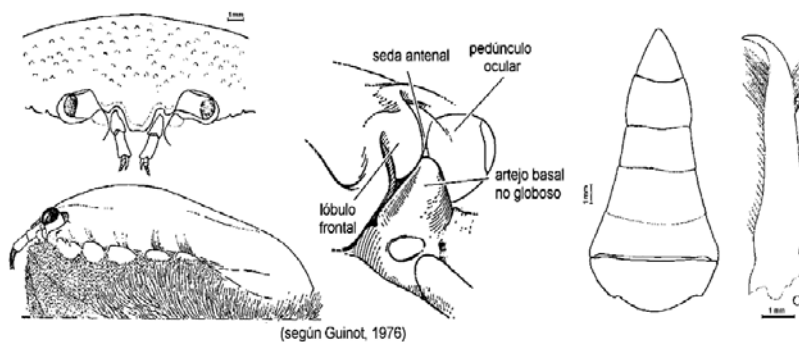


Figura 175.- *Acanthocyclus hassleri*: vista frontal, vista lateral, base de la antena in situ, abdomen y primer pleópodo del macho. Con autorización © Publications Scientifiques du Muséum national d' Histoire naturelle, Paris.

Superfamilia Cancroidea: Familia Atelecyclidae

- 1a. Antenas casi la mitad de la longitud del caparazón. Caparazón liso sin tubérculos (Fig. 176)

Pseudocorystes sicarius (Poëppig, 1836)
- 1b. Antenas mucho menos de la mitad de la longitud del caparazón. Caparazón con numerosos tubérculos

2
- 2a. Cefalotorax con tubérculos cónicos y espinosos coronados de setas muy largas (las espinas más largas del caparazón están distribuidas sobre toda la superficie dorsal); espinas laterales curvadas fuertemente hacia adelante y arriba; setas muy largas en todos los pereiópodos (Fig. 177 a)

Tricopeltarion hystricosum (Garth, 1971)
- 2b. Cefalotorax con tubérculos achatados, desprovistos de setas largas, la forma peculiar y disposición de los tubérculos sobre el caparazón le dan el aspecto de una pieza de coral; espinas laterales curvadas sólo ligeramente hacia adelante (las espinas más largas del caparazón se distribuyen sólo a los lados de éste); sin setas notablemente largas en los pereiópodos (Fig. 177 b)

Tricopeltarion corallinum (Faxon, 1892)

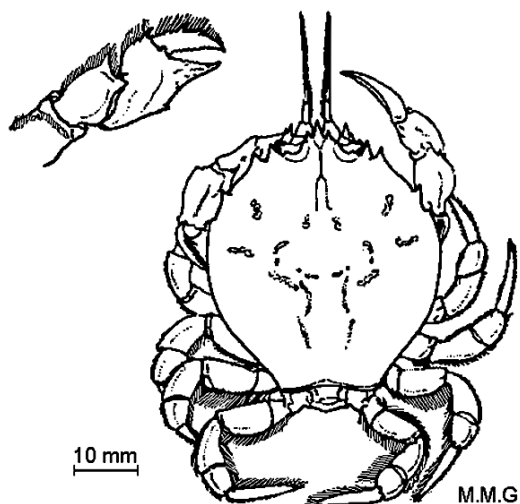


Figura 176.- *Pseudocorystes sicarius*: quelípedo y vista dorsal.

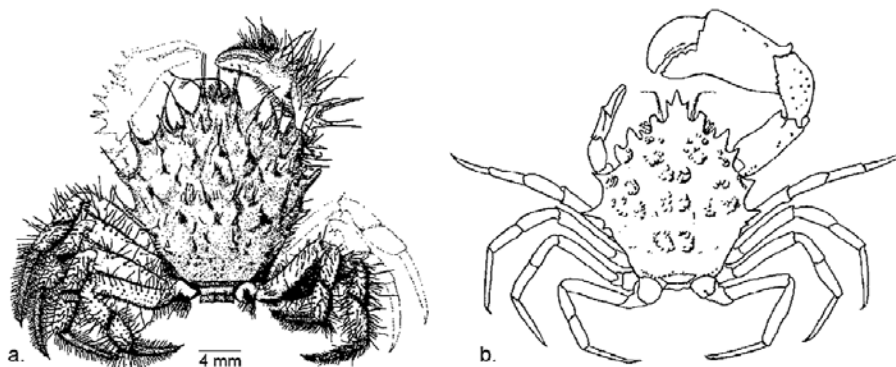


Figura 177.- Vistas dorsales de: a. *Tricopeltarion hystricosus* (según GARTH y HAIG, 1971); b. *Tricopeltarion corallinum* (según RATHBUN, 1930).

Superfamilia Cancroidea: Familia Cancridae

- 1a. Caparazón con las regiones branquiales que casi se unen en la línea media. Caparazón y pereiópodos desprovistos de pelos; primer pleópodo del macho con la mitad distal angostándose notoriamente de forma triangular (Fig. 178)

Cancer porteri Rathbun, 1930

- 1b. Caparazón con las regiones branquiales separadas

2

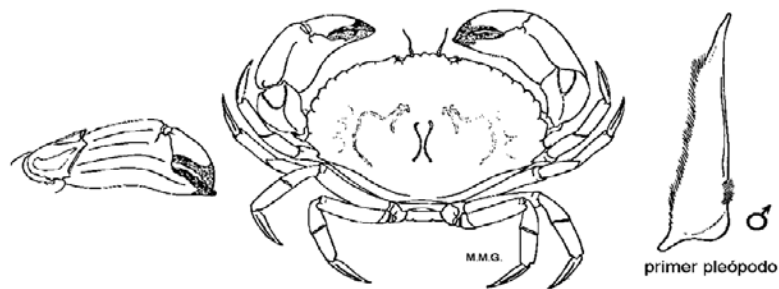


Figura 178.- *Cancer porteri*: quelípedo, vista dorsal y primer pleópodo del macho.

- 2a. Dientes ántero-laterales dentiformes, prominentes, con puntas agudas curvadas hacia adelante. Caparazón más ancho en el noveno diente. Caparazón y pereiópodos cubiertos de pelos gruesos y cortos. Dáctilo dorsalmente espinoso. Primer pereiópodo del macho con la mitad distal de bordes paralelos (Fig. 179)

Romaleon polyodon (Poepig, 1836)

- 2b. Dientes ántero-laterales truncados o subtruncados, con bordes denticulados o lobulados. Primer diente más angosto que los otros. Caparazón y pereiópodos sin pilosidades

3

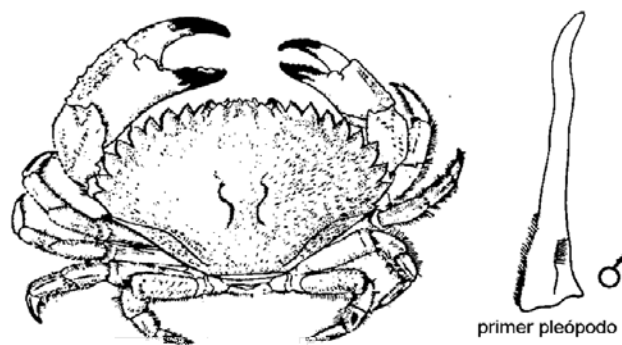


Figura 179.- *Romaleon polyodon*: vista dorsal y primer pleópodo del macho (según MÉNDEZ, 1982a).

- 3a. Diente orbital externo no dentiforme. Caparazón muy convexo. Artejo basal de la antena dos veces más largo que ancho (Fig. 180)

Metacarcinus edwardssii (Bell, 1835)

- 3b. Diente orbital externo pequeño (la mitad del primer diente ántero-lateral) triangular, agudo. Caparazón moderadamente convexo. Artejo basal de la antena cerca de dos tercios el ancho al largo. Primer pleópodo del macho angostándose uniformemente, de forma triangular, con hileras de setas extendiéndose distalmente más en la cara interna (Fig. 181)

Cancer plebejus Poepig, 1836

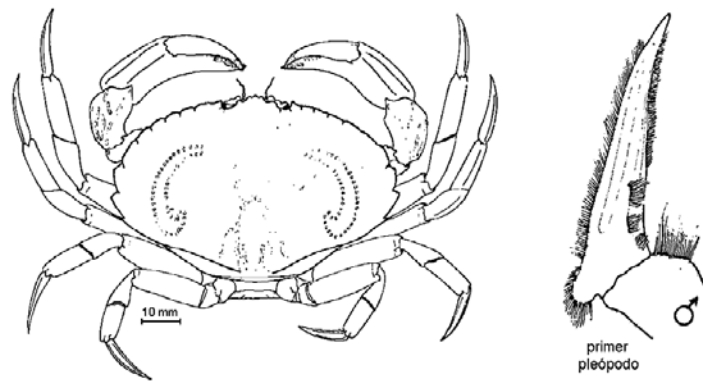


Figura 181.- *Cancer plebejus*: vista dorsal y primer pleópodo (según MÉNDEZ, 1982a).

Superfamilia Portunoidea: Familia Portunidae

(Según GARTH Y STEPHENSON 1966, HENDRICKX 1995)

- 1a. Pedúnculos oculares extremadamente largos, casi un tercio del ancho del caparazón (Subfamilia **Po-dophthalminae**) 6
- 1b. Pedúnculos oculares de tamaño normal, mucho menos que un tercio del ancho del caparazón 2
- 2a. Caparazón angosto con 5 dientes ántero-laterales (Subfamilia **Polybiinae**) (Fig. 182a) 2
- Ovalipes trimaculatus* (de Haan, 1833)
- 2b. Caparazón ancho con 9 dientes ántero-laterales (Subfamilia **Portuninae**) (Fig. 182b) 3

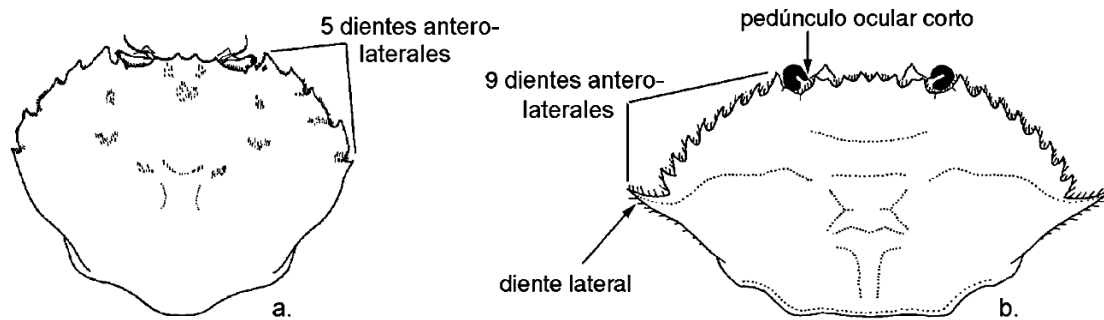


Figura 182.- Vistas dorsales del caparazón en: a. subfamilia Polybiinae, *Ovalipes trimaculatus* (según GARTH y STEPHENSON, 1966); b. subfamilia Portuninae (según HENDRICKX, 1995).

- 3a. Flagelo antenal excluido de la órbita por una prolongación del artejo basal. Dientes ántero-laterales alternadamente largos y cortos. Superficie externa y borde superior de la pinza con cuatro espinas bien marcadas (Fig. 183a) 4
- Cronius ruber* (Lamarck, 1818)
- 3b. Flagelo de la antena no excluido de la órbita. Dientes ántero-laterales raramente alternando grandes y pequeños. Superficie externa y borde superior de la pinza con 2 a 3 espinas (Fig. 183b) 4

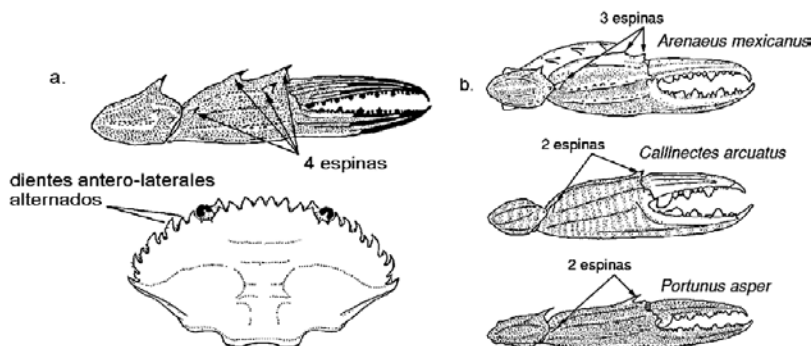


Figura 183.- a. *Cronius ruber*, pinza y caparazón en vista dorsal (según GARTH y STEPHENSON, 1966); b. pinzas (según GARTH y STEPHENSON, 1966; HENDRICKX, 1995).

4a. Paladar sin cresta longitudinal. Fisuras supra-orbitales ensanchándose y abriendo en forma de V (Fig. 184a)

Arenaeus mexicanus (Gerstaecker, 1856)

4b. Paladar con cresta longitudinal. Fisuras supra-orbitales no ampliamente abiertas (Fig. 184b)

5

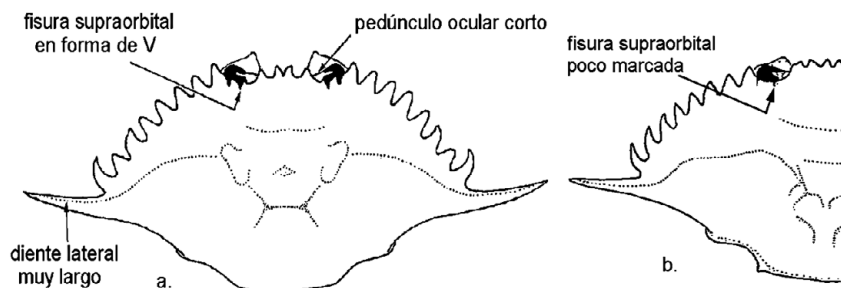


Figura 184.- Vistas dorsales de: a. *Arenaeus mexicanus* (según GARTH y STEPHENSON, 1966); b. *Portunus asper* (según HENDRICKX, 1995).

5a. Macho con abdomen triangular. Ángulo ántero-externo del mero del tercer maxilípido no fuertemente proyectado lateralmente. Borde medio del carpo del quelípido con una fuerte espina (Fig. 185a) (Género *Portunus*)

7

5b. Abdomen del macho con forma de T. Ángulo ántero-externo del tercer maxilípido fuertemente proyectado lateralmente. Borde medio del carpo del quelípido sin espina (Fig. 185b) (Género *Callinectes*)

10

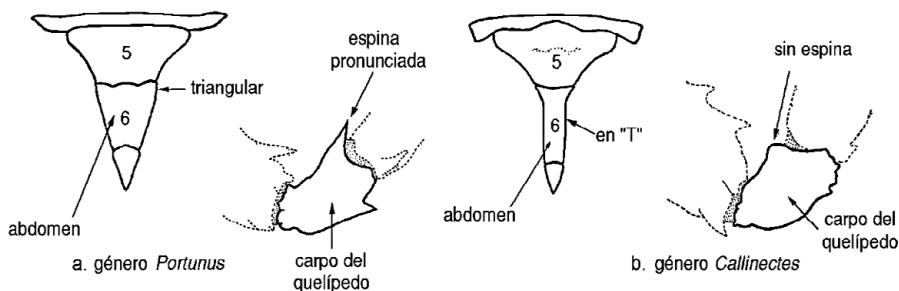


Figura 185.- Abdomen del macho y parte del quelípido en: a. *Portunus*; b. *Callinectes* (según HENDRICKX, 1995).

- 6a. Borde ántero-lateral del caparazón con cuatro pequeños dientes o espinas. Caparazón liso. Propodio y dáctilo del segundo al quinto pereiópodo aplanados. Pinza del quelípedo de longitud aproximadamente 4 veces mayor a la altura (Fig. 186)

Euphylax dovii Stimpson, 1860

- 6b. Borde ántero-lateral del caparazón con cuatro dientes o espinas, 3 grandes y una pequeña. Caparazón con líneas granulares y elevaciones. Propodio y dáctilos aplanados únicamente en el quinto pereiópodo. Pinza del quelípedo de longitud inferior a 4 veces su altura (Fig. 187)

Euphylax robustus A. Milne Edwards, 1874

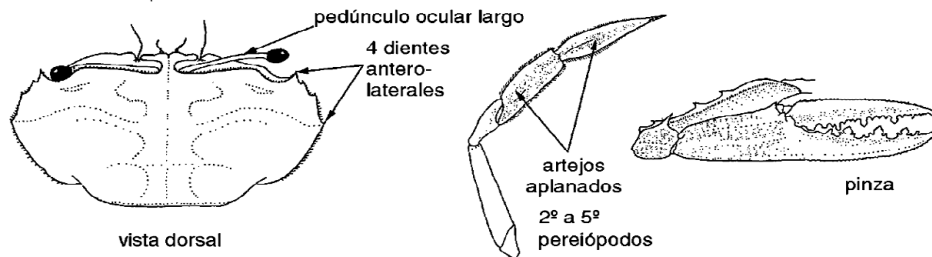


Figura 186.- *Euphylax dovii*: caparazón, pereiópodo y pinza (según GARTH y STEPHENSON, 1966; HENDRICKX, 1995).

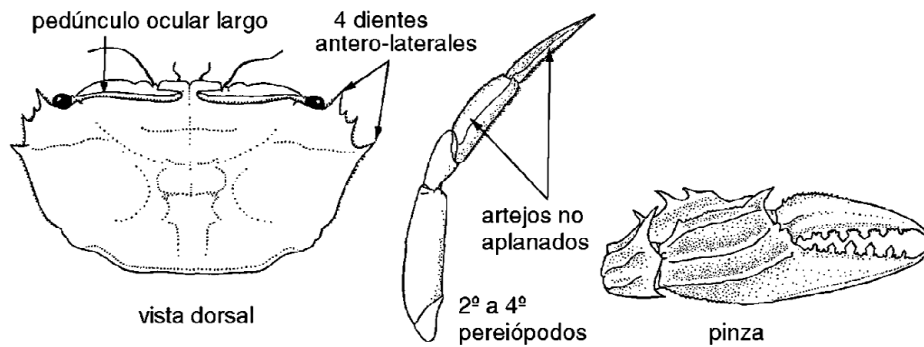


Figura 187.- *Euphylax robustus*: caparazón, pereiópodo y pinza (según GARTH y STEPHENSON, 1966; HENDRICKX, 1995).

- 7a. Borde póstero-distal del mero de las patas nadadoras con espínulas pero sin espina (Fig. 188 a)

8

- 7b. Borde póstero-distal del mero de las patas nadadoras con espínulas y una espina (Fig. 188b)

9

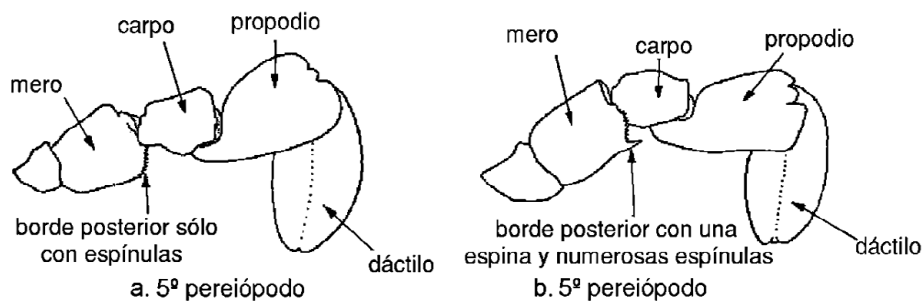


Figura 188.- Género *Portunus*, quinto par de periópodos mostrando: a. ausencia y b. presencia de espina en el mero (según HENDRICKX, 1995).

- 8a. Espina ubicada en el lado interno del carpo del quelípedo de longitud normal (Fig. 189a)

Portunus (Portunus) affinis (Stimpson, 1860)

- 8b. Espina muy larga ubicada en el lado interno del carpo del quelípedo. Borde póstero-lateral del caparazón con una espina curvada hacia arriba o tubérculo espiniforme (Fig. 189 b)

Portunus (Achelous) iridiscens (Rathbun, 1893)

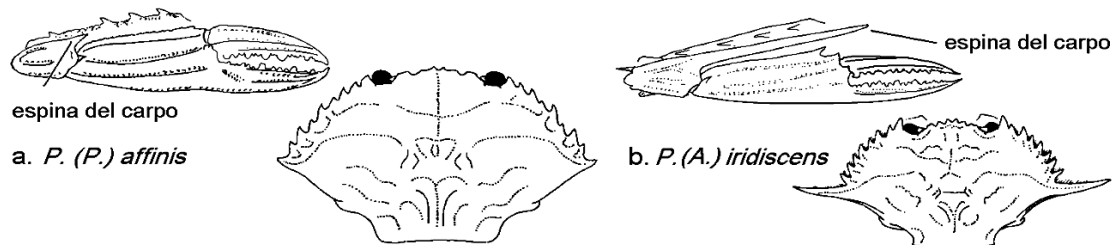


Figura 189.- Quelípedos y caparazón en vista dorsal de: a. *Portunus (Portunus) affinis*; b. *Portunus (Achelous) iridiscens* (según GARTH y STEPHENSON, 1966).

- 9a. Quelípedos extremadamente largos y delgados (Fig. 190 a)

Portunus (Portunus) acuminatus (Stimpson, 1871)

- 9b. Quelípedos no extremadamente largos y delgados (Fig. 190 b)

Portunus (Portunus) asper A. Milne Edwards, 1861

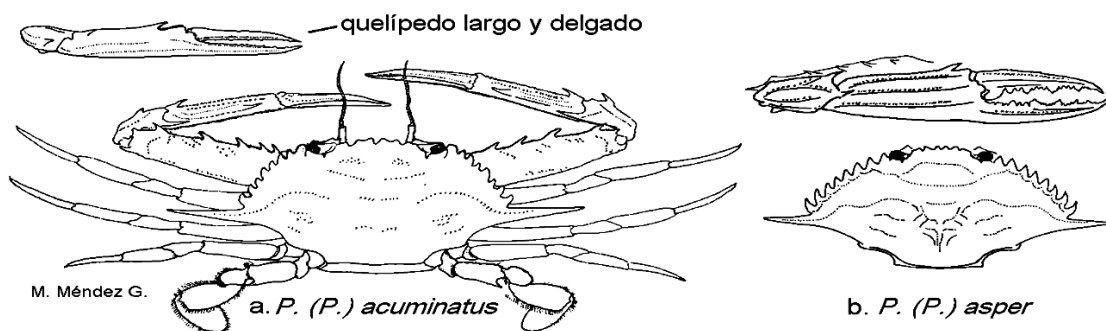


Figura 190.- Quelípedos y vista dorsal de: a. *Portunus (Portunus) acuminatus*; b. *Portunus (Portunus) asper* (según GARTH y STEPHENSON, 1966).

- 10a. Dientes laterales de la frente en forma de triángulo agudo. Sexto segmento abdominal del macho más ancho en la base (contigua al quinto segmento), bordes laterales de la base netamente divergentes. Telson de la hembra en forma de triángulo equilátero. La porción subterminal del primer pleópodo del macho con varias setas o cerdas (Fig. 191)

Callinectes arcuatus Ordway, 1863

- 10b. Dientes laterales de la frente en forma de lóbulo. Sexto segmento abdominal del macho angosto en la base (contigua al quinto segmento), bordes laterales de la base casi paralelos. Telson de la hembra en forma de triángulo más largo que ancho. La porción subterminal del primer pleópodo del macho sin setas o cerdas (Fig. 192)

Callinectes toxotes Ordway, 1863

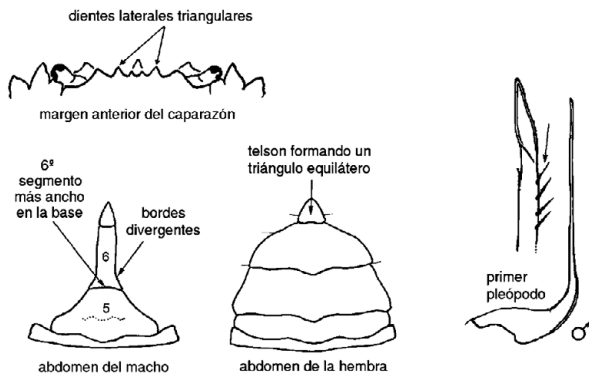


Figura 191.- *Callinectes arcuatus*: frente, abdomen del macho, abdomen de la hembra (según HENDRICKX, 1995); primer pleópodo del macho (según MÉNDEZ, 1982a).



Figura 192.- *Callinectes toxotes*: frente, abdomen del macho, abdomen de la hembra (según HENDRICKX, 1995); primer pleópodo del macho (según MÉNDEZ, 1982a).

Superfamilia Trichodactyloidea: Familia Trichodactylidae
(Según MAGALHÃES y TÜRKAY 1996)

- 1a. Todos los segmentos abdominales libres; segundo pleópodo del macho tan largo como el primero 2
- 1b. Al menos los segmentos abdominales III-V fusionados (en hembras de *Goyanaza* los segmentos III- VI pueden estar ampliamente fusionados) 3
- 2a. Línea media presente en los somites V-VII del sternum torácico. Primer pleópodo del macho con la mitad distal atenuada, abriéndose un poco distalmente y encarándola caudo-lateralmente (Fig. 193 a) (Género *Goyanaza*)
- 2b. Línea media presente en los somites VII y VIII del sternum torácico. Primer pleópodo del macho con la mitad distal subcilíndrica, abriéndose bastante distalmente y encarándola caudo-mesialmente (Fig. 193 b) (Género *Trichodactylus*)

Goyanaza rotundicauda Magalhães y Türkay, 1996

Trichodactylus faxoni Rathbun, 1906

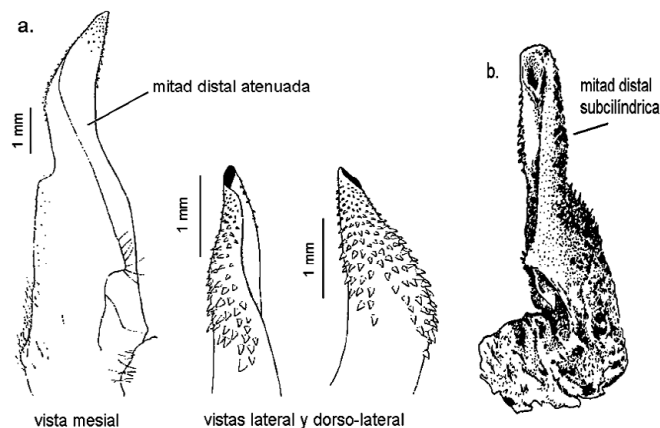


Figura 193.- Primer pleópodo del macho en: a. *Goyanaza rotundicauda* (según MAGALHÃES y TÜRKAY, 1996c); b. *Trichodactylus faxoni* (según PRETZMANN, 1983).

- 3a. Segmento VI del abdomen libre 4
- 3b. Segmento VI del abdomen fusionado 6

4a. El campo subterminal de espinas del primer pleópodo del macho esta colocado en las caras mesio-ventral y dorsal del tronco en un continuo parche; sin un fuerte lóbulo basal en el tronco del primer pleópodo (Género *Sylviocarcinus*)

10

4b. El campo subterminal de espinas del primer pleópodo del macho se desarrolla sólo en la cara ventral del tronco; si es ambos lados, se presenta un fuerte lóbulo basal. Lóbulo subdistal débil o ausente; lóbulo basal usualmente presente; tronco atenuado

5

5a. Primer pleópodo del macho con un campo de espinas bien desarrollada; lóbulo basal rectangular, algunas veces visible (Fig. 194 a) (Género *Valdivia*)

Valdivia serrata serrata White, 1847

5b. Primer pleópodo del macho con un campo de espinas pobremente desarrollado (Fig. 194 b) (Género *Rotundovaldivia*)

Rotundovaldivia latidens (A. Milne Edwards, 1869)



Figura 194.- a. *Valdivia serrata serrata*: primer pleópodo del macho (según PRETZMANN, 1983 y MAGALHÃES et al., 2006); caparazón (según BOTT, 1969); b. *Rotundovaldivia latidens* primer pleópodo del macho (según MAGALHÃES y TÜRKAY, 1996a).

6a. Línea media del sternum torácico presente sólo en los somites VII – VIII (Fig. 195 a)

7

6b. Línea media del sternum torácico presente en los somites V – VIII (Fig. 195 b)

8

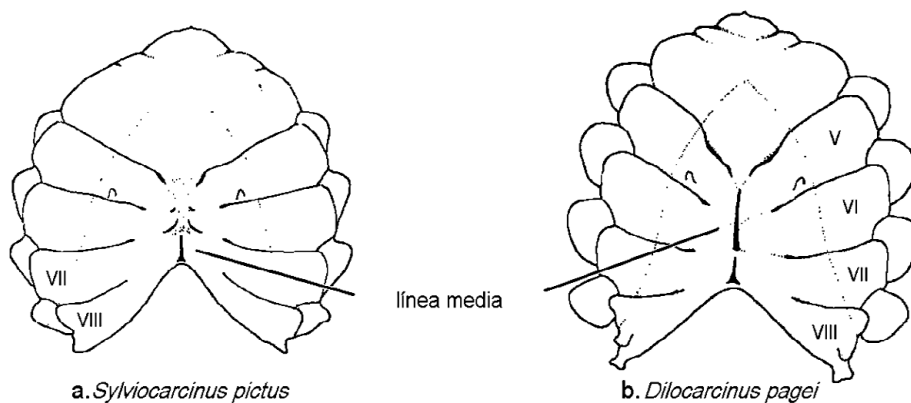


Figura 195.- Sternum torácicos en: a. *Sylviocarcinus pictus*; b. *Dilocarcinus pagei* (según MAGALHÃES y TÜRKAY, 1996a).

- 7a. Primer pleópodo del macho con un lóbulo subdistal que soporta al campo de espinas; parte distal del apéndice ligeramente curvado en dirección mesio-dorsal (Género *Sylviocarcinus*) 10
- 7b. Primer pleópodo del macho sin un claro lóbulo subdistal que soporta al campo de espinas pobremente desarrollado; parte distal del apéndice fuertemente curvado en dirección latero-ventral (Fig. 196) (Género *Zilchiopsis*)

Zilchiopsis cryptoda (Ortmann, 1893)

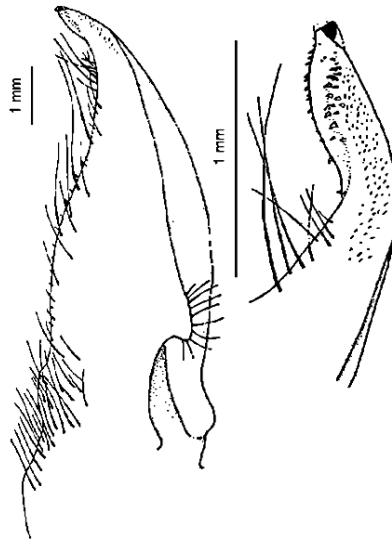


Figura 196.- *Zilchiopsis cryptoda*: vistas ventrales del primer pleópodo del macho (según MAGALHÃES y TÜRKAY, 1996b).

- 8a. Primer pleópodo del macho con un una sutura torcida en dirección ventro-lateral muy cerca al apex; apex aplastado; parte distal mostrando una fuerte torsión en el sentido del reloj en el pleópodo derecho (sentido antihorario en el izquierdo); su borde ventral claramente abultado proximalmente; campo subterminal de espinas compuesto por dos parches discontinuos. Abdomen del macho amplio y triangular con márgenes laterales convexos (Fig. 197 a)

Fredilocarcinus musmuschiae (Pretzmann y Mayta, 1980)

- 8b. Primer pleópodo del macho con una sutura recta ó torcida en dirección mesio-dorsal cerca al apex; apex semicilíndrico; parte distal sin torsión

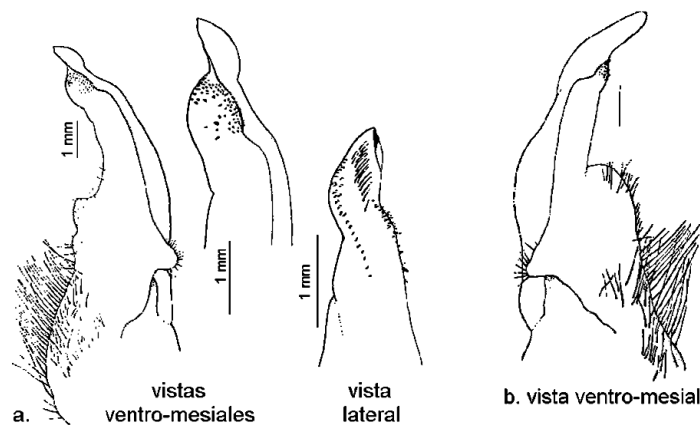


Figura 197.- Primer pleópodo del macho en: a. *Fredilocarcinus musmuschiae*; b. *Fredilocarcinus raddai* (según MAGALHÃES y TÜRKAY, 1996c).

- 9a. Primer pleópodo del macho con una abertura distal simple, en forma de V ó de ranura; atenuado, cubriendo fuerte o ligeramente en dirección mesio-dorsal; bordes lateral y mesial siguiendo una curva regular

Moreirocarcinus emarginata (H. Milne Edwards, 1853)

- 9b. Primer pleópodo del macho con una abertura distal de circular a ampliamente oval, sus márgenes curvados hacia arriba (Fig. 198)

(Género *Poppiana*)

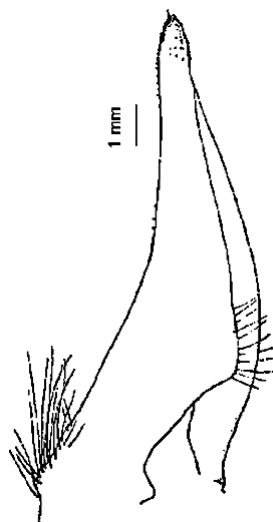


Figura 198.- *Poppiana dentata*: primer pleópodo del macho (según MAGALHÃES y TÜRKAY, 1996a).

- 10a. Abdomen con segmentos III – VI fusionados. Primer pleópodo del macho con lóbulo subdistal evidente, con un fuerte campo de espinas subterminales (Fig. 199 a)

Sylviocarcinus pictus (H. Milne Edwards, 1853)

- 10b. Abdomen con segmentos III – V fusionados, segmento VI libre

11

- 11a. Margen frontal usualmente rodeado de gránulos en forma de perlas o espinas. Lóbulo subdistal del primer pleópodo del macho fuerte (Fig. 199 b)

Sylviocarcinus devillei H. Milne Edwards, 1853

- 11b. Margen frontal desarmado. Lóbulo subdistal del primer pleópodo del macho ausente, campo de espinas subterminales confluentes, formando una bien desarrollada área espinosa que casi cubre la entera mitad distal del apéndice (Fig. 199 c)

Sylviocarcinus maldonadoensis Pretzman, 1978

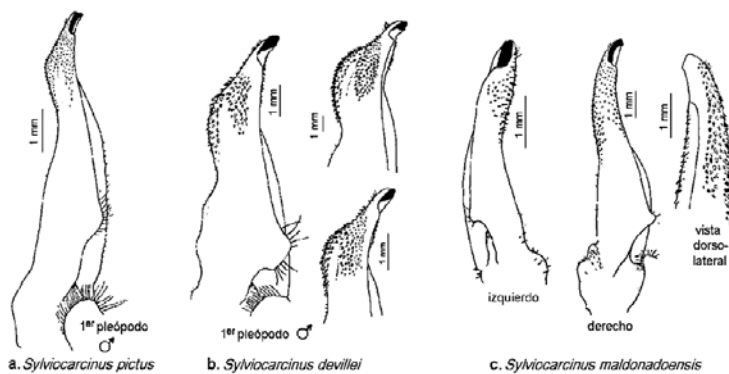


Figura 199.- Vistas ventro-mesiales del primer gonopodio derecho en *Sylviocarcinus* spp. (según MAGALHÃES y TÜRKAY, 1996b).

Superfamilias Goneplacoidea y Xanthoidea sensu lato (Xanthoidea, Eriphioidea, Mennipidae, Platyxanthidae, Pseudozioidea, Pilumnoidea, Trapezioidea)

(Según RATHBUN 1930, GARTH 1940)

- 1a. Pedúnculos oculares largos. Caparazón mucho más largo que ancho, de superficie lisa 35
- 1b. Pedúnculos oculares cortos. Región frontal con lóbulos submedianos anchos. Quinto par de pereiópodos más cortos o sólo un poco más largos que los quelípedos. Abertura genital del macho sobre la coxa del último par de pereiópodos 2
- 2a. Los rebordes elevados de los canales branquiales eferentes, si están presentes, son bajos y confinados a la parte posterior del endostoma, nunca alcanzan el límite anterior de la cavidad bucal (Fig. 200a) 3
- 2b. Los bordes que definen los canales branquiales eferentes se extienden al límite anterior de la cavidad bucal y son a menudo muy notorios (gruesos) (Fig. 200b) 14

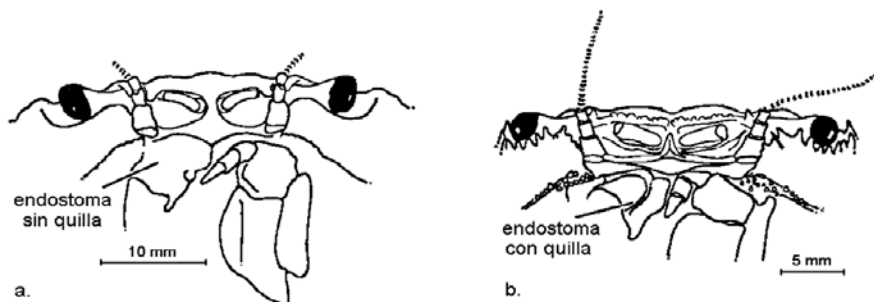


Figura 200.- Vistas fronto-ventrales (según GONZÁLEZ y MÉNDEZ, 1986).

- 3a. Borde fronto-orbital menos de la mitad del mayor ancho del cuerpo; borde antero-lateral cortado en dientes o lóbulos (Fig. 201a) 4
- 3b. Borde fronto-orbital la mitad o más de la mitad del mayor ancho del caparazón (Fig. 201b) 10

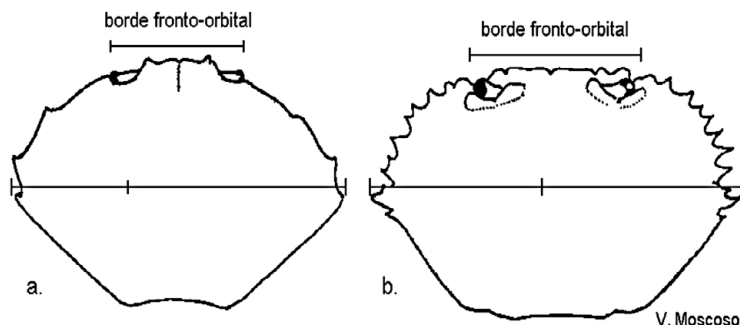


Figura 201.- Vistas dorsales del caparazón mostrando las relaciones entre la longitud del borde fronto-orbital y el ancho del caparazón.

- 4a. Mitad anterior del marco bucal casi vertical, ancho fronto-orbital cerca de 1/3 el ancho del caparazón; órbitas de posición notoriamente dorsal; abdomen del macho con los segmentos 3-5 fusionados (Superfamilia **Xanthoidea**: Familia **Xanthidae**) (Fig. 202)

Paraxanthus barbiger (Poepig, 1836)

4b. Marco bucal horizontal; órbitas se observan hacia adelante

5

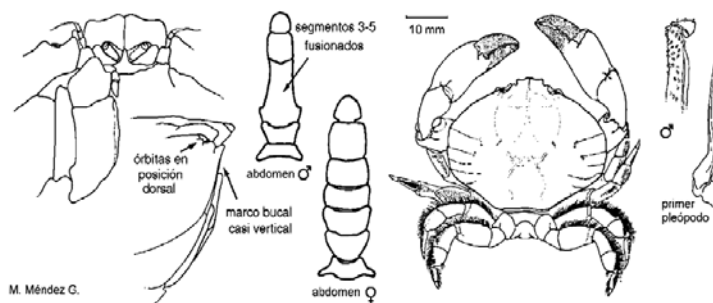


Figura 202.- *Paraxanthus barbiger*: vistas fronto-ventral y lateral del cefalotórax; abdomen del macho y de la hembra; vista dorsal; primer pleópodo del macho (según MÉNDEZ, 1982a).

5a. Borde fronto-orbital menos de 1/3 el ancho del caparazón; regiones marcadas en forma poco notoria; borde antero lateral confusamente lobulado (Superfamilia **Eriphioidea**: Familia **Platyxanthidae**) (Fig. 203 a)

Homalaspis plana (H. Milne Edwards, 1834)

5b. Borde fronto-orbital más de un tercio el ancho del caparazón (Fig. 203 b)

6

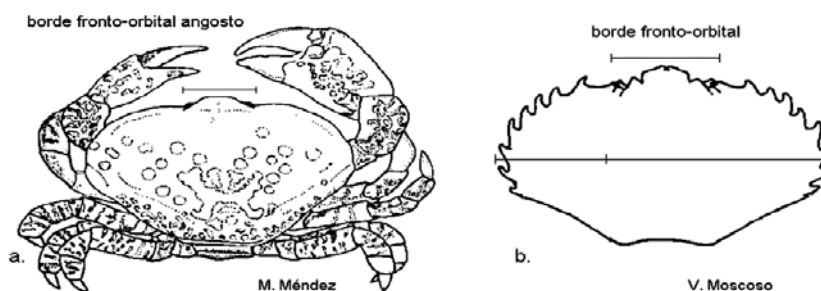


Figura 203.- Vistas dorsales de: a. *Homalaspis plana*; b. *Cycloxanthops*.

6a. Caparazón angosto, dientes laterales en número de 6 a 9; frente notoriamente prolongada; abdomen del macho con los segmentos 3 a 5 fusionados

18

6b. Caparazón más ancho, dientes laterales o lóbulos en número no mayor de 5

7

7a. Caparazón más o menos octogonal; el primero de los dos dientes antero-laterales reducido o muy poco notorio. Los tres últimos laterales prominentes; frente con 4 dientes, órbitas subcirculares (Superfamilia **Xanthoidea**: Familia **Xanthidae**) (Fig. 204)

Gaudichaudia gaudichaudii (H. Milne Edwards, 1834)

7b. Caparazón con los márgenes antero-laterales formando un arco regular

8

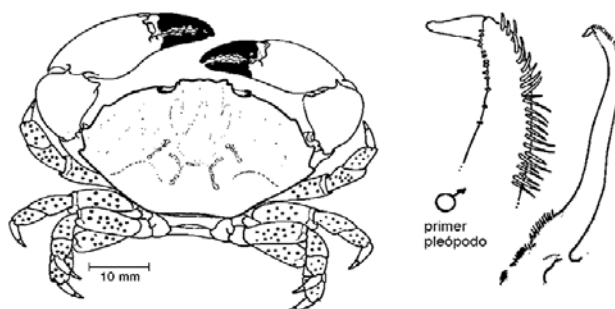


Figura 204.- *Gaudichaudia gaudichaudii*: vista dorsal y primer pleópodo del macho (según MÉNDEZ, 1982a).

8a. Caparazón y patas granulados o desgastados

Género *Glyptoxanthus*

8b. Caparazón de superficie casi lisa

9a. Frente profundamente separada de los ángulos internos de la órbita; dientes antero-laterales y lóbulos más o menos denticulados; frente cuatridentada (Fig. 205a)

19

9b. Frente no profundamente separada de los ángulos internos de la órbita; dientes antero-laterales o lóbulos no denticulados; borde antero-lateral lobado o dentado y se continúa por detrás de la parte más ancha del caparazón, es en línea recta más larga (o largo) que la distancia postero-lateral (Superfamilia **Xanthoidea**: Familia **Xanthidae**) (Fig. 205 b)

Xanthodius sternberghii Stimpson, 1859

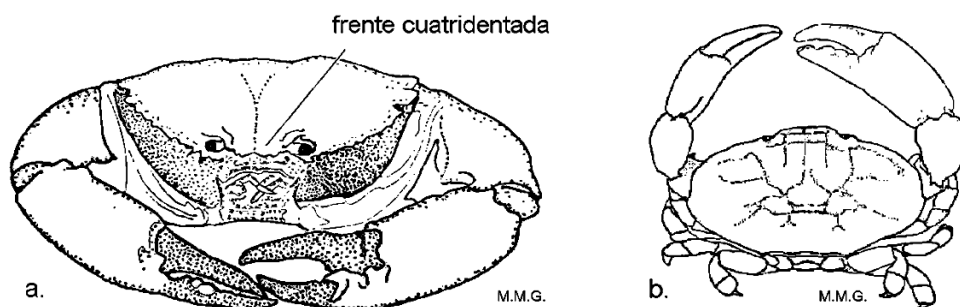


Figura 205.- a. *Danielethus crenulatus* (vista frontal); b. *Xanthodius sternberghii* (vista dorsal).

10a. Caparazón rugoso y peludo, excepto sobre el margen de la frente y órbitas; una cresta lunada sobre el carpo de las patas ambulatorias; márgenes antero-laterales espinosos

22

10b. Caparazón liso y desnudo o con pocos pelos

11

11a. Caparazón transversalmente oval

12

11b. Caparazón más o menos hexagonal o subcuadrado

13

12a. Cinco dientes antero-laterales fuertes, incluyendo el orbital; regiones bien delimitadas; dedos a menudo en forma de cuchara (Fig. 206 a)

23

12b. Dientes antero-laterales no robustos; margen antero-lateral delgado, dientes poco proyectados, segundo diente fusionado con el primero; regiones no bien delimitadas. Dedos de ambos quelípedos con puntas agudas, no en forma de cuchara (Fig. 206 b)

26

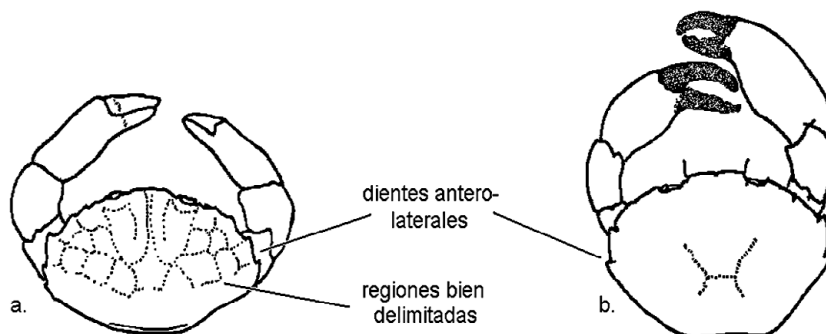


Figura 206.- Superfamilia Xanthoidea: vistas dorsales del caparazón.

- 13a. Longitud y ancho del caparazón subiguales; de pequeño tamaño frente ancha, truncada (Superfamilia **Xanthoidea**: Familia **Panopeidae**) (Fig. 207 a)

Metopocarcinus truncatus Stimpson, 1860

- 13b. El ancho del caparazón excede a la longitud del mismo; 5 dientes antero-laterales; tercer segmento del abdomen del macho alcanza las coxas del último par de patas; caparazón angostándose hacia atrás (Fig. 207 b) y cruzado por líneas granuladas, transversas, elevadas e ininterrumpidas sobre la mitad anterior

27

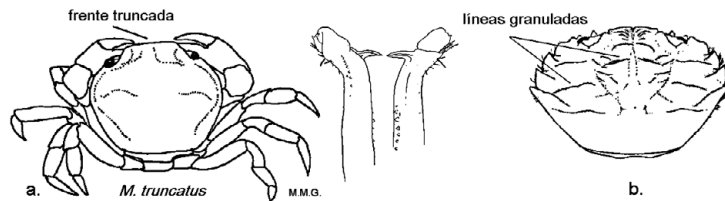


Figura 207.- a. *Metopocarcinus truncatus*: vista dorsal y gonopodio en vista ventral y dorsal (según HOLTHUIS, 1954); b. *Panopeus purpureus*: vista dorsal del caparazón (según BRUSCA, 1980).

- 14a. Borde fronto-orbital la mitad o menos de la mitad del mayor ancho del caparazón (Fig. 208 a)

15

- 14b. Borde fronto-orbital mucho más que la mitad del mayor ancho del caparazón (Fig. 208 b)

17

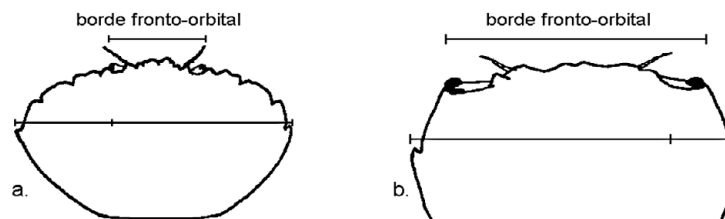


Figura 208.- Vistas dorsales del caparazón mostrando las relaciones entre la longitud del borde fronto-orbital y el ancho del caparazón.

- 15a. Artejo basal antenal casi no alcanza la frente (Fig. 209 a)

16

- 15b. Artejo basal antenal toca la frente; margen anterior del mero del tercer maxilípedo (maxilípedo externo) sin una muesca a la altura del orificio del canal branquial eferente; órbitas oblongas (Superfamilia **Xanthoidea**: Familia **Panopeidae**) (Fig. 209 b)

Eurytium tristani (Rathbun, 1906)

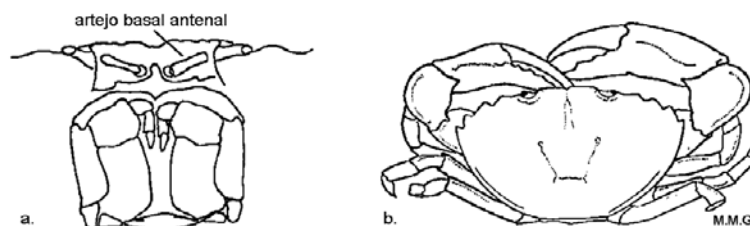


Figura 209.- a. vista fronto-ventral de *Menipe frontalis*; b. vista dorsal de *Eurytium tristani*.

- 16a. Caparazón ancho, sub-oval; superficie del caparazón y quelípedos lisa (Superfamilia **Eriphioidea**: Familia **Mennipidae**) (Fig. 210 a)

Menipe frontalis A. Milne Edwards, 1879

- 16b. Caparazón no mucho más ancho que largo, subcircular; quelípedos muy rugosos (Superfamilia **Pseudozioidea**: Familia **Pilumnoididae**) (Fig. 210 b)

29

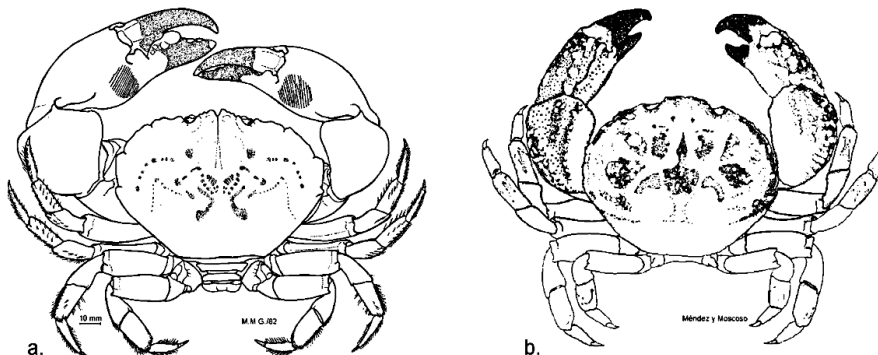


Figura 210.- Vistas dorsales de: a. *Menipe frontalis* (según MÉNDEZ, 1982b);
b. *Pilumnoides perlatus*.

- 17a. Borde fronto-orbital cerca de dos tercios el mayor ancho del caparazón; bordes antero-laterales más cortos que los postero-laterales; más o menos peludos y generalmente armado con espinas o gránulos puntiagudos (Superfamilia **Pilumnoidea**: Familia **Pilumnidae**) (Fig. 211 a)

30

- 17b. Borde fronto-orbital mucho más que dos tercios el mayor ancho del caparazón; antenas excluidas de la órbita (Fig. 211 b)

32

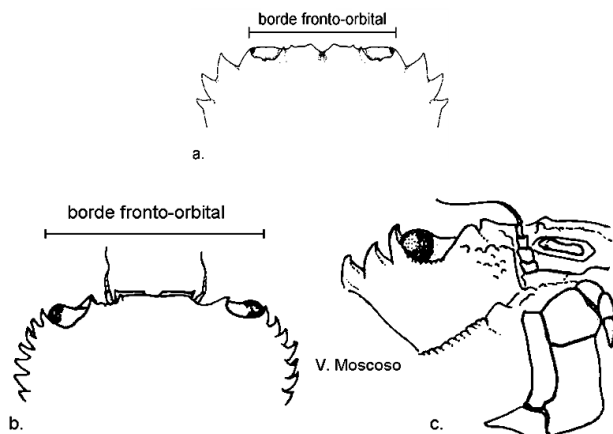


Figura 211.- a. *Pilumnus limosus*, vista dorsal (según CAMPOS, 1999).
Eriphia squamata: b. vista fronto-dorsal; c. vista fronto-ventral.

- 18a. Caparazón casi liso de superficie aplanada, con un reborde marginal aplanado; margen orbital superior arqueado entre las fisuras, no dentiforme (Superfamilia **Xanthoidea**: Familia **Xanthidae**) (Fig. 212)

Cycloxanthops sexdecimdentatus (H. Milne Edwards y Lucas, 1843)

- 18b. Caparazón rugoso y angosto con una banda de pelos bajo el margen lateral y con un reborde; margen orbital superior angosto, grueso y levantado entre las fisuras; diente del ángulo superior interno de la órbita con un denticulo sobre el declive externo; (Superfamilia **Xanthoidea**: Familia **Xanthidae**) (Fig. 213)

Cycloxanthops vittatus (Stimpson, 1860)

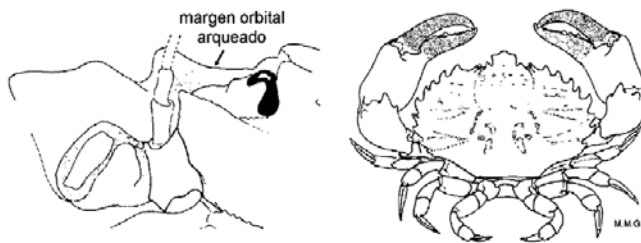


Figura 212.- *Cycloxanthops sexdecimdentatus*: vista fronto-ventral (según GuINOR, 1967) y vista dorsal. Con autorización © Publications Scientiques du Muséum national d' Histoire naturelle, Paris.

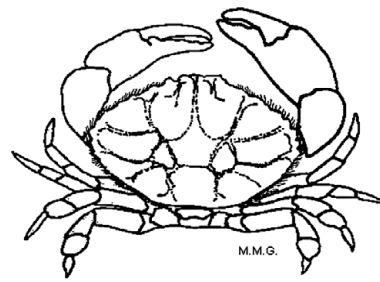


Figura 213.- *Cycloxanthops vittatus*: vista dorsal.

- 19a. Mero del tercer maxilípodo más largo que ancho; El carpo del tercer maxilípodo articulado en o cerca al ángulo anterointerno del mero; abertura genital del macho sobre la coxa del último par de pereiópodos (quinto par de patas) (Fig. 214 a) 20
- 19b. Mero del tercer maxilípodo tan ancho como largo; regiones ligeramente indicadas; lóbulos frontales cada uno subdividido por un profundo seno en dos dientes tuberculiformes; color oscuro casi cubre el dáctilo de los quelípodos (Superfamilia **Eriphioidea**: Familia **Platyxanthidae**) (Fig. 214 b)

Danielethus crenulatus (A. Milne Edwards, 1879)

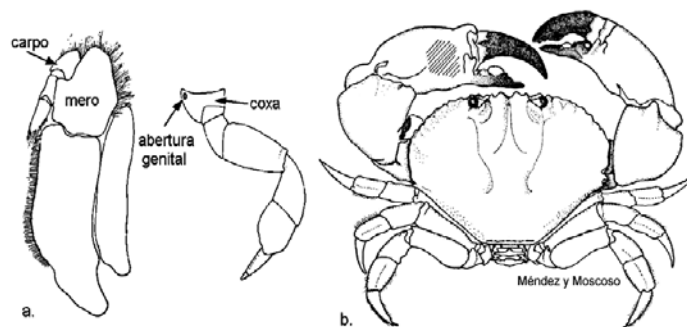


Figura 214.- a. *Platyxanthus orbigny*, tercer maxilípodo y quinto pereiópodo (según MÉNDEZ, 1982a); b. *Danielethus crenulatus*, vista dorsal.

- 20a. Dedos de los quelípodos tan largos como la longitud media de la palma; lóbulos anteriores del caparazón no profundamente subdivididos (Fig. 215 a) 21
- 20b. Dedos más cortos que la longitud media de la palma; segundo, tercer y cuarto lóbulos antero-laterales del caparazón profundamente subdivididos dentro de los dientes grandes; diente externo de la frente dirigido directamente hacia adelante (Superfamilia **Eriphioidea**: Familia **Platyxanthidae**) (Fig. 215 b)

Platyxanthus orbigny (H. Milne Edwards y Lucas, 1843)

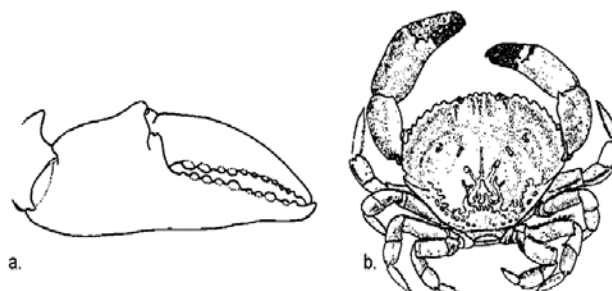


Figura 215.- a. quelípodo de *Ploesus armatus*; b. vista dorsal de *Platyxanthus orbigny* (según MÉNDEZ, 1982a).

- 21a. Caparazón muy angosto; la longitud casi igual al ancho (Superfamilia **Eriphioidea**: Familia **Platyxanthidae**) (Fig. 216 a)

Otmaroxanthus balboai (Garth, 1940)

- 21b. Caparazón notoriamente más alargado, la longitud 1,5 o más veces el ancho; diente externo de la frente dirigido oblicuamente hacia afuera (Superfamilia **Eriphioidea**: Familia **Platyxanthidae**) (Figs. 216 a, 216 b)

Peloeus armatus Eydoux y Souleyet, 1842

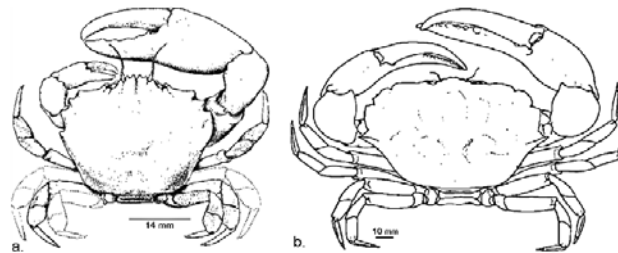


Figura 216.- Vistas dorsales de: a. *Otmaroxanthus balboai* (según Garth, 1940); b. *Peloeus armatus* (según MÉNDEZ, 1982b).

- 22a. Carpo de las patas caminadoras (incluido el del último par) con dos láminas paralelas con margen sinuoso, entre las cuales corre un canal profundo, liso; con el margen orbital inferior bilobado, los procesos lobados desnudos y gruesos (Superfamilia **Eriphioidea**: Familia **Xanthidae**) (Fig. 217)

Heteractaea peterseni Garth, 1940

- 22b. Carpo del último par de patas caminadoras sin cresta, el resto presenta el carpo con dos proyecciones a manera de cuernos o en forma de cuarto de luna creciente; con el margen orbital trilobado, un pequeño lóbulo entre los dos grandes (Superfamilia **Xanthoidea**: Familia **Xanthidae**) (Fig. 218)

Heteractaea lunata (H. Milne Edwards y Lucas, 1843)

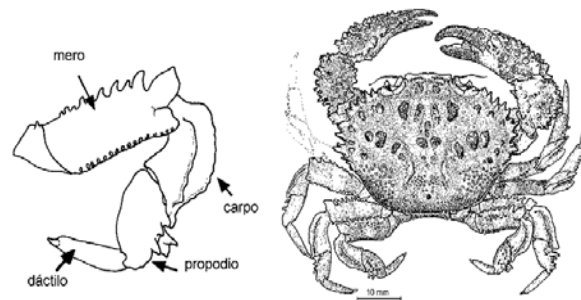


Figura 217.- *Heteractaea peterseni*: quinto pereiópodo ó última pata caminadora; vista dorsal (según MÉNDEZ, 1982b).

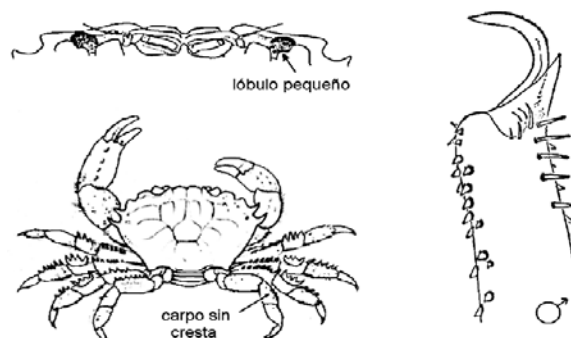


Figura 218.- *Heteractaea lunata*: vista fronto ventral (según RATHBUN, 1930); vista dorsal (según H. MILNE EDWARDS y LUCAS, 1847); primer pleópodo del macho (según GUINOT, 1967) con autorización © Publications Scientifiques du Muséum national d' Histoire naturelle, Paris.

- 23a. Márgenes antero-laterales dentados; palmas de los quelípedos sin fuertes bordes externos longitudinales 24
- 23b. Márgenes antero-laterales gruesos y lobulados, los lóbulos más o menos angulares; margen superior interno de la palma crestado; color del dedo inmóvil no se continúa sobre la palma (Superfamilia **Xanthoidea**: Familia **Xanthidae**) (Fig. 219)

Xanthodius cooksoni (Miers, 1877)

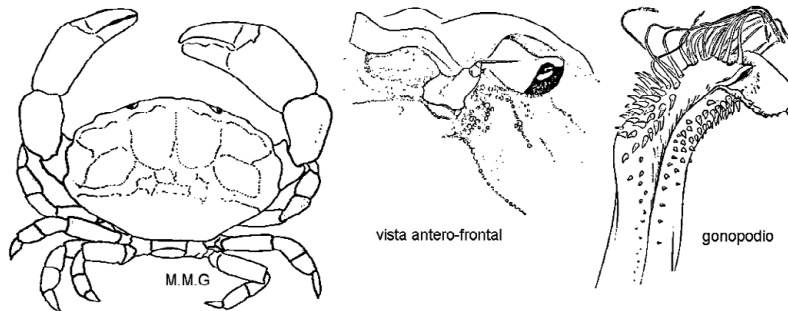


Figura 219.- *Xanthodius cooksoni*: vista dorsal; vista antero-frontal y gonopodio (según GUINOT, 1967) con autorización © Publications Scientifiques du Muséum national d' Histoire naturelle, Paris.

- 24a. Solamente con 5 dientes laterales, incluyendo el del ángulo orbital 25
- 24b. Con seis dientes laterales. Incluyendo el del ángulo orbital (Superfamilia **Xanthoidea**: Familia **Xanthidae**) (Fig. 220)

Leptodius sanguineus (H. Milne Edwards)

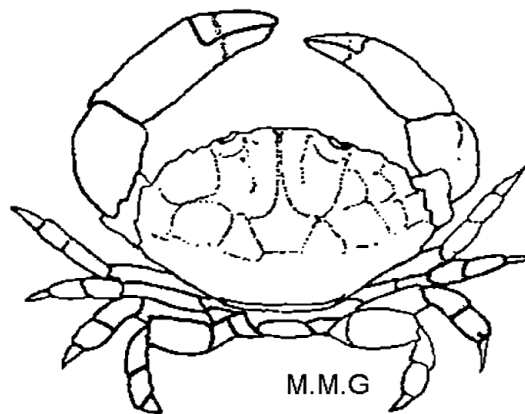


Figura 220.- *Leptodius sanguineus*: vista dorsal.

- 25a. El último (o el más posterior) de los dientes antero- laterales directamente oblicuo hacia adelante; granulación tosca; caparazón no lobulado; tubérculos de los quelípedos pequeños, no compuestos de gránulos; patas ambulatorias espinulosas (Superfamilia **Xanthoidea**: Familia **Xanthidae**) (Fig. 221 a)
- Gaudichaudia tridentatus* (Lenz, 1902)
- 25b. El último (o más posterior) de los dientes antero-laterales dirigidos directamente en línea recta hacia afuera. Areolaciones (regiones) del caparazón cruzadas por uno o mas bordes granulados; borde branquial transverso detrás del ápex del último diente marginal, alcanza el margen del caparazón (Superfamilia **Xanthoidea**: Familia **Xanthidae**) (Fig. 221 b)

Cataleptodius taboganus (Rathbun, 1930)

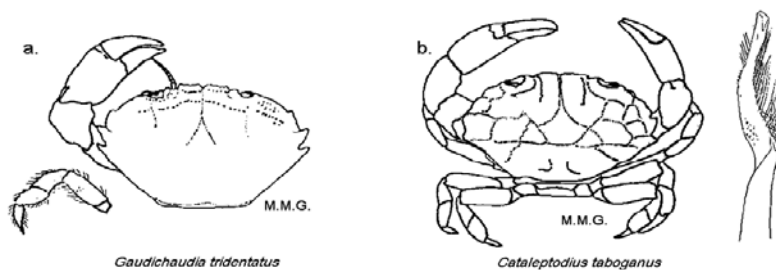


Figura 221.- Vistas dorsales de: a. *Gaudichaudia tridentatus*; b. *Cataleptodius taboganus*, gonopodio según HOLTHUIS, 1954.

26a. Color oscuro del dedo inmóvil se continúa sobre la palma; región hepática ligeramente indicada y no cruzada por líneas granuladas (Superfamilia **Xanthoidea**: Familia **Panopeidae**) (Fig. 222 a)

Eurypanopeus transversus (Stimpson, 1860)

26b. Color oscuro del dedo inmóvil no se continúa sobre la palma; caparazón muy convexo, regiones difícilmente marcadas, senos laterales poco notorios (Superfamilia **Xanthoidea**: Familia **Panopeidae**) (Fig. 222 b)

Eurypanopeus crenatus (H. Milne Edwards y Lucas, 1843)

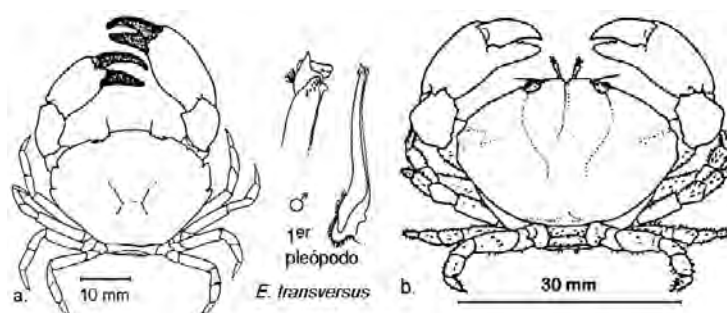


Figura 222.- a. vista dorsal y primer pleópodo del macho de *Eurypanopeus transversus* (según MÉNDEZ, 1982a); b. vista dorsal de *Eurypanopeus crenatus* (según RETAMAL, 1981).

27a. Color oscuro del dedo inmóvil se continúa más o menos sobre la palma, especialmente en los machos 28

27b. Color oscuro del dedo inmóvil no se continúa sobre la palma; dientes laterales fusionados, el ancho igual a aquel del cuarto diente; superficie exterior de la palma sin rebordes longitudinales (Superfamilia **Xanthoidea**: Familia **Panopeidae**) (Fig. 223)

Panopeus purpureus Lockington, 1877

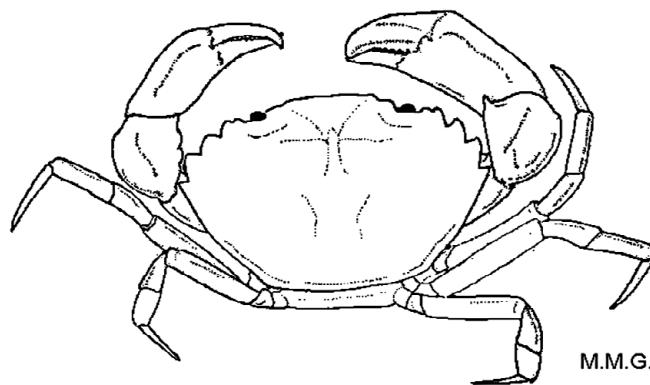


Figura 223.- Vista dorsal de *Panopeus purpureus*.

28a. Borde o margen de la frente grueso, sesgado y con un surco transverso; tercer segmento del abdomen del macho con las extremidades laterales redondeadas ampliamente (Superfamilia **Xanthoidea**: Familia **Panopeidae**) (Fig. 224 a)

Acantholobulus mirafloresensis (Abele y Kim, 1989)

28b. Borde de la frente, si es grueso, no está surcado transversalmente; tercer segmento del abdomen del macho con las extremidades en ángulo; frente muy pronunciada, angosta; primer y segundo dientes laterales muy separados, los dientes restantes notoriamente en forma de gancho, espiniforme (Superfamilia **Xanthoidea**: Familia **Panopeidae**) (Fig. 224b)

Panopeus chilensis (H. Milne Edwards y Lucas, 1843)

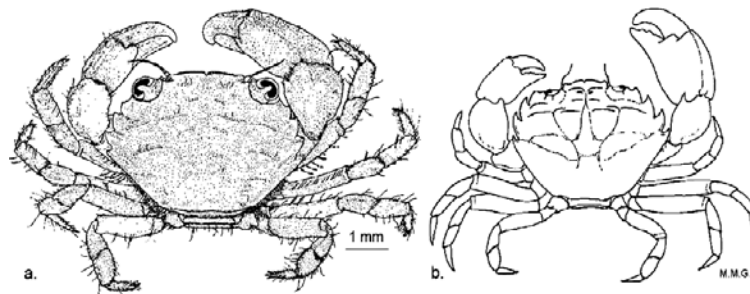


Figura 224.- Vista dorsal de: a. *Acantholobulus mirafloresensis* (según ABELE y KIM, 1989); b. *Panopeus chilensis*.

29a. Con un notorio reborde branquial, casi transverso y cortos bordes transversales granulados sobre la parte anterior del caparazón; mero del 3er maxilípodo no muy pronunciado en el ángulo distal externo (Superfamilia **Pseudozioidea**: Familia **Pilumnoididae**) (Fig. 225)

Pilumnoides perlatus (Poeppig, 1836)

29b. Sin el reborde oblicuo o transverso de los ángulos laterales; caparazón granulado tanto anteriormente como posteriormente; mero del tercer maxilípodo pronunciado en un ángulo distal externo (Superfamilia **Pseudozioidea**: Familia **Pilumnoididae**) (Fig. 226)

Pilumnoides rotundus Garth, 1940

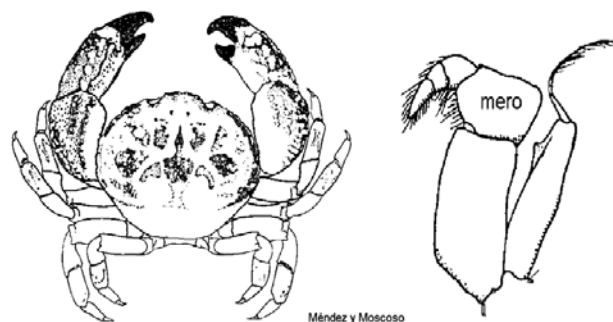


Figura 225.- Vista dorsal y tercer maxilípodo de *Pilumnoides perlatus*.

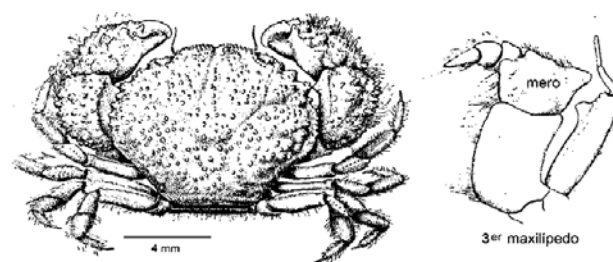


Figura 226.- Vista dorsal y tercer maxilípodo de *Pilumnoides rotundus* (según GARTH, 1940).

- 30a. Caparazón y apéndices cubiertos con una pubescencia aterciopelada formando un diseño que deja los tubérculos dispersos expuestos sobre el caparazón (Superfamilia **Pilumnoidea**: Familia **Pilumnidae**) (Fig. 227)

Pilumnus limosus Smith, 1869

- 30b. Caparazón y apéndices con cerdas blandas y duras de gran tamaño

31

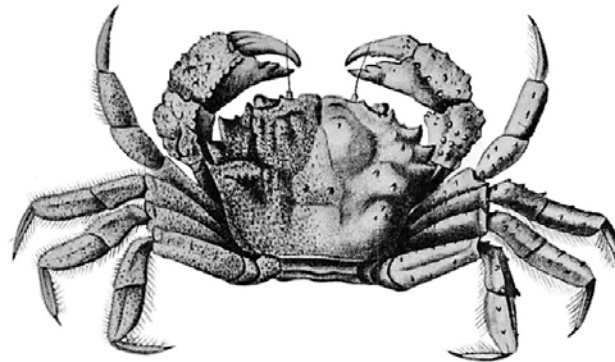


Figura 227.- Vista dorsal de *Pilumnus limosus* (según RATHBUN, 1930).

- 31a. Primer pleópodo del macho con dos filas de setas marginales, extremo en punta y ésta doblemente curvada (Superfamilia **Pilumnoidea**: Familia **Pilumnidae**) (Fig. 228)

Pilumnus fernandezi Garth, 1973

- 31b. Primer pleópodo del macho delgado, con cerdas en uno de sus márgenes (Superfamilia **Pilumnoidea**: Familia **Pilumnidae**) (Fig. 229)

Pilumnus koepckei Turkay, 1967



Figura 228.- Primer pleópodo del macho y vista dorsal de *Pilumnus fernandezi* (según GARTH, 1973) (OxyScholar © 2013)..

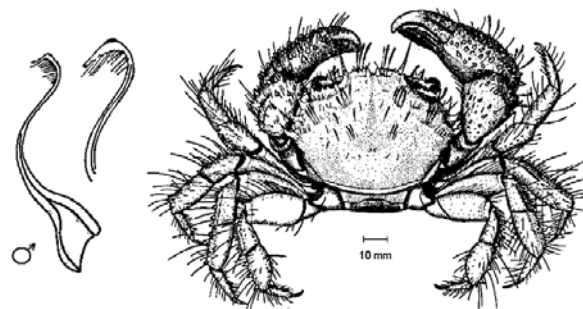


Figura 229.- Primer pleópodo del macho (según TÜRKAY, 1967) y vista dorsal de *Pilumnus koepckei* (según GARTH, 1986).

- 32a. Caparazón dorsalmente rugoso. Mero del tercer maxilípedo tan largo como el ancho; regiones notorias; dedos en punta

33

32b. Caparazón dorsalmente liso

34

33a. Caparazón rugoso ántero-lateralmente, con tubérculos cada uno formado por una fila de dos o más gránulos; apéndices abdominales del macho con puntas robustas, obtusas (Superfamilia **Eriphioidea**: Familia **Eriphiidae**) (Fig. 230)

Eriphia squamata Stimpson, 1859

33b. Caparazón cubierto con gránulos simples, gruesos y toscos, en la mitad frontal (Superfamilia **Eriphioidea**: Familia **Eriphiidae**) (Fig. 231)

Eriphia granulosa A.Milne Edwards, 1880

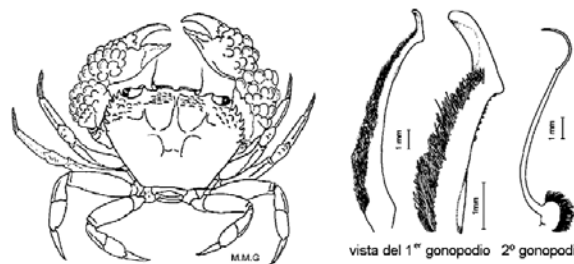


Figura 230.- Vista dorsal y primer y segundo par de pleópodos de *Eriphia squamata* (según КОH y NG, 2008).

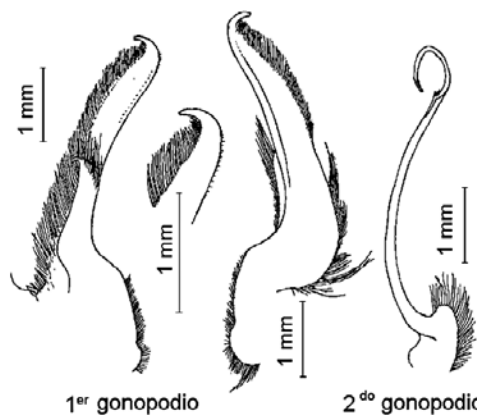


Figura 231.- Primer y segundo par de pleópodos de *Eriphia granulosa* (según КОH y NG, 2008).

34a. Quelípedo con meros cortos, proyectándose muy poco fuera del caparazón. Frente lobulada o dentada (Superfamilia **Trapezioidea**: Familia **Trapeziidae**) (Fig. 232 a)

Trapezia

34b. Quelípedos con meros largos, proyectándose lejos de la superficie del caparazón. Frente agudamente espinosa (Superfamilia **Trapezioidea**: Familia **Trapeziidae**) (Fig. 232 b)

Quadrella nitida Smith, 1869

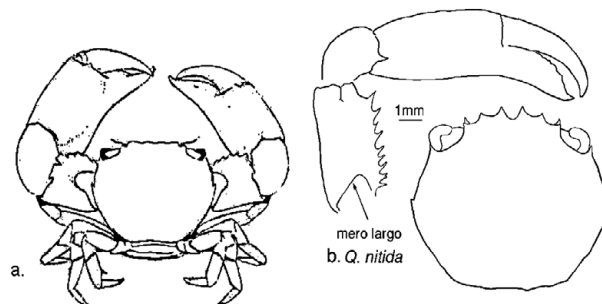


Figura 232.- Vistas dorsales de: a. *Trapezia* (según BRUSCA, 1980); b. *Quadrella nitida* (según GALIL, 1986).

- 35a. La base del tercer segmento del abdomen del macho cubre totalmente el espacio entre el último par de apéndices 36
- 35b. La base del tercer segmento del abdomen del macho no cubre totalmente el espacio entre el último par de apéndices 37
- 36a. Ancho fronto-orbital menos de 1,5 veces en el ancho del caparazón; caparazón subcuadrado, márgenes póstero-laterales casi paralelos 40
- 36b. Ancho fronto-orbital 1,5 o más veces en el ancho del caparazón (Superfamilia **Xanthoidea**: Familia **Pseudorhombilidae**) (Fig. 233)

Pseudorhombila xanthiformis Garth, 1940

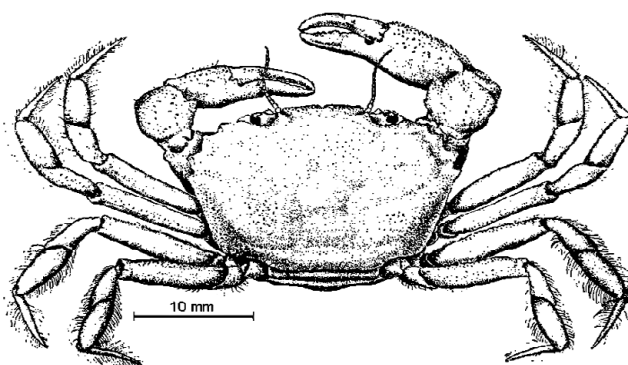


Figura 233.- Vista dorsal de *Pseudorhombila xanthiformis* (según GARTH, 1940).

- 37a. El ancho del tercer segmento del abdomen del macho es más de la mitad del ancho del esternón en la misma línea 38
- 37b. El ancho del tercer segmento del abdomen del macho es menos de la mitad del ancho del esternón en la misma línea; órbitas oblicuas en vista dorsal, dirigidas oblicuamente adelante y hacia afuera (Superfamilia **Goneplacoidea**: Familia **Chasmocarcinidae**) (Fig. 234)

Chasmocarcinus latipes Rathbun, 1898

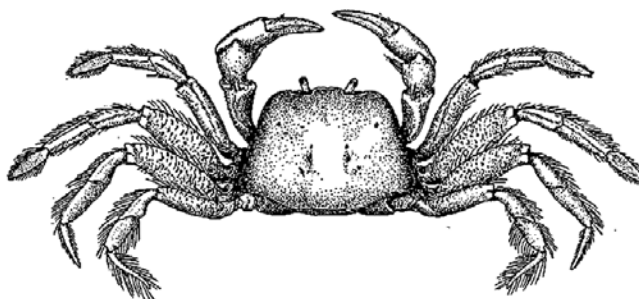


Figura 234.- Vista dorsal de *Chasmocarcinus latipes* (según RATHBUN, 1898).

- 38a. Ancho fronto-orbital casi igual al ancho total del caparazón; pedúnculos oculares largos 39

38b. Ancho fronto-orbital la mitad o las $\frac{3}{4}$ partes del ancho total del caparazón; pedúnculos oculares cortos; márgenes laterales notoriamente convergentes en la parte posterior; los terceros maxilípedos no muy separados entre sí (Superfamilia **Xanthoidea**: Familia **Pseudorhombilidae**) (Fig. 235)

Oediplax granulata Rathbun, 1893

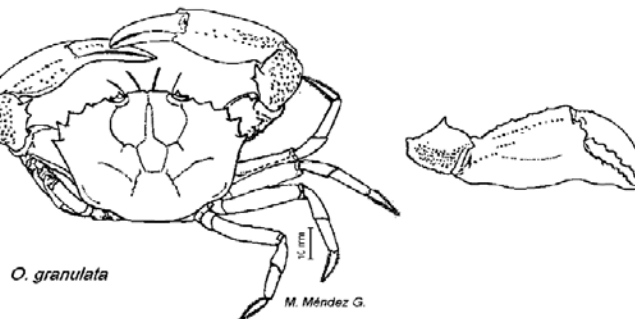


Figura 235.- Vista dorsal y quelípedo de *Oediplax granulata*.

39a. Antenas fuera de la órbita; márgenes ántero-laterales paralelos (Superfamilia **Goneplacoidea**: Familia **Euryplacidae**) (Fig. 236)

Euryplax polita Smith, 1870

39b. Antenas dentro de la órbita; caparazón con 4 dientes laterales (Fig. 236 a, b). Pedúnculos oculares van angostándose hacia el extremo; márgenes póstero-laterales subparalelos; 4 dientes ántero-laterales desarrollados y bien separados; lóbulos anteriores arqueados; quelas casi lisas (Fig. 237) (Superfamilia **Xanthoidea**: Familia **Panopeidae**)

Prionoplax ciliata Smith, 1870

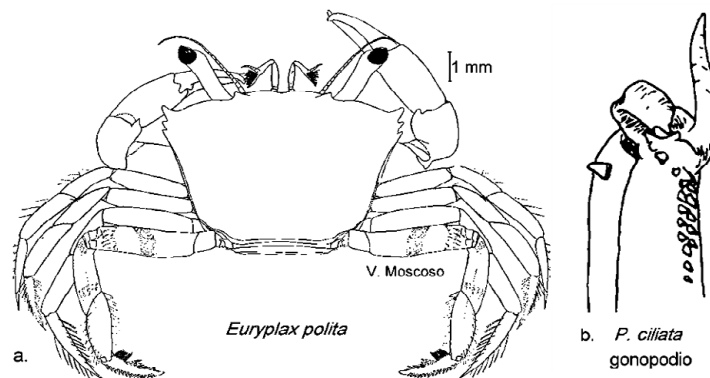


Figura 236.- a. Vista dorsal de *Euryplax polita*; b. extremo del gonopodio en *Prionoplax ciliata* (según MARTIN y ABELE, 1986a).

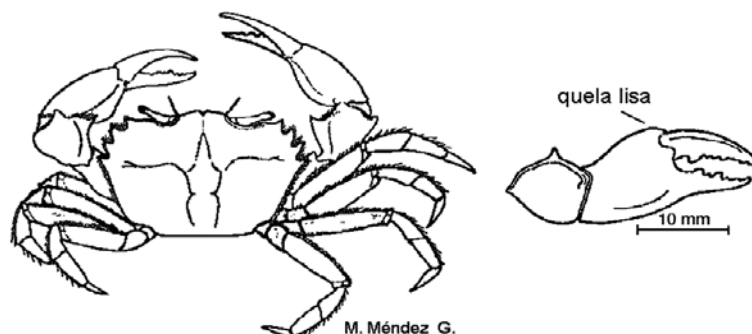


Figura 237.- Vista dorsal y quelípedo de *Prionoplax ciliata*.

- 40a. Caparazón peludo, con estría estridulatoria en el borde pterigostomiano, éste junto con un surco lamelado en el mero del quelípedo conforma el órgano de estridulación (Superfamilia **Goneplacoidea**: Familia **Euryplacidae**) (Fig. 238)

Trizocarcinus dentatus (Rathbun, 1893)

- 40b. Caparazón casi desnudo, sin la estría estridulatoria en el borde pterigostomiano (Superfamilia **Goneplacoidea**: Familia **Euryplacidae**) (Fig. 239)

Villoplax peruvianus Garth, 1973

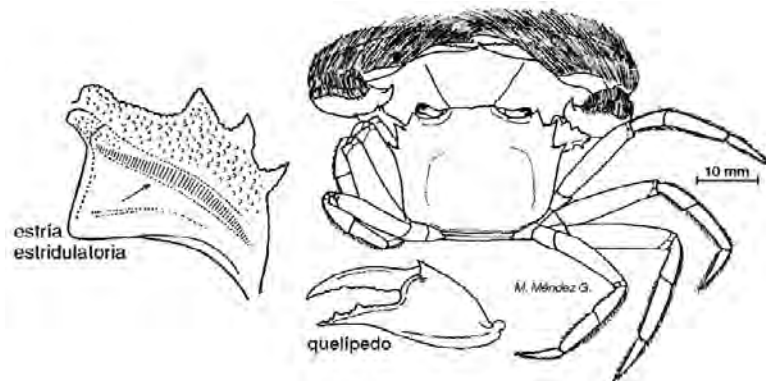


Figura 238.- Vista antero-ventral izquierda (según RATHBUN, 1914), vista dorsal y quelípedo de *Trizocarcinus dentatus*.

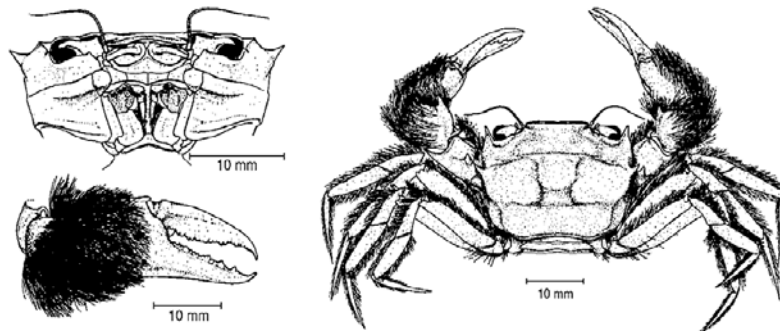


Figura 239.- Vista frontal, quelípedo y vista dorsal de *Villoplax peruvianus* (según GARTH, 1973) (OxyScholar © 2013).

Superfamilia Palicoidea: Familia Palicidae

- 1a. Dos grandes dientes antero-laterales en el caparazón (sin contar el gran diente post-orbital (Fig. 240 a)

Palicus cortezi (Crane, 1937)

- 1b. Más de 2 dientes en el margen antero-lateral del caparazón (Fig. 241 b)

2

- 2a. Mero del segundo y tercer par de patas ambulatorias con un prominente lóbulo en el ángulo supero-distal que termina en una punta afilada (Fig. 242)

Palicus tuberculata (Faxon, 1893)

- 2b. Mero del segundo y tercer par de patas ambulatorias sin un prominente lóbulo en el ángulo supero distal (Figs. 241b, 242)

Palicus fragilis (Rathbun, 1893)

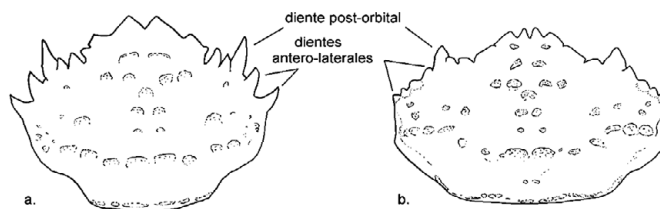


Figura 240.- Vistas dorsales del caparazón en: a. *Palicus cortezi*; b. *Palicus fragilis* (según HICKMAN y ZIMMERMAN, 2000).

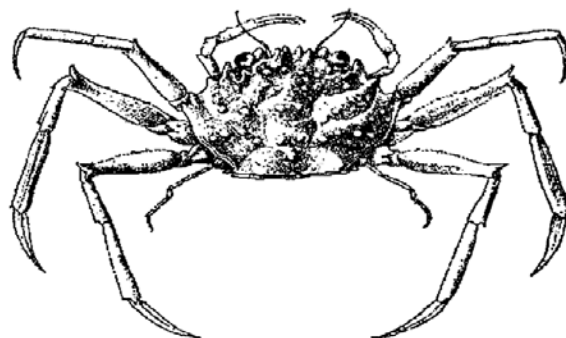


Figura 241.- Vista dorsal de *Palicus tuberculata* (según RATHBUN, 1918).

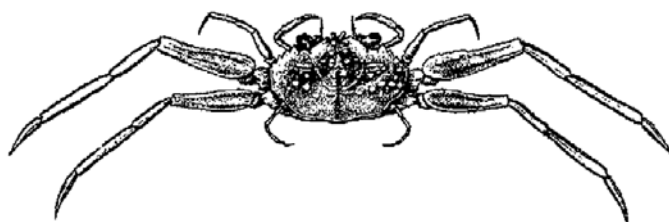


Figura 242.- Vista dorsal de *Palicus fragilis* (según RATHBUN, 1918).

Superfamilia Grapsoidea

(Según RATHBUN 1918, HENDRICKX 1995, SCHMITT 1939)

1a. Márgenes laterales del caparazón rectos o ligeramente arqueado, lisos y sin dientes. Frente angosta. Machos con poros genitales en el primer esternito torácico. Tercer par de maxilípedos cierran casi totalmente la boca (Familia **Gecarcinidae**)

2

1b. Márgenes laterales del caparazón rectos o ligeramente arqueados. Caparazón más o menos cuadrangular. Frente ancha. Ojos y órbitas más desarrollados. El margen ventral de la órbita se extiende hasta el cuadro bucal

3

2a. Distancia fronto-orbital (entre los bordes externos de las órbitas) superior a la mitad del ancho del caparazón. Diente orbital externo fuerte, puntiagudo y triangular (Fig. 243 a)

Cardisoma crassum Smith, 1870

2b. Distancia fronto-orbital inferior a la mitad del ancho del caparazón. Diente orbital externo reducido a un tubérculo (Fig. 243 b)

Gecarcinus quadratus de Seassure, 1853

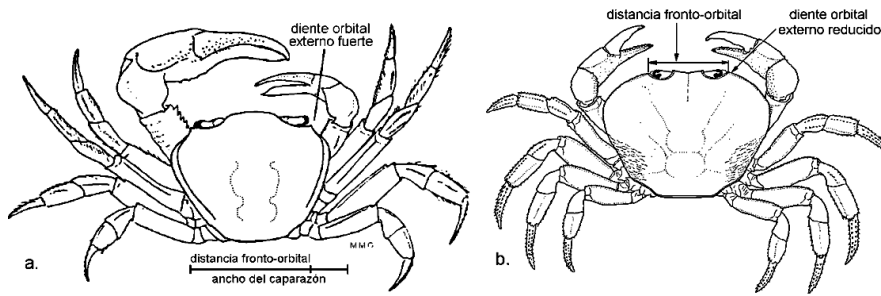


Figura 243.- Vistas dorsales de: a. *Cardisoma crassum*; b. *Gecarcinus quadratus* (según HENDRICKX, 1995).

- 3a. Anténulas invisibles dorsalmente y replegadas por debajo de la frente 4
- 3b. Anténulas visibles dorsalmente, ubicadas en dos escotaduras profundas y anchas en la frente (Familia **Plagusiidae**) (Fig. 244) 5

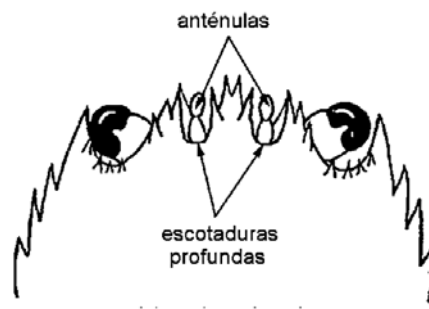


Figura 244.- Familia Plagusiidae: vista fronto-dorsal (según HENDRICKX, 1995).

- 4a. Superficie ventral (visible) del mero del tercer par de maxilípedos sin cresta oblicua y peluda 6
- 4b. Una cresta oblicua y peluda ubicada en la superficie ventral (visible) del mero del tercer par de maxilípedos (Familia **Sesarmidae**) 13
- 5a. Caparazón más largo que ancho (Familia **Percnidae**) (Fig. 245) 14
- 5b. Caparazón más ancho que largo o casi igual al largo 15

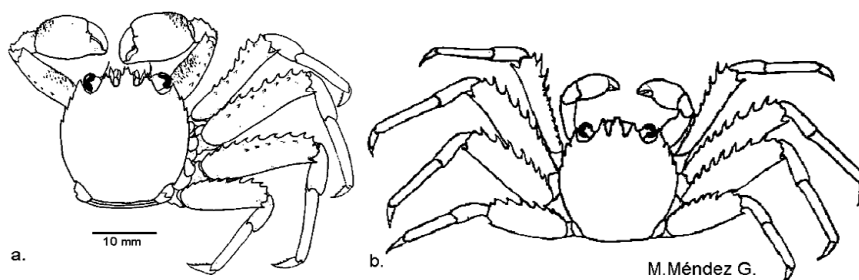


Figura 245.- Familia Percnidae, vistas dorsales de: a. *Percnon gibbesi* (según WILLIAMS, 1984 en ABELE y KIM, 1986); b. *Percnon planissimum*.

- 6a. El borde infraorbitario se extiende sin interrupción hasta el cuadro bucal (Familia **Grapsidae**) (Fig. 246) 7
- 6b. Borde infraorbitario incompleto, pero es reforzado por una cresta o quilla suborbitaria, situada sobre la misma línea del borde anterior del epistoma. Márgen antero lateral del caparazón arqueado (Familia **Varunidae**) 12

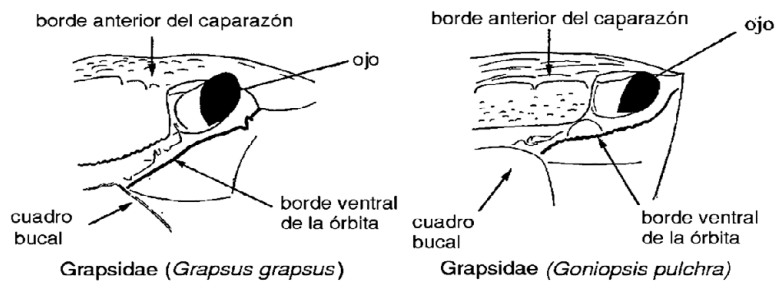


Figura 246.- Familia Grapsidae, vistas frontales de *Grapsus grapsus* y *Goniopsis pulchra* (según HENDRICKX, 1995).

- 7a. Frente mucho menos de la mitad del mayor ancho del caparazón 8
- 7b. Frente más de la mitad o cerca del mayor ancho del caparazón 10
- 8a. Meropodito de los maxilípedos externos más largo que ancho (Fig. 248) 9
- 8b. Meropodito de los maxilípedos externos no es más largo que ancho (Fig. 247)

Leptograpsus variegatus (Fabricius, 1793)

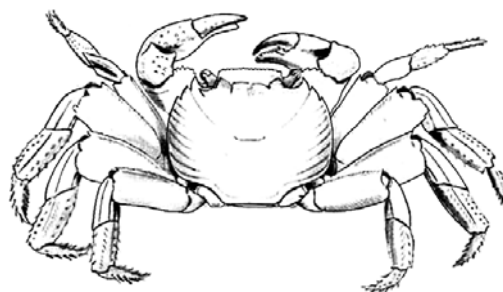


Figura 247.- *Leptograpsus variegatus*: vista frontal (según RATHBUN, 1910).

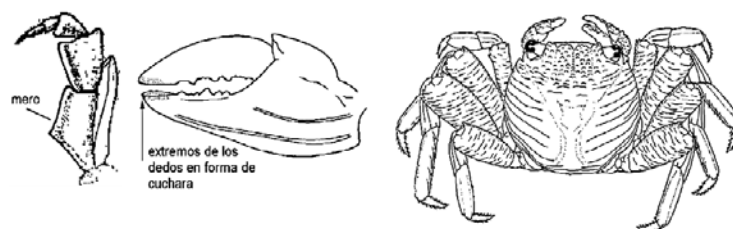


Figura 248.- *Grapsus grapsus*: tercer maxilípodo ó maxilípodo externo (según RATHBUN, 1918); quelípodo y vista dorsal del caparazón (según HENDRICKX, 1995).

- 9a. Dedos de las quelas con puntas anchas, excavadas apicalmente y en forma de cuchara (Fig. 248) *Grapsus grapsus* (Linnaeus, 1758)

9b. Dedos agudos, no en forma de cuchara (Fig. 249)

Geograpsus lividus (H. Milne Edwards, 1837)

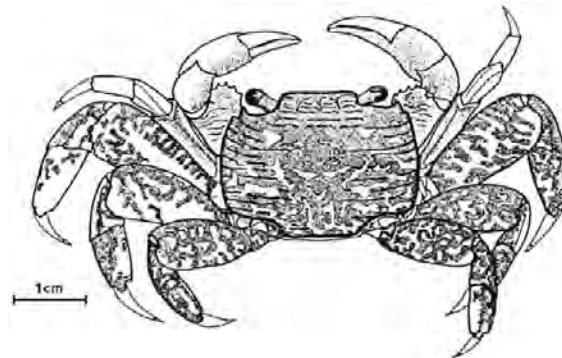


Figura 249.- Vista dorsal de *Geograpsus lividus* (según MÉNDEZ, 1982a).

10a. Antenas dentro de las órbitas

11

10b. Antenas excluidas de las órbitas. Color purpúreo a café; caparazón un poco más ancho que *G. cruentata* (para los mismos tamaños); apéndices del abdomen del macho rectos, con el ápice más transverso (Fig. 250)

Goniopsis pulchra (Lockington, 1876)

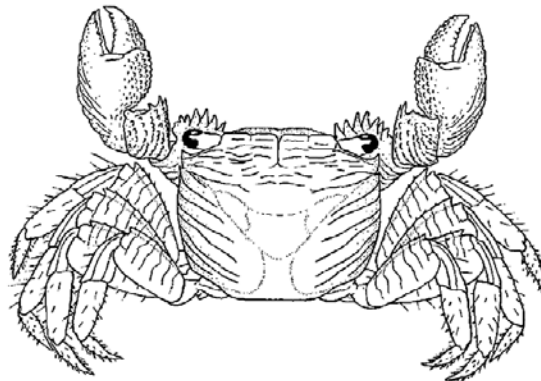


Figura 250.- Vista dorsal de *Goniopsis pulchra* (según BRUSCA, 1980).

11a. Caparazón deprimido, notoriamente estriado. Extremo distal del borde posterior del mero del quinto par de patas con 2 a 3 espinas; borde de la frente sinuoso (Fig. 251 a)

Pachygrapsus socius Stimpson, 1871

11b. Caparazón convexo, casi liso (Fig. 251 b)

Planes major (Mac Leay, 1838)

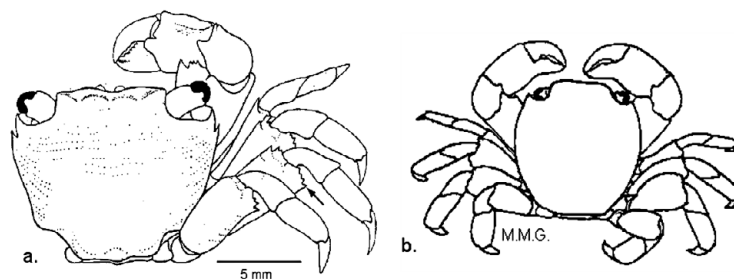


Figura 251 .- Vista dorsales de: a. *Pachygrapsus socius* (según ABELE y KIM, 1986); b. *Planes major*.

12a. Superficie del caparazón desigual. Mitad posterior trapezoidal (Fig. 252)

Cyrtograpsus angulatus Dana, 1851

12b. Superficie del caparazón lisa. Mitad posterior rectangular, caparazón posteriormente plano; caparazón con una acanaladura post-orbital debajo del margen antero-lateral (Fig. 253)

Cyclograpsus cinereus Dana, 1851



Figura 252.-*Cyrtograpsus angulatus*: vista dorsal, vista antero-ventral y primer pleópodo del macho.

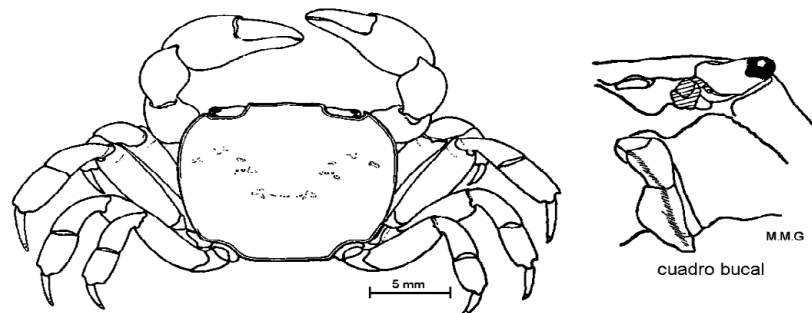


Figura 253.- Vista dorsal (según MÉNDEZ, 1982a) y vista antero-ventral de *Cyclograpsus cinereus*

13a. Antenas alejadas del hiatus orbital; con un diente lateral detrás del diente orbital. Frente más de la mitad del ancho del caparazón; palma cubierta de pocos gránulos y de pequeños e indistintos tubérculos dispersos en la superficie medial (Fig. 254)

Armases gorei (Abele, 1981)

13b. Antenas excluidas de la órbita por el diente del ángulo inferior externo que llega o casi se aproxima a la frente; dáctilos de los apéndices muy cortos; abdomen del macho subcircular (Fig. 255)

Aratus pisonii (H. Milne Edwards, 1837)

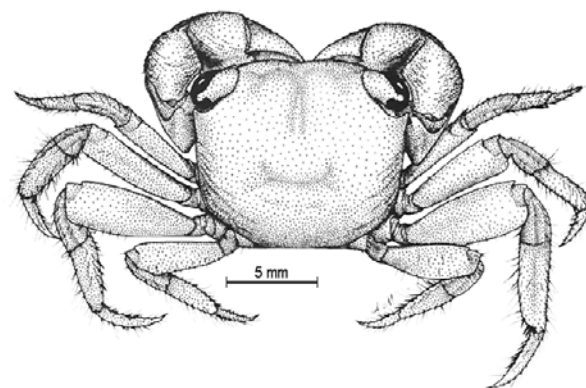


Figura 254.- Vista dorsal de *Armases gorei* (según ABELE, 1981).

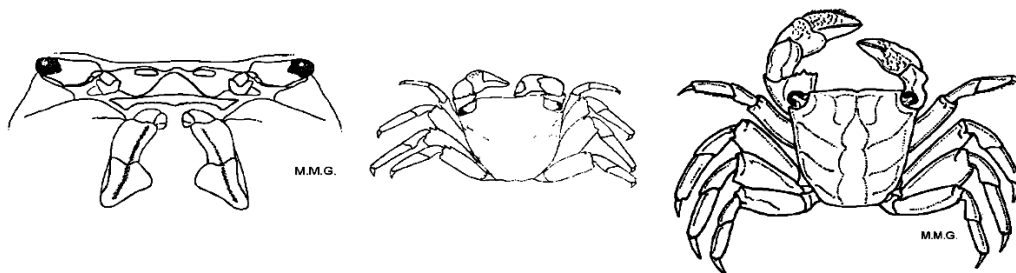


Figura 255.- Vista fronto ventral y vistas dorsales de *Aratus pisoni*.

- 14a. Margen superior de la quela con un surco piloso muy corto, inconspicuo, apenas un sexto de su longitud. Ojos azul-verde (Fig. 246 a)

Percnon gibbesi (H. Milne Edwards, 1853)

- 14b. Margen superior de la quela con un surco largo, cerca a un tercio (desde un cuarto a la mitad) de la longitud de este margen. Ojos rojos (Fig. 246)

Percnon planissimum (Herbst, 1804)

- 15a. Tubérculos del caparazón bien marcados; articulación del meropodito de los apéndices con dos mechones de pelo sobre la superficie superior (o posterior) (Fig. 256 a)

Plagusia squamosa (Hebst, 1790)

- 15b. Tubérculos del caparazón deprimidos, mal definidos; articulación de los meropoditos de los apéndices con un solo mechón de pelos en la superficie superior o posterior (Fig. 256 b)

Plagusia immaculata Lamarck, 1818

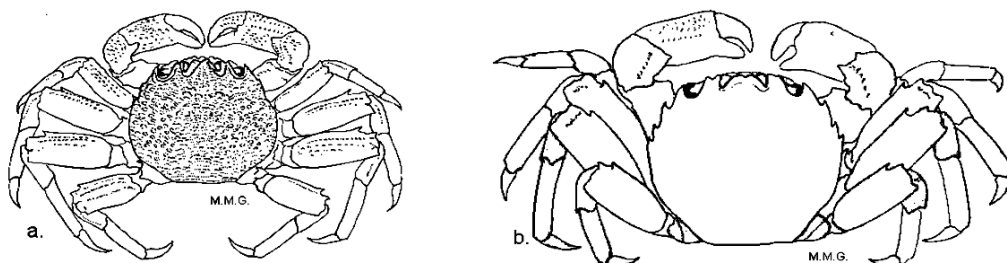


Figura 256.- Vistas dorsales de: a. *Plagusia squamosa*; b. *Plagusia immaculata*.

Superfamilia Pinnotheroidea: Familia Pinnotheridae

(Según RATHBUN 1918)

- 1a. Caparazón no marcadamente transverso; isquio del tercer maxilípedo, ya sea rudimentario o fusionado (poco notorio) con el mero, formando una única pieza la cual es usualmente oblicua, algunas veces casi transversa; palpo no tan largo como el mero-isquio

2

- 1b. Caparazón marcadamente transverso; isquio del tercer maxilípedo usualmente diferenciado del mero, aunque más pequeño y algunas veces parcialmente unido a él (*Pinnaxodes*); mero longitudinal o ligeramente oblicuo; palpo de mayor longitud, algunas veces tan largo como el mero-isquio

3

- 2a. Dáctilo de las tres primeras patas ambulatorias simple, no bifurcado; caparazón suborbicular; patas no disminuyen sucesivamente la longitud de la primera a la cuarta, esta última con el dáctilo más largo (subfamilia **Pinnotherinae**) (Fig. 257)

Calyptraeotheres politus Say, 1817

- 2b. Dáctilo de las tres primeras patas ambulatorias bifurcado; caparazón subpentagonal (Subfamilia **Pinnotherinae**) (Fig. 258)

Dissodactylus nitidus Smith, 1870

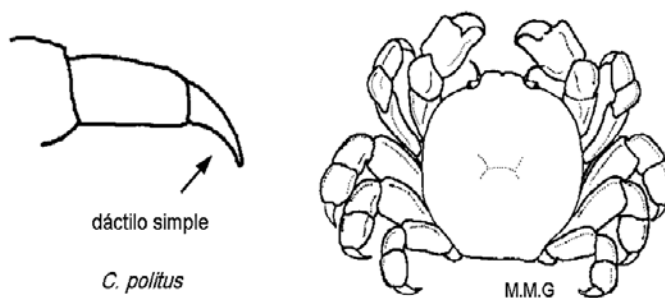


Figura 257.- *Calyptraeotheres politus*: extremo de pata ambulatoria y vista dorsal.

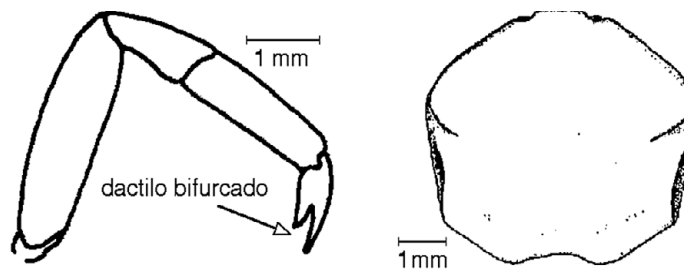


Figura 258.- *Dissodactylus nitidus*: pata ambulatoria (según RATHBUN, 1918) y vista dorsal del caparazón (según GRIFFITH, 1981).

- 3a. Último artejo del tercer maxilípido articulado cerca del extremo proximal del lado interno del penúltimo artejo

4

- 3b. Último artejo del tercer maxilípido articulado al extremo distal del penúltimo artejo; caparazón liso; sin espínulas en las patas (Subfamilia **Pinnotherliinae**) (Fig. 259)

Pinnotherelia laevigata H. Milne Edwards y Lucas, 1843

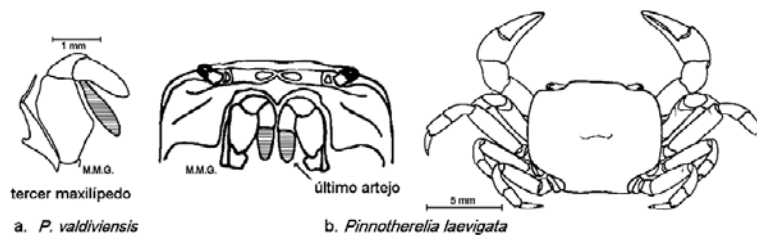


Figura 259.- a. tercer maxilípido de *Pinnixa valdiviensis*; b. vista antero-ventral y vista dorsal (según MÉNDEZ, 1982a) en *Pinnotherelia laevigata*.

4a. Caparazón mucho más ancho que largo; el tercer par de patas ambulatorias es el más largo 5

4b. Caparazón ligeramente más ancho que largo; segundo y tercer par de patas ambulatorias casi iguales 6

5a. Una cresta notoria se extiende transversalmente casi a todo lo ancho del caparazón al nivel cardíaco, posteriormente al cual, el caparazón se dobla abruptamente hacia abajo; el segundo segmento del palpo (tercer maxilípodo) corto y grueso; abdomen del macho angosto en toda su longitud (Subfamilia **Pinnotherliinae**) (Fig. 260)

Pinnixa transversalis (H. Milne Edwards y Lucas, 1842)

5b. Sin cresta cardíaca, o si está presente, ésta no se extiende completamente a todo lo ancho del caparazón sino en dos crestas cardíacas bien separadas; segundo segmento del palpo (tercer maxilípodo) largo y angosto; abdomen del macho ocupa un tercio del ancho esternal, con los lados angostándose gradualmente (Subfamilia **Pinnotherliinae**) (Fig. 261)

Pinnixa valdiviensis Rathbun, 1907

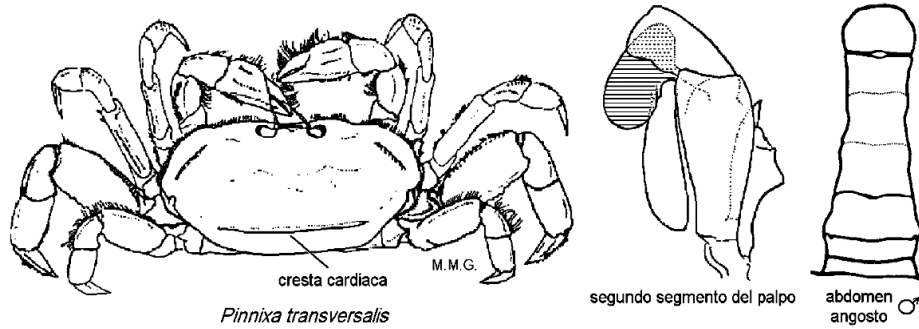


Figura 260.- *Pinnixa transversales*: vista dorsal, tercer maxilípodo (según RATHBUN, 1918) y abdomen del macho.

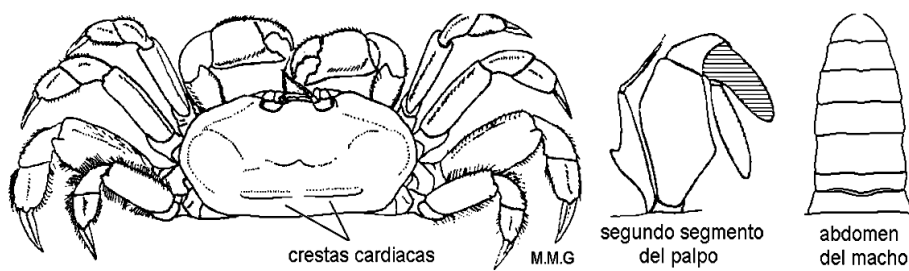


Figura 261.- *Pinnixa valdiviensis*: vista dorsal, tercer maxilípodo y abdomen del macho.

6a. Caparazón blando en las hembras, firme en los machos; palmas de las hembras alargadas; patas angostas; sexto segmento del abdomen del macho constreñido (Subfamilia **Pinnotherinae**) (Fig. 262)

Pinnaxodes chilensis (H. Milne Edwards, 1837)

6b. Caparazón firme en ambos sexos; palmas de las hembras no son mucho más largas que anchas; patas cortas y anchas; sexto segmento del abdomen del macho no constreñido (Subfamilia **Pinnotherinae**) (Fig. 263)

Holothuriophilus pacificus (Poepfig, 1836)

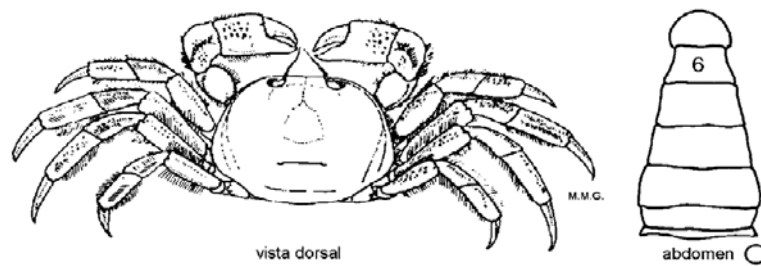


Figura 262.- *Pinnaxodes chilensis*: vista dorsal y abdomen del macho.

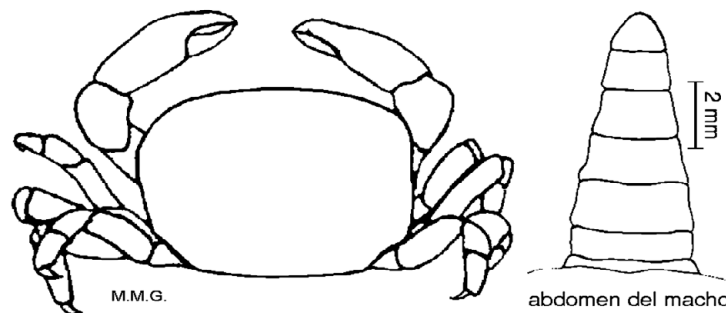


Figura 263.- *Holothuriophilus pacificus*: vista dorsal y abdomen del macho.

Superfamilia Ocypodoidea

(Según CRANE 1975, HENDRICKX 1995)

- 1a. Caparazón ovalado, las regiones branquiales fuertemente proyectadas hacia los lados; distancia fronto-orbital (entre los bordes externos de las órbitas) inferior a dos tercios del ancho del caparazón. Margen ventral de la frente con una hendidura mediana. Alcanza tallas superiores a 7 cm de ancho del caparazón (Familia **Ucididae**) (Fig. 264)

Ucides occidentalis (Ortmann, 1897)

- 1b. Caparazón rectangular; distancia fronto-orbital superior a dos tercios del ancho del caparazón. Margen ventral de la frente convexo o levemente angular, sin hendidura mediana (Familia **Ocypodidae**)

2

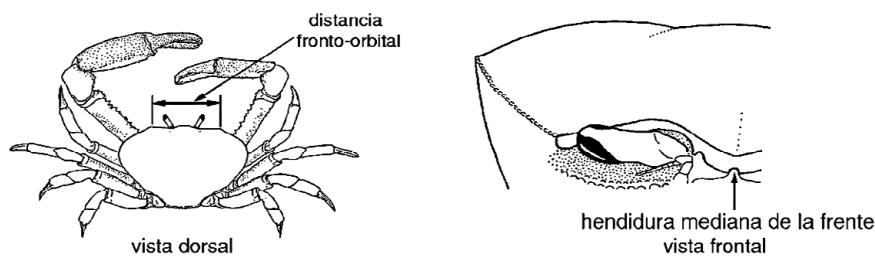


Figura 264.- Familia Ucididae: vistas dorsa y frontal de *Ucides occidentalis* (según HENDRICKX, 1995).

- 2a. Pedúnculo ocular corto y robusto; córnea más larga que la mitad de la longitud del pedúnculo. Quelípedos en ambos sexos ligeramente asimétricos (Subfamilia **Ocypodinae**) (Fig. 265) (Género *Ocypode*)

3

- 2b. Pedúnculo ocular delgado y alargado; córnea más corta que la mitad de la longitud del pedúnculo. Quelípedos del macho fuertemente asimétricos, los de la hembra pequeños y simétricos (Subfamilia **Ucinae**) (Fig. 266) (Género **Uca**)

4

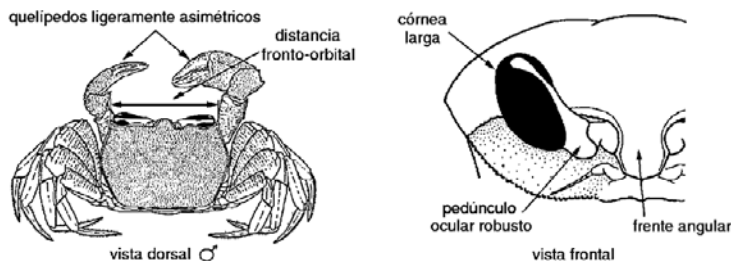


Figura 265.- Subfamilia Ocypodinae: vistas dorsal (según BRUSCA, 1980) y frontal (según HENDRICKX, 1995) de *Ocypode occidentalis*.

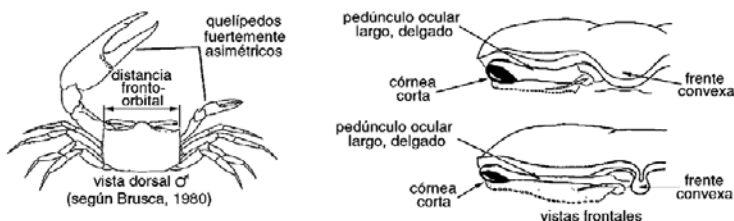


Figura 266.- Subfamilia Ucinae: Vista dorsal y vistas frontales del género *Uca* (según HENDRICKX, 1995).

- 3a. Pedúnculo ocular se prolonga delante de los ojos a manera de un estilete; dedos de las quelas truncados (Fig. 267 a)

Ocypode gaudichaudii (H. Milne Edwards y Lucas, 1843)

- 3b. Pedúnculo ocular no se prolonga delante de los ojos a manera de un estilete; dedos de las quelas puntiagudos; mero de las patas ambulatorias desnudo (Fig. 267 b)

Ocypode occidentalis Stimpson, 1860

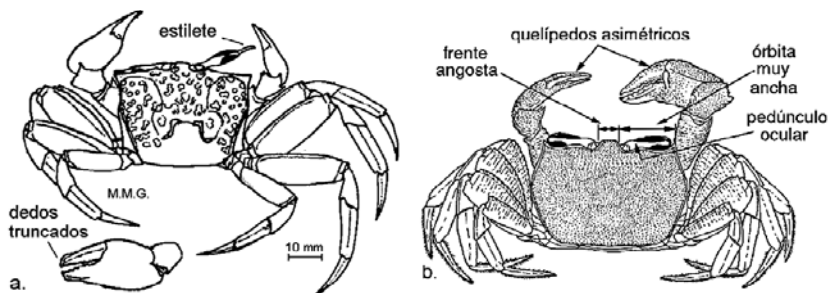


Figura 267.- Vistas dorsales de: a. *Ocypode gaudichaudii*; b. *Ocypode occidentalis* (según BRUSCA, 1980; HENDRICKX, 1995).

- 4a. Frente, entre los ojos, angosta y de forma de espátula, menos de 1/10 en el ancho del caparazón. Grandes tubérculos en la porción externa y baja de la mano (Fig. 268 a)

5

- 4b. Frente, entre los ojos, más ancha, incrementándose en ancho de abajo hacia arriba, posteriormente más de 1/10 en el ancho del caparazón. Tubérculos moderados a pequeños en la parte externa y baja de la mano (Fig. 268 b)

9

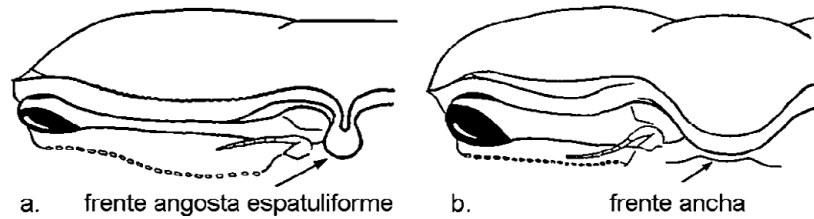


Figura 268.- Vista frontal de los subgéneros: a. *Uca*; b. *Leptuca* (según HENDRICKX, 1995).

5a. Pollex cubierto de conspicuos hoyos y siempre más angosto que el dactilo, el cual es más ancho distalmente hacia la mitad; márgenes dorso-laterales del caparazón y márgenes ventrales de los meros ambulatorios con grandes tubérculos separados ó espinas en las hembras; a la menos traza de similar armadura en los machos

6

5b. Pollex sin hoyos (excepto *Uca stylifera* con pocos hoyos) sub-igual al dactilo, el cual es más ancho proximalmente y hacia la mitad; sin grandes tubérculos separados en los márgenes dorso- laterales (algunas veces uno pequeño y posterior) y ninguno en los márgenes ventrales de los meros ambulatorios

7

6a. Margen del mero mayor con grandes y separados tubérculos antero dorsales; machos sin grandes tubérculos en el margen dorso- lateral excepto por uno en la parte posterior; punta del gonopodio robusta. Hembra con márgenes laterales del caparazón verticales y granulados o tuberculados (Fig. 269)

Uca (Uca) insignis (H. Milne Edwards, 1852)

6b. Mero mayor con una hilera de pequeños y apretados tubérculos y un gran y único diente distal; machos con márgenes dorso- laterales más o menos espinosos. Hembra con márgenes laterales verticales desarmados (Fig. 270)

Uca (Uca) ornata (Smith, 1870)

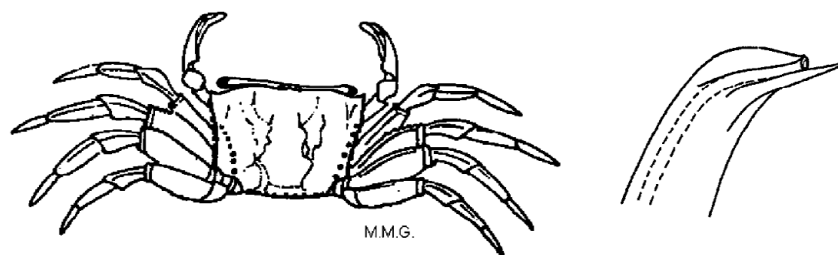


Figura 269.- Vista dorsal y punta del gonopodio derecho (según CRANE, 1975) de *Uca (Uca) insignis*.

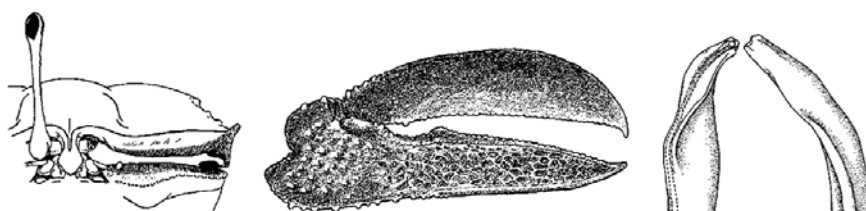


Figura 270.- Vista antero-frontal, quela mayor y gonopodios de *Uca (Uca) ornata* (según CRANE, 1975).

7a. Mero mayor con un reborde antero- lateral grande y convexo, extremo del gonopodio grueso, sin punta; mero del 4to ambulatorio en las hembras con pelo en el margen postero-dorsal; gonoporo de la hembra con un gran tubérculo (Fig. 271)

Uca (Uca) princeps (Smith, 1870)

7b. Mero mayor con una cresta baja y recta al borde finalizando abruptamente en un diente alto o cresta pequeña; punta del gonopodio angosta, estrechándose; mero del 4to ambulatorio en las hembras sin pelo en el margen postero- dorsal; gonoporo de la hembra en forma de media luna o angular y sin un gran tubérculo

8

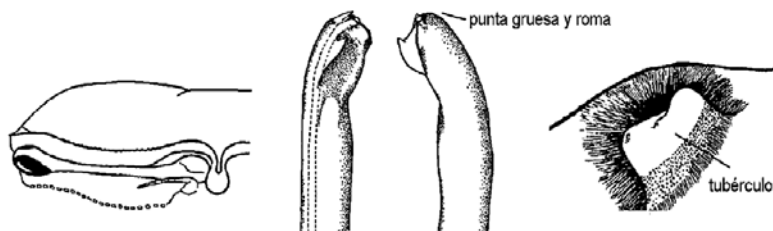


Figura 271.- *Uca (Uca) princeps*: vista antero-frontal (según HENDRICKX, 1984 y 1995); gonopodios del macho y gonoporo de la hembra (según CRANE, 1975).

8a. Ojos con estiletes terminales, siendo éstos más largos que el pedúnculo; estría tuberculada oblicua en el lado interno de la palma, que se continúa en el margen superior; quela de la hembra con setas cortas en los márgenes (Fig. 272)

Uca (Uca) stylifera (H. Milne Edwards, 1852)

8b. Estiletes oculares del macho ocasionalmente presentes, siendo éstos no más largos que el pedúnculo; sin estría tuberculada en el lado interno de la palma; quela de la hembra con setas largas, rígidas y apretadas (Fig. 273)

Uca (Uca) heteropleura (Smith, 1870)

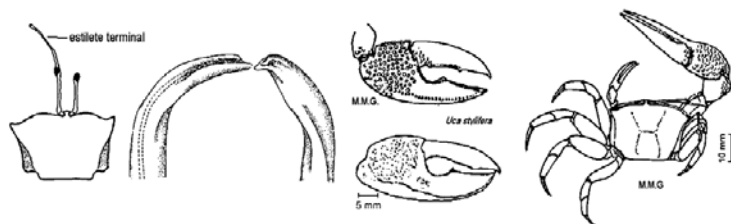


Figura 272.- *Uca (Uca) stylifera*: vista dorsal del caparazón y gonopodios (según CRANE, 1975); vistas del quelípedo mayor (según ROSENBERG, 2002); vista dorsal.

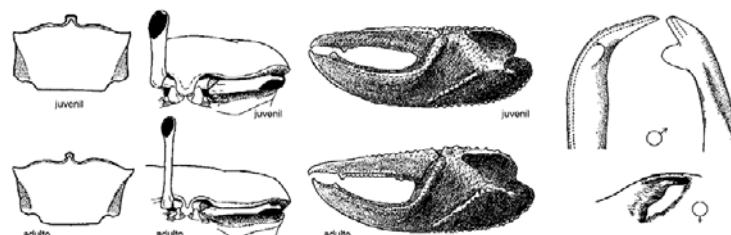


Figura 273.- *Uca (Uca) heteropleura*: vista dorsal del caparazón, vista antero-frontal y quelípedos en juvenil y adulto; gonopodios; gonoporo (según CRANE, 1975).

- 9a. Quela menor se abre ampliamente en la parte media, claramente tan ancha como la adyacente parte del dactilo. Surcos estridulatorios presentes en la palma (Fig. 274)

Uca (Leptuca) terpsichores Crane, 1941

- 9b. Quela menor se abre angostamente alcanzando el ancho del dactilo adyacente (Fig. 275 b)

10

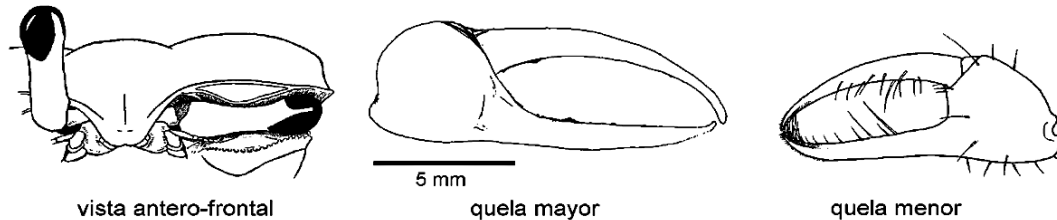


Figura 274.- *Uca (Uca) terpsichores*: vista antero-frontal (según CRANE, 1975); quela mayor (según ROSENBERG, 2002; quela menor (según CRANE, 1975).

- 10a. Quela menor finalizando distalmente en un largo y grueso cepillo de setas; mano mayor externa finaliza en una proyección proximal que se extiende más allá de la parte distal del carpo; frente ancha contenida tres veces en el ancho del caparazón; ángulo antero- lateral agudo, proyectado anteriormente (Fig. 275)

Uca (Leptuca) panamensis (Stimpson, 1859)

- 10b. Quela menor no finaliza distalmente en un grueso cepillo; sin proyección proximal en la mano mayor; si bien con frente ancha, sin el ángulo antero- lateral proyectándose hacia adelante

11

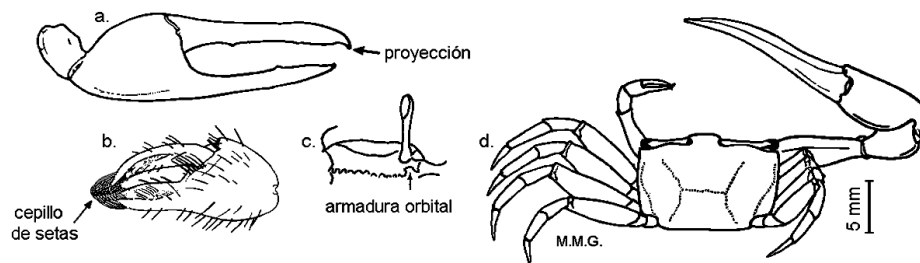


Figura 275.- *Uca (Leptuca) panamensis*: a. quela mayor; b. quela menor (según ROSENBERG, 2002); c. vista antero-frontal (según BEINLICH y VON HAGEN, 2006); vista dorsal.

- 11a. Quela menor con una abertura moderada, casi igual al ancho de la parte adyacente del dactilo o ligeramente menor, débilmente aserrada, no en contacto; frente nunca muy ancha, claramente contenida más de 3 veces en el ancho del caparazón; fuertes crestas oblicuas y tuberculadas en las palmas; Pollex normalmente delgado y estrechándose un poco o no profundamente como la adyacente parte del dactilo, nunca conspicuamente triangular

12

- 11b. Quela menor con una abertura angosta, disminuyendo en la parte distal, usualmente aserrada y en contacto cerca de su parte medio distal; crestas oblicuas y tuberculadas en las palmas; variadas formas de pollex

13

- 12a. Órbitas fuertemente oblicuas; mano mayor y triángulo en la palma proximal con diminutos tubérculos en un patrón reticular (Fig. 276)

Uca (Leptuca) helleri Rathbun, 1902

- 12b. Órbitas derechas o escasamente oblicuas; tubérculos en la mano mayor y en la palma proximal sin un patrón reticulado (Fig. 277)

Uca (Leptuca) dorotheae von Hagen, 1968

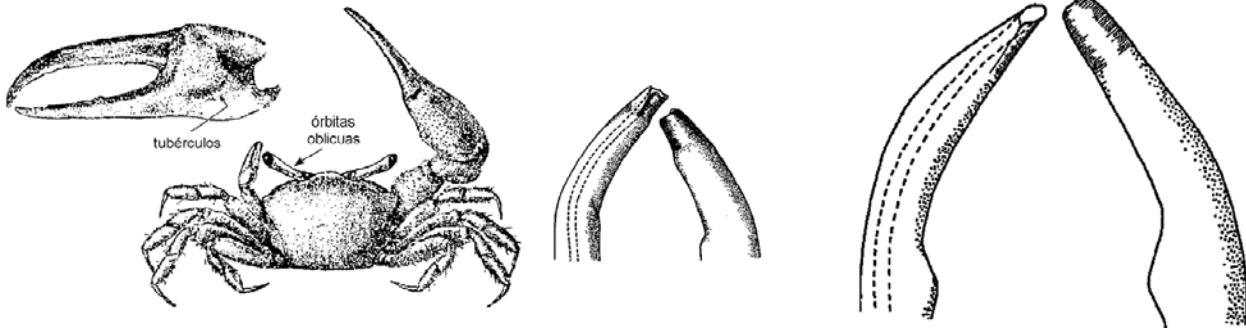


Figura 276.- *Uca (Leptuca) helleri*: vista interior del quelípodo y vista dorsal (según RATHBUN, 1918); puntas de los gonopodios (según CRANE, 1975).

Figura 277.- *Uca (Leptuca) dorotheae*: puntas de los gonopodios (según CRANE, 1975).

- 13a. Crenulaciones suborbitales en ambos sexos ausentes o diminutas, sin incremento gradual en tamaño al ángulo externo; cerca del ángulo externo una ó mas crenulaciones presentes; cangrejo de tamaño pequeño a muy pequeño; pollex mucho más profundo proximalmente que la base del dactilo mayor; gonopodio con un pulgar sobresaliente 14
- 13b. Crenulaciones suborbitales bien desarrolladas al menos en la mitad externa en donde se incrementan en tamaño hasta llegar al ángulo externo; tamaño del cangrejo, pollex y gonopodio diversos 16
- 14a. Quelípodo mayor con un pollex proximal subigual a la parte adyacente del dactilo; una gran proyección triangular en el pollex distal; región branquial sin pelos; margen suborbital en los machos sin un gran diente aislado; patas ambulatorias de la hembra con pelos en el segundo carpo dorso- posterior (Fig. 278)

Uca (Leptuca) batuenta Crane, 1941

- 14b. Quelípodo mayor con un pollex llamativamente triangular, siendo en su parte proximal claramente mas ancha que en el dactilo; proyección del pollex pequeña o ausente 15

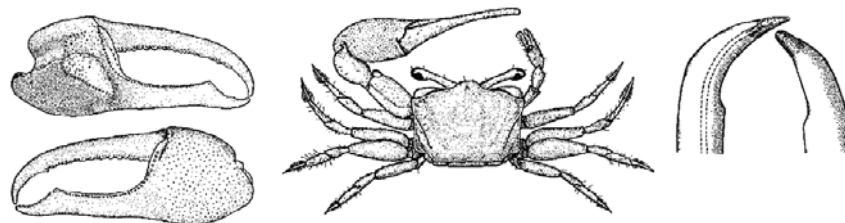


Figura 278.- *Uca (Leptuca) batuenta*: quelípodos y vista dorsal (según CRANE, 1941); puntas de los gonopodios (según CRANE, 1975).

- 15a. Caparazón dorsal con al menos 8 pequeños parches de pelos en ambos sexos; 1ra pata ambulatoria mayor con tubérculos anteriores en mero y carpo; tubérculos en la cresta distal oblicua de la palma y en una hilera distintiva (Fig. 279)

Uca (Leptuca) inaequalis Rathbun, 1935

- 15b. Caparazón sin parches de pelos; 1ra pata ambulatoria mayor sin tubérculos anteriores; tubérculos en la cresta distal oblicua de la palma obsoletos o enteramente ausentes; patas ambulatorias notablemente largas y delgadas en ambos sexos con los márgenes dorsales de los meros derechos (Fig. 280)

Uca (Leptuca) tenuipedis Crane, 1941

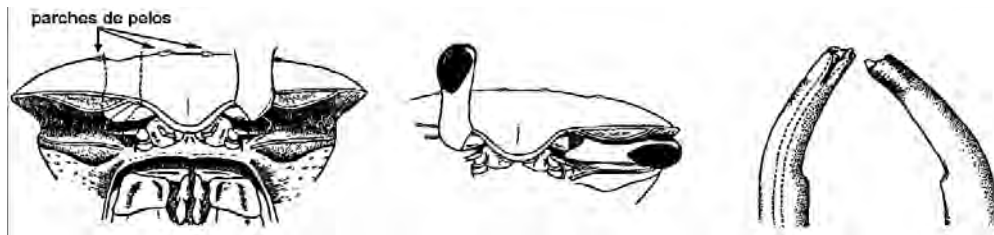


Figura 279.- *Uca (Leptuca) inaequalis*: vistas antero-frontales y puntas de los gonopodios (según CRANE, 1975).

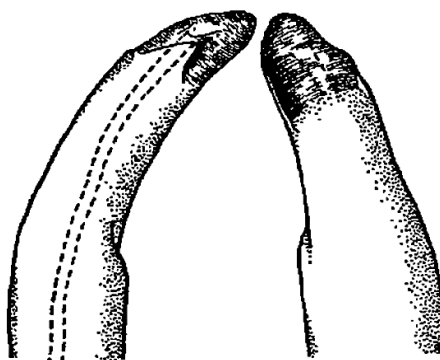


Figura 280.- *Uca (Leptuca) tenuipedis*: puntas de los gonopodios (según CRANE, 1975).

- 16a. Frente moderadamente angosta, contenida 4 o más veces en el ancho del caparazón; pestañas y pulgar del gonopodio presentes ó ausentes; pulgar representado por una saliente y siempre surgiendo lejos desde la punta córnea de los gonopodios y usualmente vestigial; primeras patas ambulatorias con tubérculos presentes ó ausentes
17
- 16b. Frente ancha, contenida menos de 3,5 veces usualmente menos de 3 veces en al ancho del caparazón. Pestañas y pulgar del gonopodio siempre presentes; el pulgar largo y subdistal nunca representado por una saliente; primeras patas ambulatorias nunca con tubérculos
20
- 17a. Meros de las patas ambulatorias delgados a moderados, el del medio con el margen dorsal ligeramente convexo; parches de setas, cuando están presentes, confinadas a pequeñas áreas en o cerca de depresiones en forma de H ó cerca de la región ántero-dorsal ó póstero-lateral; pulgar del gonopodio presente o enclavado
18
- 17b. Meros de las patas ambulatorias muy anchos en ambos sexos, el del medio con márgenes dorsales fuertemente convexas; mechones de setas se extienden dorsalmente en el caparazón, especialmente en hembras y en juveniles, no confinados a pequeños parches; pulgar del gonopodio presente. Cangrejo pequeño, margen dorsal de la palma con un fuerte borde en forma de cuentas ladeado hacia abajo a lo largo del borde dorso-distal de la cavidad carpal (Fig. 281)

Uca (Leptuca) tomentosa Crane, 1941

- 18a. Caparazón del macho usualmente con 6 parches curvos de setas en la parte media del dorso. Pollex con una depresión pilosa fuera de la base; primer par de patas ambulatorias con tubérculos anteriores en el carpo (Fig. 282)

Uca (Leptuca) tallanica Hagen, 1968

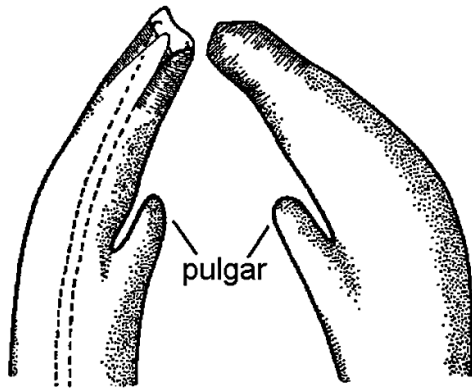


Figura 281.- *Uca (Leptuca) tomentosa*: puntas de los gonopodios (según CRANE, 1975).

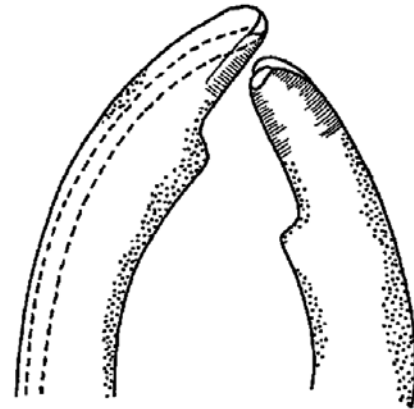


Figura 282.- *Uca (Leptuca) tallanica*: puntas de los gonopodios (según , 1975).

18b. Caparazón sin parches de setas en la parte dorsal, a lo sumo con rastros de ellas en los surcos; sin depresión pilosa fuera de la base del pollex; tubérculos anteriores de las primeras patas ambulatorias presentes ó ausentes

19

19a. Puntas de las quelas pequeñas oblicuamente truncadas, encontrándose perfectamente; 1ra pata ambulatoria mayor con tubérculos anteriores en carpos y manos; márgenes de la mitad del mero ambulatorio ligeramente convexo en machos; pulgar del gonopodio en una saliente oblicua; hembra sin pelos en lados posteriores del caparazón (Fig. 283)

Uca (Leptuca) beebei Crane, 1941

19b. Puntas de la quela pequeña delgadas, puntiagudas, no se encuentran perfectamente; 1ra pata ambulatoria mayor con tubérculos anteriores solo en los carpos; pulgar del gonopodio en una saliente transversal; hembra con pelos en la parte posterior del caparazón (Fig. 284)

Uca (Leptuca) stenodactylus (H. Milne Edwards y Lucas, 1843)

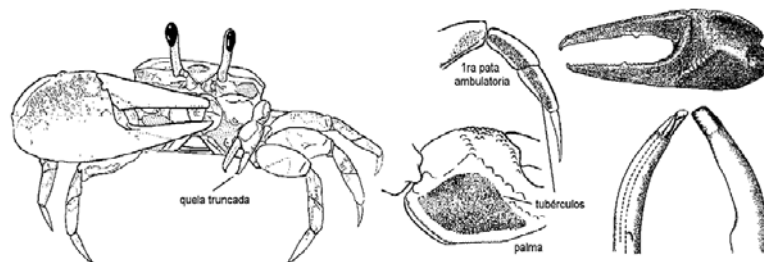


Figura 283.- *Uca (Leptuca) beebei*: vista frontal; primera pata ambulatoria, palma del quelípodo, vista externa del quelípodo y puntas de los gonopodios (según CRANE, 1975).



Figura 284.- *Uca (Leptuca) stenodactylus*: vista externa del quelípodo menor (según CRANE, 1975); vista frontal.

- 20a. Palma con un borde tuberculado, oblicuo y vestigial, con un apex bajo u ausente; parches de setas en patrones amarmolados presentes a lo largo de la mayor parte dorsal del caparazón (pero muchas veces ausente por efecto de la abrasión), punta del gonopodio engrosado por grandes y truncados procesos internos; gonoporo de la hembra bordeado de tres lados irregularmente levantados (Fig. 285)

Uca (Minuca) ecuadoriensis Maccagno, 1928

- 20b. Palma con un borde tuberculado oblicuo y fuerte, el apex alto; sin parches de setas en la parte dorsal del caparazón; punta del gonopodio no aparece grueso; los procesos internos son delgados y se estrechan; gonoporo de la hembra sin lados levantados pero con un tubérculo marginal presente o ausente (Fig. 286)

Uca (Minuca) galapagensis Rathbun, 1902

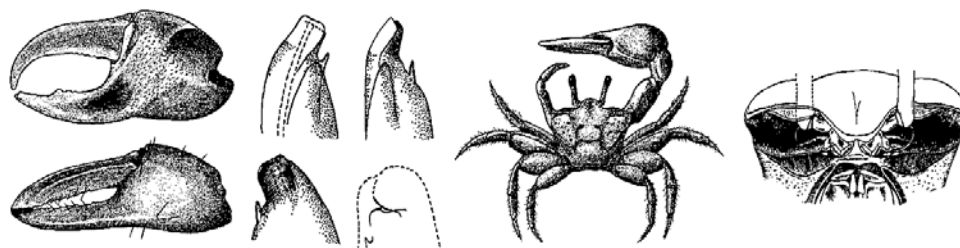


Figura 285.- *Uca (Minuca) ecuadoriensis*: vista interna del quelípedo mayor; vista externa del quelípedo menor; puntas de los gonopodios; vista dorsal; vista frontal (según CRANE, 1975).

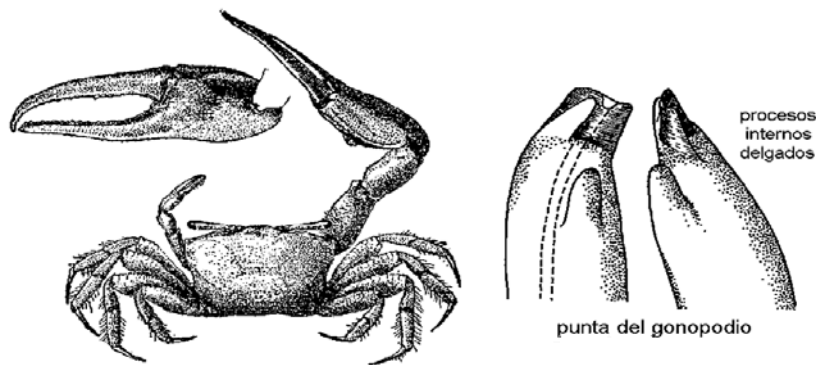


Figura 286.- *Uca (Minuca) galapagensis*: lado interno de la quela mayor, vista dorsal (según Rathbun, 1918); punta del gonopodio (según CRANE, 1975).

Agradecimientos

Las ilustraciones de las claves de identificación son reproducidas gracias a la autorización de Matilde Méndez, Michel Hendrickx, Danièle Guinot, Keiji Baba, Michael Rosenberg, Christopher Boyko, Cleveland Hickman, Lawrence Abele, Peter Ng, Marco Retamal y Hugh Griffith; además de Jean E. Crampon (University of Southern California), Dan Pondella y Larry Allen (Bulletin of the Southern California Academy of Sciences), Ms Gaby van Rietschoten (Crustaceana, Koninklijke Brill NV) y Claire Margerie (Muséum National d'Histoire Naturelle).

Glosario

(Según Méndez 1985, Martin 2005)

- Abdomen:** La parte del cuerpo posterior al cefalotórax: la cola.
- Acículo:** Estructura en forma de escama presente en los pedúnculos oculares de Paguridae y en las antenas de Albuneidae.
- Antenas:** El par más externo de los apéndices flagelares. Órgano sensorial.
- Anténulas:** El par más interno de los apéndices flagelares. Órgano sensorial.
- Ápex:** Punto ó ángulo superior de una estructura. Se aplica en los gonopodios y en el propodio.
- Areolaciones:** Regiones demarcadas y usualmente elevadas del caparazón de los braquiuros.
- Artejo:** Segmento de un apéndice articulado.
- Borde pterigostomiano:** Margen antero-lateral del caparazón.
- Bifurcado:** Dividido en dos.
- Canal eferente:** Situado en el endostoma es el encargado de conducir el agua que llega a las branquias.
- Caparazón:** Exoesqueleto quitinoso que cubre los somites cefalotorácicos del cuerpo.
- Carina:** Elevación semejante a una quilla o reborde.
- Carpó:** En los pereiópodos, el quinto artejo o segmento desde el extremo proximal.
- Cefalotórax:** Parte anterior del cuerpo (fusión de la cabeza y el tórax). Lleva todos los apéndices del cuerpo excepto los pleópodos y los urópodos.
- Clave:** Tabulación de los caracteres diagnósticos de las especies (o géneros, etc.) presentados en enunciados alternativos (opuestos) facilitando la identificación.
- Comensal:** La especie que, viviendo en una estrecha asociación de dos, obtiene ventajas, por ejemplo: alimento, protección contra depredadores, etc. La otra especie no obtiene ventaja ni desventaja de la presencia del comensal.
- Comprimido:** Aplanado lado a lado, lateralmente.
- Córnea:** La parte distal del ojo que tiene facetas (omátidos).
- Coxa:** En los pereiópodos el primer artejo o segmento desde el extremo proximal.
- Dáctilo:** En los pereiópodos o patas, el séptimo artejo o segmento terminal, dedo movable de la quela.
- Dedo:** Cada uno de los elementos terminales de una quela; el dedo movable es el dáctilo; el dedo fijo es la extensión del propodio.
- Deprimido:** Aplanado dorso centralmente.
- Diente:** Protuberancia puntiaguda y rígida sobre el cuerpo y apéndices.
- Distal:** Lo más externo o alejado del punto de unión.
- Dorsal:** Concerniente al dorso o superficie superior.
- Endopodito; Endópodo:** Rama interna de un apéndice biramoso. Se origina del protopodito.
- Endostoma:** Paladar. Parte posterior del epistoma formando la cavidad bucal.
- Epipodito:** Apéndice con función en la respiración, se origina en la coxa de los apéndices torácicos.
- Epistoma:** Parte anterior de la cavidad bucal, se extiende entre las antenas y el endostoma.
- Escuamiforme:** Que tiene forma de escama.
- Especie:** Grupos de poblaciones naturales capaces de cruzamientos entre sí.
- Esternito:** Cada una de las 5 láminas fusionadas del esternón que indica la segmentación básica del cefalotórax.
- Esternal:** Referente a la región del esternón (sternum), la superficie ventral del cefalotórax entre las coxas de los pereiópodos o patas.
- Estridulante; Estridulatorio:** Órgano o estructura que produce una vibración o sonido agudo.
- Exopodito; Exopodo:** Rama externa de un apéndice biramoso. Se origina en el protopodito.
- Familia:** Categoría taxonómica que incluye uno o más géneros con ciertos caracteres filogenéticos en común.
- Flagelo:** Porción terminal de la antena o del maxilípodo, a manera de un látigo, multiarticulado.
- Gonoporo:** Poro genital: Abertura u orificio externo del sistema reproductor.
- Hiatus; hiato:** Orificio, agujero o fisura.
- Isquio:** En los pereiópodos, el tercer segmento desde el extremo proximal.
- Línea talasínica:** Línea o sutura ubicada a lo largo de la parte lateral del caparazón, presente en la familia Callianassoidea.
- Mano:** Término usado para el propodio ó quela, también se usa palma.
- Maxilípedos:** Sexto, séptimo y octavo par de apéndices cefalotorácicos, posteriores a las maxilas.
- Membranoso:** En relación al integumento, cuando éste es muy frágil y blando.
- Órbita:** Cavidad o emarginación en el caparazón para el acomodamiento del ojo.
- Paladar:** Endostoma.
- Palma:** Propodio, porción de la quela próxima a los dedos, también llamada mano.
- Palpo:** Estructura sensorial, segmentada, adherida a la mandíbula.

Pectinado: Estructura que presenta dientes o púas dispuestas a manera de un peine. Como se presenta en el propodio de los Squilloidea.

Pedúnculo: Estructura parecida a un tallo, referida a una parte de la antena o anténula (pedúnculo antenal, antenular) o al ojo (pedúnculo ocular).

Pereiópodo; Periópodo: Uno de los 5 pares de apéndices posteriores o patas unidas al cefalotórax, patas ambulatorias.

Pinza: Quela.

Placa esternal: Superficie ventral del cefalotórax a manera de placa formada por la fusión de los esternitos. Importante en la identificación de Diogenidae y Raninidae.

Pleópodos: Los apéndices pares biramosos, unidos a los primeros cinco somites abdominales.

Pollex; Poxex: Extensión del propodio en forma de dedo opuesto al dedo móvil, también llamado dedo fijo.

Proceso: Proyecciones, como aquellas que se encuentran alrededor de la órbita ocular.

Propodio: En los pereiópodos, el sexto artejo o segmento desde el extremo proximal. En los quelípedos se le llama también mano.

Protopodito: Segmento proximal fusionado (coxa y basipodito) de un apéndice como el pleópodo, la antena o la anténula, usualmente con exópodo y endópodo.

Proximal: Hacia o cerca del punto de unión.

Pseudopinza; Seudopinza: pinza rudimentaria en la que el poxex está poco desarrollado. Presente en Callinassoidea, Albuneidae y Blepharipodidae.

Quela: Pinza formada por los dos artejos o segmentos distales de un pereiópodo, en el cual el dedo móvil o dactilo es opuesto al dedo fijo formado por la extensión distal del propodio.

Quelado: Que lleva quelas.

Quelípedos: El primer par de pereiópodos o patas cuando llevan quelas.

Región branquial: Porción del caparazón situada sobre la cavidad branquial.

Región cardíaca: Región dorsal del caparazón limitada anteriormente por la región gástrica y lateralmente por las regiones branquiales.

Región frontal: Área anterior del caparazón situada entre las órbitas y limitada posteriormente por la región gástrica.

Región gástrica: Área limitada posteriormente por la región cardíaca, lateralmente por las regiones branquial y hepática y anteriormente por las regiones frontal y orbital.

Región hepática: Áreas antero-laterales del caparazón, delimitadas posteriormente por las regiones branquiales.

Región pterigostomiana. Superficies antero-ventrales del caparazón a ambos lados de la cavidad bucal en los braquiuros.

Rostro; Rostrum: Proyección anterior del cefalotórax entre los ojos.

Senos: Cavidad, como los senos orbitales

Seta: Proyección a manera de un pelo, puede ser simple o plumosa.

Somite; Somito: Segmento del cuerpo, especialmente del abdomen.

Surco: Acanaladura o estría.

Subquelado: Cuando el dactilo es corto o menos robusto que el propodio ó viceversa.

Telson: El somite terminal del abdomen.

Terguitos; Tergum: Porciones dorsales de los 5 primeros somites abdominales.

Tomentoso: Cubierto de pelos simples o ramificados, cortos y dispuestos muy densamente.

Tubérculo: Proceso a manera de una prominencia, usualmente con punta obtusa.

Urópodos: Apéndices pares adheridos al sexto somite abdominal, parte de la cola.

Referencias

- ABELE L G. 1981. *Sesarma gorei*, new species from Perú, with a key to eastern Pacific species of *Sesarma* (Crustacea, Decapoda, Grapsidae). Journal of Crustacean Biology 1(3): 433 – 440.
- ABELE L G, FELGENHAUER B E. 1982. In: Parker, S. P. (ed.) Synopsis and classification of living organisms. Parker, S. P. (series ed.) Vol. 2 New York. McGraw-Hill, Inc. Vol.2 Decapoda: 296-326
- ABELE L G, KIM W. 1986. An illustrated guide to the marine decapod crustaceans of Florida. Department of Environmental Regulation Technical Series. 8 (1): 1-178.
- ABELE L G, KIM W. 1989. The decapod crustaceans of the Panama Canal. Smithsonian Contributions to Zoology 482: 1-50.
- ANDRADE H, BAEZ P. 1977. *Calastacus rostriserratus* n sp. (Crustacea, Decapoda, Macrura, Axiidae). Anales del Museo de Historia Natural de Valparaíso 10: 65-67.
- AYÓN-PARENTE M, HENDRICKX M E. 2005. New record of *Rhodochirus hirtimanus* (Faxon, 1893) (Decapoda, Anomura, Paguridae) in the gulf of California and redescription of the species. *Crustaceana* 78 (6): 739- 748.
- BABA K. 1977. *Gastroptychus cavimurus* sp. nov. A new Chirostylid (Crustacea, Decapoda, Anomura) from off the western coast of South America. Zoologische Mededelingen, Leiden 52(16): 201-207.
- BABA K. 2005. Deep-sea Chirostylid and Galatheid Crustaceans (Decapoda: Anomura) from the Indo-Pacific, with a list of species. In: T. Wolff (ed.), Galathea Reports, Volume 20, Scientific Results of The Danish Deep-Sea Expedition Round the World 1950-52, 20: 1-317, Fig. 1-94.
- BAHAMONDE N. 1959. Decápodos chilenos: la familia Homaridae. Investigaciones Zoológicas Chilenas 5:221- 227.
- BAHAMONDE N. 1968. Bosquejo Taxonómico Sobre Estomatópodos De Chile. Revista Universitaria (Universidad Católica De Chile) N° 31.
- BEINLICH B, von HAGEN HO. 2006. Materials for a more stable subdivision of the genus *Uca* Leach. Zoologische Mededelingen, Leiden 80: 9-32.

- BENEDICT JE. 1902. Descriptions of a new genus and forty-six new species of crustaceans of the family Galatheidæ, with a list of a know marine species, Proceedings of the United States National Museum 26 (1311): 243-334.
- BOTT R. 1969. Die Süßwasserkrabben Süd-Amerikas und ihre Stammesgeschichte. Eine Revision der Trichodactylidae und der Pseudothelphusidae östlich der Anden (Crustacea, Decapoda). Abb. senckenbergiana naturforschenden Gesellschaft 518: 1-94.
- BOYKO C B. 2002. A worldwide revision of the recent and fossil sand crabs of the Albuneidae Stimpson and Blepharipodidae, new family (Crustacea: Decapoda: Anomura: Hippoidea). Bulletin of the American Museum of Natural History 272: 1-396.
- BRUSCA RC. 1980. Common Intertidal Invertebrates of the Gulf of California. 2da. Ed. The University of Arizona Press Tucson, Arizona. 513 pp.
- CAMPOS E. 1999. Taxonomical remarks and distribution of the genus *Pilumnus* in the gulf of California, Mexico (Crustacea: Brachyura). Anales del Instituto de Biología Serie Zoología Universidad Nacional Autónoma de México 70 (1): 65-79.
- COELHO P A. 1999. Revisão dos gêneros *Eurypodius* Guérin, 1825, *Anomalothir* Miers, 1879 e *Eucinetops* Stimpson, 1860, nas costas Caribe e Atlântica da América do sul (Crustacea, Decapoda, Majidae). Trabalhos Oceanográficos da UFDP 27 (1): 149-168.
- CRANE J. 1975. Fiddle crabs of the world; Ocypodidae: genus *Uca*, Princeton, 736p., illus., 50 láminas.
- FAXON 1895. Reports on an explorations off the west coast of Mexico, Central and South America and off the Galápagos Islands... by the U.S. Fish Commission steamer "Albatross" during 1891... XV. The stalk-eyed Crustacea.- Memoirs of the Museum of Comparative Zoölogy at Harvard College 18: 1-292.
- FOREST J. 1984. Révision du genre *Aniculus* (Decapoda Diogenidae), Crustaceana Supplement 8 : 1-91.
- FOREST J. 1995. Crustacea Decapoda Anomura: Révision du genre *Trizopagurus* Forest, 1952 (Diogenidae), avec l'établissement de deux genres nouveaux. En: A. CROSNIER (éd.), Résultats des Campagnes MUSORSTOM. Mémoires du Museum national d'Histoire naturelle, Paris 13(163): 9-149.
- GALIL B S. 1986. *Quadrella* (Brachyura: Xanthoidea: Trapeziiidae) – review and revision. Journal of Crustaceans Biology 6 (2): 275-293.
- GALIL B S. 2000. Crustacea Decapoda: Review of the genera and species of the family Polychelidae Wood-Mason, 1874 In: A. CROSNIER (ed.), Resultats des Campagnes MUSORSTOM. Mémoires du Museum national d'Histoire naturelle, Paris 21(184): 285 – 387.
- GARTH J S. 1940. Some new species of brachyuran crabs from Mexico and Central and South American mainland. Allan Hancock Pacific Expeditions 5 (3): 51-127.
- GARTH J S. 1946. Littoral brachyuran fauna of the Galapagos archipelago. Allan Hancock Pacific Expeditions 5 (10): 341-601, láms. 49 – 87.
- GARTH J S. 1958. Oxyrhyncha. Brachyura of the Pacific coast of America. Allan Hancock Pacific Expeditions 21: ii-xii, 854 pp.
- GARTH J S. 1973. New taxa of brachyuran crabs from deep water off western Perú and Costa Rica. Bulletin of the Southern California Academy of Sciences 72 (1): 1-12.
- GARTH J S. 1986. New species of xanthid crabs from early Hancock expeditions. Occasional Papers of the Allan Hancock Foundation, (4): 1-14.
- GARTH J S, HAIG J. 1971. Scientific results of the Southeast Pacific Expedition. Decapod Crustacea (Anomura and Brachyura) of the Peru-Chile Trench. Anton Brum Report 6: 1 – 20, láms. 1 – 3.
- GARTH J S, MÉNDEZ M. 1983. A New species of Spider Crab of the Genus *Libinia* from Peru and the first know male of *Delsolaria enriquei* Garth, 1973 (Crustacea, Brachyura, Majidae), Bulletin, Southern California Academy of Sciences 93(3): 125-130.
- GARTH J S, STEPHENSON W. 1966. Brachyura of the Pacific Coast of America Brachyrhyncha: Portunidae. Allan Hancock Monographs in Marine Biology 1:1-154.
- GLASSELL SA. 1936. New Porcellanids and Pinnotherids from tropical North American waters. Transactions of the San Diego Natural History Society of Natural History 8 (21): 2277-304.
- GONZÁLEZ G E, MÉNDEZ M. 1986. Crustáceos Decápodos das costas de Galicia. Publicación do Seminario de Estudos Gallegos. 242 pp.
- GRIFFITH H. 1987. Taxonomy of the genus *Dissodactylus* (Crustacea: Brachyura: Pinnotheridae) with the description of three new species. Bulletin of Marine Science. 40 (3): 397- 422.
- GUINOT D. 1967. Rescherches préliminaires sur les groupements naturels chez les Crustacés Décapodes Brachyours. IV. Observations sur quelques genres de Xanthidae. Bulletin du Muséum national d'Histoire naturelle, Paris 2e série, 39 (4): 695-727.
- GUINOT D. 1976. Constitution de quelques groupes naturels chez les Crustacés Décapodes Brachyours. I. La superfamille des Bellioidea et trois sous-familles de Xanthidae (Polydectinae Dana, Trichiinae de Haan, Actaeinae Alcock). Mémoires du Muséum national d'Histoire naturelle, Paris, 97: 1-308, Fig.s. 1-47, láms. 1-19.
- GUINOT D, TAVARES M. 2003. A new subfamilial arrangement for the Dromiidae de Haan, 1833, with diagnoses and descriptions of new genera and species (Crustacea, Decapoda, Brachyura). Zoosystema 25 (1): 43-129.
- GUZMÁN G L. 2004. *Isocheles aequimanus* (Dana, 1852) (Decapoda, Anomura, Paguroidea): revalidación para la carcinofauna chilena. Investigaciones Marinas, Valparaíso, 32 (2): 129-132.
- HAIG J. 1955. Reports of the Lund University Chile Expedition 1948-49. 20. The Crustacea Anomura of Chile. Lunds Universitetitets Arsskrift N.F. Avd. 2, 51(12): 1-68, Fig.s.1-12.
- HAIG J. Notes on two anomuran crustaceans new to california waters. Bulletin of the Southern California Academy of Science. 55 p. 2: 79-82.
- HAIG J. 1957. Four new porcelain crab from the eastern Pacific. Bulletin of the Southern California Academy of Sciences. 56 (1): 31- 41, láms. 7-16.
- HAIG J. 1960. The Porcellanidae (Crustacea Anomura) of the Eastern Pacific. Allan Hancock Pacific Expeditions 24: 1- 440.
- HAIG J. 1974. Two new species of *Pagurus* from deep water off Perú and Chile (Decapoda, Anomura, Paguridae). Crustaceana 27 (2):119-128.
- HAIG J, HOPKINS T S, SCANDAL TB. 1970. The shallow water anomuran crab fauna of southwestern Baja California, México. Transactions of the San Diego Society of Natural History 16 (24): 13 – 32.
- HAIG J, McLAUGHLIN P A. 1991. The identity of *Pagurus lepidus* (Bouvier) (Decapoda, Anomura, Paguridae) and a description of a new eastern Pacific insular species. Contribution in Science 425: 1-12.

- HENDRICKX ME. 1984. Studies of the coastal marine fauna of southern Sinaloa, México. II. The Decapod crustaceans of Estero El Verde. *Anales del Instituto de Ciencias Marinas y Limnología, Universidad Nacional Autónoma de México* 11 (1): 23-48.
- HENDRICKX ME. 1995. Langostas: 383-397. Anomuros: 539-564. Cangrejos: 565-636. Estomatópodos: 355-382. In: Fischer, W.; F. Krupp, W. Schneider, C. Sommer, K.E. Carpenter y U.H. Niem (eds.), *Guía FAO para la identificación de especies para los fines de la pesca. Pacífico Centro-oriental. Vol. 1. Plantas e Invertebrados. Organización de las Naciones Unidas para la alimentación y la Agricultura, Roma.*
- HENDRICKX ME. 1997. Los cangrejos braquiuros (Crustacea: Brachyura: Dromiidae, hasta Leucosiidae) del Pacífico Mexicano. Comisión Nacional para el Conocimiento y Uso de la Biodiversidad. Instituto de Ciencias del Mar y Limnología, Universidad Nacional Autónoma de México. 177 pp.
- HENDRICKX M E. 2000. The genus *Munida* Leach (Crustacea, Decapoda, Galatheididae) in the eastern tropical Pacific, with description of two new species. *Biologie* 70: 163-192.
- HENDRICKX M E, AYON M. 2011. Rediscovery of *Uroptychus pubescens* Faxon, 1893 (Decapoda, Anomura, Chirostylidae) in the southern gulf of California, Pacific coast of Mexico. *Crustaceana* 84 (12-13).
- HENDRICKX M E, SALGADO-BARRAGÁN J. 1986. Stomatopodos (Crustacea: Hoplocarida) collected off the coast of Sinaloa, Mexico during the Biocapess cruise IV, V and VI (August 1991, March and June 1992). *Anales del Instituto de Biología. Serie Zoológica U.N.A.M.* 65(2): 217-231.
- HICKMAN C P JR., ZIMMERMAN T L. 2000. A Field Guide to Crustaceans of Galápagos. An illustrated guidebook to the common barnacles, shrimps, lobsters, and crabs of the Galápagos Islands. Sugar Spring Press Lexington, Virginia 156 pp.
- HOLTHUIS L B. 1954. On a collection of Decapod Crustacea from the Republic of El Salvador (Central America). *Zoologische Verhandelingen* 23: 1-43.
- HOLTHUIS L B. 1991. FAO Species Catalogue 13: Marine Lobsters of the World. An Annotated and illustrated Catalogue of Species of Interest to Fisheries Know to Date. FAO Fisheries Synopsis 13(125): 1-292.
- INGLE R W, CHRISTIANSEN M E. 2004. Lobsters, mud shrimps and anomuran crabs. Synopses of the British Fauna (55).
- KENSLEY B. 1996a. Systematic and distribution of the genus *Calocarides* (Crustacea: Decapoda: Axiidae). *Proceedings of the Biological Society of Washington* 109 (1): 53-69.
- KENSLEY B. 1996b. New thalassinidean shrimp from the Pacific Ocean (Crustacea: Decapoda: Axiidae and Calocaridae). *Bulletin of Marine Science* 59 (3): 469-489.
- KHODKINA IV. 1973. New species of the genus *Munidopsis* (Decapoda, Anomura) from the east Pacific. *Zoologicheskii Zh.* 52: 1156-1167.
- KOEPCKE H W, KOEPCKE M. 1953. Contribución al conocimiento de la forma de vida de *Ocypode gaudichaudii* Milne Edwards et Lucas (Decapoda, Crustacea). *Publicaciones del Museo de Historia Natural, Lima (serie A, Zoológica)* 13: 1-46.
- KOH SK, NG PL. 2008. A revision of the shore crab of the genus *Eriphia* (Crustacea: Brachyura: Eriphidae). *The Raffles Bulletin of Zoology*. 56 (2): 327-355.
- MAGALHÃES C, BARBOSA U C, PY-DANIEL V. 2006. Decapod crustacean used as food by the Yanomani indians of the Balawa-ú village, state of Amazonas, Brazil. *Acta Amazonica* 36 (3): 369-374.
- MAGALHÃES C, TÜRKAY M. 1996a. Taxonomy of the neotropical freshwater crab family Trichodactylidae I. The generic system with description of some new genera (Crustacea: Decapoda: Brachyura). *Senckenbergiana biologica* 75 (1/2): 63-95.
- MAGALHÃES C, TÜRKAY M. 1996b. Taxonomy of the neotropical freshwater crab family Trichodactylidae II. The genera *Forsteria*, *Melanocarcinus*, *Syloiocarcinus*, and *Zilchiopsis* (Crustacea: Decapoda: Brachyura) *Senckenbergiana biologica* 75 (1/2): 97-130.
- MAGALHÃES C, TÜRKAY M. 1996c. Taxonomy of the neotropical freshwater crab family Trichodactylidae III. The genera *Fredilocarcinus* and *Goyanasa* (Crustacea: Decapoda: Brachyura). *Senckenbergiana biologica* 75 (1/2): 131-142.
- MANNING R. 1980. The superfamilies, families and genera of recent stomatopod Crustacea, with diagnoses of six new families. *Proceedings of the Biological Society of Washington* 93 (2): 362-372.
- MARTIN J W. 2005. [Tree of Life Web Project. 2005-01-01. http://tolweb.org/Decapoda.](http://tolweb.org/Decapoda)
- MARTIN J W, ABELE L W. 1986a. Notes on male pleopod morphology in the brachyuran crab family Panopeidae Ortmann, 1893 *sensu* Guinot (1978) (Decapoda). *Crustaceana* 50 (2): 182-198.
- MARTIN J W, ABELE L W. 1986b. Phylogenetic relationships of the genus *Aegla* (Decapoda: Anomura: Aeglididae), with comments on anomuran phylogeny. *Journal of Crustacean Biology* 6 (3): 576-616.
- MCLAUGHLIN P A. 1981a. Revision of *Pylopagurus* and *Tomopagurus* (Crustacea: Decapoda: Paguridae), with the description of new genera and species. Part I. Ten new genera of Paguridae and a redescription of *Tomopagurus* A. Milne Edwards and Bouvier. *Bulletin of Marine Science* 31 (1): 1-30.
- MCLAUGHLIN P A. 1981b. Revision of *Pylopagurus* and *Tomopagurus* (Crustacea: Decapoda: Paguridae), with the description of new genera and species. Part II. *Rhodochirus* McLaughlin and *Phimochirus* McLaughlin. *Bulletin of Marine Science* 31 (2): 329-365.
- MCLAUGHLIN P A. 2003. Illustrated keys to families and genera of the superfamily Paguroidea (Crustacea: Decapoda: Anomura), with diagnoses of genera of Paguridae. *Memoirs of Museum Victoria* 60 (1): 111-144.
- MCLAUGHLIN P A, HAIG J. 1993. Two new species of the Pacific component of the *provenzanoi* group of *Pagurus* (Decapoda; Anomura; Paguridae) and a key to the regional species. *Bulletin of Marine Science* 52 (2): 642- 668.
- MÉNDEZ M. 1981. Clave de identificación y distribución de los langostinos y camarones (Crustacea Decapoda) del mar y ríos de la costa. *Boletín, Instituto Mar del Perú-Callao* 5: 1-170.
- MÉNDEZ M. 1982a. Crustáceos comerciales y otras especies comunes en el litoral peruano. *Boletín de Lima* 20: 39-58.
- MÉNDEZ M. 1982b. Primer registro del cangrejo *Heteractaea peterseni* en el mar peruano. *Documenta* 10 (86-87): 13-16.
- MÉNDEZ M, AGUILAR P. 1976 (1978). Notas sobre los crustáceos del mar peruano. IV: La subfamilia Pisinae con especial referencia a los géneros *Notolopas* y *Rochinia* (Decapoda, Brachyura, Majidae). *Anales Científicos. UNA*, 14 (1-4): 183-192.

- MÉNDEZ M, AGUILAR P. 1977 (1979). Notas sobre los crustáceos del mar peruano. V La familia Porcellanidae (Decapoda, Reptantia, Anomura). *Anales Científicos UNA*, 12(1-4): 85-108.
- MILNE EDWARDS H, LUCAS H. 1847 Atlas In d'Orbigny's Voyages dans l'Amérique Méridionale, Paris, vol. 9.
- NG P K L. 1999 (1998). Crabs: 1045-1154. In: Carpenter, K.E.; Niem, V.H. (eds), FAO species identification guide for fishery purposes. The living marine resources of the Western Central Pacific. Vol. 2. Cephalopods, crustaceans, holothurians and sharks. Rome, FAO. 687-1396 p.
- POORE 2004. Marine Decapod Crustacea of Southern Australia. A Guide to Identification. *Marine Decapod Crustacea of Southern Australia*: 213-240.
- PRETZMANN G. 1983. Ergebnisse einiger Sammelreisen in Peru und Ecuador 1976/77 2. Teil: Neue Trichodactylidae. *Annalen des Naturhistorisches Museums (Wien)* 84/B: 307-311.
- RATHBUN MJ. 1898. The Brachyura collected by the U.S. Fish Commission steamer Albatross on the voyage from Norfolk, Virginia, to San Francisco, California, 1887-1888. *Proceedings of the United States National Museum* 21 (1162): 567-616.
- RATHBUN MJ. 1910. The stalk-eyed Crustacea of Peru and the adjacent coast. *Proceedings of the United States National Museum* 38 (1766): 531-620.
- RATHBUN MJ. 1914. New genera and species of American Brachyrhynchous crabs. *Proceedings of the United States National Museum* 47: 117-129.
- RATHBUN MJ. 1918. Grapsoids crabs of America. *Bulletin of the United States National Museum* 97: 1-146.
- RATHBUN MJ. 1925. The spider crabs of America. *Bulletin of the United States National Museum* 129: 1-613.
- RATHBUN MJ. 1930. The canroid crabs of America of the families Euryalidae, Portunidae, Atelecyclidae, Cancridae and Xanthidae. *Bulletin of the United States National Museum* 152 (16): 1-609.
- RATHBUN MJ. 1937. The oxystomatous and allied crabs of America. *Bulletin of the United States National Museum* 166 (6): 1-609.
- RETAMAL MA. 1981. Catálogo ilustrado de los crustáceos decápodos de Chile. *Gayana Zoología* 44: 1-110.
- RODRÍGUEZ G. 1982. Les crabes de eau douce d'Amérique. Famille Pseudothelphusidae. *Faune tropicale* 22: 1-223, Fig.s. 1-132; Paris (ORSTOM).
- ROSENBERG MS. 2002. Fiddler crab claw shape variation: A geometric morphometric analysis across the genus *Uca*. *Biological Journal of the Linnean Society* 75 (2): 147-162.
- SAKAI K. 1999. Synopsis of the family Callianassidae, with keys to subfamilies, genera and species, and the description of new taxa (Crustacea: Decapoda: Thalassinidea). *Zoologische Verhandelingen, Leiden* 326: 1-152, Fig.s. 1-33.
- SCHMITT WL. 1921. The marine decapod Crustacea of California with special reference to the decapod Crustacea collected by the United States Bureau of Fisheries Steamer "Albatross" in connection with the biological survey of San Francisco Bay during the years 1912-1913. *University of California Publications in Zoology* 23: 1-470.
- SCHMITT WL. 1939. Decapod and other Crustacea collected on the Presidential Cruise of 1938. *Smithsonian Miscellaneous Collections* 98 (6): 1-29, láms. 1-3, text- Fig.s. 1-2.
- SCHOLTZ G, McLAY C.L. 2009. Is the Brachyura Podotremata a monophyletic group? In: Martin, J.W., K.A. Crandall y D.L. Felder (eds.) *Decapod Crustacean Phylogenetics. Crustacean Issues. Koenemann, S. (series ed.) Vol. 18. Boca Raton, London, New York: CRC Press, Taylor & Francis Group.* 417-437.
- SNYDER-CONN E. 1980. Arthropoda: Crustacea. Paguroidea and Coenobitoidea (Hermit Crabs), In Brusca, R. C. *Common Intertidal Invertebrates of the Gulf of California*. 2da. Ed. The University of Arizona Press Tucson, Arizona: 275-282.
- SQUIRES HJ. 1977. A new species of *Axiopsis* (*Axiopsis*) (Thalassinidae, Axiidae) from the Pacific coast of Colombia. *Canadian Journal of Zoology* 55 (11): 1885-1891.
- TÜRKAY M. 1967. Neue Brachyuren von der Westküste Südamerikas (Crustacea Decapoda). *Senckenbergiana biologica* 49 (5/6): 361-364, láms. 1-3. Frankfurt.
- WILLIAMS AB. 1986. Lobsters-Identification, world distribution, and U. S. Trade. *Marine Fisheries Review* 48 (2): 1-36.

Índice de nombres científicos

<i>Acantharctus</i>	16	<i>armatus, Peloeus</i>	95
<i>Acanthaxius</i>	19	<i>armatus, Petrolisthes</i>	35
<i>Acanthocarpus</i>	59	<i>asper, Portunus (Portunus)</i>	82, 84
<i>Acanthocyclus</i>	77, 78	<i>aspera, Munidopsis</i>	29
<i>Acanthocyclus gayi</i>	77, 78	ASTACIDEA.....	15
<i>Acanthocyclus hassleri</i>	78	<i>astori, Scyllarides</i>	16, 17
<i>Acantholobulus</i>	98	ATELECYCLIDAE.....	54, 79
<i>Acanthonyx</i>	69	AXIIDAE.....	19
ACHELATA	15, 16	AXIIDEA	15, 16, 18
<i>aculeata aculeata, Squilla</i>	12	AXIIOIDEA	18
<i>aculeatus, Microphrys</i>	76	<i>Axiopsis</i>	19
<i>acuminatus, Portunus (Portunus)</i>	84	<i>balboai, Otmaroxanthus</i>	95
AETHROIDEA	50, 59	<i>baronai, Axiopsis</i>	19
<i>affinis, Portunus (Portunus)</i>	83, 84	<i>barrerai, Munidopsis</i>	27
<i>agassizi, Rhinocarcinus</i>	70	<i>batuenta, Uca (Leptuca)</i>	117
<i>agassizii, Munidopsis</i>	26	<i>beebei, Uca (Leptuca)</i>	119
<i>albidigitus, Clibanarius</i>	43	<i>Bellia</i>	77
<i>Albunea</i>	39	BELLIDAE.....	77
ALBUNEIDAE	20, 21, 38	<i>bellii, Mesorhoea</i>	65
ALBUNEINAE	39	<i>bellii, Mithrax</i>	75
<i>Allopetrolisthes</i>	30, 32, 33, 38	BELLIOIDEA.....	54, 77
<i>amica, Hepatella</i>	61, 62	<i>biguelowi, Squilla</i>	13
<i>angulatus, Cyrtograpsus</i>	108	<i>biocellatus, Pachycheles</i>	34
<i>angulosus, Allopetrolisthes</i>	38	<i>Blepharipoda</i>	38, 39
<i>Aniculus</i>	42	BLEPHARIPODIDAE.....	20, 38
ANOMURA	20	<i>boneti, Neodoclea</i>	71, 72
<i>antonii, Munidopsis</i>	27	BRACHYURA.....	47, 48
<i>Aratus</i>	108, 109	<i>bulligera, Randallia</i>	63
<i>arcuatus, Callinectes</i>	84, 85	<i>caespitosa, Acanthaxius</i>	19
<i>Arenaeus</i>	82	<i>Calappa</i>	59
<i>Armases</i>	108	CALAPPOIDEA.....	48, 49, 50, 59

<i>Calappula</i>	59	<i>cinereus, Cyclograpsus</i>	108
<i>Calcinus</i>	40	<i>Clibanarius</i>	43
<i>californiensis, Petrochirus</i>	40	<i>Cloridopsis</i>	14, 15
<i>Callianassa</i>	20	<i>Coenobita</i>	21
CALLIANASSIDAE.....	18	COENOBITIDAE.....	21, 22
CALLIANASSOIDEA.....	18	<i>Collodes</i>	67,68
<i>Callichirus</i>	20	<i>compressus, Coenobita</i>	21
<i>Callinectes</i>	82,84, 85	<i>convexa, Calappa</i>	59
<i>Calocarides</i>	18,19	<i>cooksoni, Xanthodius</i>	96
<i>Calocarididae</i>	18	<i>corallinum, Trichopeltarion</i>	54, 79
<i>Calyptraeotheres</i>	55, 110	<i>cortezi, Palicus</i>	103, 104
<i>cancasense, Mithraculus</i>	75	CORYSTIDAE.....	52
<i>Cancer</i>	53, 54, 80, 81	CORYSTOIDEA.....	52
CANCRIDAE.....	54, 80	<i>crassa, Munidopsis</i>	28
<i>cancrisocialis, Porcellana</i>	32	<i>crassum, Cardisoma</i>	55, 104, 105
CANCROIDEA.....	48, 49, 53, 54, 79, 80	<i>crenatus, Eurypanopeus</i>	97
<i>Cardisoma</i>	55, 104	<i>crenulatus, Danielethus</i>	91, 94
<i>Cataleptodius</i>	96, 97	<i>crinimanus, Pachycheles</i>	34
<i>Cataleptodius taboganus</i>	96, 97	<i>cristagalli, Eiconaxius</i>	19, 20
<i>cavimurus, Gastroptychus</i>	23	<i>cristata, Ebalia</i>	62
<i>chacei, Pachycheles</i>	34	<i>cristulipes, Teleophrys</i>	75
CHASMOCARCINIDAE.....	101	<i>Cronius</i>	81,82
<i>Chasmocarcinus</i>	101	<i>Cronius ruber</i>	81,82
<i>chilensis, Lepidopa</i>	39, 40	<i>cryptoda, Zilchiopsis</i>	87
<i>chilensis, Panopeus</i>	98	CYCLODORIPPOIDA.....	48
<i>chilensis, Pinnaxodes</i>	111, 112	CYCLODORIPPOIDEA.....	49
<i>chiliensis, Hepatus</i>	60	<i>Cyclograpsus</i>	108
CHIROSTYLIDAE.....	23	<i>Cycloxanthops</i>	93,94
CHIROSTYLOIDEA.....	23	CYMONOMIDAE.....	49
<i>Chorilia</i>	72	<i>Cymonomus</i>	49
<i>ciliata, Prionoplax</i>	102	<i>Cyrtograpsus</i>	108
<i>ciliatifrons, Ethusa</i>	57, 58	<i>Danielethus</i>	91,94

<i>Dardanus</i>	40,41	<i>edwardsii, Pisoides</i>	74
<i>deamae, Lepidopa</i>	39	EICONAXIIDAE.....	20
<i>debilis, Stenorhynchus</i>	68	<i>Eiconaxius</i>	19, 20
DECAPODA.....	15	<i>elegans, Aniculus</i>	42
<i>decemspinosa, Nannosquilla</i>	10	<i>emarginata, Moreirocarcinus</i>	88
<i>delfini, Acantharctus</i>	16	<i>enriquei, Delsolaria</i>	74
<i>delsolari, Acanthocarpus</i>	59,60	<i>ensigera, Hemisquilla</i>	11
<i>delsolari, Pagurus</i>	45	EPIALTIDAE.....	66, 69, 70, 71, 72, 73, 74
<i>Delsolaria</i>	74	EPIALTINAE.....	69, 70, 72
<i>dentata, Poppiana</i>	88	<i>Eriphia</i>	100
<i>dentatus, Taliepus</i>	70	ERIPHIIDAE.....	100
<i>dentatus, Trizocarcinus</i>	103	ERIPHIOIDEA.....	89, 90, 92, 94, 95, 100
<i>desmarestii, Petrolisthes</i>	35	<i>Ethusa</i>	57
<i>devillei, Sylviocarcinus</i>	88	ETHUSIDAE.....	49, 57
<i>Dilocarcinus</i>	86	<i>Ethusina</i>	58
DIOGENIDAE.....	21,22,40	EUBRACHYURA.....	47
<i>diomedea, Galacantha</i>	26	<i>Euceramus</i>	30
<i>Dissodactylus</i>	110	<i>Euphylax</i>	83
DORIPPOIDEA.....	48, 49, 57	<i>Eupleurodon</i>	69
<i>dorotheae, Uca (Leptuca)</i>	117	<i>Euprognatha</i>	67, 68
<i>dovii, Euphylax</i>	83	<i>Eurypanopeus</i>	97
DROMIACEA.....	48	EURYPLACIDAE.....	102, 103
DROMIIDAE.....	51, 56	<i>Euryplax</i>	102
DROMIOIDEA.....	51, 56	<i>Eurypodiu</i>	67
<i>dubia, Cloridopsis</i>	14, 15	<i>Eurysquilla</i>	11
DYNOMENIDAE.....	51	EURYSQUILLIDAE.....	11
<i>Ebalia</i>	62	<i>Eurytium</i>	92
<i>ecuadorensis, Notosceles</i>	57	<i>evexa, Stereomastis</i>	16
<i>ecuadoriensis, Uca (Minuca)</i>	120	<i>Evibacus</i>	16, 17
<i>edwardsii, Metacarcinus</i>	80	<i>exilipes, Spinolambrus</i>	64, 65
<i>edwardsii, Pagurus</i>	44, 45	<i>faxoni, Trichodactylus</i>	85
<i>edwardsii, Persephona</i>	63	<i>faxonii, Ethusina</i>	58

fernandezi, <i>Pilumnus</i>	99	granulosus, <i>Petrolisthes</i>	37
fornicata, <i>Ranilia</i>	57	GRAPSIDAE.....	106
fragilis, <i>Palicus</i>	103, 104	GRAPSOIDEA.....	55, 104
<i>Fredilocarcinus</i>	87	<i>Grapsus</i>	55, 106
frontalis, <i>Mennippe</i>	92, 93	grapsus, <i>Grapsus</i>	55, 106
<i>Galacantha</i>	26	grossimanus, <i>Pachycheles</i>	34
galapagensis, <i>Uca (Minuca)</i>	120	haigae, <i>Petrolisthes</i>	35
GALATHEOIDEA.....	23, 24, 29	hamata, <i>Munidopsis</i>	28, 29
gallapagensis, <i>Osachila</i>	61	hancocki, <i>Iliacantha</i>	62, 63
<i>Gastroptychus</i>	23	hancocki, <i>Porcellana</i>	32
<i>Gaudichaudia</i>	90, 96	hancocki, <i>Squilla</i>	13, 14
gaudichaudii, <i>Gaudichaudia</i>	90	helleri, <i>Uca (Leptuca)</i>	116, 117
gaudichaudii, <i>Ocypode</i>	55, 113	<i>Hemisquilla</i>	11
gaudichaudii, <i>Platymera</i>	59	HEMISQUILLIDAE.....	11
GEBIIDAE.....	20	<i>Hepatella</i>	61
GECARCINIDAE.....	104	<i>Hepatus</i>	60
<i>Gecarcinus</i>	104, 105	<i>Herbstia</i> sp.....	70
<i>Geograpsus</i>	107	<i>Heteractaea</i>	95
gibbessi, <i>Percnon</i>	109	heteropleura, <i>Uca (Uca)</i>	115
gladius, <i>Pagurus</i>	46	<i>Heterosquilla</i>	12, 13
<i>Glyptoxanthus</i>	91	HETEROTREMATA.....	47
<i>Gomezia</i>	52	HIPPIDAE.....	20, 21, 38
GONEPLACOIDEA.....	54, 89, 101, 102, 103	HIPPOIDEA.....	20, 21, 38
<i>Goniopsis</i>	106, 107	hirtimanus, <i>Rhodochirus</i>	44
GONODACTYLOIDEA.....	10, 11	hispidia, <i>Munida</i>	25
gorei, <i>Armases</i>	108	holmesi, <i>Paguristes</i>	42
<i>Goyanaza</i>	85	<i>Holothuriophilus</i>	111, 112
gracilipes, <i>Munida</i>	26	holthuisi, <i>Parapagurus</i>	47
gracilis, <i>Panulirus</i>	17, 19	<i>Homalaspis</i>	90
granulata, <i>Euprognatha</i>	67, 68	<i>Homolodromia</i>	51, 52
granulata, <i>Oediplax</i>	102	HOMOLODROMIIDAE.....	51
granulosa, <i>Eriphia</i>	100	HOMOLODROMIOIDEA.....	51, 52

<i>Hypoconcha</i>	56	<i>Leptograpsus</i>	106
<i>Hypolambrus</i>	64, 65	<i>lessonii, Pseudosquillaopsis</i>	11
<i>hyponcus, Hypolambrus</i>	64, 65	LEUCOSIIDAE.....	50, 62
<i>Hyrutodynamene</i>	51	<i>Leucosilia</i>	63
<i>hystricosums, Trichopeltarion</i>	79	LEUCOSIOIDEA.....	50, 62
<i>hystrix, Munidopsis</i>	28	<i>levis, Osachila</i>	61
<i>Iliacantha</i>	62, 63	<i>lewisi austrinus, Petrolisthes</i>	36
<i>imarpe, Pagurus</i>	45	<i>Libinia</i>	71
<i>immaculata, Plagusia</i>	109	<i>limosus, Pilumnus</i>	93, 99
INACHIDAE.....	67	<i>lineatus, Clibanarius</i>	43
<i>Inachoides</i>	68	<i>lineatus, Hepatus</i>	60, 61
INACHOIDIDAE.....	67	<i>Liopetrolisthes</i>	32
<i>inaequalis, Uca (Leptuca)</i>	117, 118	LITHODIDAE.....	22, 27
<i>insignis, Uca (Uca)</i>	114	LITHODOIDEA.....	22
<i>iridiscens, Portunus (Achelous)</i>	84	<i>lividus, Geograpsus</i>	107
<i>Isocheles</i>	41	<i>Lophorochinia</i>	72, 73
<i>jurinii, Leucosilia</i>	63	<i>lucasia, Albunea</i>	39
<i>koepckeii, Pilumnus</i>	99	<i>lunata, Heteractaea</i>	95
<i>kossmanni, Hepatus</i>	60, 61	<i>Lysiosquilla</i>	12
<i>laevigata, Pinnotherelia</i>	110	LYSIOSQUILLIDAE.....	10, 12
<i>laevigatus, Petrolisthes</i>	37	LYSIOSQUILLOIDEA.....	10
<i>lambriformis, Inachoides</i>	68	<i>maccullochae, Macrocoeloma</i>	76, 77
<i>lamellatus, Notolopas</i>	70, 71	<i>Macrocoeloma</i>	76, 77
<i>lata, Ethusa</i>	57, 58	<i>magdalenensis, Pisidia</i>	31
<i>latidens, Rotundovaldivia</i>	86	<i>magnificus, Trizopagurus</i>	42, 43
<i>latipes, Chasmocarcinus</i>	101	<i>Maiopsis</i>	66, 67
<i>latreillii, Eurypodius</i>	67	MAJIDAE.....	66, 67
<i>Leiolambrus</i>	64, 65	MAJINAE.....	66
<i>Lepidopa</i>	39, 40	MAJOIDEA.....	54, 56, 66
LEPIDOPINAE.....	39	<i>major, Planes</i>	107
<i>lepidus, Pagurus</i>	45, 46	<i>maldonadoensis, Sylviocarcinus</i>	88
<i>Leptodius</i>	96	<i>manningi, Lysiosquilla</i>	12

mantoidea, <i>Squilla</i>	13, 14	<i>Nephropsis</i>	15, 16
marginatus, <i>Talipes</i>	70	nitida, <i>Quadrella</i>	100
<i>Megalobrachium</i>	31	nitidus, <i>Dissodactylus</i>	110
<i>Menippe</i>	92, 93	nitidus, <i>Polyonyx</i>	30,31
MENNIPPIDAE.....	89, 92	<i>Notolopas</i>	70, 71
menziesi, <i>Cymonomus</i>	49	<i>Notosceles</i>	57
merimaculosus, <i>Tomopagurus</i>	44	obesa, <i>Munida</i>	26
<i>Mesorhoa</i>	65	obscurus, <i>Calcinus</i>	40, 41
<i>Metacarcinus</i>	80	occidentalis, <i>Nephropsis</i>	15, 16
<i>Metopocarcinus</i>	92	occidentalis, <i>Ocypode</i>	113
mexicanus, <i>Arenaeus</i>	82	occidentalis, <i>Rochinia</i>	73
<i>Microphrys</i>	75, 76	occidentalis, <i>Ucides</i>	53, 55, 112
mirabilis, <i>Probeebei</i>	47	occidentalis, <i>Uroptychus</i>	24
mirafloresensis, <i>Acantholobulus</i>	98	<i>Ocypode</i>	55, 112, 113
MITHRACINAE.....	67	OCYPODIDAE.....	112
<i>Mithraculus</i>	75	OCYPODINAE.....	112, 113
<i>Mithrax</i>	75	OCYPODOIDEA.....	53, 55, 112
mitra, <i>Liopetrolisthes</i>	32, 33	<i>Oediplax</i>	102
monilifer, <i>Pachycheles</i>	33	orbicularis, <i>Persephona</i>	64
monodon, <i>Pleuroncodes</i>	24	orbignyi, <i>Platyxanthus</i>	94
<i>Moreiradromia</i>	56	ornata, <i>Uca (Uca)</i>	114
<i>Moreirocarcinus</i>	88	ornatus, <i>Panulirus</i>	18
<i>Munida</i>	25, 26	<i>Orthochela</i>	29, 30
MUNIDIDAE.....	23, 24, 25	ortmanni, <i>Petrolisthes</i>	36
MUNIDOPSIDAE.....	23, 24, 25	<i>Osachila</i>	61
<i>Munidopsis</i>	25, 26, 27, 28, 29	<i>Otmaroxanthus</i>	95
musmuschiae, <i>Fredilocarcinus</i>	87	<i>Ovalipes</i>	81
<i>Nannosquilla</i>	10	ovatus, <i>Stenocionops</i>	76, 77
NANNOSQUILLIDAE.....	10	<i>Pachycheles</i>	32, 33, 34
<i>Neodoclea</i>	71, 72	<i>Pachygrapsus</i>	107
NEPHROPIDAE.....	15	pacifica, <i>Pelia</i>	74
NEPHROPOIDEA.....	15	pacifica, <i>Stereomastis</i>	16

pacificus, <i>Holothuriophilus</i>	111, 112	PERCNIDAE.....	105
pacificus, <i>Isocheles</i>	41	<i>Percnon</i>	105, 109
pagei, <i>Dilocarcinus</i>	86	perlatus, <i>Pagurus</i>	46
PAGURIDAE.....	22, 44	perlatus, <i>Pilumnoides</i>	93, 98
<i>Paguristes</i>	41, 42	<i>Persephona</i>	63, 64
PAGUROIDEA.....	20, 21, 40, 44,47	peruana, <i>Libinia</i>	71
<i>Pagurus</i>	44, 45, 46	peruviana, <i>Hepatella</i>	61, 62
paitensis, <i>Pinnixa</i>	158	peruviana <i>Hypoconcha</i>	56
PALICIDAE.....	50, 103	peruvianum, <i>Megalobrachium</i>	31
PALICOIDEA.....	50, 103	peruvianus, <i>Eupleurodon</i>	69
<i>Palicus</i>	103, 104	peruvianus, <i>Villoplax</i>	103
PALINURIDAE.....	16	peterseni, <i>Heteractaea</i>	95
PALINUROIDEA.....	15, 16	petiverii, <i>Acanthonyx</i>	69
panamensis, <i>Ethusa</i>	57	<i>Petrochirus</i>	40
panamensis, <i>Hypoconcha</i>	56	<i>Petrolisthes</i>	30,32, 35, 36, 37
panamensis, <i>Maiopsis</i>	66, 67	picta, <i>Bellia</i>	77
panamensis, <i>Squilla</i>	14	pictus, <i>Syvoiocarcinus</i>	88
panamensis, <i>Uca</i> (<i>Leptuca</i>).....	116	PILUMNIDAE.....	93, 99
PANOPEIDAE.....	92, 97, 98, 102	PILUMNOIDEA.....	89, 93, 99
<i>Panopeus</i>	97, 98	<i>Pilumnoides</i>	93, 98
<i>Panulirus</i>	17, 18	PILUMNOIDIDAE	93, 98
parabanchia, <i>Lophorochinia</i>	72, 73	<i>Pilumnus</i>	93, 99
PARAPAGURIDAE	22, 47	<i>Pinnaxodes</i>	109, 112
<i>Parapagurus</i>	47	<i>Pinnixa</i>	55, 110
<i>Paraxanthus</i>	89, 90	<i>Pinnotherelia</i>	110
<i>Paraxanthus barbiger</i>	89, 90	PINNOTHERIDAE.....	55, 109
PARTHENOPIIDAE.....	64	PINNOTHERINAE.....	109, 110, 111
PARTHENOPOIDEA.....	56, 64	PINNOTHERLIINAE.....	110, 111
parva, <i>Squilla</i>	14	PINNOTHEROIDEA.....	55, 109, 110
<i>Pelia</i>	74	<i>Pisidia</i>	31
<i>Peloeus</i>	95	PISINAE.....	70, 71, 72, 73, 74
penicillatus, <i>Panulirus</i>	17	<i>Pisoides</i>	74

<i>pisonii</i> , <i>Aratus</i>	108, 109	<i>Portunus</i> (<i>Achelous</i>).....	84
<i>Pitho</i>	66	<i>Portunus</i> (<i>Portunus</i>).....	82, 83, 84
<i>Plagusia</i>	109	<i>princeps</i> , <i>Erebacus</i>	16, 17
PLAGUSIIDAE.....	105	<i>princeps</i> , <i>Uca</i> (<i>Uca</i>).....	115
<i>plana</i> , <i>Homalaspis</i>	90	<i>Prionoplax</i>	102
<i>Planes</i>	107	<i>Probeebei</i>	47
<i>planissimum</i> , <i>Percnon</i>	105, 109	<i>propinqua</i> , <i>Munida</i>	25
<i>Platymera</i>	59	<i>Pseudocorystes</i>	52, 54, 79
<i>platysoma</i> , <i>Microphrys</i>	76	<i>Pseudorhombila</i>	101
PLATYXANTHIDAE.....	89, 90, 94, 95	PSEUDORHOMBILIDAE.....	101, 102
<i>Platyxanthus</i>	94	PSEUDOSQUILLIDAE.....	11
<i>plebejus</i> , <i>Cancer</i>	53, 80, 81	<i>Pseudosquillopsis</i>	11
<i>Pleuroncodes</i>	24	PSEUDOTHELPHUSIDAE.....	72
PODOPHTHALMINAE.....	81	PSEUDOTHELPHUSOIDEA.....	53
<i>polita</i> , <i>Euryplax</i>	102	PSEUDOZIOIDEA.....	89, 93, 98
<i>politus</i> , <i>Calyptraeotheres</i>	55, 110	<i>pubescens</i> , <i>Uroptychus</i>	24
<i>politus</i> , <i>Schmittius</i>	15	<i>pulchra</i> , <i>Goniopsis</i>	106, 107
POLYBIINAE.....	81	<i>pumila</i> , <i>Orthochela</i>	29, 30
<i>Polycheles</i>	16	<i>punctantissimus</i> , <i>Leiolambrus</i>	64, 65
POLYCHELIDA.....	15	<i>punctatus</i> , <i>Allopetrolisthes</i>	38
POLYCHELOIDEA.....	15	<i>purpureus</i> , <i>Panopeus</i>	97
POLYCHELIDAE.....	15	<i>quadrata</i> , <i>Munidopsis</i>	29
<i>polydactyla</i> , <i>Heterosquilla</i>	12, 13	<i>quadratus</i> , <i>Gecarcinus</i>	104, 105
<i>polyodon</i> , <i>Romaleon</i>	53, 80	<i>Quadrella</i>	100
<i>Polyonyx</i>	30, 31	<i>quinquedentata</i> , <i>Pitho</i>	66
<i>Poppiana</i>	88	<i>raddai</i> , <i>Fredilocarcinus</i>	87
<i>Porcellana</i>	30, 31, 32	<i>Randallia</i>	63
PORCELLANIDAE.....	23, 29	<i>Ranilia</i>	57
<i>porteri</i> , <i>Cancer</i>	54, 80	RANINIDAE.....	48, 57
PORTUNIDAE.....	81	RANINOIDA.....	48
PORTUNINAE.....	81	RANINOIDEA.....	48, 57
PORTUNOIDEA.....	52, 53, 81	<i>Rhinocarcinus</i>	70

<i>Rhodochirus</i>	44	<i>Spinolambrus</i>	64, 65
<i>robertsi</i> , <i>Homolodromia</i>	51, 52	<i>spinosa</i> , <i>Blepharipoda</i>	38,39
<i>robusta</i> , <i>Ethusina</i>	58	<i>squamata</i> , <i>Eriphia</i>	93, 100
<i>robustus</i> , <i>Euphylax</i>	83	<i>squamosa</i> , <i>Plagusia</i>	109
<i>Rochinia</i>	73	<i>Squilla</i>	12, 13, 14
<i>Romaleon</i>	53, 80	SQUILLIDAE.....	10
<i>rostrata</i> , <i>Galacantha</i>	26	SQUILLOIDEA.....	10, 11
<i>rostrata</i> , <i>Stratiolibinia</i>	71	<i>Stenocionops</i>	76, 77
<i>rostriserratus</i> , <i>Calocarides</i>	18, 19	<i>stenodactylus</i> , <i>Uca (Leptuca)</i>	119
<i>rotundicauda</i> , <i>Goyanaza</i>	85	<i>Stenorhynchus</i>	68
<i>Rotundovaldivia</i>	86	<i>Stereomastis</i>	15
<i>rotundus</i> , <i>Pilumnoides</i>	98	<i>sternberghii</i> , <i>Xanthodius</i>	91
<i>sanguineus</i> , <i>Leptodius</i>	96	STOMATOPODA.....	10
<i>sarraburei</i> , <i>Moreiradromia</i>	56	<i>Stratiolibinia</i>	71
<i>saussurei</i> , <i>Calappula</i>	59	<i>stylifera</i> , <i>Uca (Uca)</i>	115
<i>scabra</i> , <i>Munidopsis</i>	28	<i>subsquamosa</i> , <i>Munidopsis</i>	28
<i>schmitti</i> , <i>Iliacantha</i>	62, 63	<i>Sylviocarcinus</i>	86,87, 88
<i>Schmittius</i>	15	<i>Taliepus</i>	69, 70
SCYLLARIDAE.....	15	<i>tallanica</i> , <i>Uca (Leptuca)</i>	118, 119
<i>Scyllarides</i>	16, 17	<i>tanneri</i> , <i>Polycheles</i>	16
<i>seilacheri</i> , <i>Callichirus</i>	20	<i>Teleophrys</i>	75
<i>sericea</i> , <i>Munidopsis</i>	27	<i>tenuipedis</i> , <i>Uca (Leptuca)</i>	118
<i>serrata serrata</i> , <i>Valdivia</i>	86	<i>tenuirostris</i> , <i>Collodes</i>	67, 68
<i>serrata</i> , <i>Gomezia</i>	52	<i>terpsichores</i> , <i>Uca (Leptuca)</i>	116
SESARMIDAE.....	105	TETRASQUILLIDAE.....	12
<i>sexdecimdentatus</i> , <i>Cycloxanthops</i>	93, 94	THORACOTREMATA.....	47
<i>sicarius</i> , <i>Pseudocorystes</i>	52, 79	<i>tomentosa</i> , <i>Uca (Leptuca)</i>	118,119
<i>sinistripes</i> , <i>Dardanus</i>	40, 41	<i>tomentosus</i> , <i>Paguristes</i>	42
<i>socius</i> , <i>Pachygrapsus</i>	107	<i>Tomopagurus</i>	44
<i>solari</i> , <i>Eurysquilla</i>	11	<i>towmsendi</i> , <i>Persephona</i>	64
<i>spinidactylus</i> , <i>Pachycheles</i>	34	<i>toxotes</i> , <i>Callinectes</i>	84, 85
<i>spinifrons</i> , <i>Allopetrolisthes</i>	38	<i>transversalis</i> , <i>Pinnixa</i>	55, 111

<i>transversus, Eurypanopeus</i>	97	<i>Valdivia</i>	86
<i>Trapezia</i>	100	<i>valdiviensis, Pinnixa</i>	110, 111
TRAPEZIIDAE.....	100	<i>variegatus, Leptograpsus</i>	106
TRAPEZIOIDEA.....	89, 100	VARUNIDAE.....	106
TRICHODACTYLIDAE.....	85	<i>verrucosus, Munidopsis</i>	27
TRICHODACTYLOIDEA.....	53, 85	<i>vesicularis, Rochinia</i>	73
<i>Trichodactylus</i>	85	<i>vicarius, Pachycheles</i>	34
<i>Trichopeltarion</i>	54, 79	<i>Villoplax</i>	103
<i>tridentatus, Gaudichaudia</i>	96, 97	<i>villosa, Munidopsis</i>	29
<i>trifurcatus, Eupleurodon</i>	69	<i>villosus, Pagurus</i>	45, 46
<i>trimaculatus, Ovalipes</i>	81	<i>violaceus, Petrolisthes</i>	37
<i>tristani, Eurytium</i>	92	<i>vittatus, Cycloxanthops</i>	93, 94
<i>Trizocarcinus</i>	103	<i>weddelli, Microphrys</i>	76
<i>Trizopagurus</i>	42, 43	<i>weddelli, Paguristes</i>	41, 42
<i>truncatus, Metopocarcinus</i>	92	XANTHIDAE.....	89, 90, 91, 93, 95, 96
<i>tuberculata, Palicus</i>	103, 104	<i>xanthiformis, Pseudorhombila</i>	101
<i>tuberculatus, Petrolisthes</i>	36	<i>Xanthodius</i>	91, 96
<i>tuberculosus, Petrolisthes</i>	36, 37	XANTHOIDEA.....	54, 89, 90, 91, 92, 93, 96, 97, 98, 101, 102
<i>tumidus, Teleophrys</i>	75	<i>Zilchiopsis</i>	87
<i>turgida, Chorilia</i>	72		
TYCHINAE.....	66		
<i>Uca (Leptuca)</i>	113, 114, 116, 117, 118, 119		
<i>Uca (Minuca)</i>	113, 120		
<i>Uca (Uca)</i>	113, 114, 115		
<i>Ucides</i>	53, 55, 112		
UCIDIDAE.....	112		
UCINAE.....	113		
<i>uncinata, Callianassa</i>	20		
<i>Upogebia</i>	20		
UPOGEBIIDAE.....	18		
<i>Uroptychus</i>	23, 24		
<i>ursula, Hyrsutodynamene</i>	51		